arXiv:0803.3276v3 [math-ph] 6 Sep 2009

Lorentz Transformation and General Covariance Principle

Aleks Kleyn

E-mail address: Aleks_Kleyn@MailAPS.org
URL: http://AleksKleyn.blogspot.com/
URL: http://arxiv.org/a/kleyn_a_1

Abstract. I tell about different mathematical tool that is important in general relativity. The text of the book includes definition of geometrical object, concept of reference frame, geometry of metric-affinne manifold. Using this concept I learn few physical applications: dynamics and Lorentz transformation in gravitational fields, Doppler shift.

A reference frame in event space is a smooth field of orthonormal bases. Every reference frame is equipped by anholonomic coordinates. Using anholonomic coordinates allows to find out relative speed of two observers and appropriate Lorentz transformation.

Synchronization of a reference frame is an anholonomic time coordinate. Simple calculations show how synchronization influences time measurement in the vicinity of the Earth. Measurement of Doppler shift from the star orbiting the black hole helps to determine mass of the black hole. According observations of Sgr A, if non orbiting observer estimates age of S2 about 10 Myr, this star is 0.297 Myr younger.

We call a manifold with torsion and nonmetricity the metric-affine manifold. The nonmetricity leads to a difference between the auto parallel line and the extreme line, and to a change in the expression of the Frenet transport and moving basis. The torsion leads to a change in the Killing equation. We also need to add a similar equation for the connection.

The analysis of the Frenet transport leads to the concept of the Cartan transport and an introduction of the connection compatible with the metric tensor. The dynamics of a particle follows to the Cartan transport. We need additional physical constraints to make a nonmetricity observable.

Learning how torsion influences on tidal force reveals similarity between tidal equation for geodesic and the Killing equation of second type. The relationship between tidal acceleration, curvature and torsion gives an opportunity to measure torsion.

Key words and phrases. Differential geometry, general relativity, quantum field, metric-affine manifold

Contents

Chapter 1. Introduction 5
  1.1. About This Book 5
  1.2. Geometrical Object and Invariance Principle 5
  1.3. Torsion Tensor in general relativity 7
  1.4. Tidal Acceleration 8

Chapter 2. Space and Time in Physics 11
  2.1. Geometry and Physics 11
  2.2. Spacetime 14
  2.3. Covariance Principle 16
  2.4. Spacetime and Quantum 19

Chapter 3. Representation of Group 21
  3.1. Representation of Group 21
  3.2. Single Transitive Representation of Group 24
  3.3. Linear Representation of Group 26

Chapter 4. Basis Manifold 29
  4.1. Basis in Vector Space 29
  4.2. Basis in Affine Space 30
  4.3. Basis in Euclid Space 31
  4.4. Geometrical Object of Vector Space 31

Chapter 5. Reference Frame in Event Space 35
  5.1. Reference Frame on Manifold 35
  5.2. Reference Frame in Event Space 36
  5.3. Anholonomic Coordinates 37

Chapter 6. Geometrical Object 43
  6.1. Metric-affine Manifold 43
  6.2. Geometrical Meaning of Torsion 44
  6.3. Relation between Connection and Metric 46

Chapter 7. Application in General Relativity 47
  7.1. Synchronization of Reference Frame 47
  7.2. Anholonomic Coordinates in Central Body Gravitational Field 47
  7.3. Time Delay in Central Body Gravitational Field 48
  7.4. Lorentz Transformation in Orbital Direction 50
  7.5. Lorentz Transformation in Radial Direction 53
  7.6. Doppler Shift in Friedman Space 55
  7.7. Lorentz Transformation in Friedman Space 56

Chapter 8. Geometry of Metric-Affine Manifold 59
8.1. Line with Extreme Length 59
8.2. Frenet Transport 60
8.3. Lie Derivative 62
8.4. Bianchi Identity 64
8.5. Killing Vector 65
8.6. Cartan Transport 66

Chapter 9. Metric Affine Gravity 69
9.1. Newton's Laws: Scalar Potential 69
9.2. Newton's Laws: Vector Potential 69
9.3. Tidal Equation 71
9.4. Tidal Acceleration and Lie Derivative 74

Chapter 10. References 77

Chapter 11. Index 79

Chapter 12. Special Symbols and Notations 81

CHAPTER 1

Introduction

1.1. About This Book

Sometimes is very hard to give name for book that you want to write. Even you wrote this book the whole life. And may be for this reason. The way is not finished. However I feel it is time to share with people my discoveries. Only future will tell which parts of this research will be useful. This book starts from learning of geometric object, turns to reference frame in physics, then suddenly changes its course to learn metric affine manifolds.

Since Einstein introduced general relativity, the close relation between geometry and physics became a reality. At the same time, quantum mechanics introduced new concepts that contradicted a tradition established during centuries. This meant that we need new geometrical concepts that will become part of the language of quantum mechanics. This is the reason for returning to the beginning.

The whole my life was dedicated to solve one of the greatest mysteries that I met in the beginning of my life. When I learned general relativity and quantum mechanics I felt that language of quantum mechanics is not adequate to phenomenon that it observes. I mean the geometry.

I dedicated chapter 2 to small essay that I wrote when I was young.[1.1]

1.2. Geometrical Object and Invariance Principle

Sections 4.1 and 4.4 was written under the great influence of the book [23]. The studying of a homogenous space of a group of symmetry of a vector space leads us to the definition of a basis of this space. A basis manifold is a set of bases of particular vector space and is an example of a homogenous space. As it is shown in [23] it gives ability to define concepts of invariance and of geometrical object.

We introduce two types of transformation of a basis manifold: active and passive transformations. The difference between them is that the passive transformation can be expressed as a transformation of an original space.

This definition can be extended on an arbitrary manifold. However in this case we generalize the definition of a basis and introduce a reference frame. In case of an event space of general relativity it leads us to a natural definition of a reference frame and the Lorentz transformation. A reference frame in event space is a smooth field of orthonormal basis.

The invariance principle which we studied theorem 4.4.4 is limited by vector spaces and we can use it only in frame of the special relativity. Our task is to describe structures which allow to extend the invariance principle to general relativity.

[1.1] Unfortunately some references are lost. If somebody recognize familiar text, I will appreciate if he let me know exactly reference.

A measurement of a spatial interval and a time length is one of the major tasks of general relativity. This is a physical process that allows the study of geometry in a certain area of spacetime. From a geometrical point of view, the observer uses an orthonormal basis in a tangent plane as his measurement tool because an orthonormal basis leads to the simplest local geometry. When the observer moves from point to point he brings his measurement tool with him.

Notion of a geometrical object is closely related with physical values measured in space time. The invariance principle allows expressing physical laws independently from the selection of a basis. On the other hand if we want to examine a relationship obtained in the test, we need to select measurement tool. In our case this is basis. Choosing the basis we can define coordinates of the geometrical object corresponding to studied physical value. Hence we can define the measured value.

Every reference frame is equipped by anholonomic coordinates. For instance, synchronization of a reference frame is an anholonomic time coordinate. Simple calculations show how synchronization influences time measurement in the vicinity of the Earth. Measurement of Doppler shift from the star orbiting the black hole helps to determine mass of the black hole.

Sections 7.3 and 7.4 show importance of calculations in orthogonal frame. Coordinates that we use in event space are just labels and calculations that we make in coordinates may appear not reliable. For instance in papers [25, 26] authors determine coordinate speed of light. This leads to not reliable answer and as consequence of this to the difference of speed of light in different directions.

Paper [32] drew my attention. To explain anomalous acceleration of Pioneer 10 and Pioneer 11 ([21]) Antonio Ranada incorporated the old Einstein's view on nature of gravitational field and considered Einstein's idea about variability of speed of light. When Einstein started to study the gravitational field he tried to keep the Minkowski geometry, therefore he assumed that scale of space and time does not change. As result he had to accept the idea that speed of light should vary in gravitational field. When Grossman introduced Riemann geometry to Einstein, Einstein realized that the initial idea was wrong and Riemann geometry solves his problem better. Einstein never returned to idea about variable speed of light.

Indeed, three values: scale of length and time and speed of light are correlated in present theory and we cannot change one without changing another. The presence of gravitational field changes this relation. We have two choices. We keep a priory given geometry (here, Minkowski geometry) and we accept that the speed of light changes from point to point. The Riemann geometry gives us another option. Geometry becomes the result of observation and the measurement tool may change from point to point. In this case we can keep the speed of light constant. Geometry becomes a background which depends on physical processes. Physical laws become background independent.

There are few papers dedicated to a variable speed of light theory [27, 28]. Their theory is based on idea that metric tensor may be scaleable relative dilatation. This idea is not new. As soon as Einstein published general relativity Weyl introduced his idea to make theory invariant relative conformal transformation. However Einstein was firmly opposed to this idea because it broke dependence between distance and proper time. You can find detailed analysis in [29].

We have strong relation between the speed of light and units of length and time in special and general relativity. When we develop new theory and discover that speed of light is different we should ask ourselves about the reason. Did we make accurate measurement? Do we have alternative way to exchange information and synchronize reference frame? Did transformations between reference frames change and do they create group?

In some models photon may have small rest mass [30]. In this case speed of light is different from maximal speed and may depend on direction. Recent experiment [31] put limitation on parameters of these models.

1.3. Torsion Tensor in general relativity

Close relationship between the metric tensor and the connection is the basis of the Riemann geometry. At the same time, connection and metric as any geometrical object are objects of measurement. When Hilbert derived Einstein equation, he introduced the lagrangian where the metric tensor and the connection are independent. Later on, Hilbert discovered that the connection is symmetric and fonud dependence between connection and metric tensor. One of the reasons is in the simplicity of the lagrangian.

Since an errors of measurement are inescapable, analysis of quantum field theory shows that either symmetry of connection or dependence between connection and metric may be broken. This assumption leads to metric-affine manifold which is space with torsion and nonzero covariant derivative of metric (section 6.1). Independence of the metric tensor and the connection allows us to see which object is responsible for different phenomenon in geometry and therefore in physics. Even we do not prove empirically existence of torsion and nonmetricity we see here very interesting geometry.

The metric-affine manifold appears in different physical applications. It is very important to understand what kind of geometry of this space is, how torsion influences on physical phenomena. This is why small group of physicists continue to study gravitation theory with torsion [12, 13, 14, 15, 16].

In particular we have two different definitions of a geodesic curve in the Riemann manifold. We consider a geodesic curve either as line of extreme length (such line is called extreme), or as line such that tangent vector keep to be tangent to line during parallel transfer (such line is called auto parallel). Nonmetricity means that parallel transport does not conserve a length of vector and an angle between vectors. This leads to a difference between definitions of auto parallel and extreme lines ([17] and section 8.1) and to a change in the expression of the Frenet transport. The change of geometry influences the second Newton law which we study in section 9.1. I show in theorems 8.6.1 and 9.1.1 that a free falling particle chooses an extreme line transporting its momentum along the trajectory without change.

Patern of the Newton second law depends on choice of potential. In case of scalar potential the Newton second law holds the relationship between force, mass and acceleration. In case of vector potential analysis of motion in a gravitational field shows that the field-strength tensor depends on the derivative of the metric tensor.

Nonmetricity dramatically changes law how orthogonal basis moves in space time. However learning of parallel transport in space with nonmetricity allows us to introduce the Cartan transport and an introduction of the connection compatible with the metric tensor (section 8.6). The Cartan transport holds the basis orthonormal and this makes it valuable tool in dynamics (section 9.1) because the observer uses an orthonormal basis as his measurement tool. The dynamics of a particle follows to the Cartan transport. The question arises from this conclusion.

We can change the connection as we show in section 8.6. Why we need to learn manifolds with an arbitrary connection and the metric tensor? The learning of the metric-affine manifold shows why everything works well in the Riemann manifold and what changes in a general case. What kind of different physical phenomena may result in different connections? Physical constraints that appear in a model may lead to appearance of a nonmetricity [15, 18, 19]. Because the Cartan transport is the natural mechanism to conserve orthogonality we expect that we will interpret a deviation of the test particle from the extreme line as a result of an external to this particle force[1.2]. In this case the difference between two types of a transport becomes measurable and meaningful. Otherwise another type of a transport and nonmetricity are not observable and we can use only the transport compatible with metric.

I see here one more opportunity. As follows from the paper [18] the torsion may depend on quantum properties of matter. However the torsion is the part of the connection. This means that the connection may also depend on quantum properties of matter. This may lead to breaking of the Cartan transport. However this opportunity demands additional research.

The effects of torsion and a nonmetricity are cumulative. They may be small but measurable. We can observe their effects not only in strong fields like black hole or Big Bang but in regular conditions as well. Studying geometry and dynamics of point particle gives us a way to test this point of view. There is mind to test this theory in condition when spin of quantum field is accumulated. We can test a deviation from second Newton law or measure torsion by observing the movement of two different particles.

To test if the spacetime has the torsion we can test the opportunity to build a parallelogram in spacetime. We can get two particles or two photons that start their movement from the same point and using a mirror to force them to move along opposite sides of the parallelogram. We can start this test when we do not have quantum field and then repeat the test in the presence of quantum field. If particles meet in the same place or we have the same interference then we have torsion equal 0 in this thread. In particular, the torsion may influence the behavior of virtual particles.

1.4. Tidal Acceleration

Observations in Solar system and outside are very important. They give us an opportunity to see where general relativity is right and to find out its limitation. It is very important to be very careful with such observations. NASA provided very interesting observation of Pioneer 10 and Pioneer 11 and managed complicated

---

[1.2] For instance if we extend the definition (9.1.2) of a force to a general case (9.1.1) we can interpret a deviation of a charged particle in electromagnetic field as result of the force

$$F^j = \frac{e}{cu^0} g^{ij} F_{li} u^l$$

The same way we can interpret a deviation of the auto parallel line as the force

$$F^i = -\frac{mc}{u^0} \Gamma(C)^i_{kl} u^k u^l$$

I remind that the Cartan symbol is the tensor calculation of their accelerations. However, one interesting question arises: what kind of acceleration did we measure?

Pioneer 10 and Pioneer 11 performed free movement in solar system. Therefore they move along their trajectory without acceleration. However, it is well known that two bodies moving along close geodesics have relative acceleration that we call tidal acceleration. Tidal acceleration in general relativity has form

$$\frac{D^2\delta x^k}{ds^2}=R^k_{lnk}\delta x^k v^n v^l \tag{1.4.1}$$

where v^l is the speed of body 1 and δx^k is the deviation of geodesic of body 2 from geodesic of body 1. We see from this expression that tidal acceleration depends on movement of body 1 and how the trajectory of body 2 deviates from the trajectory of body 1. But this means that even for two bodies that are at the same distance from a central body we can measure different acceleration relative an observer.

Section 9.3 is dedicated to the problem what kind of changes the tidal force experiences on metric affine manifolds.

Finally the question arises. Can we use equation (9.3.5) to measure torsion? We get tidal acceleration from direct measurement. There is a method to measure curvature (see for instance [20]). However, even if we know the acceleration and curvature we still have differential equation to find torsion. However, this way may give direct answer to the question of whether torsion exists or not.

Deviation from tidal acceleration (1.4.1) predicted by general relativity may have different reason. However we can find answer by combining different type of measurement.

CHAPTER 2

Space and Time in Physics

2.1. Geometry and Physics

> Reason, of course, is weak, when measured against its never-ending task. Weak, indeed, compared with the follies and passions of mankind, which, we must admit, almost entirely control our human destinies, in great things and small. Yet the works of the understanding outlast the noisy bustling generations and spread light and warmth across the centuries.
>
> [6], p. 219

Geometric ideas are not creations of free intellect, but on the contrary, they are product of human activity. Ideas about space and time changed as knowledge developed.[1.1]

> Law cannot be exact at least because concepts on the base, which we formulate it, may develop and may become insufficient. Signs of dogma of impeccability remain on the bottom of any thesis and any proof.
>
> [7]

Mathematics originated from specific needs of human practice and developed along complex and contradictory way of knowledge. From one hand, this is the most abstract area of science. Mathematician freely operates with abstract ideas, learns their properties, generalizes, creates new ideas and definitions, and wanders from practice. This makes more surprising success of applied mathematics. Its success always surprised people, mostly in XX century when such abstract parts of mathematics like group theory, functional calculus, and differential geometry became language of modern physics. Contact of mathematics with any other field of science leads to mutual enrichment of both.

> One reason why mathematics enjoys special esteem, above all other sciences, is that its laws are absolutely certain and indisputable, while those of all other sciences are to some extent debatable and in constant danger of being overthrown by newly discovered facts. In spite of this, the investigator in another department of science would not need to envy the mathematician since the laws of mathematics referred to objects of our mere imagination, and not to objects of reality. For it cannot occasion surprise that different persons should arrive at the same logical conclusions when they have already agreed upon the fundamental laws (axioms), as well as the methods by which other laws are to be deduced therefrom. But there is another reason for the high repute of mathematics, in that it

> is mathematics which affords the exact natural sciences a certain measure of security, to which without mathematics they could not attain.
>
> At this point an enigma presents itself which in all ages has agitated inquiring minds. How can it be that mathematics, being after all a product of human thought which is independent of experience, is so admirably appropriate to the objects of reality? Is human reason, then, without experience, merely by taking thought, able to fathom the properties of real things.
>
> [3]

Mathematics has empiric roots. Algebra associated with necessity of calculations. Geometry was created by necessity of measurement on earth surface. Logic is abstract expression of causal relationship. Calculus studies movement. This is exactly why on a certain phase of development it becomes possible to describe real processes using mathematical models of different level of complexity. Gradually statements of theoretical mathematics become instrument of applied mathematics; mathematics becomes empiric field of science.

> Only main concepts and such called axioms remain in mathematics as evidence of empiric origin of geometry. People tried to reduce number of this logically irreducible concepts and axioms. Tendency to take out all geometry from dim area of empiric insensibly leads to erroneous conclusion which we can liken to conversion of heroes of antiquity into gods. People gradually accustomed to point of view on main concepts as obvious, i.e. objects and qualities which belong to human mind. According to this point of view, objects of intuition correspond to main concepts of geometry and negation of any axiom of geometry cannot be done consistently. In this case, possibility of application of this main concepts and axioms to objects of reality becomes the problem from which Kant's understanding of space appeared.
>
> Physics gave second cause for denial geometry from its empiric foundation. According to more refined point of view about nature of solid body and light, in nature there are no such objects, which exactly correspond to main concepts of Euclidean geometry by their property. We cannot assume solid body as steady. Ray of light does not reproduce nor straight line, nor any one-dimension image. According to modern science view, geometry taken separately does not correspond ... to any tests. It should be applied to explanation together with mechanics, optics, etc. Geometry has to appear as science logically preceding any experience and any empirical verification because geometry has to precede physics as long as laws of physics cannot be expressed without help of geometry.
>
> [5], p 170

> ... As far as the laws of mathematics refer to reality, they are not certain; and as far as they are certain, they do not refer to reality ...
>
> [3]

> ... Question about applicability or no applicability of Euclidean geometry obtains clear meaning from this point of view. Euclidean geometry as geometry in general keeps nature of mathematical science because deduction of its theorems from axioms is still logical problem. However, it

> becomes physical science because its axioms hold inside statements relative objects of nature and correctness of these statements may be proved only by experiment.
>
> [5], p 181

> Form of object is not something external relative to this object. The form belongs to object and object defines this form. This is why forms of existence of real world are common structure defined by its fundamental properties... Efficient theory of spacetime essentially derives properties of spacetime from properties of matter. This was the source of geometry. First of all it reflected general properties of relations between solid bodies which were defined in particular by ability to move.
>
> [9], p 117

> ... it is certain that mathematics generally, and particularly geometry, owes its existence to the need which was felt of learning something about the relations of real things to one another. The very word geometry, which, of course, means earth measuring, proves this. For earth measuring has to do with the possibilities of the disposition of certain natural objects with respect to one another, namely, with parts of the earth, measuring-lines, measuring-wands, etc. It is clear that the system of concepts of axiomatic geometry alone cannot make any assertions as to the relations of real objects of this kind, which we will call practically rigid bodies. To be able to make such assertions, geometry must be stripped of its merely logical-formal character by the co-ordination of real objects of experience with the empty conceptual framework of axiomatic geometry. To accomplish this, we need only add the proposition:
>
> - Solid bodies are related, with respect to their possible dispositions, as are bodies in Euclidean geometry of three dimensions. Then the propositions of Euclid contain affirmations as to the relations of practically rigid bodies.
>
> Geometry thus completed is evidently a natural science... Its affirmations rest essentially on induction from experience, but not on logical inferences only. We will call this completed geometry practical geometry, and shall distinguish it in what follows from purely axiomatic geometry. The question whether the practical geometry of the universe is Euclidean or not has a clear meaning, and its answer can only be furnished by experience. All linear measurement in physics is practical geometry in this sense, so too is geodetic and astronomical linear measurement, if we call to our help the law of experience that light is propagated in a straight line, and indeed in a straight line in the sense of practical geometry.
>
> [3]

This discussion shows that mathematics is not separate area of knowledge that develops independently from cognitive and reformatory practice of human. In deed, practice is initial source for mathematics and finally mathematics is indispensable instrument in human practice.

2.2. Spacetime

> ... Space and time are not simple forms of phenomena but objective and real forms of existence. There is nothing in the world except moving matter and moving matter can move only in space and time... Changeability of human representations of space and time deny objective reality of both as little as changeability of scientific knowledge about structure and forms of movement of matter do not deny of objective reality of exterior world.
>
> Lenin, 110

> ... Not objects assume existence of space and time, but space and time assume existence of objects because space or extent assumes existence of something that is extensive and time assumes movement. Time is only idea derived from movement and assumes existence of something that moves. Everything is spatial and temporal.
>
> Fuerbach

Before study of interaction of geometry and general relativity we have to make clear definition of main concepts. Main concept of geometry is space. Space filled by physical contents is spacetime.

> ... Idea "mater object" has to exist before ideas related to space. This is logically initial idea. We can easily make sure this analyzing such spatial terms as "near", "contact", etc. and looking for their equivalence in experiment.
>
> 109, p 135

> Physical idea of time responds to idea of intuitive mind. However, such idea traces back to order in time of sensations of person and we have to accept this order as something initially given. Somebody feels ... perception at this moment and this perception is connected with remembrance about (previous) perceptions. This is a reason that perceptions create time series based on estimations "before" and "after". These series may be repeated and then we can identify them. In addition, they may be repeated inaccurately, with replacement of some events by others. Moreover, we do not lose pattern of repetition. We come this way to introduction of time like one-dimensional frame that we can fill different way by sensations. The same series of sensations respond to the same subjective intervals of time.
>
> Transition from this "subjective" time ... to concept of time in prescientific mind is linked with rise of idea of existence of real world that is independent from subject. In the sense, they establish correspondence between (objective) event and subjective sensation; they compare "subjective" time of sensation with "time" of corresponding "objective" event. External events and their order claim to truth for all subjects contrary to sensations.

> ... At more detailed examination of idea of objective world of external events it required to establish more complex dependence between events and sensations. At first, it was done with help of instinctive rules of mind where of space plays the most important role. Process of complication of concepts leads finally to natural fields of science.
>
> 109, p 242, 243

> Form of object ... is set of relations between its parts. Therefore, we should speak about matter connections of elements of the world, which in their totality define spacetime.
>
> The simplest element of world is something that we call event. It is "point" phenomenon like flash of bulb. Using visual concepts about spacetime this is phenomenon that we can disregard its extent in space and time... Event is like point in geometry... Any phenomenon, any process occurs as connected set of events.
>
> Abstracting from all properties of event apart from it exists we represent it as ... "world point". spacetime is set of all world points.
>
> [9], p 133, 134

> However, such definition is incomplete. It does not consider that any event ... influences on any other events and it itself is influenced by other events. In general, an influence is movement that connects one event with other through row of intermediate events... Using concepts of physics, we can define influence transmission of momentum and energy.
>
> [9], p 134

Geometry of spacetime in that way is inseparable from physical processes running in spacetime.

> Spacetime is set of all events in the world such that they are abstract from all its properties except ones that are defined by relation of influence one event on another.
>
> Spacetime structure of the world is its causal-investigatory structure acquired in proper abstraction.
>
> [9], p 135

Next question that we want to study is question about physical content of concept of coordinates. To understand all importance of this question let recall how introduced Einstein common time in relativity. First, each observer has its own clock. To insure that time of each observer is coordinate we need synchronization of the clocks. However, process of synchronization is based on physical phenomena.

> If at the point A of space there is a clock, an observer at A can determine the time values of events in the immediate proximity of A by finding the positions of the hands which are simultaneous with these events. If there is at the point B of space another clock in all respects resembling the one at A", it is possible for an observer at B to determine the time values of events in the immediate neighbourhood of B. But it is not possible without further assumptions to compare, in respect of time, an event at A with an events at B. We have not defined a common "time" for A and B, for the latter cannot be defined at all unless we establish by definition that the "time" required by light to travel from A to B equal the "time" it requires to travel from B to A. Let a ray of light start at the "A time"

> t_A from A toward B, let it at the "B time" t_B to be reflected at B in the direction of A, and arrive again at A at "A-time" t'_A.
>
> In accordance with definition the two clocks synchronize if
>
> $$t_B - t_A = t'_A - t_B$$
>
> We assume that this definition of synchronism is free from contradictions, and possible for any number of points; and that the following relations are universally valid: -
>
> 1) If the clock at B synchronizes with the clock at A, the clock at A synchronizes with the clock at B;
>
> 2) If the clock at A synchronizes with the clock at B and also with the clock at C, the clocks at B and C also synchronize with each other.
>
> [1], pp. 39, 40

Similar construction based on measurement of distance between observers (we can do it also with help of light signal) leads to concept of space coordinates.

Problem of coordinates in general relativity is more complex; however, its main point remains: coordinates are concentrated expression of interaction of different observers in spacetime.

2.3. Covariance Principle

> Movement is essence of time and space, because it is universal; to understand it means to tell its essence in form of concept.
>
> Gegel, Lectures about history of philosophy

> Movement is essence of time and space. Two main concepts express this essence: (infinite) continuity and "punctuality" (= negation of continuity, discontinuity). Movement is unity of continuity (of time and space) and discontinuity (of time and space). Movement is contradiction, is unity of contradictions.
>
> Lenin, Philosophic notebooks

After definition of space, we can turn to main principles of general relativity. General covariance principle and equivalence principle are main principles of general relativity. There is close connection between them. Einstein formulates main principles guided by Mach principle.

> Let K is Galiley coordinate system, i.e. certain mass enough remote from others moves straightforward and uniformly relative this system (at least in considered 4 dimension area). Let K' is second coordinate system which moves uniformly accelerated relative K. Than enough isolated from other mass performs relative K' accelerated movement; moreover nor acceleration nor direction does not depend from chemical structure or physical state of this mass.
>
> Can observer, rest relative coordinate system K', conclude from this that he is in "really" accelerated coordinate system? Answer on this question has to be negative because we can differently; explain behavior of

> masses free moving relative K'. Coordinate system K' does not have acceleration, however in considered area of spacetime there is gravitational field which causes accelerated movement of bodies relative K'.
>
> [2], pp. 521, 522

However, Einstein made in this manuscript two mistakes. Stating foundations of general relativity he writes

> We see from the considerations that creation of general relativity must lead to theory of gravitation because we can "create" gravitational field simply changing coordinate system.
>
> [2], p. 522

First, close connection of main principles does not mean their equality. Equivalence principle was historically first and the most simple principle formulated in general covariant form. Later Einstein realized that he cannot reduce general relativity to gravitational field. He spent the rest of his life to development of covariance principle.

Second. Einstein by mistake identified Lorentz transformation with general coordinate transformation as result of identification reference frame and coordinate system. The grossest error was that Einstein supposed that it is possible to create gravitational field in inertial reference frame using Lorentz transformation even we did not observe it before. However this contradicts to covariance principle. Actually, we have here transfer to noninertial reference frame expressed in appearance of nonholonomity of coordinates used by observer.

> ... It is impossible to substitute field of gravity by state of movement of system without gravitational field as well as it is impossible to transform all points of arbitrarily moving thread to rest by relativistic transformation.
>
> 107, p 166

However, isolated observer does not know which coordinate he uses. From other side in inertial reference frame and in gravitational field free bodies move along trajectory which does not depend on mass.

> Equivalence principle is statement about complete equivalence of all physical processes and phenomena in homogeneous field of gravity and in appropriate uniformly accelerated reference frame. In general case we speak about enough small spacetime areas. Equality of inertial mass and gravitational mass follows from equivalence principle because otherwise mechanical movement in accelerated system would be different from mechanical movement in field of gravity.
>
> Ginzburg, 105, p 339
>
> Analysis that I made recently shows that equivalence principle does not relates to equality of two different types of mass. The main point of equivalence principle is that no one phenomenon can distinguish one reference frame from another and laws of physics do not depend on which reference frame we use. Learning of electro magnetic fields shows that mass is less important in general relativity than we believed before. Not mass but momentum-energy tensor creates gravitational field. Light does not have mass but it has momentum. Einstein fixed his errors and formulated main principles next way: Let K is inertial system without field of

> gravity, K' is coordinate system which moves uniformly accelerated relative K. Then behavior of matter point relative system K' will be the same as when K' is inertial system where homogeneous field of gravity exists. Thus, definition of inertial system appears unfounded on the base of known from experience properties of gravity. Arises idea, that from point of view formulating law of nature each any way moving reference frame tantamount any other and therefore for areas of finite extent there are no physically chosen (privileged) states of movement (general relativity). Consistent realization of this idea demands more deep then in special relativity modification of geometric and kinematics fundamentals of theory... Generalizing we come to next result: field of gravity and metrics represent different forms of manifestation of the same physical field.
>
> [4]

Modern formulating of covariance principle does not depend on equivalence principle. Main point is that Lorentz transformations create definite group and physical values are invariant structures relative this group.

I want to point out, different erroneous interpretations of statements of general relativity and Einstein's statements (in particular, early) deplete content of general relativity. Thus identifying both principles Fock claimed that general relativity would be better called gravitation theory. Others authors consider that either principle like the Mach principle served as midwife and is not the basic principle of the theory anymore. Ambiguity of definition of Lorentz transformation caused wide research. Researchers mistaken simplified problem, choosed privileged reference frame. However, this contradicts to equivalence principle.

> Essential achievement of general relativity consists in escape of physics to introduce "inertial system". The latter concept is unsatisfactory because it chooses some systems from all conceptually possible coordinate systems without any proof. Then it assumes that laws of physics apply only for such inertial systems... On this way, space as such receives part choosing it from other elements of physical description. It plays certain part in all processes but does not meet back action. Such theory is possible; however, it does not appear satisfactory. Newton quite realized this imperfection; but he as well realized that he does not have another way at his time. Ernst Mach put particular attention on this circumstance between physicists of posterior time.
>
> 106, p 854, 855

Ginzburg writes systematizing erroneous conceptions

> ... Name "general relativity" is completely naturally and we do not have reasons to decline it. Also change of this name seems impossible because of established custom.
>
> Unfortunately, the questions of terminology and word usage interlace such close with existing problems that they very often prevent discussion of these problems ... and force to argue about words... Question about name of theory ... such clear terminological and cannot create divergence of the essentials. However, we cannot tell the same about problem of existing privileged reference frame in general relativity... Privileged reference frame in general relativity exists for small enough area in spacetime ... i.e. free falling local inertial reference frame ... where there are no forces of gravity

> and special relativity is correct. However, such systems ... do not coincide with inertial systems of classical mechanics...
>
> We do not see any analogue of inertial system, any so privileged system for area of finite extend. Opportunity of terminological disagreement appears here. Research of specific problems is associated with simplification, approximation, idealization of situation... However quite obviously particular case of such privilege which is different from privilege of inertial system of classical mechanics.
>
> 105, p 343 - 345

2.4. Spacetime and Quantum

> Every man is prisoner of his own ideas, and everybody must to blow up it in his youth to try comparing his ideas with reality. However, it is possible through several centuries that other man will reject his ideas. It is impossible in case of artist for his peculiarity. It happens only on the way to truth. And this is not sorrow.
>
> [7]

Ideas are close associated with physics. In macrophysics, all bodies have accurately definite form and move along accurately definite trajectories and geometry (in the variety of representations and theories) describes uniquely defined structures. General relativity is not exception.

In particular simple event is event that we can disregard duration and size. When we consider quantum processes such definition becomes incorrect. Point in space, trajectory of movement, form of body become abstractions, which do not have real analogue. However, we cannot disregard duration or size in most cases. Disappearance of border existing in macrophysics between waves and particles leads to washing out accurate geometric forms. Therefore, geometric forms come to contradiction with physics.

Joint analysis of equations of quantum mechanics and general relativity leads to paradoxical conclusion: we need to quantize metrics. We still do not have appropriate geometry. We yet not have corresponding geometry, However simple constructions allow to say something definite about geometrical structure of space of general relativistic quantum mechanics.

To understand the kernel of new geometrical consepts let us consider visual geometrical example. Let us consider the manifold of dimention 2. Assume that as result of problem solving we have got two metrics describing spheres of raddii R and r. Thus, in any point of manifold observer will be simultaneously on both spheres. Assume that we are on north pole. Then we discover that both spheres are tangent in north pole. Let us move to south. However the question arises: along which sphere will we move? Assume that we will move along large sphere. Then we stop to be tangent to small sphere. However this contradicts to assumption. Therefore, during movement along large sphere we carry along small sphere. Similarly, moving along small sphere, we carry along large sphere.

Undoubtedly, this picture does not depend neither from dimention of manifold nor from number and value of metrics. Now we can sum up.

- Quantization of metric tensor leads to foliating of main manifold (according to value of metric tensor).

- Quantization of metric tensor pushes out moving object from main manifold into manifold of tangent plains. We saw this process in general relativity: system of measuring instruments of observer is in tangent plains. During movement of observer the main manifold moves without sliding along plains and is tangent to them all time.

- Parallel transfer along given line is ambiguous and apparently is irreversible operation. Geodesic line is no more line as we use it in regular geometry and disintegrate into set of lines. Movement along these lines occurs certain probability. This leads to ambiguous representation of measuring instrument which observer uses.

Terra incognita of mathematical and physical effects follows farther. The time is not far distant when we are witnesses of new achivements in geometry, physics, phylosophy.

> Before I turn to question about completion of general relativity, I must to state my position relative physical theory that achieved the greatest progress from all physical theories of our time. I keep in mind statistic quantum mechanics... This is only modern theory giving orderly explanation to our knowledge of quantum nature of micro-mechanical processes. This theory from one hand and general relativity from other are considered correct in a sense although merging these theories did not turn out well so far though all efforts. This may be the reason that between modern physicist-theorist there are absolutely different opinions how theoretical foundation of future physics will look like. Will it be field theory?

[8], p. 288, 289

> B. Field theory is not yet completely defined by system field equations. Must we acknowledge existence of singularity? Must we postulate boundary conditions?
>
> C. May we think that field theory will allow to understand atomistic and quantum structure?.. I suppose nobody knows know something reliable because we do not know how and to what extent elimination of singularities reduces set of solutions. We do not have at all any method for methodical getting of solutions that are free from singularities... Now prevails opinion that before we need transfer field theory to statistic theory of probability using "quantization"... I see here only attempt to describe relationship of essentially nonlinear nature using linear methods.
>
> D. We can conclusively prove that reality cannot be described by continuous field. It follows from quantum phenomena that finite system with finite energy may be described by finite set of numbers (quantum numbers). It does not allow combining this with theory of continuum and demand algebraic theory to describe reality. However now nobody knows how to find basis for such theory.

106, p 872, 873

Before we find new geometry we can study what may happens if we join ideas of general relativity and quantum mechanics.

CHAPTER 3

Representation of Group

3.1. Representation of Group

Definition 3.1.1. We call the map

$$t : M \to M$$

nonsingular transformation, if there exists inverse map. □

Definition 3.1.2. Transformations is **left-side transformations** if it acts from left

$$u' = tu$$

We denote $l(M)$ the set of left-side nonsingular transformations of set M. □

Definition 3.1.3. Transformations is **right-side transformations** if it acts from right

$$u' = ut$$

We denote $r(M)$ the set of right-side nonsingular transformations of set M. □

We denote δ identical transformation.

Definition 3.1.4. Let $l(M)$ be a group and δ be unit of group $l(M)$. Let G be group. We call a homomorphism of group

$$f : G \to l(M)$$

left-side covariant representation of group G in set M if map f holds

$$f(ab)u = f(a)(f(b)u) \tag{3.1.1}$$

□

Definition 3.1.5. Let $l(M)$ be a group and δ be unit of group $l(M)$. Let G be group. We call an antihomomorphism of group

$$f : G \to l(M)$$

left-side contravariant representation of group G in set M if map f holds

$$f(ba)u = f(a)(f(b)u) \tag{3.1.2}$$

□

Definition 3.1.6. Let $r(M)$ be a group and δ be unit of group $r(M)$. Let G be group. We call a homomorphism of group

$$f : G \to r(M)$$

right-side covariant representation of group G in set M if map f holds

$$uf(ab) = (uf(a))f(b) \tag{3.1.3}$$

□

Definition 3.1.7. Let $r(M)$ be a group and δ be unit of group $r(M)$. Let G be group. We call an antihomomorphism of group

$$f: G \rightarrow r(M)$$

right-side contravariant representation of group G in set M if map f holds

$$uf(ab) = (uf(a))f(b) \tag{3.1.4}$$

□

Any statement which holds for left-side representation of group holds also for right-side representation. For this reason we use the common term **representation of group** and use notation for left-side representation in case when it does not lead to misunderstanding.

Theorem 3.1.8. *For any $g \in G$*

$$f(g^{-1}) = f(g)^{-1} \tag{3.1.5}$$

Proof. Since (3.1.1) and

$$f(e) = \delta \tag{3.1.6}$$

we have

$$u = \delta u = f(gg^{-1})u = f(g)(f(g^{-1})u)$$

This completes the proof. □

Example 3.1.9. The group operation determines two different representations on the group: the **left shift** which we introduce by the equation

$$b' = L(a)b = ab \tag{3.1.7}$$

and the **right shift** which we introduce by the equation

$$b' = R(a)b = ba \tag{3.1.8}$$

□

Theorem 3.1.10. *Let representation*

$$u' = f(a)u$$

be covariant representation. Then representation

$$u' = h(a)u = f(a^{-1})u$$

is contravariant representation.

Proof. Statement follows from chain of equations

$$h(ab) = f((ab)^{-1}) = f(b^{-1}a^{-1}) = f(b^{-1})f(a^{-1}) = h(b)h(a)$$

□

Definition 3.1.11. Let f be representation of the group G in set M. For any $v \in M$ we define **orbit of representation of the group** G as set

$$\mathcal{O}(v, g \in G, f(g)v) = \{w = f(g)v : g \in G\}$$

□

Since $f(e) = \delta$ we have $v \in \mathcal{O}(v, g \in G, f(g)v)$.

Theorem 3.1.12. *Suppose*

$$v \in \mathcal{O}(u, g \in G, f(g)u) \tag{3.1.9}$$

Then

$$\mathcal{O}(u, g \in G, f(g)u) = \mathcal{O}(v, g \in G, f(g)v)$$

Proof. From (3.1.9) it follows that there exists $a \in G$ such that

$$v = f(a)u \tag{3.1.10}$$

Suppose $w \in \mathcal{O}(v, g \in G, f(g)v)$. Then there exists $b \in G$ such that

$$w = f(b)v \tag{3.1.11}$$

If we substitute (3.1.10) into (3.1.11) we get

$$w = f(b)(f(a)u) \tag{3.1.12}$$

Since (3.1.1), we see that from (3.1.12) it follows that $w \in \mathcal{O}(u, g \in G, f(g)u)$. Thus

$$\mathcal{O}(v, g \in G, f(g)v) \subseteq \mathcal{O}(u, g \in G, f(g)u)$$

Since (3.1.5), we see that from (3.1.10) it follows that

$$u = f(a)^{-1}v = f(a^{-1})v \tag{3.1.13}$$

From (3.1.13) it follows that $u \in \mathcal{O}(v, g \in G, f(g)v)$ and therefore

$$\mathcal{O}(u, g \in G, f(g)u) \subseteq \mathcal{O}(v, g \in G, f(g)v)$$

This completes the proof. □

Theorem 3.1.13. *Suppose f_1 is representation of group G in set M_1 and f_2 is representation of group G in set M_2. Then we introduce* **direct product of representations f_1 and f_2 of group**

$$f = f_1 \otimes f_2 : G \rightarrow M_1 \otimes M_2$$
$$f(g) = (f_1(g), f_2(g))$$

Proof. To show that f is a representation, it is enough to prove that f satisfies the definition 3.1.4.

$$f(e) = (f_1(e), f_2(e)) = (\delta_1, \delta_2) = \delta$$

$$\begin{aligned} f(ab)u &= (f_1(ab)u_1, f_2(ab)u_2) \\ &= (f_1(a)(f_1(b)u_1), f_2(a)(f_2(b)u_2)) \\ &= f(a)(f_1(b)u_1, f_2(b)u_2) \\ &= f(a)(f(b)u) \end{aligned}$$

□

3.2. Single Transitive Representation of Group

Definition 3.2.1. We call **kernel of inefficiency of representation of group** G a set

$$K_f = \{g \in G : f(g) = \delta\}$$

If $K_f = \{e\}$ we call representation of group G **effective**. □

Theorem 3.2.2. *A kernel of inefficiency is a subgroup of group* G*.*

Proof. Assume $f(a_1) = \delta$ and $f(a_2) = \delta$. Then

$$f(a_1a_2)u = f(a_1)(f(a_2)u) = u$$

$$f(a^{-1}) = f^{-1}(a) = \delta$$

□

If an action is not effective we can switch to an effective one by changing group $G_1 = G|K_f$ using factorization by the kernel of inefficiency. This means that we can study only an effective action.

Definition 3.2.3. We call a representation of group **transitive** if for any $a, b \in V$ exists such g that

$$a = f(g)b$$

We call a representation of group **single transitive** if it is transitive and effective. □

Theorem 3.2.4. *Representation is single transitive if and only if for any* $a, b \in V$ *exists one and only one* $g \in G$ *such that* $a = f(g)b$

Definition 3.2.5. We call a space V **homogeneous space of group** G if we have single transitive representation of group G on V. □

Theorem 3.2.6. *If we define a single transitive representation* f *of the group* G *on the manifold* A *then we can uniquely define coordinates on* A *using coordinates on the group* G*.*

If f *is a covariant representation than* $f(a)$ *is equivalent to the left shift* $L(a)$ *on the group* G*. If* f *is a contravariant representation than* $f(a)$ *is equivalent to the right shift* $R(a)$ *on the group* G*.*

Proof. We select a point $v \in A$ and define coordinates of a point $w \in A$ as coordinates of the transformation a such that $w = f(a)v$. Coordinates defined this way are unique up to choice of an initial point $v \in A$ because the action is effective.

If f is a covariant representation we will use the notation

$$f(a)v = av$$

Because the notation

$$f(a)(f(b)v) = a(bv) = (ab)v = f(ab)v$$

is compatible with the group structure we see that the covariant representation f is equivalent to the left shift.

If f is a contravariant representation we will use the notation

$$f(a)v = va$$

Because the notation

$$f(a)(f(b)v) = (vb)a = v(ba) = f(ba)v$$

is compatible with the group structure we see that the contravariant representation f is equivalent to the right shift. ☐

THEOREM 3.2.7. *Left and right shifts on group G are commuting.*

PROOF. This is the consequence of the associativity on the group G

$$(L(a)R(b))c = a(cb) = (ac)b = (R(b)L(a))c$$

☐

THEOREM 3.2.8. *If we defined a single transitive representation f on the manifold A then we can uniquely define a single transitive representation h such that diagram*

$$\begin{tikzcd}
M \arrow[r, "h(a)"] \arrow[d, "f(b)"] & M \arrow[d, "f(b)"] \\
M \arrow[r, "h(a)"'] & M
\end{tikzcd}$$

is commutative for any a, $b \in G$.[3.1]

PROOF. We use group coordinates for points $v \in A$. For the simplicity we assume that f is a covariant representation. Then according to theorem 3.2.6 we can write the left shift $L(a)$ instead of the transformation $f(a)$.

Let points $v_0, v \in A$. Then we can find one and only one $a \in G$ such that

$$v = v_0 a = R(a)v_0$$

We assume

$$h(a) = R(a)$$

For some $b \in G$ we have

$$w_0 = f(b)v_0 = L(b)v_0 \qquad w = f(b)v = L(b)v$$

According to theorem 3.2.7 the diagram

$$\begin{tikzcd}
v_0 \arrow[r, "h(a)=R(a)"] \arrow[d, "f(b)=L(b)"] & v \arrow[d, "f(b)=L(b)"] \\
w_0 \arrow[r, "h(a)=R(a)"'] & w
\end{tikzcd} \tag{3.2.1}$$

is commutative.

Changing b we get that w_0 is an arbitrary point of A.

We see from the diagram that if $v_0 = v$ than $w_0 = w$ and therefore $h(e) = \delta$. On other hand if $v_0 \neq v$ then $w_0 \neq w$ because the representation f is single transitive. Therefore the representation h is effective.

In the same way we can show that for given w_0 we can find a such that $w = h(a)w_0$. Therefore the representation is single transitive.

In general the representation f is not commutative and therefore the representation h is different from the representation f. In the same way we can create a representation f using the representation h. ☐

[3.1] The theorem 3.2.8 is really very interesting. However its meaning becomes more clear when we apply this theorem to basis manifold, see section 4.1.

Remark 3.2.9. It is clear that transformations $L(a)$ and $R(a)$ are different until the group G is nonabelian. However they both are maps onto. Theorem 3.2.8 states that if both right and left shift presentations exist on the manifold A we can define two commuting representations on the manifold A. The left shift or the right shift only cannot present both types of representation. To understand why it is so let us change diagram (3.2.1) and assume $h(a)v_0 = L(a)v_0 = v$ instead of $h(a)v_0 = R(a)v_0 = v$ and let us see what expression $h(a)$ has at the point w_0. The diagram

$$\begin{tikzcd}
v_0 \arrow[r, "h(a)=L(a)"] \arrow[d, "f(b)=L(b)"] & v \arrow[d, "f(b)=L(b)"] \\
w_0 \arrow[r, "h(a)"'] & w
\end{tikzcd}$$

is equivalent to the diagram

$$\begin{tikzcd}
v_0 \arrow[r, "h(a)=L(a)"] & v \arrow[d, "f(b)=L(b)"] \\
w_0 \arrow[r, "h(a)"'] \arrow[u, "f^{-1}(b)=L(b^{-1})"] & w
\end{tikzcd}$$

and we have $w = bv = bav_0 = bab^{-1}w_0$. Therefore

$$h(a)w_0 = (bab^{-1})w_0$$

We see that the representation of h depends on its argument. □

3.3. Linear Representation of Group

Suppose we introduce additional structure on set M. Then we create an additional requirement for the representation of group.

Since we introduce continuity on set M, we suppose that transformation

$$u' = f(a)u$$

is continuous in u. Therefore, we get

$$\left|\frac{\partial u'}{\partial u}\right| \neq 0$$

Suppose M is a group. Then representations of left and right shifts have great importance.

Definition 3.3.1. Let M be vector space $\mathcal{V}$ over field F. We call the representation of group G in vector space $\mathcal{V}$ **linear representation** if $f(a)$ is homomorphism of space $\mathcal{V}$ for any $a \in G$. □

Remark 3.3.2. Let transformation $f(a)$ be linear homogeneous transformation. $f^{\beta}_{\gamma}(a)$ are elements of the matrix of transformation. We usually assume that the lower index enumerates rows in the matrix and the upper index enumerates columns.

According to the matrix product rule we can present coordinates of a vector as a row of a matrix. We call such vector a **row vector**. We can also study a vector whose coordinates form a column of a matrix. We call such vector a **column vector**.

Left-side linear representation in column vector space

$$u' = f(a)u \qquad u'_\alpha = f^\beta_\alpha(a)u_\beta \qquad a \in G$$

is covariant representation

$$u''_\gamma = f^\beta_\gamma(ba)u_\beta = f^\alpha_\gamma(b)(f^\beta_\alpha(a)u_\beta) = (f^\alpha_\gamma(b)f^\beta_\alpha(a))u_\beta$$

Left-side linear representation in row vector space

$$u' = f(a)u \qquad u'^\alpha = f^\alpha_\beta(a)u^\beta \qquad a \in G$$

is contravariant representation

$$u''^\gamma = f^\gamma_\beta(ba)u^\beta = f^\gamma_\alpha(b)(f^\alpha_\beta(a)u^\beta) = (f^\alpha_\beta(a)f^\gamma_\alpha(b))u^\beta$$

Right-side representation in column vector space

$$u' = uf(a) \qquad u'_\alpha = u_\beta f^\beta_\alpha(a) \qquad a \in G$$

is contravariant representation

$$u''_\gamma = u_\beta f^\beta_\gamma(ab) = (u_\beta f^\beta_\alpha(a))f^\alpha_\gamma(b) = u_\beta(f^\alpha_\gamma(b)f^\beta_\alpha(a))$$

Right-side representation in row vector space

$$u' = uf(a) \qquad u'^\alpha = u^\beta f^\alpha_\beta(a) \qquad a \in G$$

is covariant representation

$$u''^\gamma = u^\beta f^\gamma_\beta(ab) = (u^\beta f^\alpha_\beta(a))f^\gamma_\alpha(b) = u^\beta(f^\alpha_\beta(a)f^\gamma_\alpha(b))$$

□

Remark 3.3.3. Studying linear representations we clearly use tensor notation. We can use only upper index and notation $u^{\bullet\cdot}{}_{\alpha}$ instead of u_α. Then we can write the transformation of this object in the form

$$u'^{\bullet\cdot}{}_{\alpha} = f^{\bullet\cdot}{}_{\alpha}{}_{\bullet\cdot}{}^{\beta} u^{\bullet\cdot}{}_{\beta}$$

This way we can hide the difference between covariant and contravariant representations. This similarity goes as far as we need. □

CHAPTER 4

Basis Manifold

4.1. Basis in Vector Space

Assume we have vector space $\mathcal{V}$ and contravariant right-side effective linear representation of group $G = G(\mathcal{V})$. We usually call group $G(\mathcal{V})$ **symmetry group**. Without loss of generality we identify element g of group G with corresponding transformation of representation and write its action on vector $v \in \mathcal{V}$ as vg.

This point of view allows introduction of two types of coordinates for element g of group G. We can either use coordinates defined on the group, or introduce coordinates as elements of the matrix of the corresponding transformation. The former type of coordinates is more effective when we study properties of group G. The latter type of coordinates contains redundant data; however, it may be more convenient when we study representation of group G. The latter type of coordinates is called **coordinates of representation**.

A maximal set of linearly independent vectors $\overline{\overline{e}} =< e_{(i)} >$ is called a **basis**. In case when we want to show clearly that this is the basis in vector $\mathcal{V}$ we use notation $\overline{\overline{e}}_{\mathcal{V}}$.

Any homomorphism of the vector space maps one basis into another. Thus we can extend a covariant representation of the symmetry group to the set of bases. We write the action of element g of group G on basis $\overline{\overline{e}}$ as $R(g)\overline{\overline{e}}$. However not every two bases can be mapped by a transformation from the symmetry group because not every nonsingular linear transformation belongs to the representation of group G. Therefore, we can present the set of bases as a union of orbits of group G.

Properties of basis depend on the symmetry group. We can select basis $\overline{\overline{e}}$ vectors of which are in a relationship which is invariant relative to symmetry group. In this case all bases from orbit $\mathcal{O}(\overline{\overline{e}}, g \in G, R(g)\overline{\overline{e}})$ have vectors which satisfy the same relationship. Such a basis we call **G-basis**. In each particular case we need to prove the existence of a basis with certain properties. If such a basis does not exist we can choose an arbitrary basis.

Definition 4.1.1. We call orbit $\mathcal{O}(\overline{\overline{e}}, g \in G, R(g)\overline{\overline{e}})$ of the selected basis $\overline{\overline{e}}$ the **basis manifold $\mathcal{B}(\mathcal{V})$ of vector space $\mathcal{V}$**. □

Theorem 4.1.2. *Representation of group G on basis manifold is single transitive representation.*

Proof. According to definition 4.1.1 at least one transformation of representation is defined for any two bases. To prove this theorem it is sufficient to show that this transformation is unique.

Consider elements g_1, g_2 of group G and a basis $\overline{\overline{e}}$ such that

$$R_{g_1}\overline{\overline{e}} = R_{g_2}\overline{\overline{e}} \tag{4.1.1}$$

From (4.1.1) it follows that

$$R_{g_2^{-1}}R_{g_1}\overline{\overline{e}}=R_{g_1g_2^{-1}}\overline{\overline{e}}=\overline{\overline{e}} \tag{4.1.2}$$

Because any vector has a unique expansion relative to basis $\overline{\overline{e}}$ it follows from (4.1.2) that $R_{g_1g_2^{-1}}$ is an identical transformation of vector space $\mathcal{V}$. $g_1=g_2$ because representation of group G is effective on vector space $\mathcal{V}$. Statement of the theorem follows from this. □

Theorem 4.1.2 means that the basis manifold $\mathcal{B}(\mathcal{V})$ is a homogenous space of group G. We constructed contravariant right-side single transitive linear representation of group G on the basis manifold. Such representation is called **active representation**. A corresponding transformation on the basis manifold is called **active transformation** ([24]) because the homomorphism of the vector space induced this transformation.

According to theorem 3.2.6 because basis manifold $\mathcal{B}(\mathcal{V})$ is a homogenous space of group G we can introduce on $\mathcal{B}(\mathcal{V})$ two types of coordinates defined on group G. In both cases coordinates of basis $\overline{\overline{e}}$ are coordinates of the homomorphism mapping a fixed basis $\overline{\overline{e}}_0$ to the basis $\overline{\overline{e}}$. Coordinates of representation are called **standard coordinates of basis**. We can show that standard coordinates e^i_k of basis $\overline{\overline{e}}$ for certain value of k are coordinates of vectors $\overline{e}_k\in\overline{\overline{e}}$ relative to a fixed basis $\overline{\overline{e}}_0$.

Basis $\overline{\overline{e}}$ creates coordinates in $\mathcal{V}$. In different types of space it may be done in different ways. In affine space if node of basis is point A than point B has the same coordinates as vector $\overrightarrow{AB}$ relative basis $\overline{\overline{e}}$. In a general case we introduce coordinates of a vector as coordinates relative to the selected basis. Using only bases of type G means using of specific coordinates on $\mathcal{A}_n$. To distinguish them we call this G**-coordinates**. We also call the space $\mathcal{V}$ with such coordinates G**-space**.

According to theorem 3.2.8 another representation, commuting with passive, exists on the basis manifold. As we see from remark 3.2.9 transformation of this representation is different from a passive transformation and cannot be reduced to transformation of space $\mathcal{V}$. To emphasize the difference this transformation is called a **passive transformation** of vector space $\mathcal{V}$ and the representation is called **passive representation**. We write the passive transformation of basis $\overline{\overline{e}}$, defined by element $g\in G$, as $L(g)\overline{\overline{e}}$.

4.2. Basis in Affine Space

We identify vectors of the affine space $\mathcal{A}_n$ with pair of points $\overrightarrow{AB}$. All vectors that have a common beginning A create a vector space that we call a tangent vector space $T_A\mathcal{A}_n$.

A topology that $\mathcal{A}_n$ inherits from the map $\mathcal{A}_n\rightarrow R^n$ allows us to study smooth transformations of $\mathcal{A}_n$ and their derivatives. More particularly, the derivative of transformation f maps the vector space $T_A\mathcal{A}_n$ into $T_{f(A)}\mathcal{A}_n$. If f is linear then its derivative is the same at every point. Introducing coordinates $A^1,...,A^n$ of a point $A\in\mathcal{A}_n$ we can write a linear transformation as

$$A'^i=P^i_jA^j+R^i \qquad \det P\neq 0 \tag{4.2.1}$$

Derivative of this transformation is defined by matrix $\|P^i_j\|$. and does not depend on point A. Vector $(R^1,...,R^n)$ expresses displacement in affine space. Set of transformations (4.2.1) is the group Lie which we denote as $GL(\mathcal{A}_n)$ and call **affine transformation group**.

Definition 4.2.1. **Affine basis** $\overline{\overline{e}} =< O, \overline{e}_i >$ is set of linear independent vectors $\overline{e}_i = \overrightarrow{OA}_i = (e_i^1, ..., e_i^n)$ with common start point $O = (O^1, ..., O^n)$. ☐

Definition 4.2.2. **Basis manifold** $\mathcal{B}(\mathcal{A}_n)$ **of affine space** is set of bases of this space. ☐

An active transformation is called **affine transformation**. A passive transformation is called **quasi affine transformation**.

If we do not concern about starting point of a vector we see little different type of space which we call central affine space $\mathcal{CA}_n$. In the central affine space we can identify all tangent spaces and denote them $T\mathcal{CA}_n$. If we assume that the start point of vector is origin O of coordinate system in space then we can identify any point $A \in \mathcal{CA}_n$ with the vector $a = \overrightarrow{OA}$. This leads to identification of $\mathcal{CA}_n$ and $T\mathcal{CA}_n$. Now transformation is simply map

$$a'^i = P^i_j a^j \qquad \det P \neq 0$$

and such transformations build up Lie group GL_n.

Definition 4.2.3. **Central affine basis** $\overline{\overline{e}} =< \overline{e}_i >$ is set of linearly independent vectors $\overline{e}_i = (e_i^1, ..., e_i^n)$. ☐

Definition 4.2.4. **Basis manifold** $\mathcal{B}(\mathcal{CA}_n)$ **of central affine space** is set of bases of this space. ☐

4.3. Basis in Euclid Space

When we introduce a metric in a central affine space we get a new geometry because we can measure a distance and a length of vector. If a metric is positive defined we call the space Euclid $\mathcal{E}_n$ otherwise we call the space pseudo Euclid $\mathcal{E}_{nm}$.

Transformations that preserve length form Lie group $SO(n)$ for Euclid space and Lie group $SO(n,m)$ for pseudo Euclid space where n and m number of positive and negative terms in metrics.

Definition 4.3.1. **Orthonornal basis** $\overline{\overline{e}} =< \overline{e}_i >$ is set of linearly independent vectors $\overline{e}_i = (e_i^1, ..., e_i^n)$ such that length of each vector is 1 and different vectors are orthogonal. ☐

We can prove existence of orthonormal basis using Gram-Schmidt orthogonalization procedure.

Definition 4.3.2. **Basis manifold** $\mathcal{B}(\mathcal{E}_n)$ **of Euclid space** is set of orthonornal bases of this space. ☐

A active transformation is called **movement**. An passive transformation is called **quasi movement**.

4.4. Geometrical Object of Vector Space

An active transformation changes bases and vectors uniformly and coordinates of vector relative basis do not change. A passive transformation changes only the basis and it leads to change of coordinates of vector relative to basis.

Let passive transformation $L(a) \in G$ defined by matrix (a^i_j) maps basis $\overline{\overline{e}} =< e_i >\in \mathcal{B}(\mathcal{V})$ into basis $\overline{\overline{e}}' =< e'_i >\in \mathcal{B}(\mathcal{V})$

$$e'_j = a^i_j e_i \tag{4.4.1}$$

Let vector $v \in \mathcal{V}$ have expansion

$$v = v^i e_i \tag{4.4.2}$$

relative to basis $\overline{\overline{e}}$ and have expansion

$$v = v'^i e'_i \tag{4.4.3}$$

relative to basis $\overline{\overline{e}}'$. From (4.4.1) and (4.4.3) it follows that

$$v = v'^j a^i_j e_i \tag{4.4.4}$$

Comparing (4.4.2) and (4.4.4) we get

$$v^i = v'^j a^i_j \tag{4.4.5}$$

Because a^i_j is nonsingular matrix we get from (4.4.5)

$$v'^i = v^j a^{-1}{}^i_j \tag{4.4.6}$$

Coordinate transformation (4.4.6) does not depend on vector v or basis $\overline{\overline{e}}$, but is defined only by coordinates of vector v relative basis $\overline{\overline{e}}$.

Suppose we select basis $\overline{\overline{e}}$. Then the set of coordinates (v^i) relative to this basis forms a vector space $\tilde{\mathcal{V}}$ isomorphic to vector space $\mathcal{V}$. This vector space is called **coordinate vector space**. This isomorphism is called **coordinate isomorphism**. Denote by $\overline{\delta}_k = (\delta^i_k)$ the image of vector $e_k \in \overline{\overline{e}}$ under this .

Theorem 4.4.1. *Coordinate transformations* (4.4.6) *form right-side contravariant effective linear representation of group G which is called* **coordinate representation**.

Proof. Suppose we have two consecutive passive transformations $L(a)$ and $L(b)$. Coordinate transformation (4.4.6) corresponds to passive transformation $L(a)$. Coordinate transformation

$$v''^k = v'^i b^{-1}{}^k_i \tag{4.4.7}$$

corresponds to passive transformation L_b. Product of coordinate transformations (4.4.6) and (4.4.7) has form

$$v''^k = v^j a^{-1}{}^i_j b^{-1}{}^k_i = v^j (ba)^{-1}{}^k_j \tag{4.4.8}$$

and is coordinate transformation corresponding to passive transformation L_{ba}. It proves that coordinate transformations form contravariant right-side linear representation of group G.

Suppose coordinate transformation does not change vectors δ_k. Then unit of group G corresponds to it because representation is single transitive. Therefore, coordinate representation is effective. □

Let homomorphism of group G to the group of passive transformations of vector space $\mathcal{W}$ be coordinated with symmetry group of vector space $\mathcal{V}$. This means that passive transformation $L(a)$ of vector space $\mathcal{W}$ corresponds to passive transformation $L(a)$ of vector space $\mathcal{V}$.

$$E'_\alpha = A^\beta_\alpha(a) E_\beta \tag{4.4.9}$$

Then coordinate transformation in $\mathcal{W}$ gets form

$$w'^{\alpha}=w^{\beta}A(a^{-1})_{\beta}^{\alpha}=w^{\beta}A(a)^{-1}{}_{\beta}^{\alpha} \tag{4.4.10}$$

Definition 4.4.2. Orbit

$$\mathcal{O}((w,\overline{\overline{e}}_{\mathcal{V}}),a\in G,(wA(a)^{-1},L(a)\overline{\overline{e}}_{\mathcal{V}}))$$

is called **geometrical object in coordinate representation** defined in vector space $\mathcal{V}$. For any basis $\overline{\overline{e}}'_{\mathcal{V}}=L(a)\overline{\overline{e}}_{\mathcal{V}}$ corresponding point (4.4.10) of orbit defines **coordinates of geometrical object** relative basis $\overline{\overline{e}}'_{\mathcal{V}}$. □

Definition 4.4.3. Orbit

$$\mathcal{O}((w,\overline{\overline{e}}_{\mathcal{W}},\overline{\overline{e}}_{\mathcal{V}}),a\in G,(wA(a)^{-1},L(a)\overline{\overline{e}}_{\mathcal{W}},L(a)\overline{\overline{e}}_{\mathcal{V}}))$$

is called **geometrical object** defined in vector space $\mathcal{V}$. For any basis $\overline{\overline{e}}'_{\mathcal{V}}=L(a)\overline{\overline{e}}_{\mathcal{V}}$ corresponding point (4.4.10) of orbit defines **coordinates of a geometrical object** relative to basis $\overline{\overline{e}}'_{\mathcal{V}}$ and the corresponding vector

$$w=w'^{\alpha}E'_{\alpha}$$

is called **representative of geometrical object** in basis $\overline{\overline{e}}'_{\mathcal{V}}$. □

We also say that w is a **geometrical object of type** A

Since a geometrical object is an orbit of representation, we see that according to theorem 3.1.12 the definition of the geometrical object is a proper definition.

Definition 4.4.2 introduces a geometrical object in coordinate space. We assume in definition 4.4.3 that we selected a basis in vector space $\mathcal{W}$. This allows using a representative of the geometrical object instead of its coordinates.

Theorem 4.4.4 (**invariance principle**). *Representative of geometrical object does not depend on selection of basis* $\overline{\overline{e}}'_{\mathcal{V}}$.

Proof. To define representative of geometrical object, we need to select basis $\overline{\overline{e}}_{\mathcal{V}}$, basis $\overline{\overline{e}}_{\mathcal{W}}=(E_{\alpha})$ and coordinates of geometrical object w^{α}. Corresponding representative of geometrical object has form

$$w=w^{\alpha}E_{\alpha}$$

Suppose we map basis $\overline{\overline{e}}_{\mathcal{V}}$ to basis $\overline{\overline{e}}'_{\mathcal{V}}$ by passive transformation $L(a)$. According building this forms passive transformation (4.4.9) and coordinate transformation (4.4.10). Corresponding representative of geometrical object has form

$$w'=w'^{\alpha}E'_{\alpha}=w^{\beta}A(a)^{-1}{}_{\beta}^{\alpha}A_{\alpha}^{\gamma}(a)E_{\gamma}=w'^{\beta}E'_{\beta}=w$$

Therefore representative of geometrical object is invariant relative selection of basis. □

Definition 4.4.5. Let

$$w_1=w_1^{\alpha}E_{\alpha}$$
$$w_2=w_2^{\alpha}E_{\alpha}$$

be geometrical objects of the same type defined in vector space $\mathcal{V}$. Geometrical object

$$w=(w_1^{\alpha}+w_2^{\alpha})E_{\alpha}$$

is called **sum**

$$w=w_1+w_2$$

of geometrical objects w_1 and w_2. □

Definition 4.4.6. Let

$$w_1 = w_1^\alpha E_\alpha$$

be geometrical object defined in vector space $\mathcal{V}$ over field F. Geometrical object

$$w_2 = (kw_1^\alpha) E_\alpha$$

is called **product**

$$w_2 = kw_1$$

of geometrical object w_1 **and constant** $k \in F$. □

Theorem 4.4.7. *Geometrical objects of type A defined in vector space $\mathcal{V}$ over field F form vector space over field F.*

Proof. The statement of the theorem follows from immediate verification of the properties of vector space. □

CHAPTER 5

Reference Frame in Event Space

5.1. Reference Frame on Manifold

As is shown in section 4.1 we can identify frame manifold of vector space and symmetry group of this space. Our interest was not details of structure of basis, and stated theory can be generalized and extended on an arbitrary manifold. The details of structure of basis did not interest us and stated theory can be generalized. In this section we generalize the definition of a frame and introduce a reference frame on a manifold. In case of an event space of general relativity it leads us to a natural definition of a reference frame and the Lorentz transformation.

When we study manifold $\mathcal{V}$ the geometry of tangent space is one of important factors. In this section, we will make the following assumption.

- All tangent spaces have the same geometry.
- Tangent space is vector space $\mathcal{V}$ of finite dimension n.
- Symmetry group of tangent space is Lie group G.

Definition 5.1.1. Set $\overline{\overline{e}} =< \overline{e}_{(i)}, i \in I >$ of vector fields $\overline{e}_{(i)}$ is called **G-reference frame**, if for any $x \in \mathcal{V}$ set $\overline{\overline{e}}(x) =< \overline{e}_{(i)}(x), i \in I >$ is a G-basis[5.1] in tangent space T_x.[5.2] We use notation $\overline{e}_{(i)} \in \overline{\overline{e}}$ for vector fields which form G-reference frame $\overline{\overline{e}}$. □

Vector field $\overline{a}$ has expansion

$$\overline{a} = a^{(i)}\overline{e}_{(i)} \tag{5.1.1}$$

relative reference frame $\overline{\overline{e}}$.

If we do not limit definition of a reference frame by symmetry group, then at each point of the manifold we can select reference frame $\overline{\overline{\partial}} =< \overline{\partial}_i >$ based on vector fields tangent to lines $x^i = const$. We call this field of bases the **coordinate reference frame**. Vector field $\overline{a}$ has expansion

$$\overline{a} = a^i\overline{\partial}_i \tag{5.1.2}$$

relative coordinate reference frame. Then standard coordinates of reference frame $\overline{\overline{e}}$ have form $e^k_{(i)}$

$$\overline{e}_{(i)} = e^k_{(i)}\overline{\partial}_k \tag{5.1.3}$$

Because vectors $\overline{e}_{(i)}$ are linearly independent at each point matrix $\|e^k_{(i)}\|$ has inverse matrix $\|e^{(i)}_k\|$

$$\overline{\partial}_k = e^{(i)}_k\overline{e}_{(i)} \tag{5.1.4}$$

[5.1] According to section 4.1 we can identify basis $\overline{\overline{e}}(x)$ with an element of group G.

[5.2] In each particular case we need to prove existence of G-reference frame on manifold.

We use also a more extensive definition for reference frame on manifold, presented in form $\overline{\overline{e}} = (\overline{e}_{(k)}, \overline{e}^{(k)})$ where we use the set of vector fields $\overline{e}_{(k)}$ and dual forms $\overline{e}^{(k)}$ such that

$$\overline{e}^{(k)}(\overline{e}_{(l)}) = \delta^{(k)}_{(l)} \tag{5.1.5}$$

at each point. Forms $\overline{e}^{(k)}$ are defined uniquely from (5.1.5).

In a similar way, we can introduce a coordinate reference frame $(\overline{\partial}_i, \overline{d}s^i)$. These reference frames are linked by the relationship

$$\overline{e}_{(k)} = e^i_{(k)}\overline{\partial}_i \tag{5.1.6}$$

$$\overline{e}^{(k)} = e^{(k)}_i\overline{d}x^i \tag{5.1.7}$$

From equations (5.1.6), (5.1.7), (5.1.5) it follows

$$e^{(k)}_i e^i_{(l)} = \delta^{(k)}_{(l)} \tag{5.1.8}$$

In particular we assume that we have $GL(n)$-reference frame (∂, dx) raised by n differentiable vector fields ∂_i and 1-forms dx^i, that define field of bases ∂ and cobases dx dual them.

If we have function φ on V than we define **pfaffian derivative**

$$d\varphi = \partial_i\varphi dx^i$$

5.2. Reference Frame in Event Space

Starting from this section, we consider orthogonal reference frame $\overline{\overline{e}} = (\overline{e}_{(k)}, \overline{e}^{(k)})$ in Riemann space with metric g_{ij}. According to definition, at each point of Riemann space vector fields of orthogonal reference frame satisfy to equation

$$g_{ij}e^i_{(k)}e^j_{(l)} = g_{(k)(l)}$$

where $g_{(k)(l)} = 0$, if $(k) \neq (l)$, and $g_{(k)(k)} = 1$ or $g_{(k)(k)} = -1$ depending on signature of metric.

We can define the **reference frame in event space** V as $O(3,1)$-reference frame. To enumerate vectors, we use index $k = 0, ..., 3$. Index $k = 0$ corresponds to time like vector field.

REMARK 5.2.1. We can prove the existence of a reference frame using the orthogonolization procedure at every point of space time. From the same procedure we get that coordinates of basis smoothly depend on the point.

A smooth field of time like vectors of each basis defines congruence of lines that are tangent to this field. We say that each line is a world line of an observer or a **local reference frame**. Therefore a reference frame is set of local reference frames. □

We define the **Lorentz transformation** as transformation of a reference frame

$$x'^i = f^i(x^0, x^1, x^2, x^3)$$

$$e'^i_{(k)} = a^i_j b^{(l)}_{(k)} e^j_{(l)} \tag{5.2.1}$$

where

$$a^i_j = \frac{\partial x'^i}{\partial x'^j}$$

$$\delta_{(i)(l)} b^{(i)}_{(j)} b^{(l)}_{(k)} = \delta_{(j)(k)}$$

We call the transformation a^i_j the holonomic part and transformation $b^{(l)}_{(k)}$ the anholonomic part.

5.3. Anholonomic Coordinates

Let $E(V,G,\pi)$ be the principal bundle, where V is the differential manifold of dimension n and class not less than 2. We also assume that G is symmetry group of tangent plain.

We define connection form on principal bundle

$$\omega^L=\lambda^L_N da^N+\Gamma^L_i dx^i \quad \omega=\lambda_N da^N+\Gamma dx \tag{5.3.1}$$

We call functions Γ_i connection components.

If fiber is group $GL(n)$, than connection has form

$$\begin{gathered}\omega^a_b=\Gamma^a_{bc}dx^c\\ \Gamma^A_i=\Gamma^a_{bi}\end{gathered} \tag{5.3.2}$$

A vector field $\overline{a}$ has two types of coordinates: **holonomic coordinates** a^i relative coordinate reference frame and **anholonomic coordinates** $a^{(i)}$ relative reference frame. These two forms of coordinates also hold the relation

$$a^i(x)=e^i_{(i)}(x)a^{(i)}(x) \tag{5.3.3}$$

at any point x.

We can study parallel transfer of vector fields using any form of coordinates. Because (5.2.1) is a linear transformation we expect that parallel transfer in anholonomic coordinates has the same representation as in holonomic coordinates. Hence we write

$$da^k=-\Gamma^k_{ij}a^i dx^j$$

$$da^{(k)}=-\Gamma^{(k)}_{(i)(j)}a^{(i)}dx^{(j)}$$

It is required to establish link between **holonomic coordinate of connection** Γ^k_{ij} and **anholonomic coordinates of connection** $\Gamma^{(k)}_{(i)(j)}$

$$a^i(x+dx)=a^i(x)+da^i=c^i(x)-\Gamma^i_{kp}c^k(x)dx^p \tag{5.3.4}$$

$$a^{(i)}(x+dx)=a^{(i)}(x)+da^{(i)}=c^{(i)}(x)-\Gamma^{(i)}_{(k)(p)}c^{(k)}(x)dx^{(p)} \tag{5.3.5}$$

Considering (5.3.4), (5.3.5), and (5.3.3) we get

$$\begin{gathered}a^i(x)-\Gamma^i_{kp}a^k(x)dx^p\\ =e^i_{(i)}(x+dx)\left(a^{(i)}(x)-\Gamma^{(i)}_{(k)(p)}e^{(k)}_i(x)a^i(x)e^{(p)}_p(x)dx^p\right)\end{gathered} \tag{5.3.6}$$

It follows from (5.3.6) that

$$\begin{aligned}\Gamma^{(i)}_{(k)(p)}e^{(k)}_i(x)e^{(p)}_p(x)a^i(x)dx^p&=a^{(i)}(x)-e^{(i)}_i(x+dx)\left(a^i(x)-\Gamma^i_{kp}a^k(x)dx^p\right)\\&=a^i(x)e^{(i)}_i(x)-e^{(i)}_i(x+dx)\left(a^i(x)-\Gamma^i_{kp}a^k(x)dx^p\right)\\&=a^i(x)\left(e^{(i)}_i(x)-e^{(i)}_i(x+dx)\right)+e^{(i)}_j(x)\Gamma^j_{ip}a^i(x)dx^p\\&=e^{(i)}_j(x)\Gamma^j_{ip}a^i(x)dx^p-a^i(x)\frac{\partial e^{(i)}_i(x)}{\partial x^p}dx^p\\&=\left(e^{(i)}_j(x)\Gamma^j_{ip}-\frac{\partial e^{(i)}_i(x)}{\partial x^p}\right)a^i(x)dx^p\end{aligned}$$

Because $a^i(x)$ and dx^p are arbitrary we get

$$\Gamma^{(i)}_{(k)(p)}e^{(k)}_i(x)e^{(p)}_p(x)=e^{(i)}_j(x)\Gamma^j_{ip}-\frac{\partial e^{(i)}_i(x)}{\partial x^p}$$

$$\Gamma^{(i)}_{(k)(p)}=e^i_{(k)}e^p_{(p)}e^{(i)}_j\Gamma^j_{ip}-e^i_{(k)}e^p_{(p)}\frac{\partial e^{(i)}_i}{\partial x^p}\tag{5.3.7}$$

We introduce symbolic operator

$$\frac{\partial}{\partial x^{(p)}}=e^p_{(p)}\frac{\partial}{\partial x^p}\tag{5.3.8}$$

From (5.1.8) it follows

$$e^i_{(l)}\frac{\partial e^{(k)}_i}{\partial x^p}+e^{(k)}_i\frac{\partial e^i_{(l)}}{\partial x^p}=0\tag{5.3.9}$$

Substitude (5.3.8) and (5.3.9) into (5.3.7)

$$\Gamma^{(i)}_{(k)(p)}=e^i_{(k)}e^p_{(p)}e^{(i)}_j\Gamma^j_{ip}-e^{(i)}_i\frac{\partial e^i_{(k)}}{\partial x^{(p)}}\tag{5.3.10}$$

Equation (5.3.10) shows some similarity between holonomic and anholonomic coordinates. We introduce symbol $\partial_{(k)}$ for the derivative along vector field $e_{(k)}$

$$\partial_{(k)}=e^i_{(k)}\partial_i$$

Then (5.3.10) takes the form

$$\Gamma^{(k)}_{(l)(p)}=e^i_{(l)}e^r_{(p)}e^{(k)}_j\Gamma^j_{ir}-e^i_{(l)}\partial_{(p)}e^{(k)}_i$$

Therefore when we move from holonomic coordinates to anholonomic, the connection transforms the way similarly to when we move from one coordinate system to another. This leads us to the model of anholonomic coordinates.

The vector field $e_{(k)}$ generates lines defined by the differential equations

$$e^j_{(l)}\frac{\partial t}{\partial x^j}=\delta^{(k)}_{(l)}$$

or the symbolic system

$$\frac{\partial t}{\partial x^{(l)}}=\delta^{(k)}_{(l)}\tag{5.3.11}$$

Keeping in mind the symbolic system (5.3.11) we denote the functional t as $x^{(k)}$ and call it the **anholonomic coordinate**. We call the regular coordinate holonomic.

From here we can find derivatives and get

$$\frac{\partial x^{(i)}}{\partial x^k} = e^{(i)}_k \tag{5.3.12}$$

The necessary and sufficient conditions of complete integrability of system (5.3.12) are

$$c^{(i)}_{(k)(l)} = 0$$

where we introduced **anholonomity object**

$$c^{(i)}_{(k)(l)} = e^k_{(k)} e^l_{(l)} \left(\frac{\partial e^{(i)}_k}{\partial x^l} - \frac{\partial e^{(i)}_l}{\partial x^k} \right) \tag{5.3.13}$$

Therefore each reference frame has n vector fields

$$\partial_{(k)} = \frac{\partial}{\partial x^{(k)}} = e^i_{(k)} \partial_i$$

which have commutator

$$\begin{gathered}
[\partial_{(i)}, \partial_{(j)}] = \left(e^k_{(i)} \partial_k e^l_{(j)} - e^k_{(j)} \partial_k e^l_{(i)} \right) e^{(m)}_l \partial_{(m)} = \\
e^k_{(i)} e^l_{(i)} \left(-\partial_k e^{(m)}_l + \partial_l e^{(m)}_l \right) \partial_{(m)} = c^{(m)}_{(k)(l)} \partial_{(m)}
\end{gathered}$$

For the same reason we introduce forms

$$dx^{(k)} = e^{(k)} = e^{(k)}_l dx^l$$

and an exterior differential of this form is

$$\begin{aligned}
d^2 x^{(k)} &= d \left(e^{(k)}_i dx^i \right) \\
&= \left(\partial_j e^{(k)}_i - \partial_i e^{(k)}_j \right) dx^i \wedge dx^j \\
&= -c^{(m)}_{(k)(l)} dx^{(k)} \wedge dx^{(l)}
\end{aligned} \tag{5.3.14}$$

Therefore when $c^{(i)}_{(k)(l)} \neq 0$, the differential $dx^{(k)}$ is not an exact differential and the system (5.3.12) in general cannot be integrated. However we can create a meaningful object that models the solution. We can study how function $x^{(i)}$ changes along different lines. We call such cordinates **anholonomic coordinates on manifold**.

Remark 5.3.1. Function $x^{(i)}$ is a natural parameter along a flow line of vector field $\overline{e}_{(i)}$. We study an instance of such function in section 7.1. The proper time is defined along world line of local reference frame. As we see in remark 5.2.1 world lines of local reference frames cover spacetime. To make proper time of local reference frames as time of reference frame we expect that proper time smoothly changes from point to point. To synchronize clocks of local reference frames we use classical procedure of exchange light signals.

From mathematical point of view this is problem to integrate differential form. However, a change of function along a loop is

$$\begin{aligned}\Delta x^{(i)} &= \oint dx^{(i)}\\ &= \int\int c^{(i)}_{(k)(l)} dx^{(k)} \wedge dx^{(l)}\\ &= \int\int c^{(i)}_{(k)(l)} e^{(k)}_k e^{(l)}_l dx^k \wedge dx^l\end{aligned} \tag{5.3.15}$$

Somebody may have impression that we cannot synchronize clock, however this conflicts with our observation. We accept that synchronization is possible until we introduce time along non closed lines. Synchronization breaks when we try synchronize clocks along closed line.

This means ambiguity in definition of anholonomic coordinates. □

From now on we will not make a difference between holonomic and anholonomic coordinates. Also, we will denote $b^{(l)}_{(k)}$ as $a^{-1}{}^{(l)}_{(k)}$ in the Lorentz transformation (5.2.1).

Even form $dx^{(k)}$ is not exact differential, we can see that form $d^2x^{(k)}$ is exterior differential of form $dx^{(k)}$. Therefore

$$d^3x^{(k)} = 0 \tag{5.3.16}$$

We can represent exterior differential of form, written in anholonomic coordinates, as

$$\begin{aligned}&d(a_{(i_1)...(i_n)} dx^{(i_1)} \wedge ... \wedge dx^{(i_n)})\\ =&a_{(i_1)...(i_n),p} dx^p \wedge dx^{(i_1)} \wedge ... \wedge dx^{(i_n)}\\ -&a_{(i_1)...(i_n)} ddx^{(i_1)} \wedge ... \wedge dx^{(i_n)} - ... - (-1)^{n-1} a_{(i_1)...(i_n)} dx^{(i_1)} \wedge ... \wedge ddx^{(i_n)}\\ =&a_{(i_1)...(i_n),(p)} e^{(p)}_p e^p_{(r)} dx^{(r)} \wedge dx^{(i_1)} \wedge ... \wedge dx^{(i_n)}\\ -&a_{(i_1)...(i_n)} c^{(i_1)}_{(p)(r)} dx^{(p)} \wedge dx^{(r)} \wedge ... \wedge dx^{(i_n)} - ...\\ -&(-1)^{n-1} a_{(i_1)...(i_n)} dx^{(i_1)} \wedge ... \wedge c^{(i_n)}_{(p)(r)} dx^{(p)} \wedge dx^{(r)}\\ =&(a_{(i_1)...(i_n),(p)} - a_{(r)...(i_n)} c^{(r)}_{(p)(i_1)} - ... - a_{(i_1)...(r)} c^{(r)}_{(p)(i_n)}) dx^{(p)} \wedge dx^{(i_1)} \wedge ... \wedge dx^{(i_n)}\end{aligned}$$

In case of form $d^3x^{(k)}$ we get equation

$$\begin{aligned}&d(c^{(k)}_{(i)(j)} dx^{(i)} \wedge dx^{(j)})\\ &= (c^{(k)}_{(i)(j),(p)} - c^{(k)}_{(r)(j)} c^{(r)}_{(p)(i)} - c^{(k)}_{(i)(r)} c^{(r)}_{(p)(j)}) dx^{(p)} \wedge dx^{(i)} \wedge dx^{(j)}\end{aligned} \tag{5.3.17}$$

From equations (5.3.16) and (5.3.17) it follows

$$(c^{(k)}_{(i)(j),(p)} - c^{(k)}_{(r)(j)} c^{(r)}_{(p)(i)} - c^{(k)}_{(i)(r)} c^{(r)}_{(p)(j)}) dx^{(p)} \wedge dx^{(i)} \wedge dx^{(j)} = 0 \tag{5.3.18}$$

It is easy to see that

$$\begin{aligned}&(-c^{(k)}_{(r)(j)} c^{(r)}_{(p)(i)} - c^{(k)}_{(i)(r)} c^{(r)}_{(p)(j)}) dx^{(i)} \wedge dx^{(j)}\\ &= (-c^{(k)}_{(r)(j)} c^{(r)}_{(p)(i)} + c^{(k)}_{(r)(i)} c^{(r)}_{(p)(j)}) dx^{(i)} \wedge dx^{(j)}\\ &= -2c^{(k)}_{(r)(j)} c^{(r)}_{(p)(i)} dx^{(i)} \wedge dx^{(j)}\end{aligned} \tag{5.3.19}$$

Substituting from (5.3.19) into (5.3.18) gives

$$(c^{(k)}_{(i)(j),(p)}-2c^{(k)}_{(r)(j)}c^{(r)}_{(p)(i)})dx^{(p)}\wedge dx^{(i)}\wedge dx^{(j)}=0 \tag{5.3.20}$$

From (5.3.20), it follows

$$\begin{aligned}&c^{(k)}_{(i)(j),(p)}+c^{(k)}_{(j)(p),(i)}+c^{(k)}_{(p)(i),(j)}\\&=2c^{(k)}_{(r)(j)}c^{(r)}_{(p)(i)}+2c^{(k)}_{(r)(p)}c^{(r)}_{(i)(j)}+2c^{(k)}_{(r)(i)}c^{(r)}_{(j)(p)}\end{aligned} \tag{5.3.21}$$

We define the curvature form for connection (5.3.1)

$$\Omega=d\omega+[\omega,\omega]$$

$$\Omega^D=d\omega^D+C^D_{AB}\omega^A\wedge\omega^B=R^D_{ij}dx^i\wedge dx^j$$

where we defined a curvature object

$$R^D_{ij}=\partial_i\Gamma^D_j-\partial_j\Gamma^D_i+C^D_{AB}\Gamma^A_i\Gamma^B_j+\Gamma^D_k c^k_{ij}$$

The curvature form for the connection (5.3.2) is

$$\Omega^a_c=d\omega^a_c+\omega^a_b\wedge\omega^b_c \tag{5.3.22}$$

where we defined a curvature object

$$R^D_{ij}=R^a_{bij}=\partial_i\Gamma^a_{bj}-\partial_j\Gamma^a_{bi}+\Gamma^a_{ci}\Gamma^c_{bj}-\Gamma^a_{cj}\Gamma^c_{bi}+\Gamma^a_{bk}c^k_{ij} \tag{5.3.23}$$

We introduce Ricci tensor

$$R_{bj}=R^a_{baj}=\partial_a\Gamma^a_{bj}-\partial_j\Gamma^a_{ba}+\Gamma^a_{ca}\Gamma^c_{bj}-\Gamma^a_{cj}\Gamma^c_{ba}+\Gamma^a_{bk}c^k_{aj}$$

CHAPTER 6

Geometrical Object

6.1. Metric-affine Manifold

For connection (5.3.2) we defined the **torsion form**

$$T^a=d^2x^a+\omega^a_b\wedge dx^b \tag{6.1.1}$$

From (5.3.2) it follows

$$\omega^a_b\wedge dx^b=(\Gamma^a_{bc}-\Gamma^a_{cb})dx^c\wedge dx^b \tag{6.1.2}$$

Putting (6.1.2) and (5.3.14) into (6.1.1) we get

$$T^a=T^a_{cb}dx^c\wedge dx^b=-c^a_{cb}dx^c\wedge dx^b+(\Gamma^a_{bc}-\Gamma^a_{cb})dx^c\wedge dx^b \tag{6.1.3}$$

where we defined **torsion tensor**

$$T^a_{cb}=\Gamma^a_{bc}-\Gamma^a_{cb}-c^a_{cb} \tag{6.1.4}$$

Commutator of second derivatives has form

$$u^\alpha_{;kl}-u^\alpha_{;lk}=R^\alpha_{\beta lk}u^\beta-T^p_{lk}u^\alpha_{;p} \tag{6.1.5}$$

From (6.1.5) it follows that

$$\xi^a_{;cb}-\xi^a_{;bc}=R^a_{dbc}\xi^d-T^p_{bc}\xi^a_{;p} \tag{6.1.6}$$

In Rieman space we have metric tensor g_{ij} and connection Γ^k_{ij}. One of the features of the Rieman space is symetricity of connection and covariant derivative of metric is 0. This creates close relation between metric and connection. However the connection is not necessarily symmetric and the covariant derivative of the metric tensor may be different from 0. In latter case we introduce the **nonmetricity**

$$Q^{ij}_k=g^{ij}_{;k}=g^{ij}_{,k}+\Gamma^i_{pk}g^{pj}+\Gamma^j_{pk}g^{ip} \tag{6.1.7}$$

Due to the fact that derivative of the metric tensor is not 0, we cannot raise or lower index of a tensor under derivative as we do it in regular Riemann space. Now this operation changes to next

$$a^i_{;k}=g^{ij}a_{j;k}+g^{ij}_{;k}a_j$$

This equation for the metric tensor gets the following form

$$g^{ab}_{;k}=-g^{ai}g^{bj}g_{ij;k}$$

Definition 6.1.1. We call a manifold with a torsion and a nonmetricity the **metric-affine manifold** [12]. □

If we study a submanifold V_n of a manifold V_{n+m}, we see that the immersion creates the connection $\Gamma^\alpha_{\beta\gamma}$ that relates to the connection in manifold as

$$\Gamma^\alpha_{\beta\gamma}e^l_\alpha=\Gamma^l_{mk}e^m_\beta e^k_\gamma+\frac{\partial e^l_\beta}{\partial u^\gamma}$$

Therefore there is no smooth immersion of a space with torsion into the Riemann space.

6.2. Geometrical Meaning of Torsion

Suppose that a and b are non collinear vectors in a point A (see figure 6.2.1).

We draw the geodesic L_a through the point A using the vector a as a tangent vector to L_a in the point A. Let τ be the canonical parameter on L_a and

$$\frac{dx^k}{d\tau}=a^k$$

We transfer the vector b along the geodesic L_a from the point A into a point B that defined by any value of the parameter $\tau=\rho>0$. We mark the result as b'.

We draw the geodesic $L_{b'}$ through the point B using the vector b' as a tangent vector to $L_{b'}$ in the point B. Let φ' be the canonical parameter on $L_{b'}$ and

$$\frac{dx^k}{d\varphi'}=b'^k$$

We define a point C on the geodesic $L_{b'}$ by parameter value $\varphi'=\rho$

We draw the geodesic L_b through the point A using the vector b as a tangent vector to L_b in the point A. Let φ be the canonical parameter on L_b and

$$\frac{dx^k}{d\varphi}=b^k$$

We transfer the vector a along the geodesic L_b from the point A into a point D that defined by any value of the parameter $\varphi=\rho>0$. We mark the result as a'.

We draw the geodesic $L_{a'}$ through the point D using the vector a' as a tangent vector to $L_{a'}$ in the point D. Let τ' be the canonical parameter on $L_{a'}$ and

$$\frac{dx^k}{d\tau'}=a'^k$$

We define a point E on the geodesic $L_{a'}$ by parameter value $\tau'=\rho$

Formally lines AB and DE as well as lines AD and BC are parallel lines. Lengths of AB and DE are the same as well as lengths of AD and BC are the same. We call this figure a **parallelogram** based on vectors a and b with the origin in the point A.

Theorem 6.2.1. *Suppose $CBADE$ is a parallelogram with a origin in the point A; then the resulting figure will not be closed [17]. The value of the difference of coordinates of points C and E is equal to surface integral of the torsion over this parallelogram*[6.1]

$$\Delta_{CE}x^k=\iint T^k_{mn}dx^m\wedge dx^n$$

Proof. We can find an increase of coordinate x^k along any geodesic as

$$\begin{aligned}\Delta x^k&=\frac{dx^k}{d\tau}\tau+\frac{1}{2}\frac{d^2x^k}{d\tau^2}\tau^2+O(\tau^2)=\\&=\frac{dx^k}{d\tau}\tau-\frac{1}{2}\Gamma^k_{mn}\frac{dx^m}{d\tau}\frac{dx^n}{d\tau}\tau^2+O(\tau^2)\end{aligned}$$

where τ is canonical parameter and we take values of derivatives and components Γ^k_{mn} in the initial point. In particular we have

$$\Delta_{AB}x^k=a^k\rho-\frac{1}{2}\Gamma^k_{mn}(A)a^ma^n\rho^2+O(\rho^2)$$

[6.1] Proof of this statement I found in [22]

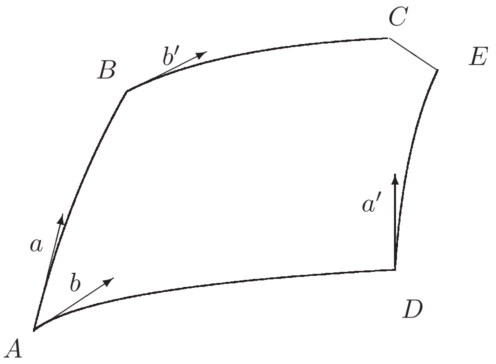

Figure 6.2.1. Meaning of Torsion

along the geodesic L_a and

$$\Delta_{BC}x^k = b'^k\rho - \frac{1}{2}\Gamma^k_{mn}(B)b'^m b'^n\rho^2 + O(\rho^2) \tag{6.2.1}$$

along the geodesic $L_{b'}$. Here

$$b'^k = b^k - \Gamma^k_{mn}(A)b^m dx^n + O(dx) \tag{6.2.2}$$

is the result of parallel transfer of b^k from A to B and

$$dx^k = \Delta_{AB}x^k = a^k\rho \tag{6.2.3}$$

with precision of small value of first level. Putting (6.2.3) into (6.2.2) and (6.2.2) into (6.2.1) we will receive

$$\Delta_{BC}x^k = b^k\rho - \Gamma^k_{mn}(A)b^m a^n\rho^2 - \frac{1}{2}\Gamma^k_{mn}(B)b^m b^n\rho^2 + O(\rho^2)$$

Common increase of coordinate x^K along the way ABC has form

$$\begin{aligned} \Delta_{ABC}x^k &= \Delta_{AB}x^k + \Delta_{BC}x^k = \\ &= (a^k + b^k)\rho - \Gamma^k_{mn}(A)b^m a^n\rho^2 - \\ -\frac{1}{2}\Gamma^k_{mn}(B)&b^m b^n\rho^2 - \frac{1}{2}\Gamma^k_{mn}(A)a^m a^n\rho^2 + O(\rho^2) \end{aligned} \tag{6.2.4}$$

Similar way common increase of coordinate x^K along the way ADE has form

$$\begin{aligned} \Delta_{ADE}x^k &= \Delta_{AD}x^k + \Delta_{DE}x^k = \\ &= (a^k + b^k)\rho - \Gamma^k_{mn}(A)a^m b^n\rho^2 - \\ -\frac{1}{2}\Gamma^k_{mn}(D)&a^m a^n\rho^2 - \frac{1}{2}\Gamma^k_{mn}(A)b^m b^n\rho^2 + O(\rho^2) \end{aligned} \tag{6.2.5}$$

From (6.2.4) and (6.2.5), it follows that

$$\begin{gathered} \Delta_{ADE}x^k - \Delta_{ABC}x^k = \\ = \Gamma^k_{mn}(A)b^m a^n\rho^2 + \underline{\frac{1}{2}\Gamma^k_{mn}(B)b^m b^n\rho^2}_1 + \underline{\frac{1}{2}\Gamma^k_{mn}(A)a^m a^n\rho^2}_2 - \\ -\Gamma^k_{mn}(A)a^m b^n\rho^2 - \underline{\frac{1}{2}\Gamma^k_{mn}(D)a^m a^n\rho^2}_2 - \underline{\frac{1}{2}\Gamma^k_{mn}(A)b^m b^n\rho^2}_1 + O(\rho^2) \end{gathered}$$

For small enough value of ρ underlined terms annihilate each other and we get integral sum for expression

$$\Delta_{ADE}x^k-\Delta_{ABC}x^k=\iint_\Sigma(\Gamma^k_{nm}-\Gamma^k_{mn})dx^m\wedge dx^n$$

However it is not enough to find the difference

$$\Delta_{ADE}x^k-\Delta_{ABC}x^k$$

to find the difference of coordinates of points C and E. Coordinates may be anholonomic and we have to consider that coordinates along closed loop change (5.3.15)

$$\Delta x^k=\oint_{ECBADE}dx^k=-\iint_\Sigma c^k_{mn}dx^m\wedge dx^n$$

where c is anholonomity object.

Finally the difference of coordinates of points C and E is

$$\Delta_{CE}x^k=\Delta_{ADE}x^k-\Delta_{ABC}x^k+\Delta x^k=\iint_\Sigma(\Gamma^k_{nm}-\Gamma^k_{mn}-c^k_{mn})dx^m\wedge dx^n$$

Using (6.1.4) we prove the statement. □

6.3. Relation between Connection and Metric

Now we want to find how we can express connection if we know metric and torsion. According to definition

$$-Q_{kij}=g_{ij;k}=g_{ij,k}-\Gamma^p_{ik}g_{pj}-\Gamma^p_{jk}g_{pi}$$

$$-Q_{kij}=g_{ij,k}-\Gamma^p_{ik}g_{pj}-\Gamma^p_{kj}g_{pi}-S^p_{jk}g_{pi}$$

We move derivative of g and torsion to the left-hand side.

$$g_{ij,k}+Q_{kij}-S^p_{jk}g_{pi}=\Gamma^p_{ik}g_{pj}+\Gamma^p_{kj}g_{pi}\tag{6.3.1}$$

Changing order of indexes we write two more equations

$$g_{jk,i}+Q_{ijk}-S^p_{ki}g_{pj}=\Gamma^p_{ji}g_{pk}+\Gamma^p_{ik}g_{pj}\tag{6.3.2}$$

$$g_{ki,j}+Q_{jki}-S^p_{ij}g_{pk}=\Gamma^p_{kj}g_{pi}+\Gamma^p_{ji}g_{pk}\tag{6.3.3}$$

If we substruct equation (6.3.1) from sum of equations (6.3.2) and (6.3.1) we get

$$g_{ki,j}+g_{jk,i}-g_{ij,k}+Q_{ijk}+Q_{jki}-Q_{kij}-S^p_{ij}g_{pk}-S^p_{ki}g_{pj}+S^p_{jk}g_{pi}=2\Gamma^p_{ji}g_{pk}$$

Finally we get

$$\Gamma^p_{ji}=\frac{1}{2}g^{pk}(g_{ki,j}+g_{jk,i}-g_{ij,k}+Q_{ijk}+Q_{jki}-Q_{kij}-S^r_{ij}g_{rk}-S^r_{ki}g_{rj}+S^r_{jk}g_{ri})$$

CHAPTER 7

Application in General Relativity

7.1. Synchronization of Reference Frame

Because an observer uses an orthogonal basis for measurement at each point we can expect that he uses anholonomic coordinates as well. We also see that the time coordinate along a local reference frame is the observer's proper time. Because the reference frame consists of local reference frames, we expect that their proper times are synchronized.

We introduce the **synchronization of reference frame** as the anholonomic time coordinate.

Because synchronization is the anholonomic coordinate it introduces new physical phenomena that we should keep in mind when working with strong gravitational fields or making precise measurements. I describe one of these phenomena below.

7.2. Anholonomic Coordinates in Central Body Gravitational Field

We will study an observer orbiting around a central body. The results are only estimation and are good when eccentricity is near 0 because we study circular orbits. However, the main goal of this estimation is to show that we have a measurable effect of anholonomity.

We use the Schwarzschild metric of a central body

$$ds^2 = \frac{r-r_g}{r}c^2dt^2 - \frac{r}{r-r_g}dr^2 - r^2d\phi^2 - r^2sin^2\phi d\theta^2 \tag{7.2.1}$$

$$r_g = \frac{2Gm}{c^2}$$

G is the gravitational constant, m is the mass of the central body, c is the speed of light.

Connection in this metric is

$$\Gamma^0_{10} = \frac{r_g}{2r(r-r_g)}$$

$$\Gamma^1_{00} = \frac{r_g(r-r_g)}{2r^3}$$

$$\Gamma^1_{11} = -\frac{r_g}{2r(r-r_g)}$$

$$\Gamma^1_{22} = -(r-r_g)$$

$$\Gamma^1_{33} = -(r-r_g)\sin^2\phi$$

$$\Gamma^2_{12} = -\frac{1}{r}$$

$$\Gamma^2_{33} = -\sin\phi\cos\phi$$

$$\Gamma^3_{13} = -\frac{1}{r}$$
$$\Gamma^3_{23} = \cot\phi$$

I want to show one more way to calculate the Doppler shift. The Doppler shift in gravitational field is well known issue, however the method that I show is useful to better understand physics of gravitational field.

We can describe the movement of photon in gravitational field using its wave vector k^i. The length of this vector is 0; $\frac{k^i}{dx^i} = const$; a trajectory is geodesic and therefore coordinates of this vector satisfy to differential equation

$$dk^i = -\Gamma^i_{kl} k^k dx^l \tag{7.2.2}$$

We looking for the frequency ω of light and k^0 is proportional ω. Let us consider the radial movement of a photon. In this case wave vector has form $k = (k^0, k^1, 0, 0)$. In the central field with metric (7.2.1) we can choose

$$k^0 = \frac{\omega}{c}\sqrt{\frac{r}{r-r_g}}$$
$$k^1 = \omega\sqrt{\frac{r-r_g}{r}}$$
$$dt = \frac{k^0}{k^1}dr = \frac{1}{c}\frac{r}{r-r_g}dr$$

Then the equation (7.2.2) gets form

$$dk^0 = -\Gamma^0_{10}(k^1 dt + k^0 dr)$$
$$d\left(\frac{\omega}{c}\sqrt{\frac{r}{r-r_g}}\right) = -\frac{r_g\omega}{2r(r-r_g)}\left(\sqrt{\frac{r-r_g}{r}}\frac{r}{r-r_g} + \sqrt{\frac{r}{r-r_g}}\right)\frac{dr}{c}$$
$$d\omega\sqrt{\frac{r}{r-r_g}} - \omega\frac{1}{2}\sqrt{\frac{r-r_g}{r}}\frac{r_g dr}{(r-r_g)^2} = -\frac{r_g\omega dr}{r(r-r_g)}\sqrt{\frac{r}{r-r_g}}$$
$$\frac{d\omega}{\omega} = -\frac{r_g}{2r(r-r_g)}dr$$
$$\ln\omega = \frac{1}{2}\ln\frac{r}{r-r_g} + \ln C$$

If we define $\omega = \omega_0$ when $r = \infty$, we get finally

$$\omega = \omega_0\sqrt{\frac{r}{r-r_g}}$$

7.3. Time Delay in Central Body Gravitational Field

We will study orbiting around a central body. The results are only an estimation and are good when eccentricity is near 0 because we study circular orbits. However, the main goal of this estimation is to show that we have a measurable effect of anholonomity.

Let us compare the measurements of two observers. The first observer fixed his position in the gravitational field

$$t = \frac{s}{c}\sqrt{\frac{r}{r-r_g}}$$
$$r = const, \phi = const, \theta = const$$

The second observer orbits the center of the field with constant speed

$$t = s\sqrt{\frac{r}{(r-r_g)c^2-\alpha^2r^3}}$$

$$\phi = \alpha\ s\sqrt{\frac{r}{(r-r_g)c^2-\alpha^2r^3}}$$

$$r = const, \theta = const$$

We choose a natural parameter for both observers.

The second observer starts his travel when $s = 0$ and finishes it when returning to the same spatial point. Because ϕ is a cyclic coordinate the second observer finishes his travel when $\phi = 2\pi$. We have at this point

$$s_2 = \frac{2\pi}{\alpha}\sqrt{\frac{(r-r_g)c^2-\alpha^2r^3}{r}}$$

$$t = T = \frac{2\pi}{\alpha}$$

The value of the natural parameter for the first observer at this point is

$$s_1 = \frac{2\pi}{\alpha}c\sqrt{\frac{r-r_g}{r}}$$

The difference between their proper times is

$$\Delta s = s_1 - s_2 = \frac{2\pi}{\alpha}\left(c\sqrt{\frac{r-r_g}{r}} - \sqrt{\frac{(r-r_g)c^2-\alpha^2r^3}{r}}\right)$$

We have a difference in centimeters. To get this difference in seconds we should divide both sides by c.

$$\Delta t = \frac{2\pi}{\alpha}\left(\sqrt{\frac{r-r_g}{r}} - \sqrt{\frac{r-r_g}{r} - \frac{\alpha^2r^2}{c^2}}\right)$$

Now we get specific data.

The mass of the Sun is $1.989_{10}33$ g, the Earth orbits the Sun at a distance of $1.495985_{10}13$ cm from its center during 365.257 days. In this case we get $\Delta t = 0.155750625445089$ s. Mercury orbits the Sun at a distance of $5.791_{10}12$ cm from its center during 58.6462 days. In this case we get $\Delta t = 0.145358734930827$ s.

The mass of the Earth is $5.977_{10}27$ g. The spaceship that orbits the Earth at a distance of $6.916_{10}8$ cm from its center during 95.6 mins has $\Delta t = 1.8318_{10}-6$ s. The Moon orbits the Earth at a distance of $3.84_{10}10$ cm from its center during 27.32 days. In this case we get $\Delta t = 1.372_{10}-5$ s.

For better presentation I put these data to tables 7.3.1, 7.3.2, and 7.3.3.

Because clocks of first observer show larger time at meeting, first observer estimates age of second one older then real. Hence, if we get parameters of S2 orbit from [10], we get that if first observer estimates age of S2 as 10 Myr then S2 will be .297 Myr younger.

Table 7.3.1. Sun is central body, mass is $1.989_{10}33$ g

Sputnik	Earth	Mercury
distance, cm	$1.495985_{10}13$	$5.791_{10}12$
orbit period, days	365.257	58.6462
Time delay s	0.15575	0.14536

Table 7.3.2. Earth is central body, mass is $5.977_{10}27$ g

Sputnik	spaceship	Moon
distance, cm	$6.916_{10}8$	$3.84_{10}10$
orbit period	95.6 mins	27.32 days
Time delay, s	$1.8318_{10}-6$	$1.372_{10}-5$

Table 7.3.3. Sgr A is central body, S2 is sputnik

mass, $M_\odot$	$4.1_{10}6$	$3.7_{10}6$
distance sm	$1.4692_{10}16$	$1.1565_{10}16$
orbit period, years	15.2	15.2
Time delay, min	164.7295	153.8326

7.4. Lorentz Transformation in Orbital Direction

The reason for the time delay that we estimated above is in Lorentz transformation between stationary and orbiting observers. This means that we have rotation in plain $(e_{(0)}, e_{(2)})$. The basis vectors for stationary observer are

$$e_{(0)} = (\frac{1}{c}\sqrt{\frac{r}{r-a}}, 0, 0, 0)$$

$$e_{(2)} = (0, 0, \frac{1}{r}, 0)$$

We assume that for orbiting observer changes of ϕ and t are proportional and

$$d\phi = \omega dt$$

Unit vector of speed in this case should be proportional to vector

$$(1, 0, \omega, 0) \tag{7.4.1}$$

The length of this vector is

$$L^2 = \frac{r-a}{r}c^2 - r^2\omega^2 \tag{7.4.2}$$

We see in this expression very familiar pattern and expect that linear speed of orbiting observer is $V = \omega r$.

However we have to remember that we make measurement in gravitational field and coordinates are just tags to label points in spacetime. This means that we need a legal method to measure speed.

If an object moves from point (t, ϕ) to point $(t + dt, \phi + d\phi)$ we need to measure spatial and time intervals between these points. We assume that in both points there are observers A and B. Observer A sends the same time light signal to B

and ball that has angular speed ω. Whatever observer B receives, he sends light signal back to A.

When A receives first signal he can estimate distance to B. When A receives second signal he can estimate how long ball moved to B.

The time of travel of light in both directions is the same. Trajectory of light is determined by equation $ds^2 = 0$. In our case we have

$$\frac{r-r_g}{r}c^2dt^2 - r^2d\phi^2 = 0$$

When light returns back to observer A the change of t is

$$dt = 2\sqrt{\frac{r}{r-r_g}}c^{-1}rd\phi$$

The proper time of first observer is

$$ds^2 = \frac{r-r_g}{r}c^2 4\frac{r}{r-r_g}c^{-2}r^2d\phi^2$$

Therefore spatial distance is

$$L = rd\phi$$

When object moving with angular speed ω gets to B change of t is $\frac{d\phi}{\omega}$. The proper time at this point is

$$ds^2 = \frac{r-r_g}{r}c^2d\phi^2\omega^{-2}$$

$$T = \sqrt{\frac{r-r_g}{r}}\omega^{-1}d\phi$$

Therefore the observer A measures speed

$$V = \frac{L}{T} = \sqrt{\frac{r}{r-r_g}}r\omega$$

We can use speed V as parameter of Lorentz transformation. Then length (7.4.2) of vector (7.4.1) is

$$L = \sqrt{\frac{r-r_g}{r}\left(c^2 - \frac{r}{r-r_g}r^2\omega^2\right)} = \sqrt{\frac{r-r_g}{r}}c\sqrt{\left(1-\frac{V^2}{c^2}\right)}$$

Therefore time ort of moving observer is

$$e'_{(0)} = \left(\frac{1}{L}, 0, \frac{\omega}{L}, 0\right)$$

$$e'_{(0)} = \left(\sqrt{\frac{r}{r-r_g}}c^{-1}\frac{1}{\sqrt{\left(1-\frac{V^2}{c^2}\right)}}, 0, \omega\sqrt{\frac{r}{r-r_g}}c^{-1}\frac{1}{\sqrt{\left(1-\frac{V^2}{c^2}\right)}}, 0\right)$$

Spatial ort $e'_{(2)} = (A, 0, B, 0)$ is orthogonal $e'_{(0)}$ and has length -1. Therefore

$$\frac{r-r_g}{r}c^2\frac{1}{L}A - r^2\frac{\omega}{L}B = 0 \tag{7.4.3}$$

$$\frac{r-r_g}{r}c^2A^2 - r^2B^2 = -1 \tag{7.4.4}$$

We can express A from (7.4.3)

$$A = c^{-2}\frac{r}{r-r_g}r^2\omega B$$

and substitute into (7.4.4)

$$c^{-2}\frac{r}{r-r_g}r^4\omega^2B^2-r^2B^2=-1$$

$$\frac{V^2}{c^2}r^2B^2-r^2B^2=-1$$

Finally spatial ort in direction of movement is

$$e'_{(2)}=\left(c^{-2}\frac{r}{r-r_g}r\omega\frac{1}{\sqrt{1-\frac{V^2}{c^2}}},0,\frac{1}{r}\frac{1}{\sqrt{1-\frac{V^2}{c^2}}},0\right)$$

$$e'_{(2)}=\left(c^{-2}\sqrt{\frac{r}{r-r_g}}\frac{V}{\sqrt{1-\frac{V^2}{c^2}}},0,\frac{1}{r}\frac{1}{\sqrt{1-\frac{V^2}{c^2}}},0\right)$$

Therefore we get transformation

$$\begin{aligned}
{e'}_{(0)}&=\frac{1}{\sqrt{1-\frac{V^2}{c^2}}}e_{(0)}+\frac{V}{c}\frac{1}{\sqrt{1-\frac{V^2}{c^2}}}e_{(2)}\\
{e'}_{(2)}&=\frac{V}{c}\frac{1}{\sqrt{1-\frac{V^2}{c^2}}}e_{(0)}+\frac{1}{\sqrt{1-\frac{V^2}{c^2}}}e_{(2)}
\end{aligned}\tag{7.4.5}$$

If a stationary observer sends light in a radial direction, the orbiting observer observes Doppler shift

$$\omega'=\frac{\omega}{\sqrt{1-\frac{V^2}{c^2}}}$$

We need to add Doppler shift for gravitational field if the moving observer receives a radial wave that came from infinity. In this case the Doppler shift will take the form

$$\omega'=\sqrt{\frac{r}{r-r_g}}\frac{\omega}{\sqrt{1-\frac{V^2}{c^2}}}$$

We see the estimation for dynamics of star S2 that orbits Sgr A in tables 7.4.1 and 7.4.2. The tables are based on two different estimations for mass of Sgr A.

If we get mass Sgr $4.1_{10}6M_\odot$ [10] then in pericentre (distance $1.868_{10}15$ cm) S2 has speed 738767495.4 cm/s and Doppler shift is $\omega'/\omega=1.000628$. In this case we measure length $2.16474\mu m$ for emitted wave with length $2.1661\mu m$ (Br γ). In apocentre (distance $2.769_{10}16cm$) S2 has speed $49839993.28cm/s$ and Doppler shift is $\omega'/\omega=1.0000232$. We measure length $2.166049\mu m$ for the same wave. Difference between two measurements of wave length is $13.098\mathring{A}$

If we get mass Sgr $3.7_{10}6M_\odot$ [11] then in pericentre (distance $1.805_{10}15cm$) S2 has speed $713915922.3cm/s$ and Doppler shift is $\omega'/\omega=1.000587$. In this case we measure length $2.16483\mu m$ for emitted wave with length $2.1661\mu m$ (Br γ). In apocentre (distance $2.676_{10}16cm$) S2 has speed $48163414.05cm/s$ and Doppler shift is $\omega'/\omega=1.00002171$. We measure length $2.1666052\mu m$ for the same wave. Difference between two measurements of wave length is $12.232\mathring{A}$

Difference between two measurements of wavelength in pericentre is $0.9\mathring{A}$. Analyzing this data we can conclude that the use of Doppler shift can help improve estimation of the mass of Sgr A.

TABLE 7.4.1. Doppler shift on the Earth of a wave emitted from S2; mass of Sgr A is $4.1_{10}6M_\odot$ [10]

	pericentre	apocentre
distance cm	$1.868_{10}15$	$2.769_{10}16$
speed cm/s	738767495.4	49839993.28
ω'/ω	1.000628	1.0000232
emitted wave $(Br\ \gamma)$ μm	2.1661	2.1661
observed wave μm	2.16474	2.166049

Difference between two measurements of wavelength is $13.098\mathring{A}$

TABLE 7.4.2. Doppler shift on the Earth of wave emitted from S2; mass of Sgr A is $3.7_{10}6M_\odot$ [11]

	pericentre	apocentre
distance cm	$1.805_{10}15$	$2.676_{10}16$
speed cm/s	713915922.3	48163414.05
ω'/ω	1.000587	1.00002171
emitted wave $(Br\ \gamma)$ μm	2.1661	2.1661
observed wave μm	2.16483	2.1666052

Difference between two measurements of wavelength is $12.232\mathring{A}$

7.5. Lorentz Transformation in Radial Direction

We see that the Lorentz transformation in orbial direction has familiar form. It is very interesting to see what form this transformation has for radial direction. We start from procedure of measurement speed and use coordinate speed v

$$dr = vdt \tag{7.5.1}$$

The time of travel of light in both directions is the same. Trajectory of light is determined by equation $ds^2 = 0$.

$$\frac{r-r_g}{r}c^2dt^2 - \frac{r}{r-r_g}dr^2 = 0$$

When light returns back to observer A the change of t is

$$dt = 2\frac{r}{r-r_g}c^{-1}dr$$

The proper time of observer A is

$$ds^2 = \frac{r-r_g}{r}c^2 4\frac{r^2}{r-r_g{}^2}c^{-2}dr^2 =$$
$$= 4\frac{r}{r-r_g}dr^2$$

Therefore spatial distance is

$$L = \sqrt{\frac{r}{r-r_g}}dr$$

When object moving with speed (7.5.1) gets to B change of t is $\frac{dr}{v}$. The proper time of observer A at this point is

$$ds^2 = \frac{r-r_g}{r}c^2dr^2v^{-2}$$

$$T = \sqrt{\frac{r-r_g}{r}}v^{-1}dr$$

Therefore the observer A measures speed

$$\begin{aligned} V = \frac{L}{T} == \frac{\sqrt{\frac{r}{r-r_g}}dr}{\sqrt{\frac{r-r_g}{r}}v^{-1}dr} = \\ = \frac{r}{r-r_g}v \end{aligned}$$

Now we are ready to find out Lorentz transformation. The basis vectors for stationary observer are

$$e_{(0)} = \left(\frac{1}{c}\sqrt{\frac{r}{r-r_g}},0,0,0\right)$$

$$e_{(1)} = \left(0,\sqrt{\frac{r-r_g}{r}},0,0\right)$$

Unit vector of speed should be proportional to vector

$$(1,v,0,0) \tag{7.5.2}$$

The length of this vector is

$$\begin{aligned} L^2 &= \frac{r-r_g}{r}c^2 - \frac{r}{r-r_g}v^2 = \\ &= \frac{r-r_g}{r}c^2\left(1-\frac{V^2}{c^2}\right) \end{aligned} \tag{7.5.3}$$

Therefore time ort of moving observer is

$$\begin{aligned} e'_{(0)} &= \left(\frac{1}{L},\frac{v}{L},0,0\right) = \\ &= \left(\sqrt{\frac{r}{r-r_g}}c^{-1}\frac{1}{\sqrt{\left(1-\frac{V^2}{c^2}\right)}}, v\sqrt{\frac{r}{r-r_g}}c^{-1}\frac{1}{\sqrt{\left(1-\frac{V^2}{c^2}\right)}},0,0\right) \\ &= \left(\sqrt{\frac{r}{r-r_g}}c^{-1}\frac{1}{\sqrt{\left(1-\frac{V^2}{c^2}\right)}}, \frac{V}{c}\sqrt{\frac{r-r_g}{r}}\frac{1}{\sqrt{\left(1-\frac{V^2}{c^2}\right)}},0,0\right) \end{aligned}$$

Spatial ort $e'_{(1)} = (A,B,0,0)$ is orthogonal $e'_{(0)}$ and has length -1. Therefore

$$\frac{r-r_g}{r}c^2\frac{1}{L}A - \frac{r}{r-r_g}\frac{v}{L}B = 0 \tag{7.5.4}$$

$$\frac{r-r_g}{r}c^2A^2 - \frac{r}{r-r_g}B^2 = -1 \tag{7.5.5}$$

We can express A from (7.5.4)

$$A=c^{-2}\frac{r^2}{(r-r_g)^2}vB=c^{-2}\frac{r}{r-r_g}VB$$

and substitute into (7.5.5)

$$\frac{r-r_g}{r}c^2c^{-4}\frac{r^2}{(r-r_g)^2}V^2B^2-\frac{r}{r-r_g}B^2=-1$$

$$\frac{r}{r-r_g}B^2\left(1-\frac{V^2}{c^2}\right)=1$$

$$B^2=\frac{r-r_g}{r}\frac{1}{1-\frac{V^2}{c^2}}$$

$$B=\sqrt{\frac{r-r_g}{r}}\frac{1}{\sqrt{1-\frac{V^2}{c^2}}}$$

$$\begin{aligned}A&=c^{-2}\frac{r}{r-r_g}V\sqrt{\frac{r-r_g}{r}}\frac{1}{\sqrt{1-\frac{V^2}{c^2}}}\\&=c^{-2}V\sqrt{\frac{r}{r-r_g}}\frac{1}{\sqrt{1-\frac{V^2}{c^2}}}\end{aligned}$$

Finally spatial ort in direction of movement is

$$e'_{(1)}=\left(c^{-2}V\sqrt{\frac{r}{r-r_g}}\frac{1}{\sqrt{1-\frac{V^2}{c^2}}},\sqrt{\frac{r-r_g}{r}}\frac{1}{\sqrt{1-\frac{V^2}{c^2}}},0,0\right)$$

Therefore we get transformationin in familiar form

$$\begin{aligned}{e'}_{(0)}&=\frac{1}{\sqrt{1-\frac{V^2}{c^2}}}e_{(0)}+\frac{V}{c}\frac{1}{\sqrt{1-\frac{V^2}{c^2}}}e_{(1)}\\{e'}_{(1)}&=\frac{V}{c}\frac{1}{\sqrt{1-\frac{V^2}{c^2}}}e_{(0)}+\frac{1}{\sqrt{1-\frac{V^2}{c^2}}}e_{(1)}\end{aligned}\tag{7.5.6}$$

7.6. Doppler Shift in Friedman Space

We consider another example in Friedman space. Metric of the space is

$$ds^2=a^2(dt^2-d\chi^2-\sin^2\chi(d\theta^2-\sin^2\theta d\phi^2))$$

for closed model and

$$ds^2=a^2(dt^2-d\chi^2-\sinh^2\chi(d\theta^2-\sin^2\theta d\phi^2))$$

for open one. Connection in this space is (α, β get values 1, 2, 3)

$$\Gamma^0_{00}=\frac{\dot a}{a}$$

$$\Gamma^0_{\alpha\alpha}=-\frac{\dot a}{a^2}g_{\alpha\alpha}$$

$$\Gamma^\alpha_{0\beta}=\frac{\dot a}{a}\delta^\alpha_\beta$$

Because space is homogenius we do not care about direction of light. In this case

$$dk^0 = -\Gamma^0_{ij}k^ik^j$$

Because k is isotropic vector tangent to its trajectory we have

$$dx^\alpha = \frac{k^\alpha}{k^0}dt$$

Because $k^0 = \frac{\omega}{a}$, than

$$d\frac{\omega}{a} = -\frac{da}{a^2}\omega + \frac{da}{\omega a}g_{\alpha\alpha}k^\alpha k^\alpha = -2\frac{da}{a^2}\omega$$

$$ad\omega + \omega da = 0$$

$$a\omega = const$$

Therefore when a grows ω becomes smaller and length of waves grows as well.

a grows during light travel through spacetime and this leads to red shift. We observe red shift because geometry changes, but not because galaxies runs away one from other.

Now we want to see how red shift changes with time if initial and final points do not move. For simplicity I will change only χ. Initial value is χ_1 and final value is χ_2. Because $dt = d\chi$ on light trajectory we have

$$\chi = \chi_1 + t - t_1 \qquad t_2 = \chi_2 - \chi_1 + t_1$$

Therefore $a(t_1)\omega_1 = a(t_2)\omega_2$. Doppler shift is

$$K(t_1) = \frac{\omega_2}{\omega_1} = \frac{a(t_1)}{a(t_2)}$$

If initial time changes t'1 = t1 + dt then K(t1 + dt) = a(t1 + dt) / a(t2 + dt) Time derivative of K is

$$\dot{K} = \frac{\dot{a}_1a_2 - a_1\dot{a}_2}{a_2^2}$$

For closed space $a = \cosh t$. Then $\dot{a} = \sinh t$.

$$\dot{K} = \frac{\sinh t_1 \cosh t_2 - \sinh t_2 \cosh t_1}{\cosh^2 t_2} = \frac{\sinh(t_1 - t_2)}{\cosh^2 t_2}$$

K decreases when t_1 increases.

7.7. Lorentz Transformation in Friedman Space

To learn Lorentz transformation in Friedman space I want to use metric in form

$$ds^2 = c^2dt^2 - a^2(d\chi^2 + b^2(d\theta^2 - \sin^2\theta d\phi^2))$$

Now I have 2 observers. One does not move and has speed $(1, 0, 0, 0)$, and another moves along χ and his speed is $C = (1, v, 0, 0)$ and we assme $V = av$.

Metric is diagonal and coordinates θ, ϕ do not change. We have transformation in plane t, χ.

Unit speed of first observer is

$$e_0 = (\frac{1}{c}, 0, 0, 0)$$

and vector orthonormal this one is

$$e_1 = (0, \frac{1}{a}, 0, 0)$$

The length of vector C is

$$L=\sqrt{c^2-a^2v^2}=c\sqrt{1-\frac{V^2}{c^2}}$$

Therefore unit vector of speed of second observer is

$$e'_0=(\frac{1}{L},\frac{v}{L},0,0)$$

We look for vector

$$e'_1=(A,B,0,0)$$

that is orthogonal to vector e'_0. For this we have

$$c^2A^2-a^2B^2=-1 \tag{7.7.1}$$

$$c^2A\frac{1}{L}-a^2B\frac{v}{L}=0 \tag{7.7.2}$$

We get from the equation (7.7.2)

$$A=\frac{a^2}{c^2}vB \tag{7.7.3}$$

We substitute (7.7.3) into (7.7.1) and get

$$B^2(\frac{a^4}{c^2}v^2-a^2)=-1$$

$$B=\frac{1}{a\sqrt{1-\frac{V^2}{c^2}}}$$

Therefore basis of second observer is

$$e'_0=(\frac{1}{c\sqrt{1-\frac{V^2}{c^2}}},\frac{V}{ca\sqrt{1-\frac{V^2}{c^2}}},0,0)$$

$$e'_1=(\frac{V}{c^2\sqrt{1-\frac{V^2}{c^2}}},\frac{1}{a\sqrt{1-\frac{V^2}{c^2}}},0,0)$$

Now we can express e' through e

$$e'_0=\frac{1}{\sqrt{1-\frac{V^2}{c^2}}}e_0+\frac{V}{c}\frac{1}{\sqrt{1-\frac{V^2}{c^2}}}e_1$$

$$e'_1=\frac{V}{c}\frac{1}{\sqrt{1-\frac{V^2}{c^2}}}e_0+\frac{1}{\sqrt{1-\frac{V^2}{c^2}}}e_1$$

CHAPTER 8

Geometry of Metric-Affine Manifold

8.1. Line with Extreme Length

There are two different definitions of a geodesic curve in the Riemann manifold. One of them relies on the parallel transport. We call an appropriate **line auto parallel**. Another definition depends on the length of trajectory. We call an appropriate **line extreme**. In a metric-affine manifold these lines have different equations [17]. Equation of auto parallel line does not change. However, the equation of extreme line changes[8.1].

Theorem 8.1.1. *Let $x^i = x^i(t, \alpha)$ be a line depending on a parameter α with fixed points at $t = t_1$ and $t = t_2$ and we define its length as*

$$s = \int_{t_1}^{t_2} \sqrt{g_{ij}\frac{dx^i}{dt}\frac{dx^j}{dt}}dt \tag{8.1.1}$$

Then

$$\delta s = \int_{t_1}^{t_2} \left(\frac{1}{2}\left(g_{kj;i} - g_{ik;j} - g_{ij;k}\right)\frac{dx^k}{ds}\frac{dx^j}{ds}ds - g_{ij}D\frac{dx^j}{ds}\right)\delta x^i \tag{8.1.2}$$

where δx^k is the change of a line when α changes.

Proof. We have

$$\frac{ds}{dt} = \sqrt{g_{ij}\frac{dx^i}{dt}\frac{dx^j}{dt}}$$

and

$$\delta s = \int_{t_1}^{t_2} \frac{\delta\left(g_{ij}\frac{dx^i}{dt}\frac{dx^j}{dt}\right)}{2\frac{ds}{dt}}dt$$

We can estimate the numerator of this fraction as

$$\begin{aligned} &g_{ij,k}\delta x^k\frac{dx^i}{dt}\frac{dx^j}{dt} + 2g_{ij}\delta\frac{dx^i}{dt}\frac{dx^j}{dt} = \\ =\ &g_{ij;k}\delta x^k dx^i dt\frac{dx^j}{dt} + 2g_{ij}\Gamma^i_{lk}\delta x^k\frac{dx^l}{dt}\frac{dx^j}{dt} + 2g_{ij}d\frac{\delta x^i}{dt}\frac{dx^j}{dt} = \\ =\ &g_{ij;k}\delta x^k\frac{dx^i}{dt}\frac{dx^j}{dt} + 2g_{ij}\frac{D\delta x^i}{dt}\frac{dx^j}{dt} \end{aligned}$$

and we have

$$\delta s = \int_{t_1}^{t_2} \frac{g_{ij;k}\delta x^k dx^i\frac{dx^j}{dt} + 2g_{ij}D\delta x^i\frac{dx^j}{dt}}{2\frac{ds}{dt}}$$

[8.1] To derive the equation (8.1.3) I follow the ideas that Rashevsky [23] implemented for the Riemann manifold

$$=\int_{t_1}^{t_2}\left(\frac{1}{2}g_{ij;k}\delta x^k dx^i\frac{dx^j}{ds}+g_{ij}D\delta x^i\frac{dx^j}{ds}\right)$$

$$=\int_{t_1}^{t_2}\left(\frac{1}{2}g_{kj;i}\delta x^i\frac{dx^k}{ds}ds\frac{dx^j}{ds}+d\left(g_{ij}\delta x^i\frac{dx^j}{ds}\right)-g_{ij;k}\frac{dx^k}{ds}ds\frac{dx^j}{ds}\delta x^i-g_{ij}D\frac{dx^j}{ds}\delta x^i\right)$$

$$=\left(g_{ij}\delta x^i\frac{dx^j}{ds}\right)\Big|_{t_1}^{t_2}+\int_{t_1}^{t_2}\left(\frac{1}{2}\left(g_{kj;i}-g_{ij;k}-g_{ik;j}\right)\frac{dx^k}{ds}\frac{dx^j}{ds}ds-g_{ij}D\frac{dx^j}{ds}\right)\delta x^i$$

First term is 0 because points, when $t=t_1$ and $t=t_2$, are fixed. Therefore, we have got the statement of the theorem. □

Theorem 8.1.2. *An extreme line satisfies equation*

$$\frac{D\frac{dx^l}{ds}}{ds}=\frac{1}{2}g^{il}\left(g_{kj;i}-g_{ik;j}-g_{ij;k}\right)\frac{dx^k}{ds}\frac{dx^j}{ds}\tag{8.1.3}$$

Proof. To find a line with extreme length we use the functional (8.1.1). Since $\delta s=0$,

$$\frac{1}{2}\left(g_{kj;i}-g_{ij;k}-g_{ik;j}\right)\frac{dx^k}{ds}\frac{dx^j}{ds}ds-g_{ij}D\frac{dx^j}{ds}=0$$

follows from (8.1.2). □

Theorem 8.1.3. *Parallel transport along an extreme line holds length of tangent vector.*

Proof. Let

$$v^i=\frac{dx^i}{ds}$$

be the tangent vector to extreme curve. From theorem 8.1.2 it follows that

$$\frac{Dv^l}{ds}=g^{il}\frac{1}{2}\left(g_{kj;i}-g_{ik;j}-g_{ij;k}\right)v^kv^j$$

and

$$\frac{Dg_{kl}v^kv^l}{ds}=\frac{Dg_{kl}}{ds}v^kv^l+g_{kl}\frac{Dv^k}{ds}v^l+g_{kl}v^k\frac{Dv^l}{ds}=$$

$$=g_{kl;p}v^pv^kv^l+$$

$$+g_{kl}g^{ik}\frac{1}{2}\left(g_{rj;i}-g_{ir;j}-g_{ij;r}\right)v^rv^jv^l+g_{kl}v^kg^{il}\frac{1}{2}\left(g_{rj;i}-g_{ir;j}-g_{ij;r}\right)v^rv^j=$$

$$=g_{kl;p}v^pv^kv^l+\left(g_{rj;l}-g_{lr;j}-g_{lj;r}\right)v^rv^jv^l=0$$

Therefore length of the vector v^i does not change along extreme curve. □

8.2. Frenet Transport

All equations that we derived before are different, however they have something common in their structure. All these equations express movement along a line and in the right side of them we can see the curvature of this line.

By definition curvature of a line is

$$\xi(s)=\left|\frac{D\frac{dx^l}{ds}}{ds}\right|$$

Therefore we can introduce unit vector e_1 such that

$$\frac{D\frac{dx^l}{ds}}{ds}=\xi e_1^l$$

Knowledge of the transport of a basis along a line is very important, because it allows us to study how spacetime changes when an observer moves through it. Our task is to discover equations similar to the Frenet transport in the Riemann space. We design the accompaniment basis ν^i_k the same way we do it in the Riemann space.

Vectors

$$\xi^i(t)=\frac{dx^i(t)}{dt},\quad \frac{D\xi^i}{dt},\quad ...\quad \frac{D^{n-1}\xi^i}{dt^{n-1}}$$

in general are linearly independent. We call plane that we create on the base of first p vectors as p-th osculating plane R_p. This plane does not depend on choice of parametr t.

Our next task is to create orthogonal basis which shows us how line changes. We get vector $\nu^i_1\in R_1$ so it is tangent to line. We get vector $\nu^i_p\in R_p$, $p>1$ such that ν^i_p is orthogonal to R_{p-1}. If original line is not isotropic then each ν^i_p also is not isotropic and we can get unit vector in the same direction. We call this basis accompaniment.

Theorem 8.2.1. *The* **Frenet transport** *in the metric-affine manifold gets the form*

$$\begin{aligned}\frac{D\nu^i_p}{dt}=&\frac{1}{2}g^{im}(g_{kl;m}-g_{km;l}-g_{ml;k})\nu^k_1\nu^l_p-\\&-\epsilon_p\epsilon_{p-1}\xi_{p-1}\nu^i_{p-1}+\xi_p\nu^i_{p+1}\end{aligned}\tag{8.2.1}$$

$$\epsilon_k=sign(g_{pq}\nu^p_k\nu^q_k)$$

Here ν^a_k is vector of basis, moving along line,

$$\epsilon_k=sign(g_{pq}\nu^p_k\nu^q_k)$$

Proof. We introduce vectors ν^a_k in this way that

$$\frac{D\nu^i_p}{dt}=\frac{1}{2}g^{im}(g_{kl;m}-g_{km;l}-g_{ml;k})\nu^k_1\nu^l_p+a^q_p\nu^i_q\tag{8.2.2}$$

where $a^q_p=0$ when $q>p+1$. Now we can determine coefficients a^q_p. If we get derivative of the equation

$$g_{ij}\nu^i_p\nu^j_q=const$$

and substitute (8.2.2) we get the equation

$$\begin{aligned}\frac{dg_{ij}\nu^i_a\nu^j_b}{ds}=&\frac{Dg_{ij}}{ds}\nu^i_a\nu^j_b+g_{ij}\frac{D\nu^i_a}{ds}\nu^j_b+g_{ij}\nu^i_a\frac{D\nu^j_b}{ds}=\\&=g_{ij;k}\nu^k_1\nu^i_a\nu^j_b+\\&+g_{ij}(\frac{1}{2}g^{im}(g_{kl;m}-g_{km;l}-g_{ml;k})\nu^k_1\nu^l_a+a^q_a\nu^i_q)\nu^j_b+\\&+g_{ij}\nu^i_a(\frac{1}{2}g^{jm}(g_{kl;m}-g_{km;l}-g_{ml;k})\nu^k_1\nu^l_b+a^q_b\nu^i_q)=\\&=g_{ij;k}\nu^k_1\nu^i_a\nu^j_b+\\&+g_{ij}\frac{1}{2}g^{im}(g_{kl;m}-g_{km;l}-g_{ml;k})\nu^k_1\nu^l_a\nu^j_b+g_{ij}a^q_a\nu^i_q\nu^j_b+\\&+g_{ij}\nu^i_a\frac{1}{2}g^{jm}(g_{kl;m}-g_{km;l}-g_{ml;k})\nu^k_1\nu^l_b+g_{ij}\nu^i_aa^q_b\nu^i_q=\\=&\frac{1}{2}\nu^k_1\nu^i_a\nu^j_b(2g_{ij;k}+g_{ki;j}-g_{kj;i}-g_{ji;k}+g_{kj;i}-g_{ki;j}-g_{ij;k})+\end{aligned}$$

$$+\epsilon_b a_a^b + +\epsilon_a a_b^a = 0$$

$a_p^q = 0$ when $q > p+1$ by definition. Therefore $a_p^q = 0$ when $q < p-1$. Introducing $\xi_p = a_p^{p+1}$ we get

$$a_{p+1}^p = -\epsilon_p \epsilon_{p+1} \xi_p$$

When $q = p$ we get

$$a_p^p = 0$$

We get (8.2.1) when substitute a_p^q in (8.2.2). □

8.3. Lie Derivative

Vector field ξ^k on manifold generates infinitesimal transformation

$$x'^k = x^k + \epsilon \xi^k \tag{8.3.1}$$

which leads to the **Lie derivative**. Lie derivative tells us how the object changes when we move along the vector field.

THEOREM 8.3.1. **Lie derivative of metric** *has form*

$$\mathcal{L}_\xi g_{ab} = \xi^k_{;<a>} g_{kb} + \xi^k_{;<b>} g_{ka} + T^l_{ka} g_{lb} \xi^k + T^l_{kb} g_{la} \xi^k + g_{ab;<k>} \xi^k \tag{8.3.2}$$

PROOF. We start from transformation (8.3.1). Then

$$g_{ab}(x') = g_{ab}(x) + g_{ab,c} \epsilon \xi^c$$

$$\begin{aligned} g'_{ab}(x') &= \frac{\partial x^c}{\partial x'^a} \frac{\partial x^d}{\partial x'^b} g_{cd}(x) \\ &= g_{ab} - \epsilon \xi^c_{,a} g_{cb} - \epsilon \xi^c_{,b} g_{ac} \end{aligned}$$

According to definition of Lie derivative we have

$$\begin{aligned} \mathcal{L}_\xi g_{ab} &= g_{ab}(x') - g'_{ab}(x') \\ &= g_{ab,c} \epsilon \xi^c + \epsilon \xi^c_{,a} g_{cb} + \epsilon \xi^c_{,b} g_{ac} \\ &= (g_{ab;<c>} + \overline{\Gamma^d_{ac}} g_{db} + \overline{\Gamma^d_{bc}} g_{ad}) \epsilon \xi^c \\ &+ \epsilon(\xi^c_{;<a>} - \overline{\Gamma^c_{da}} \xi^d) g_{cb} + \epsilon(\xi^c_{;<b>} - \overline{\Gamma^c_{db}} \xi^d) g_{ac} \end{aligned}$$

$$\begin{aligned} \mathcal{L}_\xi g_{ab} &= g_{ab;<c>} \xi^c + \overline{\Gamma^d_{ac}} g_{db} \xi^c + \overline{\Gamma^d_{bc}} g_{ad} \xi^c \\ &+ \xi^c_{;<a>} g_{cb} - \overline{\Gamma^c_{da}} \xi^d g_{cb} + \xi^c_{;<b>} g_{ac} - \overline{\Gamma^c_{db}} \xi^d g_{ac} \end{aligned} \tag{8.3.3}$$

(8.3.2) follows from (8.3.3) and (6.1.4). □

THEOREM 8.3.2. **Lie derivative of connection** *has form*

$$\mathcal{L}_\xi \Gamma^a_{bc} = -\overline{R^a_{bcp}} \xi^p - T^a_{bp;<c>} \xi^p - T^a_{be} \xi^e_{;<c>} + \xi^a_{;<bc>} \tag{8.3.4}$$

PROOF. We start from transformation (8.3.1). Then

$$\begin{aligned} \overline{\Gamma^a_{bc}(x')} &= \Gamma^a_{bc}(x') + A^a_{bc}(x') \\ &= \Gamma^a_{bc}(x) + \Gamma^a_{bc,p} \epsilon \xi^p + A^a_{bc}(x) + A^a_{bc,p} \epsilon \xi^p \\ &= \overline{\Gamma^a_{bc}(x)} + \overline{\Gamma^a_{bc,p}} \epsilon \xi^p \end{aligned} \tag{8.3.5}$$

$$\begin{aligned}
\overline{\Gamma'^a_{bc}}(x') &= \Gamma'^a_{bc}(x') + A'^a_{bc}(x')\\
&= \frac{\partial x'^a}{\partial x^e}\frac{\partial x^f}{\partial x'^b}\frac{\partial x^g}{\partial x'^c}\Gamma^e_{fg}(x) + \frac{\partial x'^a}{\partial x^e}\frac{\partial^2 x^e}{\partial x'^b\partial x'^c} + \frac{\partial x'^a}{\partial x^e}\frac{\partial x^f}{\partial x'^b}\frac{\partial x^g}{\partial x'^c}A^e_{fg}(x)\\
&= \Gamma^a_{bc} + \epsilon\xi^a_{,e}\Gamma^e_{bc} - \epsilon\xi^e_{,b}\Gamma^a_{ec} - \epsilon\xi^e_{,c}\Gamma^a_{be} + (\delta^a_e + \epsilon\xi^a_{,e})(-\epsilon\xi^e_{,cb}))\\
&+ A^a_{bc} + \epsilon\xi^a_{,e}A^e_{bc} - \epsilon\xi^e_{,b}A^a_{ec} - \epsilon\xi^e_{,c}A^a_{be}
\end{aligned}$$

$$\overline{\Gamma'^a_{bc}}(x') = \overline{\Gamma^a_{bc}} + \epsilon\xi^a_{,e}\overline{\Gamma^e_{bc}} - \epsilon\xi^e_{,b}\overline{\Gamma^a_{ec}} - \epsilon\xi^e_{,c}\overline{\Gamma^a_{be}} - \epsilon\xi^a_{,cb} \tag{8.3.6}$$

By definition

$$\xi^a_{;<e>} = \xi^a_{,e} + \overline{\Gamma^a_{pe}}\xi^p$$

$$\xi^a_{,e} = \xi^a_{;<e>} - \overline{\Gamma^a_{pe}}\xi^p \tag{8.3.7}$$

$$\begin{aligned}
\xi^a_{;<ef>} &= \xi^a_{;<e>,f} + \overline{\Gamma^a_{pf}}\xi^p_{;<e>} - \overline{\Gamma^p_{ef}}\xi^a_{;<p>}\\
&= \xi^a_{,ef} + \overline{\Gamma^a_{pe,f}}\xi^p + \overline{\Gamma^a_{pe}}\xi^p_{,f} + \overline{\Gamma^a_{pf}}\xi^p_{;<e>} - \overline{\Gamma^p_{ef}}\xi^a_{;<p>}\\
&= \xi^a_{,ef} + \overline{\Gamma^a_{pe,f}}\xi^p + \overline{\Gamma^a_{pe}}\xi^p_{;<f>} - \overline{\Gamma^a_{pe}}\overline{\Gamma^p_{rf}}\xi^r + \overline{\Gamma^a_{pf}}\xi^p_{;<e>} - \overline{\Gamma^p_{ef}}\xi^a_{;<p>}
\end{aligned}$$

$$\xi^a_{,ef} = \xi^a_{;<ef>} - \overline{\Gamma^a_{pe,f}}\xi^p - \overline{\Gamma^a_{pe}}\xi^p_{;<f>} + \overline{\Gamma^a_{pe}}\overline{\Gamma^p_{rf}}\xi^r - \overline{\Gamma^a_{pf}}\xi^p_{;<e>} + \overline{\Gamma^p_{ef}}\xi^a_{;<p>} \tag{8.3.8}$$

We substitute (8.3.8) and (8.3.7) into (8.3.6) and get

$$\begin{aligned}
&\overline{\Gamma'^a_{bc}}(x')\\
&= \overline{\Gamma^a_{bc}} + \epsilon(\underline{\xi^a_{;<e>}}_{4:T} - \overline{\Gamma^a_{pe}}\xi^p)\overline{\Gamma^e_{bc}} - \epsilon(\underline{\xi^e_{;<b>}}_{2} - \underline{\overline{\Gamma^e_{pb}}\xi^p}_{1})\overline{\Gamma^a_{ec}} - \epsilon(\underline{\xi^e_{;<c>}}_{3:T} - \overline{\Gamma^e_{pc}}\xi^p)\overline{\Gamma^a_{be}}\\
&- \epsilon(\xi^a_{;<cb>} - \overline{\Gamma^a_{pc,b}}\xi^p - \underline{\overline{\Gamma^a_{pc}}\xi^p_{;<b>}}_{2} + \underline{\overline{\Gamma^a_{pc}}\overline{\Gamma^p_{rb}}\xi^r}_{1} - \underline{\overline{\Gamma^a_{pb}}\xi^p_{;<c>}}_{3} + \underline{\overline{\Gamma^p_{cb}}\xi^a_{;<p>}}_{4})
\end{aligned}$$

(8.3.9)

$$\overline{\Gamma'^a_{bc}}(x') = \overline{\Gamma^a_{bc}} + \epsilon(\xi^a_{;<e>}T^e_{cb} - \overline{\Gamma^a_{pe}}\xi^p\overline{\Gamma^e_{bc}} + \xi^e_{;<c>}T^a_{be} + \overline{\Gamma^e_{pc}}\xi^p\overline{\Gamma^a_{be}} - \xi^a_{;<cb>} + \overline{\Gamma^a_{pc,b}}\xi^p)$$

According definition of Lie derivative we have using (8.3.5) and (8.3.9)

$$\begin{aligned}
\mathcal{L}_\xi\overline{\Gamma^a_{bc}} &= (\overline{\Gamma^a_{bc}}(x') - \overline{\Gamma'^a_{bc}}(x'))\epsilon^{-1}\\
&= (\overline{\Gamma^a_{bc}} + \overline{\Gamma^a_{bc,p}}\epsilon\xi^p\\
&- \overline{\Gamma^a_{bc}} - \epsilon(\xi^a_{;<e>}T^e_{cb} - \overline{\Gamma^a_{pe}}\xi^p\overline{\Gamma^e_{bc}} + \xi^e_{;<c>}T^a_{be} + \overline{\Gamma^e_{pc}}\xi^p\overline{\Gamma^a_{be}} - \xi^a_{;<cb>} + \overline{\Gamma^a_{pc,b}}\xi^p))\epsilon^{-1}
\end{aligned}$$

(8.3.10)

$$\mathcal{L}_\xi\overline{\Gamma^a_{bc}} = \overline{\Gamma^a_{bc,p}}\xi^p - \xi^a_{;<e>}T^e_{cb} + \overline{\Gamma^a_{pe}}\xi^p\overline{\Gamma^e_{bc}} - \xi^e_{;<c>}T^a_{be} - \overline{\Gamma^e_{pc}}\xi^p\overline{\Gamma^a_{be}} + \xi^a_{;<cb>} - \overline{\Gamma^a_{pc,b}}\xi^p$$

From (8.3.10) and (6.1.4) it follows

$$\begin{aligned}
\mathcal{L}_\xi\overline{\Gamma^a_{bc}} &= \overline{\Gamma^a_{cb,p}}\xi^p - \overline{\Gamma^a_{cp,b}}\xi^p\\
&+ \underline{\overline{\Gamma^a_{pe}\Gamma^e_{bc}}\xi^p}_{3:T} - \underline{\overline{\Gamma^a_{ep}\Gamma^e_{bc}}\xi^p}_{3} + \underline{\overline{\Gamma^a_{ep}\Gamma^e_{bc}}\xi^p}_{4:T} - \underline{\overline{\Gamma^a_{ep}\Gamma^e_{cb}}\xi^p}_{4} + \overline{\Gamma^a_{ep}\Gamma^e_{cb}}\xi^p\\
&- \underline{\overline{\Gamma^e_{pc}\Gamma^a_{be}}\xi^p}_{1:T} + \underline{\overline{\Gamma^e_{pc}\Gamma^a_{eb}}\xi^p}_{1} - \underline{\overline{\Gamma^a_{eb}\Gamma^e_{pc}}\xi^p}_{2:T} + \underline{\overline{\Gamma^a_{eb}\Gamma^e_{cp}}\xi^p}_{2} - \overline{\Gamma^a_{eb}\Gamma^e_{cp}}\xi^p\\
&- \xi^a_{;<e>}T^e_{cb} - \xi^e_{;<c>}T^a_{be} + \xi^a_{;<cb>} - T^a_{cp,b}\xi^p - T^a_{bc,p}\xi^p
\end{aligned}$$

$$\begin{aligned}\mathcal{L}_\xi\overline{\Gamma^a_{bc}}=&\overline{\Gamma^a_{cb,p}}\xi^p-\overline{\Gamma^a_{cp,b}}\xi^p+\overline{\Gamma^a_{ep}\Gamma^e_{cb}}\xi^p-\overline{\Gamma^a_{eb}\Gamma^e_{cp}}\xi^p\\&-\underline{T^a_{pe}\overline{\Gamma^e_{bc}}\xi^p}_{4:T}-\underline{\overline{\Gamma^a_{ep}}T^e_{bc}\xi^p}_1-\underline{\overline{\Gamma^e_{pc}}T^a_{eb}\xi^p}_{3:T}-\underline{\overline{\Gamma^a_{eb}}T^e_{cp}\xi^p}_2\\&-\xi^a_{;<e>}T^e_{cb}-\xi^e_{;<c>}T^a_{be}+\xi^a_{;<cb>}\\&-T^a_{cp;<b>}\xi^p+\underline{\overline{\Gamma^a_{eb}}T^e_{cp}\xi^p}_2-\underline{\overline{\Gamma^e_{cb}}T^a_{ep}\xi^p}_4-\underline{\overline{\Gamma^e_{pb}}T^a_{ce}\xi^p}_{5:T}\\&-T^a_{bc;<p>}\xi^p+\underline{\overline{\Gamma^a_{ep}}T^e_{bc}\xi^p}_1-\underline{\overline{\Gamma^e_{bp}}T^a_{ec}\xi^p}_5-\underline{\overline{\Gamma^e_{cp}}T^a_{be}\xi^p}_3\end{aligned}\tag{8.3.11}$$

From (8.3.11) and (5.3.23) it follows

$$\begin{aligned}\mathcal{L}_\xi\overline{\Gamma^a_{bc}}=&\overline{R^a_{cpb}}\xi^p\\&-T^e_{cp}T^a_{eb}\xi^p-T^a_{pe}T^e_{cb}\xi^p-T^e_{bp}T^a_{ce}\xi^p\\&-\xi^a_{;<e>}T^e_{cb}-\xi^e_{;<c>}T^a_{be}+\xi^a_{;<cb>}\\&-T^a_{cp;<b>}\xi^p-T^a_{bc;<p>}\xi^p\end{aligned}$$

$$\begin{aligned}\mathcal{L}_\xi\overline{\Gamma^a_{bc}}=&-\overline{R^a_{cbp}}\xi^p\\&-(T^a_{eb}T^e_{cp}+T^a_{ep}T^e_{bc}+T^a_{ec}T^e_{pb})\xi^p\\&-\xi^a_{;<e>}T^e_{cb}-\xi^e_{;<c>}T^a_{be}+\xi^a_{;<cb>}\\&-T^a_{cp;<b>}\xi^p-T^a_{bc;<p>}\xi^p\end{aligned}\tag{8.3.12}$$

From (8.3.12) and (8.4.1) it follows

$$\begin{aligned}\mathcal{L}_\xi\overline{\Gamma^a_{bc}}=&\underline{\overline{R^a_{cpb}}\xi^p}_1\\&-\overline{R^a_{bcp}}\xi^p-\overline{R^a_{pbc}}\xi^p-\underline{\overline{R^a_{cpb}}\xi^p}_1\\&+\underline{T^a_{bc:<p>}\xi^p}_3+T^a_{pb;<c>}\xi^p+\underline{T^a_{cp;<b>}\xi^p}_2\\&-\xi^a_{;<e>}T^e_{cb}-\xi^e_{;<c>}T^a_{be}+\xi^a_{;<cb>}\\&-\underline{T^a_{cp;<b>}\xi^p}_2-\underline{T^a_{bc;<p>}\xi^p}_3\end{aligned}$$

$$\mathcal{L}_\xi\overline{\Gamma^a_{bc}}=-\overline{R^a_{bcp}}\xi^p-\overline{R^a_{pbc}}\xi^p-T^a_{bp;<c>}\xi^p-\xi^a_{;<e>}T^e_{cb}-\xi^e_{;<c>}T^a_{be}+\xi^a_{;<cb>}\tag{8.3.13}$$

We substitute (6.1.6) into (8.3.13)

$$\mathcal{L}_\xi\overline{\Gamma^a_{bc}}=-\overline{R^a_{bcp}}\xi^p-T^a_{bp;<c>}\xi^p-\underline{T^e_{cb}\xi^a_{;<e>}}_1-T^a_{be}\xi^e_{;<c>}-\underline{T^p_{bc}\xi^a_{;<p>}}_1+\xi^a_{;<bc>}\tag{8.3.14}$$

(8.3.4) follows from (8.3.14). □

Corollary 8.3.3. *Lie derivative of connection in Rieman space has form*

$$\mathcal{L}_\xi\Gamma^a_{bc}=-R^a_{cbp}\xi^p+\xi^a_{;cb}\tag{8.3.15}$$

Proof. (8.3.15) follows from (8.3.4) when $T^a_{bc}=0$ □

8.4. Bianchi Identity

Theorem 8.4.1. *The first Bianchi identity for the space with torsion has form*

$$\begin{aligned}&T^k_{ij;<m>}+T^k_{mi;<j>}+T^k_{jm;<i>}+T^k_{pi}T^p_{jm}+T^k_{pm}T^p_{ij}+T^k_{pj}T^p_{mi}\\&=\overline{R^k_{jmi}}+\overline{R^k_{ijm}}+\overline{R^k_{mij}}\end{aligned}\tag{8.4.1}$$

Proof. Differential of equation (6.1.3) has form

$$T^k_{ij,m}\theta^m\wedge\theta^i\wedge\theta^j=(\overline{\Gamma^k_{ji,m}}-\overline{\Gamma^k_{ij,m}})\theta^m\wedge\theta^i\wedge\theta^j$$

Two forms are equal when their coefficients are equal. Therefore

$$T^k_{ij,m}+T^k_{mi,j}+T^k_{jm,i}=\overline{\Gamma^k_{ji,m}}-\overline{\Gamma^k_{ij,m}}+\overline{\Gamma^k_{im,j}}-\overline{\Gamma^k_{mi,j}}+\overline{\Gamma^k_{mj,i}}-\overline{\Gamma^k_{jm,i}}$$

We express derivatives using covariant derivatives and change order of terms

$$\begin{aligned}
&T^k_{ij;<m>}-\underline{\overline{\Gamma^k_{pm}}T^p_{ij}}_{4}+\underline{\overline{\Gamma^p_{im}}T^k_{pj}}_{2:T}-\underline{\overline{\Gamma^p_{jm}}T^k_{pi}}_{3:T}\\
&+T^k_{mi;<j>}-\underline{\overline{\Gamma^k_{pj}}T^p_{mi}}_{5}+\underline{\overline{\Gamma^p_{mj}}T^k_{pi}}_{3}-\underline{\overline{\Gamma^p_{ij}}T^k_{pm}}_{1:T}\\
&+T^k_{jm;<i>}-\underline{\overline{\Gamma^k_{pi}}T^p_{jm}}_{6}+\underline{\overline{\Gamma^p_{ji}}T^k_{pm}}_{1}-\underline{\overline{\Gamma^p_{mi}}T^k_{pj}}_{2}\\
&=\overline{\Gamma^k_{ji,m}}-\overline{\Gamma^k_{jm,i}}+\overline{\Gamma^k_{pm}\Gamma^p_{ji}}-\overline{\Gamma^k_{pi}}\,\overline{\Gamma^p_{jm}}-\underline{\overline{\Gamma^k_{pm}\Gamma^p_{ji}}}_{4}+\underline{\overline{\Gamma^k_{pi}}\,\overline{\Gamma^p_{jm}}}_{6}\\
&+\overline{\Gamma^k_{im,j}}-\overline{\Gamma^k_{ij,m}}+\overline{\Gamma^k_{pj}}\,\overline{\Gamma^p_{im}}-\overline{\Gamma^k_{pm}\Gamma^p_{ij}}-\underline{\overline{\Gamma^k_{pj}}\,\overline{\Gamma^p_{im}}}_{5}+\underline{\overline{\Gamma^k_{pm}\Gamma^p_{ij}}}_{4}\\
&+\overline{\Gamma^k_{mj,i}}-\overline{\Gamma^k_{mi,j}}+\overline{\Gamma^k_{pi}}\,\overline{\Gamma^p_{mj}}-\overline{\Gamma^k_{pj}}\,\overline{\Gamma^p_{mi}}-\underline{\overline{\Gamma^k_{pi}}\,\overline{\Gamma^p_{mj}}}_{6}+\underline{\overline{\Gamma^k_{pj}}\,\overline{\Gamma^p_{mi}}}_{5}
\end{aligned}$$

$$\begin{aligned}
&T^k_{ij;<m>}+T^p_{mi}T^k_{pj}+T^p_{jm}T^k_{pi}+T^k_{mi;<j>}+T^p_{ij}T^k_{pm}+T^k_{jm;<i>}\\
&=\overline{R^k_{jmi}}+\overline{R^k_{ijm}}+\overline{R^k_{mij}}
\end{aligned}\tag{8.4.2}$$

(8.4.1) follows from (8.4.2). □

If we get a derivative of form (5.3.22) we will see that the second Bianchi identity does not depend on the torsion.

8.5. Killing Vector

Invariance of the metric tensor g under the infinitesimal coordinate transformation (8.3.1) leads to the **Killing equation**.

Theorem 8.5.1. *Killing equation in the metric-affine manifold has form*

$$\xi^k_{;<a>}g_{kb}+\xi^k_{;<b>}g_{ka}+T^l_{ka}g_{lb}\xi^k+T^l_{kb}g_{la}\xi^k+g_{ab;<k>}\xi^k=0\tag{8.5.1}$$

Proof. Invariance of the metric tensor g means that its Lie derivative equal 0

$$\mathcal{L}_\xi g_{ab}=0\tag{8.5.2}$$

(8.5.1) folows from (8.5.2) and (8.3.2). □

Theorem 8.5.2. *The condition of invariance of the connection in the metric-affine manifold has form*

$$\xi^a_{;<bc>}=\overline{R^a_{bcp}}\xi^p+T^a_{bp;<c>}\xi^p+T^a_{bp}\xi^p_{;<c>}\tag{8.5.3}$$

Proof. Because connection is invariant under the infinitesimal transformation we have

$$\mathcal{L}_\xi\overline{\Gamma^a_{bc}}=0\tag{8.5.4}$$

(8.5.3) follows from (8.5.4) and (8.3.4). □

We call equation (8.5.3) the **Killing equation of second type** and vector ξ^a **Killing vector of second type**.

Theorem 8.5.3. *Killing vector of second type satisfies equation*

$$\begin{aligned}0 &= \overline{R^a_{bcp}}\xi^p + \overline{R^a_{cpb}}\xi^p + \overline{R^a_{pbc}}\xi^p \\ &+ T^a_{bp;c}\xi^p + T^a_{pc;b}\xi^p + T^p_{cb}\xi^a_{;<p>} + T^a_{bp}\xi^p_{;<c>} + T^a_{pc}\xi^p_{;<b>}\end{aligned} \tag{8.5.5}$$

Proof. From (8.5.3) and (6.1.6) it follows that

$$\begin{aligned}\overline{R^a_{pbc}}\xi^p - T^p_{bc}\xi^a_{;<p>} &= \overline{R^a_{cbp}}\xi^p + T^a_{cp;<b>}\xi^p + T^a_{cp}\xi^p_{;<b>} \\ &- \overline{R^a_{bcp}}\xi^p - T^a_{bp;<c>}\xi^p - T^a_{bp}\xi^p_{;<c>}\end{aligned} \tag{8.5.6}$$

(8.5.5) follows from (8.5.6). □

Corollary 8.5.4. *The Killing equation of second type in the Riemann space is the identity. The connection in the Riemann space is invariant under any infinitesimal transformation* (8.3.1)

Proof. First of all the torsion is 0. The rest is the consequence of the first Bianchi identity. □

8.6. Cartan Transport

Theorems 8.1.2 and 8.2.1 state that the movement along a line causes an additional to the parallel transport transformation of a vector. This transformation is very important and we call it the **Cartan transport**. We introduce the **Cartan symbol**

$$\Gamma(C)^i_{kl} = \frac{1}{2}g^{im}(g_{kl;m} - g_{km;l} - g_{ml;k})$$

and the **Cartan connection**

$$\overbrace{\Gamma^i_{kl}} = \Gamma^i_{kl} - \Gamma(C)^i_{kl} = \Gamma^i_{kl} - \frac{1}{2}g^{im}(g_{kl;m} - g_{km;l} - g_{ml;k})$$

Using the Cartan connection we can write the Cartan transport as

$$da^i = -\overbrace{\Gamma^i_{kl}}\ a^k dx^l$$

Respectively we define the **Cartan derivative**

$$\overbrace{\nabla_l}\ a^i = a^i_{;\{l\}} = \partial_l a^i + \overbrace{\Gamma^i_{kl}}\ a^k$$

$$\overbrace{D}\ a^i = da^i + \overbrace{\Gamma^i_{kl}}\ a^k dx^l$$

Theorem 8.6.1. *The Cartan transport along an extreme line holds length of the tangent vector.*

Proof. Let

$$v^i = \frac{dx^i}{ds}$$

be the tangent vector to an extreme curve. From theorem 8.1.2 it follows that

$$\frac{Dv^l}{ds} = \frac{1}{2}g^{il}\left(g_{kj;i} - g_{ik;j} - g_{ij;k}\right)v^k v^j$$

and

$$\begin{aligned}\frac{Dg_{kl}v^k v^l}{ds} &= \frac{Dg_{kl}}{ds}v^k v^l + g_{kl}\frac{Dv^k}{ds}v^l + g_{kl}v^k\frac{Dv^l}{ds} = \\ &= g_{kl;p}v^p v^k v^l +\end{aligned}$$

$$+g_{kl}g^{ik}\frac{1}{2}\left(g_{rj;i}-g_{ir;j}-g_{ij;r}\right)v^rv^jv^l+$$
$$+g_{kl}v^kg^{il}\frac{1}{2}\left(g_{rj;i}-g_{ir;j}-g_{ij;r}\right)v^rv^j=$$
$$=g_{kl;p}v^pv^kv^l+\left(g_{rj;l}-g_{lr;j}-g_{lj;r}\right)v^rv^jv^l=0$$

Therefore the length of the vector v^i does not change along the extreme curve. □

We extend the Cartan transport to any geometrical object like we do for the parallel transport.

Theorem 8.6.2.

$$g_{ij;\{l\}}=0$$

Proof.

$$\overbrace{\nabla_l}\ g_{ij}=\partial_lg_{ij}-\overbrace{\Gamma^k_{il}}\ g_{kj}-\overbrace{\Gamma^k_{jl}}\ g_{ik}=$$
$$=g_{ij;l}+\frac{1}{2}g^{km}(g_{il;m}-g_{im;l}-g_{ml;i})g_{kj}+\frac{1}{2}g^{km}(g_{jl;m}-g_{jm;l}-g_{ml;j})g_{ik}=0$$

□

The Cartan connection $\overbrace{\Gamma^i_{kl}}$ differs from the connection Γ^i_{kl} by additional term which is symmetric tensor. For any connection we introduce standard way derivative and curvature. Statemants of geometry and physics have the same form independently of whether I use the connection Γ^i_{kl} or the Cartan connection. To show this we can generalize the idea of the Cartan connection and consider connection defined by equation

$$\overline{\Gamma^i_{kl}}=\Gamma^i_{kl}+A^i_{kl}\tag{8.6.1}$$

where A is 0, or the Cartan symbol or any other symmetric tensor. Respectively we define the derivative

$$\overline{\nabla}_la^i=a^i_{;<l>}=\partial_la^i+\overline{\Gamma^i_{kl}}a^k$$

$$\overline{D}a^i=da^i+\overline{\Gamma^i_{kl}}a^kdx^l$$

and curvature

$$\overline{R^a_{bij}}=\partial_i\overline{\Gamma^a_{bj}}-\partial_j\overline{\Gamma^a_{bi}}+\overline{\Gamma^a_{ci}}\overline{\Gamma^c_{bj}}-\overline{\Gamma^a_{cj}}\overline{\Gamma^c_{bi}}\tag{8.6.2}$$

This connection has the same torsion

$$T^a_{cb}=\overline{\Gamma^a_{bc}}-\overline{\Gamma^a_{cb}}\tag{8.6.3}$$

In this context theorem 8.6.1 means that extreme line is geodesic line for the Cartan connection.

Theorem 8.6.3. *Curvature of connection* (8.6.1) *has form*

$$\overline{R^a_{bde}}=R^a_{bde}+A^a_{be;d}-A^a_{bd;e}+A^a_{cd}A^c_{be}-A^a_{ce}A^c_{bd}+S^p_{de}A^a_{bp}\tag{8.6.4}$$

where R^a_{bde} *is curvature of connection* Γ^i_{kl}

Proof.

$$
\begin{aligned}
\overline{R^a_{bde}} &= \overline{\Gamma^a_{be,d}} - \overline{\Gamma^a_{bd,e}} + \overline{\Gamma^a_{cd}}\ \overline{\Gamma^c_{be}} - \overline{\Gamma^a_{ce}}\ \overline{\Gamma^c_{bd}} \\
&= \Gamma^a_{be,d} + A^a_{be,d} - \Gamma^a_{bd,e} - A^a_{bd,e} \\
&+ (\Gamma^a_{cd} + A^a_{cd})(\Gamma^c_{be} + A^c_{be}) - (\Gamma^a_{ce} + A^a_{ce})(\Gamma^c_{bd} + A^c_{bd}) \\
&= \Gamma^a_{be,d} + A^a_{be,d} - \Gamma^a_{bd,e} - A^a_{bd,e} \\
&+ \Gamma^a_{cd}\Gamma^c_{be} + \Gamma^a_{cd}A^c_{be} + A^a_{cd}\Gamma^c_{be} + A^a_{cd}A^c_{be} \\
&- \Gamma^a_{ce}\Gamma^c_{bd} - A^a_{ce}\Gamma^c_{bd} - \Gamma^a_{ce}A^c_{bd} - A^a_{ce}A^c_{bd} \\
&= R^a_{bde} + A^a_{be,d} - A^a_{bd,e} \\
&+ \Gamma^a_{cd}A^c_{be} + A^a_{cd}\Gamma^c_{be} + A^a_{cd}A^c_{be} \\
&- A^a_{ce}\Gamma^c_{bd} - \Gamma^a_{ce}A^c_{bd} - A^a_{ce}A^c_{bd} \\
&= R^a_{bde} \\
&+ A^a_{be;d} - \underline{\Gamma^a_{pd}A^p_{be}}_2 + \underline{\Gamma^p_{bd}A^a_{pe}}_4 + \underline{\Gamma^p_{ed}A^a_{bp}}_{1:S} \\
&- A^a_{bd;e} + \underline{\Gamma^a_{pe}A^p_{bd}}_3 - \underline{\Gamma^p_{be}A^a_{pd}}_5 - \underline{\Gamma^p_{de}A^a_{bp}}_1 \\
&+ \underline{\Gamma^a_{cd}A^c_{be}}_2 + \underline{\Gamma^c_{be}A^a_{cd}}_5 + A^a_{cd}A^c_{be} \\
&- \underline{\Gamma^c_{bd}A^a_{ce}}_4 - \underline{\Gamma^a_{ce}A^c_{bd}}_3 - A^a_{ce}A^c_{bd}
\end{aligned}
$$

□

Corollary 8.6.4. **Cartan curvature** *has next form*

$$
\begin{aligned}
\overbrace{R^a_{bde}} &= R^a_{bde} - \Gamma(C)^a_{be;d} + \Gamma(C)^a_{bd;e} \\
&+ \Gamma(C)^a_{cd}\Gamma(C)^c_{be} - \Gamma(C)^a_{ce}\Gamma(C)^c_{bd} - T^p_{de}\Gamma(C)^a_{bp}
\end{aligned}
\tag{8.6.5}
$$

CHAPTER 9

Metric Affine Gravity

9.1. Newton's Laws: Scalar Potential

The knowledge of dynamics of a point particle is important for us because we can study how the particle interacts with external fields as well as the properties of the particle itself.

To study the movement of a point particle we can use a potential of a certain field. The potential may be scalar or vector.

In case of scalar potential we assume that a point particle has rest mass m and we use lagrangian function in the following form

$$L = -mcds - Udx^0$$

where U is **scalar potential** or **potential energy**.

Theorem 9.1.1. *(**First Newton law**) If $U = 0$ (therefore we consider free movement) a body chooses trajectory with extreme length.*

Theorem 9.1.2. *(**Second Newton law**) A trajectory of point particle satisfies the differential equation*

$$\frac{\overbrace{D}\ u^l}{ds} = \frac{u^0}{mc}F^l \tag{9.1.1}$$

$$u^j = \frac{dx^l}{ds}$$

where we introduced force

$$F^l = g^{il}\frac{\partial U}{\partial x^i} \tag{9.1.2}$$

Proof. Using (8.1.2), we can write variation of the lagrangian as

$$\frac{1}{2}mc\left(g_{kl;i} - g_{ik;l} - g_{il;k}\right)u^k u^j ds - mcg_{ij}Du^j + \frac{\partial U}{\partial x^i}dx^0 = 0$$

The statement of the theorem follows from this. □

9.2. Newton's Laws: Vector Potential

In section 9.1 we learned dynamics when potential is scalar. However in electrodynamics we have **vector potential** A^k. In this case action is

$$S = \int_{t_1}^{t_2}\left(-mcds - \frac{e}{c}A_l dx^l\right)$$

$$A_c = g_{cd}A^d$$

Theorem 9.2.1. *The trajectory of a particle moving in the vector field satisfies the differential equation*

$$\frac{\overbrace{D}\ u^j}{ds} = \frac{e}{mc^2} g^{ij} F_{li} u^l$$

$$u^j = \frac{dx^l}{ds}$$

where we introduce a **field-strength tensor**

$$F_{dc} = A_{d;c} - A_{c;d} + S^p_{dc} A_p = \overbrace{\nabla_c}\ A_d - \overbrace{\nabla_d}\ A_c + S^p_{dc} A_p$$

Proof. Using (8.1.2), we can write the variation of the action as

$$\delta S =$$

$$= \int_{t_1}^{t_2} \left(-mc \left(\frac{1}{2} \left(g_{kj;i} - g_{ij;k} - g_{ik;j} \right) u^k u^j ds - g_{ij} D u^j \right) \delta x^i - \frac{e}{c} \left(\delta A_l dx^l + A_l \delta dx^l \right) \right)$$

We can estimate the second term like

$$-\frac{e}{c} \left(A_{l,k} dx^l \delta x^k + A_l d\delta x^l \right) =$$

$$= -\frac{e}{c} \left(A_{l;k} dx^l \delta x^k + \Gamma^p_{lk} A_p dx^l \delta x^k + A_l d\delta x^l \right) =$$

$$= -\frac{e}{c} \left(A_{k;l} dx^l \delta x^k + \left(A_{l;k} - A_{k;l} \right) dx^l \delta x^k + S^p_{lk} A_p dx^l \delta x^k + \Gamma^p_{kl} A_p dx^l \delta x^k + A_l d\delta x^l \right) =$$

$$= -\frac{e}{c} \left(D A_k \delta x^k + A_k D \delta x^k + \left(A_{l;k} - A_{k;l} \right) dx^l \delta x^k + S^p_{lk} A_p dx^l \delta x^k \right) =$$

$$= -\frac{e}{c} \left(\underline{d \left(A_k \delta x^k \right)} + \left(A_{l;k} - A_{k;l} + S^p_{lk} A_p \right) dx^l \delta x^k \right)$$

The integral of the underlined term is 0 because points, when $t = t_1$ and $t = t_2$, are fixed. Therefore

$$-mc \left(\frac{1}{2} \left(g_{kj;i} - g_{ij;k} - g_{ik;j} \right) u^k u^j ds - g_{ij} D u^j \right) - \frac{e}{c} F_{li} dx^l = 0$$

The statement of the theorem follows from this. □

The dependence of field-strength tensor on derivative of metric follows from this theorem. It changes form of Einstein equation and momentum of gravitational field appears in case of vector field.

Theorem 9.2.2. *A field-strength tensor does not change when vector potential changes like*

$$A'_j = A_j + \partial_j \Lambda$$

where Λ is an arbitrary function of x.

Proof. Change in a field-strength tensor is

$$(\partial_d \Lambda)_{;c} - (\partial_c \Lambda)_{;d} + S^p_{dc} \partial_p \Lambda =$$

$$\partial_{cd} \Lambda - \Gamma^p_{dc} \partial_p \Lambda - \partial_{dc} \Lambda + \Gamma^p_{cd} \partial_p \Lambda + S^p_{dc} \partial_p \Lambda = 0$$

This proves the theorem. □

9.3. Tidal Equation

I consider generalized connection (8.6.1). We assume that considered bodyes perform not geodesic but arbitrary movement.

We assume that both observers start their travel from the same point[9.1] and their speed satisfy to differential equations

$$\frac{\overline{D}v_I^i}{ds_I}=a_I^i \tag{9.3.1}$$

where $I=1,2$ is the number of the observer and ds_I is infinitesimal arc on geodesic I. Observer I follows the geodesic of connection (8.6.1) when $a_I=0$. We assume also that $ds_1=ds_2=ds$.

Deviation of trajectories (9.3.1) δx^k is vector connecting observers. The lines are infinitesimally close in the neighborhood of the start point

$$x_2^i(s_2)=x_1^i(s_1)+\delta x^i(s_1)$$
$$v_2^i(s_2)=v_1^i(s_1)+\delta v^i(s_1)$$

Derivative of vector δx^i has form

$$\frac{d\delta x^i}{ds}=\frac{d(x_2^i-x_1^i)}{ds}=v_2^i-v_1^i=\delta v^i$$

Speed of deviation δx^i is covariant derivative

$$\begin{aligned}\frac{\overline{D}\delta x^i}{ds}&=\frac{d\delta x^i}{ds}+\overline{\Gamma_{kl}^i}\delta x^k v_1^l\\&=\delta v^i+\overline{\Gamma_{kl}^i}\delta x^k v_1^l\end{aligned} \tag{9.3.2}$$

From (9.3.2) it follows that

$$\delta v^i=\frac{\overline{D}\delta x^i}{ds}-\overline{\Gamma_{kl}^i}\delta x^k v_1^l \tag{9.3.3}$$

Finally we are ready to estimate second covariant of vector δx^i

$$\begin{aligned}\frac{\overline{D^2}\delta x^i}{ds^2}&=\frac{d\frac{\overline{D}\delta x^i}{ds}}{ds}+\overline{\Gamma_{kl}^i}\frac{\overline{D}\delta x^k}{ds}v_1^l\\&=\frac{d(\delta v^i+\overline{\Gamma_{kl}^i}\delta x^k v_1^l)}{ds}+\overline{\Gamma_{kl}^i}\frac{\overline{D}\delta x^k}{ds}v_1^l\\&=\frac{d\delta v^i}{ds}+\frac{d\overline{\Gamma_{kl}^i}}{ds}\delta x^k v_1^l+\overline{\Gamma_{kl}^i}\frac{d\delta x^k}{ds}v_1^l+\overline{\Gamma_{kl}^i}\delta x^k\frac{dv_1^l}{ds}+\overline{\Gamma_{kl}^i}\frac{\overline{D}\delta x^k}{ds}v_1^l\end{aligned}$$

$$\frac{\overline{D^2}\delta x^i}{ds^2}=\frac{d\delta v^i}{ds}+\overline{\Gamma_{kl,n}^i}v_1^n\delta x^k v_1^l+\overline{\Gamma_{kl}^i}\delta v^k v_1^l+\overline{\Gamma_{kl}^i}\delta x^k\frac{dv_1^l}{ds}+\overline{\Gamma_{kl}^i}\frac{\overline{D}\delta x^k}{ds}v_1^l \tag{9.3.4}$$

Theorem 9.3.1. *Tidal acceleration of connection (8.6.1) has form*

$$\begin{aligned}\frac{\overline{D^2}\delta x^i}{ds^2}=&T_{ln}^i\frac{\overline{D}\delta x^n}{ds}v_1^l+(\overline{R_{klm}^i}+T_{km;<l>}^i)\delta x^m v_1^k v_1^l\\&+a_2^i-a_1^i+\overline{\Gamma_{ml}^i}\delta x^m a_1^l\end{aligned} \tag{9.3.5}$$

[9.1] I follow [20], page 33

Proof. The trajectory of observer 1 satisfies equation

$$\frac{\overline{D}v^i_1}{ds}=\frac{dv^i_1}{ds}+\overline{\Gamma^i_{kl}}(x_1)v^k_1v^l_1=a^i_1 \tag{9.3.6}$$

$$\frac{dv^i_1}{ds}=a^i_1-\overline{\Gamma^i_{kl}}v^k_1v^l_1 \tag{9.3.7}$$

The same time the trajectory of observer 2 satisfies equation

$$\begin{aligned}\frac{\overline{D}v^i_2}{ds}&=\frac{dv^i_2}{ds}+\overline{\Gamma^i_{kl}}(x_2)v^k_2v^l_2\\&=\frac{d(v^i_1+\delta v^i)}{ds}+\overline{\Gamma^i_{kl}}(x_1+\delta x)(v^k_1+\delta v^k)(v^l_1+\delta v^l)\\&=\frac{dv^i_1}{ds}+\frac{d\delta v^i}{ds}+(\overline{\Gamma^i_{kl}}+\overline{\Gamma^i_{kl,m}}\delta x^m)(v^k_1v^l_1+\delta v^kv^l_1+v^k_1\delta v^l+\delta v^k\delta v^l)\\&=a^i_2\end{aligned}$$

We can rewrite this equation up to order 1

$$\frac{dv^i_1}{ds}+\frac{d\delta v^i}{ds}+\overline{\Gamma^i_{kl}}v^k_1v^l_1+\overline{\Gamma^i_{kl}}(\delta v^kv^l_1+v^k_1\delta v^l)+\overline{\Gamma^i_{kl,m}}\delta x^mv^k_1v^l_1=a^i_2$$

Using (9.3.6) we get

$$a^i_1+\frac{d\delta v^i}{ds}+\overline{\Gamma^i_{kl}}\delta v^kv^l_1+\overline{\Gamma^i_{kl}}v^k_1\delta v^l+\overline{\Gamma^i_{kl,m}}\delta x^mv^k_1v^l_1=a^i_2$$

$$\frac{d\delta v^i}{ds}=-\overline{\Gamma^i_{kl}}\delta v^kv^l_1-\overline{\Gamma^i_{lk}}\delta v^kv^l_1-\overline{\Gamma^i_{kl,m}}\delta x^mv^k_1v^l_1+a^i_2-a^i_1 \tag{9.3.8}$$

We substitute (9.3.3), (9.3.7), and (9.3.8) into (9.3.4)

$$\begin{aligned}\frac{\overline{D^2}\delta x^i}{ds^2}=&-\underline{\overline{\Gamma^i_{kl}}\delta v^kv^l_1}_1-\overline{\Gamma^i_{ln}}\Big(\frac{\overline{D}\delta x^n}{ds}-\overline{\Gamma^n_{mk}}\delta x^mv^k_1\Big)v^l_1-\overline{\Gamma^i_{kl,m}}\delta x^mv^k_1v^l_1\\&+a^i_2-a^i_1\\&+\overline{\Gamma^i_{mk,l}}v^k_1\delta x^mv^l_1+\underline{\overline{\Gamma^i_{kl}}\delta v^kv^l_1}_1\\&+\overline{\Gamma^i_{mn}}\delta x^m(a^n_1-\overline{\Gamma^n_{kl}}v^k_1v^l_1)+\overline{\Gamma^i_{nl}}\frac{\overline{D}\delta x^n}{ds}v^l_1\end{aligned}$$

$$\begin{aligned}\frac{\overline{D^2}\delta x^i}{ds^2}=&(\overline{\Gamma^i_{mk,l}}-\overline{\Gamma^i_{kl,m}}+\overline{\Gamma^i_{ln}}\,\overline{\Gamma^n_{mk}}-\overline{\Gamma^i_{mn}}\,\overline{\Gamma^n_{kl}})\delta x^mv^k_1v^l_1\\&+\overline{\Gamma^i_{nl}}\frac{\overline{D}\delta x^n}{ds}v^l_1-\overline{\Gamma^i_{ln}}\frac{\overline{D}\delta x^n}{ds}v^l_1\\&+a^i_2-a^i_1+\overline{\Gamma^i_{mn}}\delta x^ma^n_1\end{aligned}$$

$$\begin{aligned}\frac{\overline{D^2}\delta x^i}{ds^2}=&(\overline{\Gamma^i_{mk,l}}-\overline{\Gamma^i_{km,l}}+\overline{\Gamma^i_{km,l}}-\overline{\Gamma^i_{kl,m}}\\&+\overline{\Gamma^i_{ln}}\,\overline{\Gamma^n_{mk}}-\overline{\Gamma^i_{nl}}\,\overline{\Gamma^n_{mk}}+\overline{\Gamma^i_{nl}}\,\overline{\Gamma^n_{mk}}-\overline{\Gamma^i_{nl}}\,\overline{\Gamma^n_{km}}+\overline{\Gamma^i_{nl}}\,\overline{\Gamma^n_{km}}\\&-\overline{\Gamma^i_{mn}}\,\overline{\Gamma^n_{kl}}+\overline{\Gamma^i_{nm}}\,\overline{\Gamma^n_{kl}}-\overline{\Gamma^i_{nm}}\,\overline{\Gamma^n_{kl}})\delta x^mv^k_1v^l_1\\&+T^i_{ln}\frac{\overline{D}\delta x^n}{ds}v^l_1+a^i_2-a^i_1+\overline{\Gamma^i_{mn}}\delta x^ma^n_1\end{aligned}$$

$$
\begin{aligned}
\frac{\overline{D^2}\delta x^i}{ds^2} &= T^i_{ln}\frac{\overline{D}\delta x^n}{ds}v^l_1\\
&+(\underline{T^i_{km,l}}_2+\underline{\overline{\Gamma^i_{km,l}}}_1-\underline{\overline{\Gamma^i_{kl,m}}}_1\\
&+\underline{T^i_{nl}\overline{\Gamma^n_{mk}}}_2+\underline{\overline{\Gamma^i_{nl}}T^n_{km}}_2+\underline{\overline{\Gamma^i_{nl}}\overline{\Gamma^n_{km}}}_1\\
&-\underline{T^i_{nm}\overline{\Gamma^n_{kl}}}_2-\underline{\overline{\Gamma^i_{nm}}\overline{\Gamma^n_{kl}}}_1)\delta x^m v^k_1 v^l_1\\
&+a^i_2-a^i_1+\overline{\Gamma^i_{ml}}\delta x^m a^l_1
\end{aligned}
\tag{9.3.9}
$$

Terms underscored with symbol 1 are curvature and terms underscored with symbol 2 are covariant derivative of torsion. (9.3.5) follows from (9.3.9). ☐

REMARK 9.3.2. The body 2 may be remote from body 1. In this case we can use procedure (like in [21]) based on parallel transfer. For this purpose we transport vector of speed of observer 2 to the start point of observer 1 and then estimate tidal acceleration. This procedure works in case of not strong gravitational field. ☐

REMARK 9.3.3. If in central field observer 1 has orbital speed V_ϕ, observer 2 moves in radial direction and both observers follow geodesic then tidal acceleration has form

$$
\begin{aligned}
\frac{D^2\delta x^1}{ds^2} &= R^1_{lnk}\delta x^k v^n v^l\\
&=(R^1_{001}v^0v^0+R^1_{221}v^2v^2)\delta x^1\\
&=(\frac{r_g}{r^3c^2}\frac{1}{1-\frac{V^2_\phi}{c^2}}-(-1+\frac{r_g}{2r}-\frac{r-r_g}{r})V^2_\phi)\delta x^1
\end{aligned}
$$

☐

REMARK 9.3.4. If observer 2 follows geodesic in central field, but observer 1 fixed his position at distance r then

$$a^1=\Gamma^1_{kl}v^kv^l=\frac{r_g}{2r^2c^2}$$

Acceleration follows inverse square law as follows from (9.3.5). ☐

REMARK 9.3.5. Theorem 9.3.1 has one specific case. If observer 1 moves along an extreme line we can use Cartan connection. In this case $a^i_1=0$. If observer 2 moves along geodesic then

$$a^i_2=-\Gamma(C)^i_{kl}v^k_2v^k_2=-\Gamma(C)^i_{kl}(v^k_1v^k_1+2v^l_1\delta v^k)\tag{9.3.10}$$

If we substitute (9.3.3) into (9.3.10) we get

$$a^i_2=-\Gamma(C)^i_{kl}v^k_1v^k_1-2\Gamma(C)^i_{kl}v^l_1\frac{D\delta x^k}{ds}+2\Gamma(C)^i_{ml}\Gamma^m_{kn}v^n_1v^l_1\delta x^k$$

In this case (9.3.5) gets form

$$
\begin{aligned}
\frac{\overbrace{D^2}\delta x^i}{ds^2} &= (\overbrace{R^i_{lnk}}+\overbrace{\nabla_n}T^i_{lk})v^l_1v^n_1\delta x^k+T^i_{lk}\frac{\overbrace{D}\delta x^k}{ds}v^l_1\\
&-\Gamma(C)^i_{kl}v^k_1v^k_1-2\Gamma(C)^i_{kl}v^l_1\frac{\overbrace{D}\delta x^k}{ds}+2\Gamma(C)^i_{ml}\Gamma^m_{kn}v^n_1v^l_1\delta x^k
\end{aligned}
\tag{9.3.11}
$$

In case of initial conditions

$$\delta x^k = 0$$

$$\frac{D\delta x^k}{ds} = 0$$

(9.3.11) is estimation of acceleration (9.1.1). □

9.4. Tidal Acceleration and Lie Derivative

(9.3.5) reminds expression of Lie derivative (8.3.4). To see this similarity we need to write equation (9.3.5) different way.

By definition

$$\begin{aligned}\frac{\overline{D}a^k}{ds} &= \frac{da^k}{ds} + \overline{\Gamma}^k_{lp} a^l \frac{dx^p}{ds}\\ &= a^k_{,p} v^p + \overline{\Gamma}^k_{lp} a^l v^p\end{aligned}$$

$$\frac{\overline{D}a^k}{ds} = a^k_{;<p>} v^p \tag{9.4.1}$$

Because $\frac{\overline{D}a^k}{ds}$ is vector we can easy find second derivative

$$\begin{aligned}\frac{\overline{D^2}a^k}{ds^2} &= \frac{\overline{D}\frac{\overline{D}a^k}{ds}}{ds} = \frac{\overline{D}(a^k_{;<p>} v^p)}{ds}\\ &= a^k_{;<pr>} v^p v^r + a^k_{;<p>} v^p_{;r} v^r\end{aligned} \tag{9.4.2}$$

On the last step we used (9.4.1) when $a^k = v^k$. When v^p is tangent vector of trajectory of observer 1 from (9.3.1) it follows that

$$\frac{\overline{D}v^i}{ds} = v^i_{;r} v^r = a^i_1 \tag{9.4.3}$$

and from (9.4.2) and (9.4.3) it follows that

$$\frac{D^2 a^k}{ds^2} = a^k_{;pr} v^p v^r + a^k_{;<p>} a^p_1 \tag{9.4.4}$$

THEOREM 9.4.1. *Speed of deviation of two trajectories* (9.3.1) *satisfies equation*

$$\mathcal{L}_{\frac{\overline{D}\delta x^n}{ds}} \overline{\Gamma}^i_{kl} v^k v^l = a^i_2 - a^i_1 + \overline{\Gamma}^i_{ml} \delta x^m a^l_1 \tag{9.4.5}$$

PROOF. We substitute (9.4.1) and (9.4.4) into (9.3.5).

$$\begin{aligned}\delta x^i_{;<kl>} v^k v^l + \delta x^k_{;<p>} a^p_1 = T^i_{ln} \delta x^n_{;<k>} v^k v^l_1 + (\overline{R}^i_{klm} + T^i_{km;<l>}) \delta x^m v^k_1 v^l_1\\ + a^i_2 - a^i_1 + \overline{\Gamma}^i_{ml} \delta x^m a^l_1\end{aligned}$$

$$\begin{aligned}0 = (T^i_{ln} \delta x^n_{;<k>} - \delta x^i_{;<kl>} + \overline{R}^i_{klm} \delta x^m + T^i_{km;<l>} \delta x^m) v^k_1 v^l_1\\ + a^i_2 - a^i_1 - \delta x^k_{,p} a^p_1\end{aligned} \tag{9.4.6}$$

(9.4.5) follows from (9.4.6) and (8.3.4). □

At a first glance one can tell that the speed of deviation of geodesics is the Killing vector of second type. This is an option, however equation

$$\mathcal{L}_{\frac{\overline{D}\delta x^n}{ds}} \overline{\Gamma}^i_{kl} = 0$$

does not follow from equation

$$\mathcal{L}_{\frac{\overline{D}\delta x^n}{ds}}\overline{\Gamma^i_{kl}}v^kv^l = 0 \tag{9.4.7}$$

However equation (9.4.7) shows a close relationship between deep symmetry of spacetime and gravitational field.

CHAPTER 10

References

[1] Albert Einstein, On the Electrodynamics of Moving Bodies, 1905,
Hendrik Antoon Lorentz, The Principle of Relativity, 37 - 65, Translated by W Perrett, G B Jeffery Courier Dover Publications, 1952

[2] Albert Einstein, Die Grundlage der allgemeinen Relativitätstheorie, Ann. Phys., 1916, **49**, 769 - 822,
Einstein's Annalen Papers: The Complete Collection 1901-1922, edited by Jürgen Renn, 517 - 571,
Wiley-VCH Verlag GmbH & Co. KGaA, 2005

[3] Albert Einstein, Geometry and Experience, (1921)
Albert Einstein, Sidelights on Relativity, 25 - 56,
Courier Dover Publications, 1983

[4] Albert Einstein, Grundgedanken und Probleme der Relativitätstheorie, (1923),
Nobelstiftelsen, Les Prix Nobel en 1921 - 1922, Imprimerie Royale, Stockholm, 1923

[5] Albert Einstein, Nichtenklidische Geometrie in der Physik Neue Rundschan, (1925) Berlin, S. 16 - 20

[6] Albert Einstein, Isaak Newton, 1927, Out of My Later Years, Citadel Press, 1995, 219 - 223

[7] Albert Einstein, On Science, Cosmic Religion, with Other Opinions and Aphorisms,142 - 146, New York, 1931, 97 - 103

[8] Albert Einstein, Autobiographical Notes, 1949,
Paul A. Schilpp, editor, Albert Einstein: Philosopher-Scientist, Evanston, Illinois, The Library of Living Philosophers, 1949, 1 - 95

[9] Cite 104, Source unknown

[10] Ghez et al., The First Measurement of Spectral Lines in a Short-Period Star Bound to the Galaxy's Central Black Hole: A Paradox of Youth, ApJL, 586, L127 (2003), eprint arXiv:astro-ph/0302299 (2003)

[11] R. Schödel et al., A star in a 15.2-year orbit around the supermassive black hole at the centre of the Milky Way, Nature 419, 694 (2002)

[12] Eckehard W. Mielke, Affine generalization of the Komar complex of general relativity, Phys. Rev. D 63, 044018 (2001)

[13] Yu. N. Obukhov and J. G. Pereira, Metric-affine approach to teleparallel gravity, Phys. Rev. D 67, 044016 (2003), eprint arXiv:gr-qc/0212080 (2002)

[14] Giovanni Giachetta, Gennadi Sardanashvily, Dirac Equation in Gauge and Affine-Metric Gravitation Theories, eprint arXiv:gr-qc/9511035 (1995)

[15] Frank Gronwald and Friedrich W. Hehl, On the Gauge Aspects of Gravity, eprint arXiv:gr-qc/9602013 (1996)

[16] Yuval Neeman, Friedrich W. Hehl, Test Matter in a Spacetime with Nonmetricity, eprint arXiv:gr-qc/9604047 (1996)

[17] F. W. Hehl, P. von der Heyde, G. D. Kerlick, and J. M. Nester, General relativity with spin and torsion: Foundations and prospects, Rev. Mod. Phys. 48, 393 (1976)

[18] O. Megged, Post-Riemannian Merger of Yang-Mills Interactions with Gravity, eprint arXiv:hep-th/0008135 (2001)

[19] Yu.N. Obukhov, E.J. Vlachynsky, W. Esser, R. Tresguerres and F.W. Hehl, An exact solution of the metric-affine gauge theory with dilation, shear, and spin charges, eprint arXiv:gr-qc/9604027 (1996)

[20] Ignazio Ciufolini, John Wheeler. Gravitation and Inertia. Princeton university press.

[21] J. D. Anderson, P. A. Laing, E. L. Lau, A. S. Liu, M. M. Nieto, and S. G. Turyshev, Study of the anomalous acceleration of Pioneer 10 and 11, Phys. Rev. D 65, 082004, 50 pp., (2002), eprint arXiv:gr-qc/0104064 (2001)

[22] G. E. Shilov, Calculus, Multivariable Functions, Moscow, Nauka, 1972

[23] P. K. Rashevsky, Riemann Geometry and Tensor Calculus, Moscow, Nauka, 1967

[24] Granino A. Korn, Theresa M. Korn, Mathematical Handbook for Scientists and Engineer, McGraw-Hill Book Company, New York, San Francisco, Toronto, London, Sydney, 1968

[25] Angelo Tartaglia and Matteo Luca Ruggiero, Angular Momentum Effects in Michelson-Morley Type Experiments, Gen.Rel.Grav. 34, 1371-1382 (2002),
eprint arXiv:gr-qc/0110015 (2001)

[26] Yukio Tomozawa, Speed of Light in Gravitational Fields, eprint arXiv:astro-ph/0303047 (2004)

[27] Joao Magueijo, Covariant and locally Lorentz-invariant varying speed of light theories, Phys. Rev. D 62, 103521 (2000), eprint arXiv:gr-qc/0007036 (2000)

[28] Bruce A. Bassett, Stefano Liberati, Carmen Molina-Paris, and Matt Visser, Geometrodynamics of variable-speed-of-light cosmologies, Phys. Rev. D 62, 103518 (2000), eprint arXiv:astro-ph/0001441 (2000)

[29] Lochlainn O'Raifeartaigh and Norbert Straumann, Gauge theory: Historical origins and some modern developments, Rev. Mod. Phys. 72, 1 (2000)

[30] Claus Lämmerzahl, Mark P. Haugan, On the interpretation of Michelson-Morley experiments, Phys. Lett. A282 223-229 (2001),
eprint arXiv:gr-qc/0103052 (2001)

[31] Holger Muller et al., Modern Michelson-Morley Experiment using Cryogenic Optical Resonators, Phys. Rev. Lett. 91, 020401 (2003), eprint arXiv:physics/0305117 (2000)

[32] Antonio F. Ranada, Pioneer acceleration and variation of light speed: experimental situation, eprint arXiv:gr-qc/0402120 (2004)

CHAPTER 11

Index

active representation 30
active transformation on basis manifold 30
affine basis 31
affine transformation group 31
affine transformation on basis manifold 31
anholonomic coordinate 38
anholonomic coordinates of connection 37
anholonomic coordinates of vector 37
anholonomic coordinates on manifold 39
anholonomity object 39
auto parallel line 59

basis manifold of affine space 31
basis manifold of central affine space 31
basis manifold of Euclid space 31
basis manifold of vector space 29
basis of vector space 29

Cartan connection 66
Cartan curvature 68
Cartan derivative 66
Cartan symbol 66
Cartan transport 66
central affine basis 31
column vector 26
coordinate isomorphism 32
coordinate reference frame 35
coordinate representation of group in vector space 32
coordinate vector space 32
coordinates of geometrical object 33
coordinates of geometrical object in coordinate representation 33
coordinates of representation 29

deviation of trajectories 71
direct product of representations of group 23

effective representation of group 24
extreme line 59

field-strength tensor 70
first Newton law 69
Frenet transport 61

G-reference frame 35
G-basis of vector space 29
G-coordinates of basis 30
geometrical object in coordinate representation 33
geometrical object in vector space 33
geometrical object of type A 33
geometrical object of type A in vector space 33
G-space 30

holonomic coordinates of connection 37
holonomic coordinates of vector 37
homogeneous space of group 24

invariance principle in vector space 33

kernel of inefficiency of representation of group 24
Killing equation 65
Killing equation of second type 65
Killing vector of second type 65

left shift on group 22
left-side contravariant representation of group 21
left-side covariant representation of group 21
left-side transformation 21
Lie derivative 62
Lie derivative of connection 62
Lie derivative of metric 62
linear representation of group 26
local reference frame 36
Lorentz transformation 36

metric-affine manifold 43
movement on basis manifold 31

nonmetricity 43
nonsingular transformation 21

orbit of representation of group 22
orthonornal basis 31

parallelogram 44
passive representation 30
passive transformation on basis manifold 30

pfaffian derivative 36
potential energy 69
product of geometrical object and constant in vector space 34

quasi affine transformation on basis manifold 31
quasi movement on basis manifold 31

reference frame in event space 36
representation of group 22
representative of geometrical object in vector space 33
right shift on group 22
right-side contravariant representation of group 22
right-side covariant representation of group 21
right-side transformation 21
row vector 26

scalar potential 69
second Newton law 69
single transitive representation of group 24
speed of deviation 71
standard coordinates of basis 30
sum of geometrical objects in vector space 33
symmetry group 29
synchronization of reference frame 47

torsion form 43
torsion tensor 43
transitive representation of group 24

vector potential 69

CHAPTER 12

Special Symbols and Notations

$\mathcal{A}_n$ affine space 30
$a^i_{;<l>}$ derivative 67
$a^{(i)}$ anholonomic coordinates of vector 37
a^i holonomic coordinates of vector 37

$\mathcal{B}(\mathcal{A}_n)$ basis manifold of affine space 31
$\mathcal{B}(\mathcal{V})$ basis manifold of vector space 29
$\mathcal{B}(\mathcal{C}\mathcal{A}_n)$ basis manifold of central affine space 31
$\mathcal{B}(\mathcal{E}_n)$ basis manifold of Euclid space 31

$\mathcal{C}\mathcal{A}_n$ central affine space 31

$(\overline{\partial}_i, \overline{d}s^i)$ coordinate reference frame 36

$\overbrace{D}\ a^i$ Cartan derivative 66
$\overline{D}a^i$ derivative 67
$\partial_{(k)}$ derivative $e_{(k)}$ 38
$\dfrac{\overline{D}\delta x^i}{ds}$ speed of deviation 71

$\overline{\overline{e}} =< O, \overline{e}_i >$ affine basis 31
$\overline{\overline{e}}$ basis of vector space 29
$\overline{\overline{e}}_{\mathcal{V}}$ basis in vector space $\mathcal{V}$ 29
$\overline{\overline{e}} =< \overline{e}_i >$ central affine basis 31
$\overline{e}^{(k)}$ form of reference frame 36
$\mathcal{E}_n$ Euclid space 31
$\overline{\overline{e}} =< \overline{e}_i >$ orthonornal basis 31
$\mathcal{E}_{nm}$ pseudo Euclid space 31
e^i_k standard coordinates of basis 30
$e^k_{(i)}$ standard coordinates of reference frame 35
$\overline{e}_{(i)}$ vector field of reference frame 35
$\overline{e}_k$ vector of basis 30

$\overline{\overline{e}} =< \overline{e}_{(i)}, i \in I >$ reference frame 35
$\overline{\overline{e}} = (\overline{e}_{(k)}, \overline{e}^{(k)})$ reference frame, extensive definition 36

$GL(\mathcal{A}_n)$ affine transformation group 31

$G(\mathcal{V})$ group of homomorphisms of vector space $\mathcal{V}$ 29

$L(a)b$ left shift 22
$\mathcal{L}_\xi \Gamma^a_{bc}$ Lie derivative of connection 62
$\mathcal{L}_\xi g_{ab}$ Lie derivative of metric 62
$L(g)\overline{\overline{e}}$ passive transformation 30
$l(M)$ set of left-side nonsingular transformations of set M 21

$\mathcal{O}((w, \overline{\overline{e}}_{\mathcal{V}}), a \in G, (wA(a)^{-1}, L(a)\overline{\overline{e}}_{\mathcal{V}}))$ geometrical object in coordinate representation 33
$\mathcal{O}(v, g \in G, f(g)v) = \{w = f(g)v : g \in G\}$ orbit of representation of the group G 22

$R(g)\overline{\overline{e}}$ active transformation 29
$\overbrace{R^a_{bde}}$ Cartan curvature 68
$\overline{R^a_{bij}}$ curvature 67
$R(a)b$ right shift 22
$r(M)$ set of right-side nonsingular transformations of set M 21

$\tilde{\mathcal{V}}$ coordinate vector space 32
(v^i) coordinates in vector space 32

$\mathcal{V}$ vector space 29

$\mathcal{O}((w, \overline{\overline{e}}_{\mathcal{W}}, \overline{\overline{e}}_{\mathcal{V}}), a \in G, (wA(a)^{-1}, L(a)\overline{\overline{e}}_{\mathcal{W}}, L(a)\overline{\overline{e}}_{\mathcal{V}}))$ geometrical object in vector space 33

$x^{(k)}$ anholonomic coordinate 38

δx^k deviation of trajectories 71
δ identical transformation 21
$\overline{\delta}_k = (\delta^i_k)$ image of vector $\overline{e}_k \in \overline{\overline{e}}$ under isomorphism to coordinate vector space 32

$\Gamma^{(k)}_{(i)(j)}$ anholonomic coordinates of connection 37
$\Gamma(C)^i_{kl}$ Cartan symbol 66
$\overline{\Gamma^i_{kl}}$ connection 67
Γ^k_{ij} holonomic coordinates of connection 37
$\overbrace{\Gamma^i_{kl}}$ Cartan connection 66

$c^{(i)}_{(k)(l)}$ anholonomity object 39

$\overbrace{\nabla_l}\, a^i$ Cartan derivative 66
$\overline{\nabla_l} a^i$ derivative 67

arXiv:0803.3276v3 [math-ph] 6 Sep 2009

Преобразование Лоренца и принцип общековариантности

Александр Клейн

E-mail address: Aleks_Kleyn@MailAPS.org
URL: http://AleksKleyn.blogspot.com/
URL: http://arxiv.org/a/kleyn_a_1

Аннотация. Я рассказываю о различных математических инструментах, которые важны в общей теории относительности. Текст книги включает определение геометрического объекта, концепцию системы отсчёта, геометрию метрико-аффинного многообразия. Опираясь на эти понятия я изучаю несколько физических приложений: динамика и преобразование Лоренца в гравитационном поле, эффект Допплера.

Система отсчёта в пространстве событий - это непрерывное поле ортонормальных базисов. Каждая система отсчёта снабжена неголономными координатами. Использование неголономных координат позволяет найти относительную скорость двух наблюдателей и соответствующее преобразование Лоренца.

Синхронизация системы отсчёта - это неголономная координата времени. Простые рассчёты показывают, как синхронизация влияет на измерение времени в окрестности Земли. Измерение эффекта Допплера от звезды, вращающейся вокруг чёрной дыры помогает определить массу чёрной дыры. Согласно наблюдениям Sgr A, если неподвижный наблюдатель оценивает возраст S2 порядка 10 Myr, то эта звезда моложе на 0.297 Myr.

Мы будем называть многообразие с кручением и неметричностью метрико-аффинным многообразием. Неметричность приводит к различию между автопараллельными и экстремальными кривыми и к изменению в выражении переноса Френе и подвижного базиса. Кручение приводит к изменению в уравнении Килинга. Нам нужно также добавить аналогичное уравнение для связности.

Анализ переноса Френе ведёт к концепции переноса Картана и введению связности, совместимой с метрическим тензором. Динамика частицы приводит к переносу Картана. Необходимы дополнительные физические условия, чтобы сделать неметричность наблюдаемой.

Изучение, как кручение влияет на приливную силу обнаруживает сходство между приливным уравнением для геодезической и уравнением Килинга второго типа. Связь между приливным ускорением, кривизной и кручением даёт возможность измерить кручение.

Key words and phrases. Дифференциальная геометрия, общая теория относительности, квантовые поля, метрико-аффинное многообразие

Оглавление

Глава 1. Введение 5
- 1.1. Об этой книге 5
- 1.2. Геометрический объект и принцип инвариантности 5
- 1.3. Тензор кручения в общей теории относительности 7
- 1.4. Приливное ускорение 9

Глава 2. Пространство и время в физике 11
- 2.1. Геометрия и физика 11
- 2.2. Пространство-время 14
- 2.3. Принцип ковариантности 17
- 2.4. Пространство-время и квантовая механика 20

Глава 3. Представление группы 23
- 3.1. Представление группы 23
- 3.2. Однотранзитивное представление 26
- 3.3. Линейное представление 28

Глава 4. Многообразие базисов 31
- 4.1. Базис в векторном пространстве 31
- 4.2. Базис в аффинном пространстве 33
- 4.3. Базис в евклидовом пространстве 34
- 4.4. Геометрический объект 34

Глава 5. Система отсчёта в пространстве событий 39
- 5.1. Система отсчёта на многообразии 39
- 5.2. Система отсчёта в пространстве событий 40
- 5.3. Неголономные координаты 41

Глава 6. Геометрический объект 47
- 6.1. Метрико-аффинное многообразие 47
- 6.2. Геометрический смысл кручения 48
- 6.3. Соотношение между связностью и метрикой 50

Глава 7. Приложения в общей теории относительности 53
- 7.1. Синхронизация системы отсчёта 53
- 7.2. Неголономные координаты в гравитационном поле центрального тела 53
- 7.3. Задержка времени в гравитационном поле центрального тела . . 55
- 7.4. Преобразование Лоренца в орбитальном направлении 56
- 7.5. Преобразование Лоренца в радиальном направлении 60
- 7.6. Эффект Допплера в пространстве Фридмана 62

7.7. Преобразование Лоренца в пространстве Фридмана 63

Глава 8. Геометрия метрико-аффинного многообразия 65
8.1. Кривая экстремальной длины 65
8.2. Перенос Френе 66
8.3. Производная Ли 68
8.4. Тождество Бианки 71
8.5. Вектор Килинга 71
8.6. Перенос Картана 72

Глава 9. Метрико-аффинная гравитация 75
9.1. Закон Ньютона: скалярный потенциал 75
9.2. Закон Ньютона: векторный потенциал 75
9.3. Приливное уравнение 77
9.4. Приливное ускорение и производная Ли 80

Глава 10. Список литературы 83

Глава 11. Предметный указатель 85

Глава 12. Специальные символы и обозначения 87

Глава 1

Введение

1.1. Об этой книге

Иногда очень трудно дать имя книге, которую ты хочешь написать. Даже если тв писал эту книгу всю жизнь. А может быть по этой причине. Путь не завершён. Но я чувствую, настало время поделиться с другими моими открытиями. Только будущее покажет, какая часть этого исследования будет полезна. Эта книга начинается с изучения геометрического объекта, переходит к системе отсчёта в физике, затем внезапно меняет направление к изучению метрико -аффинного многообразия.

С тех пор, как Эйнштейн создал общую теорию относительности, тесная связь между геометрией и физикой стала реальностью. В тоже время квантовая механика вводит новые концепции, которые противоречат традиции, установленной на протяжении столетий. Это означает, что нам нужны новые геометрические концепции, которые станут частью языка квантовой механики. Это причина, чтобы вернуться к истокам.

Вся моя жизнь была посвящена решению одной из самых больших загадок, которую я встретил в начале моей жизни. Когда я познакомился с общей теорией относительности и квантовой механикой, я почувствовал, что язык квантовой механики не адекватен явлениям, которые она наблюдает. Я имею в виду геометрию.

Я посвятил главу 2 небольшому сочинению, написанному мной, когда я был молод.[1.1]

1.2. Геометрический объект и принцип инвариантности

Разделы 4.1 и 4.4 были написаны под большим влиянием книги [23]. Изучение однородного пространтва группы симметрии векторного пространства ведёт нас к определению базиса этого пространства. Многообразие базисов - это множество базисов изучаемого векторного пространства и является примером однородного пространтва. Как показано в [23], это даёт возможность определить концепцию инвариантности и геометрического объекта.

Мы определяем два типа преобразований многообразия базисов: активные и пасивные преобразования. Различие между ними состоит в том, что пасивное преобразование может быть выражено как преобразование исходного пространства.

Это определение может быть распространено на произвольное многообразие. Однако в этом случае мы обобщаем определение базиса и вводим систему отсчёта. В случае пространтва событий общей теорией относительности это

[1.1] К сожалению, некоторые ссылки потеряны. Я буду признателен, если кто-то узнает знакомый текст и даст мне знать точную ссылку.

приводит нас к естественному определению системы отсчёта и преобразованию Лоренца. Система отсчёта в пространтве событий - это непрерывное поле ортонормальных базисов.

Принцип инвариантности, рассмотренный в теореме 4.4.4 ограничен векторными пространствами и применим только в рамках специальной теории относительности. Наша задача описать конструкции, которые позволяют распространить принцип инвариантности на общую теорию относительности.

Измерение пространственного интервала и временных отрезков является одной из важных задач общей теории относительности. Это физический процесс, который позволяет изучать геометрию в определённой области пространства времени. С точки зрения геометрии, наблюдатель пользуется ортогональным базисом в касательной плоскости как своим измерительным инструментом, так как ортогональный базис приводит к простейшей локальной геометрии. Двигаясь от точки к точке, наблюдатель переносит с собой свой измерительный прибор.

Понятие геометрического объекта тесно связано с физическими величинами, измеряемыми в пространстве времени. Принцип инвариантности позволяет выразить физические законы независимо от выбора базиса. С другой стороны, если мы хотим проверить полученное соотношение в опыте, мы должны зафиксировать измерительный прибор. В нашем случае - это базис. Выбрав базис, мы можем определить координаты геометрического объекта, соответствующего изучаемой физической величине. Следовательно мы можем определить измеряемое значение.

Каждая система отсчёта снабжена неголономными координатами. Например, синхронизация системы отсчёта - это неголономная координата времени. Простые расчёты показывают как синхронизация влияет на измерение времени в окрестности Земли. Измерение эффекта Допплера от звезды, вращающейся вокруг чёрной дыры, помогает определить массу чёрной дыры.

Разделы 7.3 и 7.4 показывают важность расчётов в ортогональном базисе. Координаты, которыми мы пользуемся в пространстве событий, - это просто метки и расчёты, которые мы выполняем в координатах могут оказаться не надёжными. Например, в статьях [25, 26] авторы определяют координатную скорость света. Это ведёт к неверному ответу и в результате этого к различию скорости света в разных направлениях.

Моё внимание привлекла статья [32]. Чтобы объяснить аномальное ускорение Pioneer 10 и Pioneer 11 ([21]), Антонио Ранада привлекает старую точку зрения Эйнштейна о природе гравитационного поля и используют идею Эйнштейна о переменной скорости света. Когда Эйнштейн начал изучать гравитационное поле, он старался сохранить геометрию Минковского и, следовательно, предполагал, что масштаб пространства и времени не меняются. В результате он был вынужден принять гипотезу, что скорость света может меняться в гравитационном поле. Когда Гроссман познакомил Эйнштейна с римановой геометрией, Эйнштейн понял, что начальная гипотеза была ошибочна и риманова геометрия лучше решит его задачу. Эйнштейн никогда не возвращался к идее о переменной скорости света.

Действительно, три значения: масштаб пространства и времени и скорость света являются связанными в современной теории и мы не можем изменить одну величину без изменения другой. Присутствие гравитационного поля меняет это соотношение. Мы имеем два выбора. Мы сохраняем исходно заданную геометрию (здесь, геометрию Минковского) и мы согласны, что скорость света меняется от точки к точке. Риманова геометрия предлагает нам другой выбор. Геометрия становится результатом измерения и измерительный инструмент может меняться от точки к точке. В этом случае мы можем сохранить скорость света постоянной. Геометрия становится фоном, который зависит от физических процессов. Физические законы становятся независимыми от фона.

Некоторые статьи посвящены теории переменной скорости света [27, 28]. Их теория основана на идее, что метрический тензор может быть инвариантен относительно преобразования подобия. Эта идея не нова. Как только Эйнштейн опубликовал общую теории относительности, Вейль предложил свою идею сделать теорию инвариантной относительно конформного преобразования. Тем не менее, Эйнштейн возражал этой идее, так как она разрушала зависимость между расстоянием и собственным временем. Мы можем найти детальный анализ в [29].

Мы имеем тесную связь между скоростью света и единицами длины и времени в специальной и общей теории относительности. Когда мы развиваем новую теорию и обнаруживаем, что скорость света меняется, мы должны спросить себя о причине. Сделали ли мы аккуратное измерение? Имеем ли мы альтернативный путь для обмена информацией и синхронизации системы отсчёта? Меняются ли преобразования между системами отсчёта и образуют ли они группу?

В некоторых моделях фотон может иметь небольшую массу покоя [30]. В этом случае скорость света отлична от максимальной скорости и может зависеть от направления. Недавний эксперимент [31] наложил ограничения на параметры этих моделей.

1.3. Тензор кручения в общей теории относительности

Тесная связь между метрическим тензором и связностью является основой римановой геометрии. В то же время, связность и метрика, как любой геометрический объект, являются объектом измерения. Когда Гильберт выводил уравнение Эйнштейна, он определил лагранжиан, в котором метрический тензор и связность независимы. Позже Гильберт обнаружил, что связность симметрична, и нашёл зависимость между связностью и метрическим тензором. Одна из причин этого - простота лагранжиана.

Анализ квантовой теории поля показывает,что либо симметрия связности, либо зависимость связности и метрики могут быть нарушены, поскольку неизбежны ошибки измерения. Это допущение приводит к метрико-аффинному многообразию, которое является пространством с кручением и ненулевой ковариантной производной метрического тензора (раздел 6.1). Независимость метрического тензора и связности позволяет нам видеть, какие объекты ответственны за различные явления в геометрии и, следовательно, в физике. Даже несмотря на то, что мы не доказали эмпирически существование кручения и неметричности, мы видим здесь очень интересную геометрию.

Метрико-аффинное многообразие появляется в разных физических приложениях. Очень важно понять какова геометрия этого пространства, как кручение может влиять на физические процессы. Именно поэтому небольшая группа физиков продолжает изучать теорию гравитации с кручением [12, 13, 14, 15, 16].

В частности, мы имеем два различных определения геодезической в римановом многообразие. Мы можем рассматривать геодезическую либо как кривую экстремальной длины (соответствующую кривую мы называем экстремальной), либо как кривую, вдоль которой касательный вектор переносится параллельно, оставаясь касательным к кривой (соответствующую кривую мы называем автопараллельной). Неметричность приводит к тому, что параллельный перенос не сохраняет длину вектора и угол между векторами. Это приводит к различию между определениями автопараллельной и экстремальной кривых ([17] и раздел 8.1) и к изменению в выражении переноса Френе. Изменение геометрии влияет на второй закон Ньютона, который мы изучаем в разделе 9.1. Я показываю в теоремах 8.6.1 и 9.1.1, что свободно падающая частица предпочитает экстремальную кривую, перенося свой импульс вдоль траектории без изменения.

Форма второго закона Ньютона зависит от выбора формы потенциала. В случае скалярного потенциала второй закон Ньютона сохраняет соотношение между силой, массой и ускорением. В случае векторного потенциала анализ движения в гравитационном поле показывает, что тензор напряжённости поля зависит от производной метрического тензора.

Неметричность значительно изменяет закон движения в пространстве времени ортогонального базиса. Однакко изучение параллельного переноса в пространстве с неметричностью позволяет нам ввести перенос Картана и введение связности, совместимой с метрическим тензором (раздел 8.6). Перенос Картана сохраняет базис ортонормальным и это делает его важным инструментом в динамике (раздел 9.1), так как наблюдатель использует ортонормальный базис как инструмент измерения. Динамика частицы основана на переносе Картана. Тогда появляется вопрос. Мы можем изменить связность как мы показали в разделе 8.6. Почему мы должны изучать многообразия с произвольной связностью и метрическим тензором? Изучение метрико-аффинного многообразия показывает, почему всё работает хорощо в римановом многообразии и что меняется в общем случае. К какого рода различные физические явления являются следствием различных связностей? Физические ограничения, которые появляются в модели, могут вести к появлению неметричности [15, 18, 19]. Так как перенос Картана - естественный механизм сохранения ортогональности, мы ожидаем, что мы будем интерпретировать отклонение пробной частицы от экстремальной кривой как результат силы, внешней по отношению к этой частице[1.2]. В этом случае различие между двумя типами переноса становится измеримым и осмысленным. В противном случае другой тип переноса и

[1.2] Например, если мы распространим определение (9.1.2) силы на общий случай (9.1.1), мы можем интерпретировать отклонение заряжённой частицы в электромагнитном поле как результат силы

$$F^j = \frac{e}{cu^0} g^{ij} F_{li} u^l$$

Аналогично, мы можем интерпретировать отклонение автопараллельной кривой как силу

$$F^i = -\frac{mc}{u^0} \Gamma(C)^i_{kl} u^k u^l$$

Я напоминаю, что символ Картана - тензор неметричность не наблюдаемы и мы можем пользоваться только переносом, совместимым с метрикой.

Я вижу ещё одну возможность. Как следует из статьи [18], кручение может зависеть от квантовых свойств материи. Тем не менее, кручение является частью связности. Следовательно, связность может также зависеть от квантовых свойств материи. Это может привести к нарушению переноса Картана. Однако эта возможность требует дополнительного иследования.

Кручение и неметричность имеют интегральные эффекты. Они могут быть малыми, но измеримыми. Мы можем наблюдать эти эффекты не только в сильных полях, подобных чёрной дыре или большому взрыву, но также в обычных условиях. Изучение геометрии и линамики точечной частицы даёт нам возможность проверить эту точку зрения. Есть смысл проверить эту теорию в условиях, когда спин квантового поля накоплен. Мы можем проверить отклонение от второго закона Ньютона либо измерить кручение, наблюдая движение двух различных ыастиц.

Чтобы проверить, имеет ли пространство время кручение, мы можем проверить возможность построить параллелограмм в пространстве времени. Мы можем взять две частицы или два фотона, которые начинают своё движение из одной и той же точки и, пользуясь зеркалом, заставить их двигаться вдоль противоположных сторон параллелограмма. Мы можем начать этот эксперимент, когда квантового поля нет, и затем повторить эксперимент в присутствии квантового поля. Если частицы встретятся в одном и том же месте или мы имеем одинаковую интерференцию, то мы имеем кручение равное 0 в этой среде. В частности, кручение может действовать на поведение виртуальных частиц.

Чтобы проверить, имеет ли пространство время неметричность, мы можем измерить отклонение экстремальной кривой от автопараллельной либо отклонение единичного вектора скорости от его параллельного переноса.

1.4. Приливное ускорение

Наблюдения в Солнечной системе и вне очень важны. Они дают нам возможность видеть, где общая теория относительности права и найти её ограничения. Очень важно быть осторожным с такими наблюдениями. NASA выполнило очень интересные наблюдения Pioneer 10 и Pioneer 11 и выполнило сложные расчёты их ускорения. Однако, возникает один интересный вопрос: какого типа ускорения мы меряли?

Pioneer 10 и Pioneer 11 совершают свободное движение в солнечной системе. Следовательно, они движутся вдоль своей траектории без ускорения. Однако, хорошо известно, что два тела, двигаясь вдоль близких геодезических, имеют относительное ускорение, которое называется приливным ускорением. Приливное ускорение в общей теории относительности имеет вид

$$\frac{D^2\delta x^k}{ds^2}=R^k_{lnk}\delta x^k v^n v^l \tag{1.4.1}$$

где v^l - скорость тела 1 и δx^k - отклонение геодезической тела 2 от геодезической тела 1. Мы видим из этого выражения, что приливное ускорение зависит от движения тела 1 и как траектория тела 2 отклоняется от траектории тела 1. Но это значит, что даже для двух тел, которые находятся на одном и том же расстоянии от центрального тела, мы можем измерить разное ускорение относительно наблюдателя.

Раздел 9.3 посвящён решению задачи, какие изменения испытывает приливная сила на метрико-аффинном многообразии.

Возникает вопрос: можем ли мы использовать уравнение (9.3.5), чтобы измерить кручение? Мы получим приливное ускорение из прямых измерений. Существует метод измерять кривизну (см. например [20]). Однако, даже если мы знаем ускорение и кривизну, мы по-прежнему имеем дифференциальное уравнение, чтобы найти кручение. Однако, этот путь может дать прямой ответ на вопрос существует ли кручение.

Отклонение от приливного ускорения (1.4.1), предсказанного общей теорией относительности может иметь различные причины. Однако мы можем найти ответ, комбинируя разные методы измерения.

Глава 2

Пространство и время в физике

2.1. Геометрия и физика

> Несомненно, что разум кажется нам слабым, когда мы думаем о стоящих перед ним задачах; особенно слабым он кажется, когда мы противопоставляем его безумству и страстям человечества, которые, надо признать, почти полностью руководят судьбами человеческими как в малом, так и в большом. Но творения интелекта переживают шумную суету поколений и на протяжении веков озаряют мир светом и теплом.
>
> [6], стр. 78

Геометрические представления не являются творениями свободного ума, а наоборот, представляют продукт практической деятельности человека. По мере развития познания менялись представления о пространстве и времени.[1.1]

> Закон не может быть точным хотя бы потому, что понятия, с помощью которых мы его формулируем, могут развиваться и в будущем оказаться недостаточными. На дне любого тезиса и любого доказательства остаются следы догмата непогрешимости.
>
> [7], стр. 143

Возникнув из конкретных потребностей практики человека, математика развивалась по сложному и противоречивому пути познания. С одной стороны, это наиболее абстрактная область науки. Математик совершено свободно оперирует с абстрактными понятиями, изучает их свойства, обобщает, создаёт новые понятия, ещё более удаляясь от реальной практики. И тем более удивительны успехи прикладной математики. Её успехи всегда потрясали человека, особенно в XX веке, когда такие абстрактные разделы математики как теория групп, функциональный анализ, дифференциальная геометрия стали языком современной физики. Соприкосновение математики с любой другой областью науки приводит к взаимному обогащению обеих.

> Из всех наук математика пользуется особым особым уважением, потому что её теоремы абсолютно верны и неоспоримы, тогда как законы других наук в известной степени спорны и всегда существует опасность их опровержения новыми открытиями. Однако исследователю, работающему в какой-либо другой области науки, не приходится завидовать математику, так как положения математики покоятся не на реальных объектах, а исключительно на объектах нашего воображения. В самом деле, нет ничего удивительного в том, что можно

> прийти к логически согласованным выводам, если сначала пришли к соглашению относительно основных положений (аксиом), а также относительно тех приёмов, при помощи которых из этих основных положений выводятся другие теоремы. В то же время это глубокое уважение к математике имеет и другое основание, а именно: математика является тем, что даёт точным наукам известную меру уверенности; без математики они её не могли бы достичь.
>
> В связи с этим возникает вопрос, который волновал исследователей всех времён. Почему возникло такое превосходное соответствие математики с реальными предметами, если сама она является произведением только человеческой мысли, не связанонй ни с каким опытом? Может ли человеческий разум без всякого опыта, путём только одного размышления понять свойства реальных вещей.
>
> [3]

Математика имеет эмпирические корни - алгебра связана с необходимостью расчётов, геометрия порождена необходимостью измерений на поверхности земли, логика является абстрактным выражением причино-следственной связи, анализ изучает движение. Именно поэтому не случайно, что на определённых этапах развития познания становится возможным описать реальный процесс с помощью математических моделей разной степени сложности. Так шаг за шагом утверждения теоретической математики становятся аппаратом прикладной математики, математика становится эмпирической наукой.

> Свидетельствами эмпирического происхождения геометрии остались в ее системе только основные понятия ... и так называемые аксиомы. Число этих логически неприводимых основных понятий и аксиом стремились свести к минимуму. Стремление извлечь всю геометрию из смутной области эмпирического незаметно привело к ошибочному заключению, которое можно уподобить превращению героев древности в богов. Мало-помалу привыкли к взгляду на основные понятия как на "очевидные", т.е. как на предметы и качества представления, присущие человеческому духу; согласно этому взгляду, основным понятиям геометрии соответствуют предметы интуиции, и отрицание той или иной аксиомы геометрии никоим образом не может быть осуществлено непротиворечиво. Но тогда самая возможность приложения этих основных понятий и аксиом к объектам действительности становится той самой задачей, из которой возникло кантовское понимание пространства.
>
> Второй мотив для отказа геометрии от ее эмпирической основы дала физика. Согласно ставшему гораздо более утонченным взгляду физики на природу твердых тел и света, в природе не существует таких обьектов, которые бы по своим свойствам точно соответствовали основным понятиям эвклидовой геометрии. Твердое тело не может считаться абсолютно неизменяемым, а луч света точно не воспроизводит ни прямую линию, ни даже вообще какой либо образ одного измерения. По воззрению современной науки геометрия, взятая в отдельности, не соответствует ... никаким опытам; она должна быть приложена к объяснению их совместно с механикой, оптикой и т.д. Так

как, сверх того, геометрия должна предшествовать физике, поскольку законы последней не могут быть выражены без помощи геометрии, то геометрия и должна казаться наукой, логически предшествующей всякому опыту и всякой опытной проверке.

---

[5], стр. 179

... Если теоремы математики прилагаются к отражению реального мира, они не точны; они точны до тех пор, пока они не ссылаются на действительность.

---

[3]

... С этой точки зрения вопрос о применимости или неприменимости эвклидовой геометрии приобретает ясный смысл. Эвклидова геометрия, как и геометрия вообще, сохраняет характер математической науки, так как вывод ее теорем из аксиом по-прежнему остается чисто логической задачей, но в то же время она становится и физической наукой, так как ее аксиомы содержат в себе утверждения относительно обьектов природы, справедливость которых может быть доказана только опытом.

---

[5], стр. 181

Форма предмета не есть нечто внешнее по отношению к нему, она принадлежит ему и определяется им самим. Поэтому формы существования материального мира - это общая структура, определяемая его коренными свойствами, а не что-то такое, во что мир как бы вложен ... Рациональная теория пространства и времени необходимо выводит свойства последних как свойства такой общей структуры из самих свойств материи. Таков был источник геометрии - она отражала прежде всего общее свойство отношений твердых тел, определяемых в первую очередь возможностью их движения.

---

[9], p 117

... Математика вообще и геометрия в частности обязаны своим происхождением необходимости узнать что-либо о поведении реально существующих предметов. На это указывает даже само слово "геометрия", означающее "измерение земли". Измерение же земли имеет дело с возможными расположениями тел в природе ... Из системы понятий аксиоматической геометрии нельзя получить никаких суждений о таких реально существующих предметах, которые мы называем практически твердыми телами. Чтобы такого рода суждения были возможны, мы должны лишить геометрию ее формально-логического характера, сопоставив пустой схеме понятий аксиоматической геометрии реальные обьекты нашего опыта. Для этой цели достаточно прибавить только такое утверждение:

твердые тела ведут себя в смысле различных возможностей взаимного расположения, как тела эвклидовой геометрии трех измерений; таким образом, теоремы эвклидовой геометрии содержат в себе утверждения, определяющие поведение практически твердых тел.

> Дополненнная таким утверждением геометрия становится, очевидно, естественной наукой ... Ее утверждения покоятся существенным образом на выводах из опыта, а не только на логических заключениях. Будем в дальнейшем называть дополненную таким образом геометрию "практической геометрией" ... Вопрос о том, является ли практическая геометрия эвклидовой или нет, приобретает совершенно ясный смысл; ответ на него может дать только опыт. Всякие измерения длины в физике точно так же, как и геодезические или астрономические измерения, в этом смысле составляют предмет практической геометрии, если при этом исходить из того опытного закона, что свет распространяется по прямой линии, и именно по прямой в смысле практической геометрии.
>
> [3]

Приведенные рассуждения показывают, что математика не является особой областью познания, развивающейся независимо от познавательно-преобразующей практики человека. На самом деле, исходными посылками для математики служит практика, и в конечном итоге математика является незаменимым аппаратом в практической деятельности человека.

2.2. Пространство-время

> ... Пространство и время - не простые формы явлений, а объективно-реальные формы бытия. В мире нет ничего, кроме движущейся материи, и движущаяся материя не может двигаться иначе, как в пространстве и во времени... Изменчивость человеческих представлений о пространстве и времени так же мало опровергают объективную реальность того и другого, как изменчивость научных знаний о строении и формах движения материи не опровергают объективной реальности внешнего мира.
>
> Lenin, 110, с. 181, 182

> ... Не вещи предполагают существование пространства и времени, а наоборот, пространство и время предполагают наличность вещей, ибо пространство, или протяженность, предполагает наличность чего-то, что протяженно, и время - движение: ведь время - лишь понятие, производное от движения, - предполагает наличность чего-то, что движется. Всё - пространственно и временно.
>
> Феербах, 111, с. 50

Прежде чем перейти к изучению взаимодействия геометрии и ОТО, необходимо дать чёткое определение основных понятий. Основное понятие геометрии - это пространство; пространство, наполненое физическим содержанием, называют пространством событий.

... Прежде понятий, относящихся к пространству, должно существовать понятие "материальный объект". Это логически первичное понятие. В этом легко убедиться, анализируя пространственные понятия, например, "рядом", "касание" и т. д., другими словами, отыскивая их эквиваленты в опыте.

109, с. 235

Физическое понятие времени отвечает понятию, присущему интуитивному мышлению. Но такое понятие восходит к порядку вовремени ощущений индивидуума, и этот порядок мы должны принимать как нечто первично данное. Некто ощущает ... чувственное ощущение в данный момент, соединенное с воспоминанием о (прежних) чувственных ощущениях. Это и есть причина того, что чувственные ощущения, по-видимому, образуют временные ряды ощущений, основанные на оценках "раньше" и "позже". Эти ряды могут повторяться, и тогда они могут быть опознаны. Они могут также повторяться неточно, с заменой некоторого числа событий други ми, причем характер повторения для нас не утрачивается. Таким образом, мы приходим к представлению времени в виде некоего одномерного каркаса, который можно заполнить ощущениями разными способами. Одни и теже ряды ощущений отвечают тем же субъективным интервалам времени.

Переход от этого "субъективного" времени ... к понятию времени донаучного мышления связывается с возникновением идеи о существовании реального мира, независимого от субъекта. В этом смысле (объективное) событие ставится в соответствие с субъективным ощущением. В таком же смысле "субъективное" время ощущения сопоставляется с "временем" соответствующего "объективного" события. В противоположность ощущениям внешние события и их порядок во времени претендует на справедливость для всех субъектов.

... При более подробном рассмотрении идеи объективного мира внешних событий оказалось необходимым установить более сложную зависимость между событиями и ощущениями. Впервые это было сделано с помощью инстинктивных правил мышления, в которых особенно важную роль играет понятие пространства. Процесс усложнения понятий ведет в конечном счете к естественным наукам.

109, с. 242, 243

Форма предмета есть ... не что иное, как совокупность отношений его частей. Поэтому речь должна идти о тех материальных связях элементов мира, которые в своей совокупности и определяют пространство-время.

Простейший элемент мира - это то, что называется событием. Оно представляет собой "точечное" явление вроде мгновенной вспышки точечной лампы или, пользуясь наглядными понятиями о пространстве-времени, явление, протяжением которого в пространстве и во времени можно пренебречь... Событие аналогично точке в геометрии... Всякое явление, всякий процесс представляется как некоторая связная совокупность событий.

> Отвлекаясь от всех свойств события, кроме того, что оно существует, мы представляем его как ... "мировую точку". Пространство-время и есть множество всех мировых точек.
>
> [9], с. 133, 134

Однако подобное определение неполно, оно не учитывает, что каждое событие ... воздействует на некоторые другие события и само подвержено воздействиям других событий. Вообще воздействие и есть движение, связывающее одно событие с другим через ряд промежуточных событий... В понятиях физики воздействие можно определить как передачу импульса и энергии.

[9], с. 134

Таким образом, геометрия пространства-времени неотделима от физических процессов, протекающих в самом пространстве-времени.

> Пространство-время есть множество всех событий в мире, отвлеченных от всех его свойств, кроме тех, которые определяются отношениями воздействия одних событий на другие.
>
> Пространственно-временная структура мира есть не что иное как его причинно-следственная структура, взятая лишь в соответствующей абстракции.
>
> [9], с. 135

Следующий вопрос, который необходимо рассмотреть, - это вопрос о физическом содержании понятия координат. Чтобы понять всю важность этого вопроса, вспомним как ввёл Эйнштейн единное время в теории относительности. Прежде всего, каждый наблюдатель снабжён собственными часами. Но для того, чтобы время, показываемое каждым наблюдателем, было координатой в пространстве событий, необходима синхронизация часов. Однако процесс синхронизации основан на физических явлениях.

> Если в точке A пространства помещены часы, то наблюдатель, находящийся в A, может устанавлить время событий в непосредственной близости от A путем наблюдения одновременных с этими событиииями показаний стрелок часов. Если в другой точке B пространства также имеются часы (мы добавим: "точно такие же часы, как в точке A"), то в непосредственной близости от B тоже возможна временная оценка событий находящимся в B наблюдателем. Однако невозможно без дальнейших предположений сравнивать во времени какое-либо событие в A с событием в B; мы определили пока только "A-время" и "B-время", но не общее для A и B "время". Последнее можно установить, вводя определение, что "время", необходимое для прохождения света из A в B, равно "времени", требуемому для прохождения света из B в A. Пусть в момент t_A по "A-времени" луч света выходит из A в B, отражается в момент t_B по "B-времени" от B к A и возвращается назад в A в момент t'_A по "A-времени". Часы в A и B будут идти, согласно определению, синхронно, если
>
> $$t_B - t_A = t'_A - t_B$$
>
> Мы сделаем допущение, что это определение синхронности можно дать непротиворечивым образом и притом для сколь угодно многих точек и что, таким образом, справедливы следующие утверждения:

> 1) если часы в B идут синхронно с часами в A, то часы в A идут синхронно с часами в B;
>
> 2) если часы в A идут синхронно как с часами в B, так и с часами в C, то часы в B и C также идут синхронно относительно друг друга.
>
> [1], стр. 9, 10

Аналогичные построения, основанные на измерении расстояний между наблюдателями (что также можно выполнить с помощью световых сигналов) приводят к понятию пространственных координат.

В ОТО проблема координат оказывается сложнее, но суть её остаётся следующей: координаты являются концентрированным выражением взаимодействия различных наблюдателей в пространстве событий.

2.3. Принцип ковариантности

> Сущность времени и пространства есть движение, потому что оно всеобще; понять его значит высказать его сущность в форме понятия.
>
> Гегель, "Лекции по истории философии".

> Движение есть сущность времени и пространства. Два основных понятия выражают эту сущность: (бесконечная) непрерывность и "пунктуальность" (= отрицание непрерывности, прерывность). Движение есть единство непрепрерывности (времени и пространства. Движение есть противоречие, есть единство противоречий.
>
> 111, c. 231, Lenin, Philosophic notebooks

Определив содержание понятия пространства, мы можем перейти к рассмотрению принципов, положенных в основу ОТО. Основным принципом ОТО является принцип общековариантности. Вторым, не менее важным принципом в современной формулировке ОТО, является принцип эквивалентности. Оба эти принципа тесно взаимосвязаны. Опираясь на принцип Маха, Эйнштейн формулирует основные принципы.

> Пусть K - галилеева координатная система, т. е. такая, относительно которой (по крайней мере в рассматриваемой четырехмерной области) некоторая масса, достаточно удаленная от других, движется прямолинейно и равномерно. Пусть K' - вторая координатная система, которая относительно K движется равномерно ускоренно. Тогда достаточно изолированная от других масса совершает относительно K' ускоренное движение, причем ни ускорение, ни направление этого ускорения не зависят от химического состава и физического состояния этой массы.
>
> Может ли наблюдатель, покоящийся относительно координатной системы K', отсюда заключить, что он находится в "действительно" ускоренной координатной системе? Ответ на этот вопрос должен быть отрицательным, ибо только что указанное поведение масс, свободно

> движущихся относительно K', может быть столь же хорошо объяснено следующим образом. Координатная система K' не имеет ускорения, но в рассматриваемой пространственно-временной области имеется гравитационное поле, вызывающее ускоренное движение тел относительно системы K'.
>
> [2], стр. 456

Однако Эйнштейн сделал в этой работе две методологические ошибки. Изложив основные принципы ОТО, он пишет

> Из этих соображений видно, что построение общей теории относительности должно одновременнно привести и к теории тяготенмя, ибо гравитационное поле можно "создать" простым изменением координатной системы.
>
> [2], с. 457

Во-первых. Тесная связь основных принципов не означает их тождество. Принцип эквивалентности оказался исторически первым и самым простым принципом, сформулированным в общековариантной форме. В дальнейшем Эйнштейн понял, что теорию относительности нельзя свести к теории гравитационного поля. Всю свою оставшуюся жизнь он посвятил развитию принципа общековариантности.

Во-вторых. Как следствие отождествления системы отсчёта и системы координат, Эйнштейн ошибочно отождествлял преобразование Лоренца с общим координатным преобразованием. Самая грубая ошибка состояла в том, что Эйнштейн полагал, что с помощью преобразований Лоренца можно породить гравитационное поле в инерциальной системе отсчёта, если его там не было. Но это противоречит принципу общековариантности. На самом деле здесь имеет место переход к неинерциальной системе отсчёта, выраженный в появлении неголономности координат, используемых наблюдателем.

> ... Нельзя любое поле тяжести заменить состоянием движения системы без гравитационного поля, точно также как нельзя преобразовать все точки произвольно движущейся среды к покою посредством релятивистского преобразования.
>
> 107, с. 166

Однако изолированный наблюдатель не знает, какими координатами он пользуется. С другой стороны, и в неинерциальной системе отсчёта, и в гравитационном поле свободные тела движутся по траекториям, не зависящим от их массы.

> Принцип эквивалентности - это утверждение о полной тождественности всех физических процессов и явлений в однородном поле тяготения и в соответствующей равномерно ускоренной системе отсчета, причем в общем случае речь идет о достаточно малых пространственно-временных областях. Из принципа эквивалентности следует равенство инертной массы и тяжелой массы, так как в противном случае уже механические движения в ускоренной системе отсчета и в поле тяжести протекали бы неодинаково.
>
> Ginzburg, 105, с. 339
>
> Проведенный мною недавно анализ показывает, что принцип эквивалентности не является утверждением о равенстве двух разных

> типов массы. Основа принципа эквивалентности состоит в том, что ни одно явление не может отличить одну систему отсчёта от другой и законы физики не зависят от того, какую систему отсчёта мы используем. Изучение электромагнитных полей показывает, что масса менее важна в общей теории относительности, чем мы полагали раньше. Не масса, а тензор энергии импульса порождает гравитационное поле. Свет не имеет массы, но имеет импульс. Эйнштейн, исправив наиболее грубые ошибки, формулировал основные принципы следующим образом: Пусть K - инерциальная система без поля тяжести, K' - система координат, равномерно ускоренная относительно K. Тогда поведение материальных точек по отношению к системе K' будет таким же, как если бы K' была инерциальной системой, в которой существует однородное поле тяготения. Таким образом, в свете известных из опыта свойств поля тяжести определение инерциальной системы оказывается несостоятельным. Напрашивается мысль о том, что каждая, любым образом движущаяся система отсчета, с точки зрения формулировки законов природы, равноценна любой другой и что, следовательно, для областей конечной протяженности вообще не существует физически выделенных (привилегированых) состояний движения (общий принцип относительности). Последовательное проведение этой идеи требует еще более глубокого видоизменения геометрико-кинематических основ теории, чем специальная теория относительности... Обобщая, приходим к следующему результату: поле тяготения и метрика представляют собой лишь различные формы проявления одного и того же физического поля.
>
> [4], стр. 124

Современная формулировка принципа общековариантности не зависит от принципа эквивалентности. Суть состоит в том, что преобразования Лоренца образуют чётко определённую группу, а физические величины являются инвариантными конструкциями относительно этой группы.

Необходимо отметить, что различные ошибочные толкования утверждений ОТО, высказываний Эйнштейна (особенно ранних) обедняют содержание ОТО. Так, отождествляя оба принципа, Фок утверждал, что ОТО правильнее было бы назвать теорией тяготения. Другие авторы считают, что тот или иной принцип, подобно принципу Маха, сыграл роль повивальной бабки и сейчас не является фундаментальным принципом теории. Нечёткость определения преобразований Лоренца у Эйнштейна породила различные поиски. Пытаясь систематизировать обширный материал, многие исследователи ошибочно упрощали проблему, выделяя привилегированные системы отсчёта, что противоречит принципу общековариантности.

> Существенное достижение общей теории относительности заключается в том, что она избавила физику от необходимости вводить "инерциальную систему". Это понятие неудовлетворительно по той причине, что оно без какого-либо обоснования выделяет из всех мысленно возможных систем координат некоторые системы. Затем делается предположение, что законы физики выполняются только для

> таких инерциальных систем... Таким образом, в системе физики пространство как таковое наделяется ролью, выделяющей его из всех прочих элементов физического описания. Оно играет определяющую роль во всех процессах, не испытывая их обратного воздействия. Хотя подобная теория является логически возможной, но, с другой стороны, она выглядит не совсем удовлетворительной. Ньютон вполне сознавал этот недостаток, но он столь же ясно понимал, что иного пути для физики в то время не было. Среди физиков позднейшего времени особое внимание на это обстоятельство обратил Эрнст Мах.
>
> 106, с. 854, 855

Систематизируя ошибочные представления, Гинзбург пишет

> ... Название "общая теория относительности" вполне закономерно и нет оснований от него отказываться, не говоря уже о том, что замена этого названия представляется практически невозможной в силу установившейся традиции.
>
> К сожалению, вопросы терминологии и словоупотребления столь тесно переплетаются с существенными проблемами, что нередко мешают обсуждению этих проблем, ... заставляют спорить о словах... Вопрос о названии теории ... столь явно терминологический, что не может породить расхождений по сути дела. Но этого нельзя сказать о проблеме существования в ОТО привилегированых систем отсчета... Для достаточно малых областей пространства-времени в ОТО, конечно, существует привилегированая система отсчета - ... имеется в виду свободно падающая локально инерциальная система отсчета ..., в которой нет сил тяготения и справедлива частная теория относительности. Но такие системы ... не совпадают с инерциальными системами классической механики...
>
> Для областей конечной протяженности в общем случае мы не видим никакого аналога инерциальных систем, никаких систем, столь же "привилегированых". Но здесь то и возникает возможность терминологических разногласий. Исследование конкретных физических задач связано с каким-то упрощением, приближением, с идеализацией ситуации ... Но совершенно очевиден частный характер такой привилегированности, сугубо отличный от той привилегированности, которой наделяла инерциальные системы классическая механика.
>
> 105, р 343 - 345

2.4. Пространство-время и квантовая механика

> Каждый человек заключён в темницу своих идей, и каждый в юности должен взорвать её, чтобы попытаться сравнить свои идеи с реальностью. Но через несколько веков другой человек, быть может, отвергнет его идеи. С художником в его неповторимости такого произойти не может. Так происходит только в поисках истины, и это вовсе не печально.
>
> [7], стр. 144

Как уже отмечалось выше, геометрические представления тесно связаны с физическими. Поэтому в макрофизике, где все тела имеют чётко определённую форму и движутся по чётко определённым траекториям, геометрия (во всём многообразии представлений и теорий) описывает жёстко и однозначно определённые конструкции. Не составляет исключения и общая теория относительности.

В частности, элементарное событие - это явление длительности, которой можно пренебречь, в области пространства, размерами которой можно пренебречь. Точка в пространстве, траектория движения, форма тела становятся абстракциями, не имеющими реальных физических аналогов. В большинстве случаев длительностью или размером пренебрегать нельзя. Исчезновение существующей в макрофизике грани между частицами и волнами привело к размыванию чётких геометрических форм. Тем самым геометрические представления становятся в противоречие с физическими.

Совместный анализ уравнений квантовой механики и теории относительности приводит к парадоксальному результату: необходимо квантовать метрический тензор. Соответствующий геометрический аппарат ещё не разработан, однако несложные построения позволяют сказать кое-что определённое о геометрической структуре пространства общерелятивистской квантовой механики.

Для того, чтобы понять суть новых геометрических представлений рассмотрим наглядный геометрический пример. Предположим, что в результате решения задачи мы получили на многообразии размерности 2 две метрические формы, описывающие сферы радиусов R и r. Таким образом, в любой точке многообразия наблюдатель будет одновременно находиться на обеих сферах. Предположим, что мы находимся на северном полюсе. Тогда мы получим, что обе сферы касаются друг друга в северном полюсе. Будем двигаться теперь на юг. Но возникает вопрос: по какой из двух сфер мы будем двигаться? Предположим, что мы будем двигаться по большой сфере. Тогда мы перестанем касаться малой сферы. А это противоречит постановке задачи. Следовательно, при движении по большой сфере мы как бы увлекаем за собой малую сферу. Аналогично, двигаясь по малой сфере, мы увлекаем за собой большую сферу.

Эта картина, безусловно, не зависит ни от размерности многообразия, ни от числа и значения метрических форм. Мы теперь можем подвести некоторые итоги.

- Квантование метрического тензора приводит к расслоению основного многообразия (согласно значению метрического тензора).

- Квантование метрического тензора выталкивает движущийся объект из основного многообразия в многообразие касательных плоскостей. Этот процесс намечался ещё в ОТО: система измерительных приборов наблюдателя находится в касательных плоскостях. При движении наблюдателя основное многообразие движется без скольжения вдоль плоскостей, всё время касаясь их.

- Параллельный перенос вдоль заданной кривой неоднозначен и, по-видимому, операция необратимая. Геодезическая перестаёт быть кривой в привычном понимании и распадается на множество кривых, движение по которым происходит с той или иной вероятностью. Это приводит к неоднозначному заданию измерительной системы, которой пользуется наблюдатель.

Далее следует terra incognita математических и физических результатов. Недалеко то время, когда мы станем свидетелями новых революционных преобразований в геометрии, физике, философии.

> Прежде чем переходить к вопросу о завершении общей теории относительности, я должен высказаться о занимаемой мною позиции по отношению к той физической теории, которая мз всех физических теорий нашего времени достигла наибольших успехов. Я имею в виду статистическую квантовую механику... Это единственная современная теория, дающая стройное объяснение тому, что мы знаем относительно квантового характера микромеханических процессов. Эта теория, с одной стороны, и теория относительности, с другой, обе в известном смысле считаются верными, хотя слияние этих теорий не удалось до сих пор, несмотря на все усилия. С этим, должно быть, и связано то, что среди современных физиков-теоретиков имеются совершенно различные мнения о том, как будет выглядеть теоретический фундамент будущей физики. Будет ли это теория поля?

[8], стр. 288, 289

> Б. Теория поля еще не вполне определяется системой уравнений поля. Надо ли признавать наличие сингулярностей? Следует ли постулировать граничные условия?
>
> В. Можно лм думать, что теория поля позволит понять атомистическую и квантовую структуру реальности?.. Я полагаю, что по этому поводу в настоящее время никому не известно ничего достоверного, поскольлу мы не знаем, каким образом и в какой степенм исключение сингулярностей сокращает множество решений. У нас вообще нет никакого метода для систематического полученмя решений, свободных от сингулярностей... В настоящее время преобладает мнение, что теорию поля сначала необходимо перевести "квантованием" в статистическую теорию вероятностей... Я вижу в этом лишь попытку описывать линейными методами соотношения существенно нелинейного характера.
>
> Г. Можно убедительно доказать, что реальность вообще не может быть представлена непрерывным полем. Из квантовых явленмй, повидимому, следует, что конечная система с конечной энергией может полностью описываться конечным набором чисел (квантовых чисел). Это, кажется, нельзя совместить с теорией континуума и требует для описания реальности чисто алгебраической теории. Однако сейчас никто не знает, как найти основу для такой теории.

106, p 872, 873

Прежде чем мы найдём новую геометрию, мы должны изучить, что может произойти, если мы объединим идеи общей теории относительности и квантовой механики.

Глава 3

Представление группы

3.1. Представление группы

Определение 3.1.1. Мы будем называть отображение

$$t: M \to M$$

невырожденным преобразованием, если существует обратное отображение. ☐

Определение 3.1.2. Преобразование называется **левосторонним преобразованием** если оно действует слева

$$u' = tu$$

Мы будем обозначать $l(M)$ множество левосторонних невырожденных преобразований множества M. ☐

Определение 3.1.3. Преобразование называется **правосторонним преобразованием** если оно действует справа

$$u' = ut$$

Мы будем обозначать $r(M)$ множество правосторонних невырожденных преобразований множества M. ☐

Мы будем обозначать δ тождественное преобразование.

Определение 3.1.4. Пусть $l(M)$ - группа и δ - единица группы $l(M)$. Пусть G - группа. Мы будем называть гомоморфизм групп

$$f: G \to l(M)$$

левосторонним ковариантным представлением группы G в множестве M, если отображение f удовлетворяет условиям

$$f(ab)u = f(a)(f(b)u) \tag{3.1.1}$$

☐

Определение 3.1.5. Пусть $l(M)$ - группа и δ - единица группы $l(M)$. Пусть G - группа. Мы будем называть антигомоморфизм групп

$$f: G \to l(M)$$

левосторонним контравариантным представлением группы G в множестве M, если отображение f удовлетворяет условиям

$$f(ba)u = f(a)(f(b)u) \tag{3.1.2}$$

☐

Определение 3.1.6. Пусть $r(M)$ - группа и δ - единица группы $r(M)$. Пусть G - группа. Мы будем называть отображение

$$f : G \to r(M)$$

правосторонним ковариантным представлением группы G в множестве M, если отображение f удовлетворяет условиям

$$uf(ab) = (uf(a))f(b) \tag{3.1.3}$$

□

Определение 3.1.7. Пусть $r(M)$ - группа и δ - единица группы $r(M)$. Пусть G - группа. Мы будем называть антигомоморфизмом групп

$$f : G \to r(M)$$

правосторонним контравариантным представлением группы G в множестве M, если отображение f удовлетворяет условиям

$$uf(ab) = (uf(a))f(b) \tag{3.1.4}$$

□

Любое утверждение, справедливое для левостороннего представления группы, будет справедливо для правостороннего представления. Поэтому мы будем пользоваться общим термином **представление группы** и будем пользоваться обозначениями для левостороннего представления в тех случаях, когда это не вызывает недоразумения.

Теорема 3.1.8. *Для любого* $g \in G$

$$f(g^{-1}) = f(g)^{-1} \tag{3.1.5}$$

Доказательство. На основании (3.1.1) и

$$f(e) = \delta \tag{3.1.6}$$

мы можем записать

$$u = \delta u = f(gg^{-1})u = f(g)(f(g^{-1})u)$$

Это завершает доказательство. □

Пример 3.1.9. Групповая операция определяет два различных представления на группе: **левый сдвиг**, который мы определяем равенством

$$b' = L(a)b = ab \tag{3.1.7}$$

и **правый сдвиг**, который мы определяем равенством

$$b' = R(a)b = ba \tag{3.1.8}$$

□

Теорема 3.1.10. *Пусть представление*

$$u' = f(a)u$$

является ковариантным представлением. Тогда представление

$$u' = h(a)u = f(a^{-1})u$$

является контравариантным представлением.

Доказательство. Утверждение следует из цепочки равенств

$$h(ab) = f((ab)^{-1}) = f(b^{-1}a^{-1}) = f(b^{-1})f(a^{-1}) = h(b)h(a)$$

□

Определение 3.1.11. Пусть f - представление группы G в множестве M. Для любого $v \in M$ мы определим **орбиту представления группы** G как множество

$$\mathcal{O}(v, g \in G, f(g)v) = \{w = f(g)v : g \in G\}$$

□

Так как $f(e) = \delta$, то $v \in \mathcal{O}(v, g \in G, f(g)v)$.

Теорема 3.1.12. *Если*

$$v \in \mathcal{O}(u, g \in G, f(g)u) \tag{3.1.9}$$

то

$$\mathcal{O}(u, g \in G, f(g)u) = \mathcal{O}(v, g \in G, f(g)v)$$

Доказательство. Из (3.1.9) следует существование $a \in G$ такого, что

$$v = f(a)u \tag{3.1.10}$$

Если $w \in \mathcal{O}(v, g \in G, f(g)v)$, то существует $b \in G$ такой, что

$$w = f(b)v \tag{3.1.11}$$

Подставив (3.1.10) в (3.1.11), мы получим

$$w = f(b)(f(a)u) \tag{3.1.12}$$

На основании (3.1.1) из (3.1.12) следует, что $w \in \mathcal{O}(u, g \in G, f(g)u)$. Таким образом,

$$\mathcal{O}(v, g \in G, f(g)v) \subseteq \mathcal{O}(u, g \in G, f(g)u)$$

На основании (3.1.5) из (3.1.10) следует, что

$$u = f(a)^{-1}v = f(a^{-1})v \tag{3.1.13}$$

Равенство (3.1.13) означает, что $u \in \mathcal{O}(v, g \in G, f(g)v)$ и, следовательно,

$$\mathcal{O}(u, g \in G, f(g)u) \subseteq \mathcal{O}(v, g \in G, f(g)v)$$

Это завершает доказательство. □

Теорема 3.1.13. *Если определены представление f_1 группы G в множестве M_1 и представление f_2 группы G в множестве M_2, то мы можем определить* **прямое произведение представлений f_1 и f_2 группы**

$$f = f_1 \otimes f_2 : G \to M_1 \otimes M_2$$
$$f(g) = (f_1(g), f_2(g))$$

Доказательство. Чтобы показать, что f является представлением, достаточно показать, что f удовлетворяет определению 3.1.4.

$$f(e) = (f_1(e), f_2(e)) = (\delta_1, \delta_2) = \delta$$

$$\begin{aligned}f(ab)u&=(f_1(ab)u_1,f_2(ab)u_2)\\&=(f_1(a)(f_1(b)u_1),f_2(a)(f_2(b)u_2))\\&=f(a)(f_1(b)u_1,f_2(b)u_2)\\&=f(a)(f(b)u)\end{aligned}$$

□

3.2. Однотранзитивное представление

Определение 3.2.1. Мы будем называть **ядром неэффективности представления группы** G множество

$$K_f=\{g\in G:f(g)=\delta\}$$

Если $K_f=\{e\}$, мы будем называть представление группы G **эффективным**. □

Теорема 3.2.2. *Ядро неэффективности - это подгруппа группы G.*

Доказательство. Допустим $f(a_1)=\delta$ и $f(a_2)=\delta$. Тогда

$$f(a_1a_2)u=f(a_1)(f(a_2)u)=u$$
$$f(a^{-1})=f^{-1}(a)=\delta$$

□

Если действие не эффективно, мы можем перейти к эффективному, заменив группой $G_1=G|K_f$, пользуясь факторизацией по ядру неэффективности. Это означает, что мы можем изучать только эффективное действие.

Определение 3.2.3. Мы будем называть представление группы **транзитивным**, если для любых $a,b\in V$ существует такое g, что

$$a=f(g)b$$

Мы будем называть представление группы **однотранзитивным**, если оно транзитивно и эффективно. □

Теорема 3.2.4. *Представление однотранзитивно тогда и только тогда, когда для любых $a,b\in V$ существует одно и только одно $g\in G$ такое, что $a=f(g)b$*

Определение 3.2.5. Мы будем называть пространство V **однородным пространством группы** G, если мы имеем однотранзитивное представление группы G на V. □

Теорема 3.2.6. *Если мы определим однотранзитивное представление f группы G на многообразии A, то мы можем однозначно определить координаты на A, пользуясь координатами на группе G.*

Если f - ковариантное представление, то $f(a)$ эквивалентно левому сдвигу $L(a)$ на группе G. Если f = контравариантное представление, то $f(a)$ эквивалентно правому сдвигу $R(a)$ на группе G.

Доказательство. Мы выберем точку $v \in A$ и определим координаты точки $w \in A$ как координаты преобразования a такого, что $w = f(a)v$. Координаты, определённые таким образом, однозначны с точностью до выбора начальной точки $v \in A$, так как действие эффективно.

Если f - ковариантное представление, мы будем пользоваться записью

$$f(a)v = av$$

Так как запись

$$f(a)(f(b)v) = a(bv) = (ab)v = f(ab)v$$

совместима с групповой структурой, мы видим, что ковариантное представление f эквивалентно левому сдвигу.

Если f - контравариантное представление, мы будем пользоваться записью

$$f(a)v = va$$

Так как запись

$$f(a)(f(b)v) = (vb)a = v(ba) = f(ba)v$$

совместима с групповой структурой, мы видим, что контравариантное представление f эквивалентно правому сдвигу. □

Теорема 3.2.7. *Левый и правый сдвиги на группе G перестановочны.*

Доказательство. Это следствие ассоциативности группы G

$$(L(a)R(b))c = a(cb) = (ac)b = (R(b)L(a))c$$

□

Теорема 3.2.8. *Если мы определили однотранзитивное представление f на многообразии A, то мы можем однозначно определить однотранзитивное представление h такое, что диаграмма*

$$\begin{tikzcd}
M \arrow[r, "h(a)"] \arrow[d, "f(b)"] & M \arrow[d, "f(b)"] \\
M \arrow[r, "h(a)"'] & M
\end{tikzcd}$$

коммутативна для любых a, $b \in G$.[3.1]

Доказательство. Мы будем пользоваться групповыми координатами для точек $v \in A$. Для простоты мы предположим, что f - ковариантное представление. Тогда согласно теореме 3.2.6 мы можем записать левый сдвиг $L(a)$ вместо преобразования $f(a)$.

Пусть точки $v_0, v \in A$. Тогда мы можем найти одно и только одно $a \in G$ такое, что

$$v = v_0 a = R(a)v_0$$

Мы предположим

$$h(a) = R(a)$$

Существует $b \in G$ такое, что

$$w_0 = f(b)v_0 = L(b)v_0 \qquad w = f(b)v = L(b)v$$

[3.1] Теорема 3.2.8 на самом деле очень интересна. Тем не менее её смысл становится более ясным, когда мы приложим эту теорему к многообразию базисов, смотри раздел 4.1.

Согласно теореме 3.2.7 диаграмма

$$\begin{tikzcd}
v_0 \arrow[r, "h(a)=R(a)"] \arrow[d, "f(b)=L(b)"] & v \arrow[d, "f(b)=L(b)"] \\
w_0 \arrow[r, "h(a)=R(a)"'] & w
\end{tikzcd} \tag{3.2.1}$$

коммутативна.

Изменяя b мы получим, что w_0 - это произвольная точка, принадлежащая A.

Мы видим из диаграммы, что, если $v_0 = v$ than $w_0 = w$ и следовательно $h(e) = \delta$. С другой стороны, если $v_0 \neq v$, то $w_0 \neq w$ потому, что представление f однотранзитивно. Следовательно представление h эффективно.

Таким же образам мы можем показать, что для данного w_0 мы можем найти a такое, что $w = h(a)w_0$. Следовательно представление однотранзитивно.

В общем случае, представление f не коммутативно и следовательно представление h отлично от представления f. Таким же образом мы можем создать представление f, пользуясь представлением h. □

Замечание 3.2.9. Очевидно, что преобразования $L(a)$ и $R(a)$ отличаются, если группа G неабелева. Тем не менее, они являются отображениями на. Теорема 3.2.8 утверждает, что, если оба представления правого и левого сдвига существуют на многообразии A, то мы можем определить два перестановочных представления на многообразии A. Только левый или правый сдвиг не может представлять оба типа представления. Чтобы понять почему это так, мы можем изменить диаграмму (3.2.1) и предположить $h(a)v_0 = L(a)v_0 = v$ вместо $h(a)v_0 = R(a)v_0 = v$ и проанализировать, какое выражение $h(a)$ имеет в точке w_0. Диаграмма

$$\begin{tikzcd}
v_0 \arrow[r, "h(a)=L(a)"] \arrow[d, "f(b)=L(b)"] & v \arrow[d, "f(b)=L(b)"] \\
w_0 \arrow[r, "h(a)"'] & w
\end{tikzcd}$$

эквивалентна диаграмме

$$\begin{tikzcd}
v_0 \arrow[r, "h(a)=L(a)"] & v \arrow[d, "f(b)=L(b)"] \\
w_0 \arrow[u, "f^{-1}(b)=L(b^{-1})"] \arrow[r, "h(a)"'] & w
\end{tikzcd}$$

и мы имеем $w = bv = bav_0 = bab^{-1}w_0$. Следовательно

$$h(a)w_0 = (bab^{-1})w_0$$

Мы видим, что представление h зависит от его аргумента. □

3.3. Линейное представление

Если на множестве M определена дополнительная структура, мы предъявляем к представлению группы дополнительные требования.

Если на множестве M определено понятие непрерывности, то мы полагаем, что преобразование

$$u'=f(a)u$$

непрерывно по u и, следовательно,

$$\left|\frac{\partial u'}{\partial u}\right|\neq 0$$

Если M - группа, то большое значение имеют представления левых и правых сдвигов.

Определение 3.3.1. Пусть M - векторное пространство $\mathcal{V}$ над полем F. Мы будем называть представление группы G в векторном пространстве $\mathcal{V}$ **линейным представлением**, если $f(a)$ - гомоморфизм пространства $\mathcal{V}$ для любого $a\in G$. □

Замечание 3.3.2. Допустим, преобразование $f(a)$ является линейным однородным преобразованием. $f^\beta_\gamma(a)$ являются элементами матрицы преобразования. Мы обычно полагаем, что нижний индекс перечисляет строки в матрице и верхний индекс перечисляет столбцы.

Согласно закону умножения матриц мы можем представить координаты вектора как строку матрицы. Мы будем называть такой вектор **вектор-строкой**. Мы можем так же рассматривать вектор, координаты которого формируют столбец матрицы и будем называть такой вектор **вектор-столбцом**.

Левостороннее линейное представление в пространстве вектор-столбцов

$$u'=f(a)u\quad u'_\alpha=f^\beta_\alpha(a)u_\beta\quad a\in G$$

является ковариантным представлением

$$u''_\gamma=f^\beta_\gamma(ba)u_\beta=f^\alpha_\gamma(b)(f^\beta_\alpha(a)u_\beta)=(f^\alpha_\gamma(b)f^\beta_\alpha(a))u_\beta$$

Левостороннее линейное представление в пространстве вектор-строк

$$u'=f(a)u\quad u'^\alpha=f^\alpha_\beta(a)u^\beta\quad a\in G$$

является контравариантным представлением

$$u''^\gamma=f^\gamma_\beta(ba)u^\beta=f^\gamma_\alpha(b)(f^\alpha_\beta(a)u^\beta)=(f^\alpha_\beta(a)f^\gamma_\alpha(b))u^\beta$$

Правостороннее линейное представление в пространстве вектор-столбцов

$$u'=uf(a)\quad u'_\alpha=u_\beta f^\beta_\alpha(a)\quad a\in G$$

является контравариантным представлением

$$u''_\gamma=u_\beta f^\beta_\gamma(ab)=(u_\beta f^\beta_\alpha(a))f^\alpha_\gamma(b)=u_\beta(f^\alpha_\gamma(b)f^\beta_\alpha(a))$$

Правостороннее линейное представление в пространстве вектор-строк

$$u'=uf(a)\quad u'^\alpha=u^\beta f^\alpha_\beta(a)\quad a\in G$$

является ковариантным представлением

$$u''^\gamma=u^\beta f^\gamma_\beta(ab)=(u^\beta f^\alpha_\beta(a))f^\gamma_\alpha(b)=u^\beta(f^\alpha_\beta(a)f^\gamma_\alpha(b))$$

□

Замечание 3.3.3. При изучении линейного представления мы явно будем пользоваться тензорной записью. Мы можем пользоваться только верхним индексом и записью $u^{\bullet}{}_{\cdot\alpha}$ вместо u_{α}. Тогда мы можем записать преобразование этого объекта в виде

$$u'^{\bullet}{}_{\cdot\alpha} = f^{\bullet}{}_{\cdot\alpha}{}_{\bullet}{}^{\cdot\beta} u^{\bullet}{}_{\cdot\beta}$$

Таким образом мы можем спрятать различие между ковариантным и контравариантным представлениями. Эта сходство идёт сколь угодно далеко. □

Глава 4

Многообразие базисов

4.1. Базис в векторном пространстве

Пусть мы имеем векторное пространство $\mathcal{V}$ и контравариантное правостороннее эффективное линейное представление группы $G = G(\mathcal{V})$. Мы обычно будем называть группу $G(\mathcal{V})$ **группой симметрии**. Не нарушая общности, мы будем отождествлять элемент g группы G с соответствующим преобразованием представления и записывать его действие на вектор $v \in \mathcal{V}$ в виде vg.

Эта точка зрения позволяет определить два типа координат для элемента g группы G. Мы можем либо пользоваться координатами, определёнными на группе, либо определить координаты как элементы матрицы соответствующего преобразования. Первая форма координат более эффективна, когда мы изучаем свойства группы G. Вторая форма координат содержит избыточную информацию, но бывает более удобна, когда мы изучаем представление группы G. Мы будем называть вторую форму координат **координатами представления**.

Мы будем называть максимальное множество линейно независимых векторов $\overline{\overline{e}} =< e_{(i)} >$ **базисом**. В том случае, когда мы хотим явно указать, что это базис пространства $\mathcal{V}$, мы будем пользоваться обозначением $\overline{\overline{e}}_{\mathcal{V}}$.

Любой гомоморфизм векторного пространства отображает один базис в другой. Таким образом, мы можем распространить ковариантное представление группы симметрии на множество базисов. Мы будем записывать действие элемента g группы G на базис $\overline{\overline{e}}$ в виде $R(g)\overline{\overline{e}}$. Тем не менее, не всякие два базиса могут быть связаны преобразованием группы симметрии потому, что не всякое невырожденное линейное преобразование принадлежит представлению группы G. Таким образом, множество базисов можно представить как объединение орбит группы G.

Свойства базиса зависят от группы симметрии. Мы можем выбрать базисы $\overline{\overline{e}}$, векторы которых находятся в отношении, которое инвариантно относительно группы симметрии. В этом случае все базисы из орбиты $\mathcal{O}(\overline{\overline{e}}, g \in G, R(g)\overline{\overline{e}})$ имеют векторы, которые удовлетворяют одному и тому же отношению. Такой базис мы будем называть **G-базисом**. В каждом конкретном случае мы должны доказать существование базиса с искомыми свойствами. Если подобного типа базиса не существует, мы можем выбрать произвольный базис.

Определение 4.1.1. Мы будем называть орбиту $\mathcal{O}(\overline{\overline{e}}, g \in G, R(g)\overline{\overline{e}})$ выбранного базиса $\overline{\overline{e}}$ **многообразием базисов** $\mathcal{B}(\mathcal{V})$ **векторного пространства** $\mathcal{V}$. □

Теорема 4.1.2. *Представление группы G на многообразии базисов однотранзитивно.*

Доказательство. Согласно определению 4.1.1 любые два базиса связаны по крайней мере одним преобразованием представления. Для доказательства теоремы достаточно показать, что это преобразование определено однозначно.

Допустим элементы g_1, g_2 группы G и базис $\overline{\overline{e}}$ таковы, что

$$R_{g_1}\overline{\overline{e}} = R_{g_2}\overline{\overline{e}} \tag{4.1.1}$$

Из (4.1.1) следует

$$R_{g_2^{-1}}R_{g_1}\overline{\overline{e}} = R_{g_1g_2^{-1}}\overline{\overline{e}} = \overline{\overline{e}} \tag{4.1.2}$$

Так как любой вектор имеет единственное разложение относительно базиса $\overline{\overline{e}}$, то из (4.1.2) следует, что $R_{g_1g_2^{-1}}$ тождественное преобразование векторного пространства $\mathcal{V}$. Так как представление группы G эффективно на векторном пространстве $\mathcal{V}$, то $g_1 = g_2$. Отсюда следует утверждение теоремы. □

Из теоремы 4.1.2 следует, что многообразие базисов $\mathcal{B}(\mathcal{V})$ является однородным пространством группы G. Мы построили контравариантное правостороннее однотранзитивное линейное представление группы G на многообразии базисов. Мы будем называть это представление **активным представлением**, а соответствующее преобразование на многообразие базисов **активным преобразованием** ([24]) потому, что гомоморфизм векторного пространства породил это преобразование.

Согласно теореме 3.2.6, так как многообразие базисов $\mathcal{B}(\mathcal{V})$ - однородное пространство группы G, мы можем определить на $\mathcal{B}(\mathcal{V})$ две формы координат, определённые на группе G. В обоих случаях координаты базиса $\overline{\overline{e}}$ - это координаты гомоморфизма, отображающего заданный базис $\overline{\overline{e}}_0$ в базис $\overline{\overline{e}}$. Координаты представления называются **стандартными координатами базиса**. Нетрудно показать, что стандартные координаты e^i_k базиса $\overline{\overline{e}}$ при заданном значении k являются координатами вектора $\overline{e}_k \in \overline{\overline{e}}$ относительно заданного базиса $\overline{\overline{e}}_0$.

Базис $\overline{\overline{e}}$ порождает координаты на $\mathcal{V}$. В различных типах пространства это может быть сделано различным образом. В аффинном пространстве, если вершина базиса является точкой A, то точка B имеет те же координаты, что и вектор $\overrightarrow{AB}$ относительно базиса $\overline{\overline{e}}$. В общем случае мы вводим координаты вектора как координаты относительно выбранного базиса. Использование только G-пространства означает использование специальных координаты на $\mathcal{A}_n$. Для того, чтобы отличать их, мы будем называть их **G-координатами**. Мы также будем называть пространство $\mathcal{V}$ с такими координатами **G-пространством**.

Согласно теореме 3.2.8, на многообразии базисов существует другое представление, перестановочное с пассивным. Как мы видим из замечания 3.2.9 преобразование этого представления отличается от пассивного преобразования и не может быть сведено к преобразованию пространства $\mathcal{V}$. Чтобы подчеркнуть различие, это преобразование называется **пассивным преобразованием** векторного пространства $\mathcal{V}$, а представление называется **пассивным представлением**. Мы будем записывать пассивное преобразование базиса $\overline{\overline{e}}$, порождённое элементом $g \in G$, в виде $L(g)\overline{\overline{e}}$.

4.2. Базис в аффинном пространстве

Мы отождествляем векторы аффинного пространства $\mathcal{A}_n$ с парой точек $\overrightarrow{AB}$. Все векторы, которые имеют общее начало A порождают векторное пространство, которое мы будем называть касательным векторным пространством $T_A\mathcal{A}_n$.

Топология, которую $\mathcal{A}_n$ наследует из отображения $\mathcal{A}_n \rightarrow R^n$, позволяет нам изучать непрерывные преобразования пространства $\mathcal{A}_n$ и их производные. Более точно, производная преобразования f отображает векторное пространство $T_A\mathcal{A}_n$ в $T_{f(A)}\mathcal{A}_n$. Если f линейно, то его производная одна и та же в каждой точке. Вводя координаты $A^1, ..., A^n$ точки $A \in \mathcal{A}_n$, мы можем записать линейное преобразование как

$$A'^i = P^i_j A^j + R^i \qquad \det P \neq 0 \tag{4.2.1}$$

Производная этого преобразования определена матрицей $\|P^i_j\|$ и не зависит от точки A. Вектор $(R^1, ..., R^n)$ выражает смещение в аффинном пространстве. Множество преобразований (4.2.1) - это группа Ли, которую мы обозначим $GL(\mathcal{A}_n)$ и будем называть **группой аффинных преобразований**.

Определение 4.2.1. **Аффинный базис** $\overline{\overline{e}} =< O, \overline{e}_i >$ - это множество линейно независимых векторов $\overline{e}_i = \overrightarrow{OA_i} = (e^1_i, ..., e^n_i)$ с общей начальной точкой $O = (O^1, ..., O^n)$. □

Определение 4.2.2. **Многообразие базисов $\mathcal{B}(\mathcal{A}_n)$ аффинного пространства** - это множество базисов этого пространства. □

Мы будем называть активное преобразование **аффинным преобразованием**. Мы будем называть пассивное преобразование **квазиаффинным преобразованием**.

Если мы не заботимся о начальной точке вектора, мы получим несколько отличный тип пространства, которое мы будем называть центро-аффинным пространством $\mathcal{CA}_n$. В центро-аффинном пространстве мы можем идентифицировать все касательные пространства и обозначить их $T\mathcal{CA}_n$. Если мы предположим, что начальная точка вектора - это начало O координатной системы в пространстве, то мы можем отождествить любую точку $A \in \mathcal{CA}_n$ с вектором $a = \overrightarrow{OA}$. Это ведёт к идентификации $\mathcal{CA}_n$ и $T\mathcal{CA}_n$. Теперь преобразование - это просто отображение

$$a'^i = P^i_j a^j \qquad \det P \neq 0$$

и такие преобразования порождают группу Ли GL_n.

Определение 4.2.3. **Центро-аффинный базис** $\overline{\overline{e}} =< \overline{e}_i >$ - это множество линейно независимых векторов $\overline{e}_i = (e^1_i, ..., e^n_i)$. □

Определение 4.2.4. **Многообразие базисов $\mathcal{B}(\mathcal{CA}_n)$ центро-аффинного пространства** - это множество базисов этого пространства. □

4.3. Базис в евклидовом пространстве

Когда мы определяем метрику в центро-аффинном пространстве, мы получаем новую геометрию потому, что мы можем измерять расстояние и длину вектора. Если метрика положительно определена, мы будем называть пространство евклидовым $\mathcal{E}_n$, в противном случае мы будем называть пространство псевдоевклидовым $\mathcal{E}_{nm}$.

Преобразования, которые сохраняют длину, образуют группу Ли $SO(n)$ для евклидова пространства и группу Ли $SO(n,m)$ для псевдоэвклидова пространства, где n и m числа положительных и отрицательных слагаемых в метрике.

Определение 4.3.1. **Ортонормальный базис** $\overline{\overline{e}} =< \overline{e}_i >$ - это множество линейно независимых векторов $\overline{e}_i = (e^1_i, ..., e^n_i)$ таких, что длина каждого вектора равна 1 и различные векторы ортогональны. □

Существование ортогонального базиса доказывается с помощью процесса ортогонализации Грама–Шмидта.

Определение 4.3.2. **Многообразие базисов** $\mathcal{B}(\mathcal{E}_n)$ **евклидова пространства** - это множество ортонормальных базисов этого пространства. □

Мы будем называть активное преобразование **движением**. Мы будем называть пассивное преобразование **квазидвижением**.

4.4. Геометрический объект

Активное преобразование изменяет базисы и векторы согласовано и координаты вектора относительно базиса не меняются. Пассивное преобразование меняет только базис, и это ведёт к изменению координат вектора относительно базиса.

Допустим пассивное преобразование $L(a) \in G$, заданное матрицей (a^i_j), отображает базис $\overline{\overline{e}} =< e_i >\in \mathcal{B}(\mathcal{V})$ в базис $\overline{\overline{e}}' =< e'_i >\in \mathcal{B}(\mathcal{V})$

$$e'_j = a^i_j e_i \tag{4.4.1}$$

Допустим вектор $v \in \mathcal{V}$ имеет разложение

$$v = v^i e_i \tag{4.4.2}$$

относительно базиса $\overline{\overline{e}}$ и имеет разложение

$$v = v'^i e'_i \tag{4.4.3}$$

относительно базиса $\overline{\overline{e}}'$. Из (4.4.1) и (4.4.3) следует, что

$$v = v'^j a^i_j e_i \tag{4.4.4}$$

Сравнивая (4.4.2) и (4.4.4) получаем, что

$$v^i = v'^j a^i_j \tag{4.4.5}$$

Так как a^i_j - невырожденная матрица, то из (4.4.5) следует

$$v'^i = v^j a^{-1}{}^i_j \tag{4.4.6}$$

Преобразование координат (4.4.6) не зависит от вектора v или базиса $\overline{\overline{e}}$, а определенно исключительно координатами вектора v относительно базиса $\overline{\overline{e}}$.

Если мы фиксируем базис $\overline{\overline{e}}$, то множество координат (v^i) относительно этого базиса порождает векторное пространство $\tilde{\mathcal{V}}$, изоморфное векторному пространству $\mathcal{V}$. Это векторное пространство называется **координатным векторным пространством**, а изоморфизм **координатным изоморфизмом**. Мы будем обозначать $\overline{\delta}_k = (\delta^i_k)$ образ вектора $e_k \in \overline{\overline{e}}$ при этом изоморфизме.

Теорема 4.4.1. *Преобразования координат* (4.4.6) *порождают контравариантное правостороннее эффективное линейное представление группы G, называемое* **координатным представлением**.

Доказательство. Допустим мы имеем два последовательных пассивных преобразования $L(a)$ и $L(b)$. Преобразование координат (4.4.6) соответствует пассивному преобразованию $L(a)$. Преобразование координат

$$v''^k = v'^i b^{-1}{}^k_i \tag{4.4.7}$$

соответствует пассивному преобразованию $L(b)$. Произведение преобразований координат (4.4.6) и (4.4.7) имеет вид

$$v''^k = v^j a^{-1}{}^i_j b^{-1}{}^k_i = v^j (ba)^{-1}{}^k_j \tag{4.4.8}$$

и является координатным преобразованием, соответствующим пассивному преобразованию L_{ba}. Это доказывает, что преобразования координат порождают контравариантное правостороннее линейное представление группы G.

Если координатное преобразование не изменяет векторы δ_k, то ему соответствует единица группы G, так как пассивное представление однотранзитивно. Следовательно, координатное представление эффективно. □

Предположим, что гомоморфизм группы G в группу пассивных преобразований векторного пространства $\mathcal{W}$ согласован с группой симметрий векторного пространства $\mathcal{V}$. Это означает, что пассивному преобразованию $L(a)$ векторного пространства $\mathcal{V}$ соответствует пассивное преобразование $L(a)$ векторного пространства $\mathcal{W}$.

$$E'_\alpha = A^\beta_\alpha(a) E_\beta \tag{4.4.9}$$

Тогда координатное преобразование в $\mathcal{W}$ принимает вид

$$w'^\alpha = w^\beta A(a^{-1})^\alpha_\beta = w^\beta A(a)^{-1}{}^\alpha_\beta \tag{4.4.10}$$

Определение 4.4.2. Мы будем называть орбиту

$$\mathcal{O}((w, \overline{\overline{e}}_{\mathcal{V}}), a \in G, (wA(a)^{-1}, L(a)\overline{\overline{e}}_{\mathcal{V}}))$$

геометрическим объектом в координатном представлении, определённым в векторном пространстве $\mathcal{V}$. Для любого базиса $\overline{\overline{e}}'_{\mathcal{V}} = L(a)\overline{\overline{e}}_{\mathcal{V}}$ соответствующая точка (4.4.10) орбиты определяет **координаты геометрического объекта** относительно базиса $\overline{\overline{e}}'_{\mathcal{V}}$. □

Определение 4.4.3. Мы будем называть орбиту

$$\mathcal{O}((w, \overline{\overline{e}}_{\mathcal{W}}, \overline{\overline{e}}_{\mathcal{V}}), a \in G, (wA(a)^{-1}, L(a)\overline{\overline{e}}_{\mathcal{W}}, L(a)\overline{\overline{e}}_{\mathcal{V}}))$$

геометрическим объектом, определённым в векторном пространстве $\mathcal{V}$. Для любого базиса $\overline{\overline{e}}'_{\mathcal{V}} = L(a)\overline{\overline{e}}_{\mathcal{V}}$ соответствующая точка (4.4.10) орбиты определяет **координаты геометрического объекта** относительно базиса $\overline{\overline{e}}'_{\mathcal{V}}$ и соответствующий вектор

$$w = w'^\alpha E'_\alpha$$

называется **представителем геометрического объекта** в базисе $\overline{\overline{e}}'_{\mathcal{V}}$. $\square$

Мы будем также говорить, что w - это **геометрический объект типа** A

Так как геометрический объект - это орбита представления, то согласно теореме 3.1.12 определение геометрического объекта корректно.

Определение 4.4.2 строит геометрический объект в координатном пространстве. Определение 4.4.3 предполагает, что мы выбрали базис в векторном пространстве $\mathcal{W}$. Это позволяет использовать вместо его координат.

Теорема 4.4.4 (**принцип инвариантности**). *Представитель геометрического объекта не зависит от выбора базиса* $\overline{\overline{e}}'_{\mathcal{V}}$.

Доказательство. Чтобы определить представителя геометрического объекта, мы должны выбрать базис $\overline{\overline{e}}_{\mathcal{V}}$, базис $\overline{\overline{e}}_{\mathcal{W}} = (E_\alpha)$ и координаты геометрического объекта w^α. Соответствующий представитель геометрического объекта имеет вид

$$w = w^\alpha E_\alpha$$

Базис $\overline{\overline{e}}'_{\mathcal{V}}$ связан с базисом $\overline{\overline{e}}_{\mathcal{V}}$ пассивным преобразованием $L(a)$. Согласно построению это порождает пассивное преобразование (4.4.9) и координатное преобразование (4.4.10). Соответствующий представитель геометрического объекта имеет вид

$$w' = w'^\alpha E'_\alpha = w^\beta A(a)^{-1}{}^\alpha_\beta A^\gamma_\alpha(a) E_\gamma = w'^\beta E'_\beta = w$$

Следовательно, представитель геометрического объекта инвариантен относительно выбора базиса. $\square$

Определение 4.4.5. Пусть

$$w_1 = w_1^\alpha E_\alpha$$
$$w_2 = w_2^\alpha E_\alpha$$

геометрические объекты одного и того же типа, определённым в векторном пространстве $\mathcal{V}$. Геометрический объект

$$w = (w_1^\alpha + w_2^\alpha) E_\alpha$$

называется **суммой**

$$w = w_1 + w_2$$

геометрических объектов w_1 и w_2. $\square$

Определение 4.4.6. Пусть

$$w_2 = w_2^\alpha E_\alpha$$

геометрический объект, определённый в векторном пространстве $\mathcal{V}$ над полем F. Геометрический объект

$$w_2 = (k w_1^\alpha) E_\alpha$$

называется **произведением**

$$w_2 = k w_1$$

геометрического объекта w_1 **и константы** $k \in F$. $\square$

Теорема 4.4.7. *Геометрические объекты типа A, определённые в векторном пространстве $\mathcal{V}$ над полем F, образуют векторное пространство над полем F.*

Доказательство. Утверждение теоремы следует из непосредственной проверки свойств векторного пространства. □

Глава 5

Система отсчёта в пространстве событий

5.1. Система отсчёта на многообразии

Мы показали в разделе 4.1, что многообразие базисов векторного пространства можно отождествить с группой симметрий этого пространства. Нас не интересовали детали строения репера, и изложенная теория может быть обобщена и перенесена на произвольное многообразие. В этом разделе мы обобщаем определение базиса и определяем систему отсчёта на многообразии. В случае пространства событий общей теории относительности это ведёт нас к естественному определению системы отсчёта и преобразования Лоренца.

Когда мы изучаем многообразие $\mathcal{V}$, геометрия касательного пространства является одним из важных факторов. В этом разделе мы предполагаем

- все касательные пространства имеет одну и ту же геометрию;
- касательное пространство является векторным пространством $\mathcal{V}$ конечной размерности n;
- группой симметрии касательного пространства является группа Ли G.

Определение 5.1.1. Мы будем называть множество $\overline{\overline{e}} =< \overline{e}_{(i)}, i \in I >$ векторных полей $\overline{e}_{(i)}$ **G-системой отсчёта на многообразии** $\mathcal{V}$, если для любого $x \in \mathcal{V}$ множество $\overline{\overline{e}}(x) =< \overline{e}_{(i)}(x), i \in I >$ является G-базисом[5.1] в касательном пространстве T_x.[5.2] Мы будем пользоваться обозначением $\overline{e}_{(i)} \in \overline{\overline{e}}$, для векторных полей, порождающих G-систему отсчёта $\overline{\overline{e}}$. □

Векторное поле $\overline{a}$ имеет разложение

$$\overline{a} = a^{(i)}\overline{e}_{(i)} \tag{5.1.1}$$

относительно системы отсчёта $\overline{\overline{e}}$.

Если мы не ограничим определение системы отсчёта группой симметрии, мы можем выбрать систему отсчёта $\overline{\overline{\partial}} =< \overline{\partial}_i >$ в каждой точке многообразия, определённую векторными полями, касательными к линиям $x^i = const$. Это поле базисов мы будем называть **координатной системой отсчёта**. Векторное поле $\overline{a}$ имеет разложение

$$\overline{a} = a^i\overline{\partial}_i \tag{5.1.2}$$

относительно координатной системы отсчёта. Тогда стандартные координаты системы отсчёта $\overline{\overline{e}}$ имеют вид $e^k_{(i)}$

$$\overline{e}_{(i)} = e^k_{(i)}\overline{\partial}_k \tag{5.1.3}$$

[5.1] Согласно разделу 4.1 мы можем отождествить базис $\overline{\overline{e}}(x)$ с элементом группы G.

[5.2] Существование на многообразии G-системы отсчёта требует доказательства в каждом случае.

Так как векторы $\overline{e}_{(i)}$ линейно независимы в каждой точке, матрица $\|e^k_{(i)}\|$ имеет обратную матрицу $\|e^{(i)}_k\|$

$$\overline{\partial}_k = e^{(i)}_k \overline{e}_{(i)} \tag{5.1.4}$$

Мы также пользуемся более широким определением для системы отсчёта на многообразии, представленное в виде $\overline{\overline{e}} = (\overline{e}_{(k)}, \overline{e}^{(k)})$, где мы задаём множество векторное полей $\overline{e}_{(k)}$ и двойственных им форм $\overline{e}^{(k)}$ таких, что

$$\overline{e}^{(k)}(\overline{e}_{(l)}) = \delta^{(k)}_{(l)} \tag{5.1.5}$$

в каждой точке. Формы $\overline{e}^{(k)}$ определены однозначно из (5.1.5).

Подобным образом мы можем определить координатную систему отсчёта $(\overline{\partial}_i, \overline{d}s^i)$. Эти системы отсчёта связаны отношением

$$\overline{e}_{(k)} = e^i_{(k)} \overline{\partial}_i \tag{5.1.6}$$

$$\overline{e}^{(k)} = e^{(k)}_i \overline{d}x^i \tag{5.1.7}$$

Из равенств (5.1.6), (5.1.7), (5.1.5) следует

$$e^{(k)}_i e^i_{(l)} = \delta^{(k)}_{(l)} \tag{5.1.8}$$

В частности, мы предположим, что мы имеем $GL(n)$-систему отсчёта (∂, dx), порождённый n дифференцируемыми векторными полями ∂_i и 1-формами dx^i, которые определяют поля базисов ∂ и кобазисов dx, дуальных им.

Если задана функция φ on V, то мы определяем **пфаффову производную**

$$d\varphi = \partial_i \varphi dx^i$$

5.2. Система отсчёта в пространстве событий

Начиная с этого раздела, мы будем рассматривать ортогональную систему отсчёта $\overline{\overline{e}} = (\overline{e}_{(k)}, \overline{e}^{(k)})$ в римановом пространстве с метрическим тензором g_{ij}. Согласно определению, в каждой точке риманова пространства векторные поля ортогональной системы отсчёта удовлетворяют соотношению

$$g_{ij} e^i_{(k)} e^j_{(l)} = g_{(k)(l)}$$

где $g_{(k)(l)} = 0$, если $(k) \neq (l)$, и $g_{(k)(k)} = 1$ или $g_{(k)(k)} = -1$ в зависимости от сигнатуры метрики.

Мы можем определить **систему отсчёта в пространстве событий** V как $O(3,1)$-систему отсчёта. Для нумерации векторов мы пользуемся индексом $k = 0, ..., 3$. Индекс $k = 0$ соответствует времени подобному векторному полю.

Замечание 5.2.1. Мы можем доказать существование системы отсчёта, пользуясь процедурой ортогонолизации в каждой точке пространства времени. Из той же процедуры мы видим, что координаты базиса непрерывно зависят от точки.

Непрерывное поле времениподобных векторов каждого базиса определяет конгруэнцию линий, касательных этому полю. Мы будем говорить, что каждая из этих линий является мировой линией наблюдателя или **локальной системой отсчёта**. Следовательно, система отсчёта - это множество локальных систем отсчёта. □

Мы определяем **преобразование Лоренца** как преобразование системы отсчёта

$$\begin{gathered}x'^i=f^i(x^0,x^1,x^2,x^3)\\ e'^i_{(k)}=a^i_jb^{(l)}_{(k)}e^j_{(l)}\end{gathered}\tag{5.2.1}$$

где

$$a^i_j=\frac{\partial x'^i}{\partial x'^j}$$

$$\delta_{(i)(l)}b^{(i)}_{(j)}b^{(l)}_{(k)}=\delta_{(j)(k)}$$

Мы будем называть преобразование a^i_j голономной частью и преобразование $b^{(l)}_{(k)}$ неголономной частью.

5.3. Неголономные координаты

Пусть $E(V,G,\pi)$ - главное расслоение, где V - дифференцируемое многообразие размерности n и класса не меньше, чем 2. Мы также положим, что G - группа симметрии касательной плоскости.

Мы определим форму связности на главном расслоении

$$\omega^L=\lambda^L_Nda^N+\Gamma^L_idx^i\quad\omega=\lambda_Nda^N+\Gamma dx\tag{5.3.1}$$

Мы называем функции Γ_i компонентами связности.

Если слой является группой $GL(n)$, то связность имеет вид

$$\begin{gathered}\omega^a_b=\Gamma^a_{bc}dx^c\\ \Gamma^A_i=\Gamma^a_{bi}\end{gathered}\tag{5.3.2}$$

Векторное поле $\overline{a}$ имеет два вида координат: **голономные координаты** a^i относительно координатной системы отсчёта и **неголономные координаты** $a^{(i)}$ относительно системы отсчёта. Эти два вида координат так же следуют отношению

$$a^i(x)=e^i_{(i)}(x)a^{(i)}(x)\tag{5.3.3}$$

в любой точке x.

Мы можем изучать параллельный перенос векторных полей, пользуясь любой формой координат. Так как (5.2.1) - линейное преобразование, мы ожидаем, что параллельный перенос в неголономных координатах имеет такое же представление, как в голономных координатах. Таким образом мы запишем

$$da^k=-\Gamma^k_{ij}a^idx^j$$

$$da^{(k)}=-\Gamma^{(k)}_{(i)(j)}a^{(i)}dx^{(j)}$$

Необходимо установить связь между **голономными координатами связности** Γ^k_{ij} и **неголономными координатами связности** $\Gamma^{(k)}_{(i)(j)}$

$$a^i(x+dx)=a^i(x)+da^i=a^i(x)-\Gamma^i_{kp}a^k(x)dx^p\tag{5.3.4}$$

$$a^{(i)}(x+dx)=a^{(i)}(x)+da^{(i)}=a^{(i)}(x)-\Gamma^{(i)}_{(k)(p)}a^{(k)}(x)dx^{(p)}\tag{5.3.5}$$

Предполагая (5.3.4), (5.3.5) и (5.3.3), мы получим

$$\begin{aligned}&a^i(x)-\Gamma^i_{kp}a^k(x)dx^p\\ &=e^i_{(i)}(x+dx)\left(a^{(i)}(x)-\Gamma^{(i)}_{(k)(p)}e^{(k)}_i(x)a^i(x)e^{(p)}_p(x)dx^p\right)\end{aligned}\tag{5.3.6}$$

Из (5.3.6) следует, что

$$\begin{aligned}\Gamma^{(i)}_{(k)(p)}e^{(k)}_i(x)e^{(p)}_p(x)a^i(x)dx^p &= a^{(i)}(x)-e^{(i)}_i(x+dx)\left(a^i(x)-\Gamma^i_{kp}a^k(x)dx^p\right)\\ &= a^i(x)e^{(i)}_i(x)-e^{(i)}_i(x+dx)\left(a^i(x)-\Gamma^i_{kp}a^k(x)dx^p\right)\\ &= a^i(x)\left(e^{(i)}_i(x)-e^{(i)}_i(x+dx)\right)+e^{(i)}_j(x)\Gamma^j_{ip}a^i(x)dx^p\\ &= e^{(i)}_j(x)\Gamma^j_{ip}a^i(x)dx^p-a^i(x)\frac{\partial e^{(i)}_i(x)}{\partial x^p}dx^p\\ &= \left(e^{(i)}_j(x)\Gamma^j_{ip}-\frac{\partial e^{(i)}_i(x)}{\partial x^p}\right)a^i(x)dx^p\end{aligned}$$

Так как $a^i(x)$ и dx^p произвольны, мы имеем

$$\Gamma^{(i)}_{(k)(p)}e^{(k)}_i(x)e^{(p)}_p(x)=e^{(i)}_j(x)\Gamma^j_{ip}-\frac{\partial e^{(i)}_i(x)}{\partial x^p}$$

$$\Gamma^{(i)}_{(k)(p)}=e^i_{(k)}e^p_{(p)}e^{(i)}_j\Gamma^j_{ip}-e^i_{(k)}e^p_{(p)}\frac{\partial e^{(i)}_i}{\partial x^p}\tag{5.3.7}$$

Мы определим символический оператор

$$\frac{\partial}{\partial x^{(p)}}=e^p_{(p)}\frac{\partial}{\partial x^p}\tag{5.3.8}$$

Из (5.1.8) следует

$$e^i_{(l)}\frac{\partial e^{(k)}_i}{\partial x^p}+e^{(k)}_i\frac{\partial e^i_{(l)}}{\partial x^p}=0\tag{5.3.9}$$

Подставим (5.3.8) и (5.3.9) в (5.3.7)

$$\Gamma^{(i)}_{(k)(p)}=e^i_{(k)}e^p_{(p)}e^{(i)}_j\Gamma^j_{ip}-e^{(i)}_i\frac{\partial e^i_{(k)}}{\partial x^{(p)}}\tag{5.3.10}$$

Равенство (5.3.10) показывает некоторое сходство между голономными и неголономными координатами. Мы определим символ $\partial_{(k)}$ для производной вдоль векторных полей $e_{(k)}$

$$\partial_{(k)}=e^i_{(k)}\partial_i$$

Тогда (5.3.10) принимает форму

$$\Gamma^{(k)}_{(l)(p)}=e^i_{(l)}e^r_{(p)}e^{(k)}_j\Gamma^j_{ir}-e^i_{(l)}\partial_{(p)}e^{(k)}_i$$

Следовательно, когда мы переходим от голономных координат к неголономным, преобразование связности подобно преобразованию при переходе от одной координатной системы к другой. Это приводит нас к модели неголономных координат.

Векторные поля $e_{(k)}$ порождают кривые, определённые дифференциальными уравнениями

$$e^j_{(l)}\frac{\partial t}{\partial x^j}=\delta^{(k)}_{(l)}$$

или символической системой

$$\frac{\partial t}{\partial x^{(l)}}=\delta^{(k)}_{(l)}\tag{5.3.11}$$

Имея в виду символическую систему (5.3.11), мы обозначим функционал t посредством $x^{(k)}$ и будем называть его **неголономной координатой**. Мы будем называть обычные координаты голономными.

Отсюда мы можем найти производную и получить

$$\frac{\partial x^{(i)}}{\partial x^k}=e^{(i)}_k \tag{5.3.12}$$

Необходимое и достаточное условие полной интегрируемости системы (5.3.12) - это равенство

$$c^{(i)}_{(k)(l)}=0$$

где мы вводим **объект неголономности**

$$c^{(i)}_{(k)(l)}=e^k_{(k)}e^l_{(l)}\left(\frac{\partial e^{(i)}_k}{\partial x^l}-\frac{\partial e^{(i)}_l}{\partial x^k}\right) \tag{5.3.13}$$

Следовательно, любая система отсчёта имеет n векторных полей

$$\partial_{(k)}=\frac{\partial}{\partial x^{(k)}}=e^i_{(k)}\partial_i$$

которые имеют коммутатор

$$\begin{aligned}[\partial_{(i)},\partial_{(j)}]=\left(e^k_{(i)}\partial_k e^l_{(j)}-e^k_{(j)}\partial_k e^l_{(i)}\right)e^{(m)}_l\partial_{(m)}=\\ e^k_{(i)}e^l_{(i)}\left(-\partial_k e^{(m)}_l+\partial_l e^{(m)}_l\right)\partial_{(m)}=c^{(m)}_{(k)(l)}\partial_{(m)}\end{aligned}$$

По той же причине мы определяем форму

$$dx^{(k)}=e^{(k)}=e^{(k)}_l dx^l$$

и внешний дифференциал этой формы имеет вид

$$\begin{aligned}d^2x^{(k)}&=d\left(e^{(k)}_i dx^i\right)\\ &=\left(\partial_j e^{(k)}_i-\partial_i e^{(k)}_j\right)dx^i\wedge dx^j\\ &=-c^{(m)}_{(k)(l)}dx^{(k)}\wedge dx^{(l)}\end{aligned} \tag{5.3.14}$$

Следовательно, когда $c^{(i)}_{(k)(l)}\neq 0$, дифференциал $dx^{(k)}$ не является точным дифференциалом и система (5.3.12) вообще говоря не может быть интегрируемой. Тем не менее, мы можем построить реальный объект, который моделирует решение. Мы можем изучать, как функция $x^{(i)}$ изменяется вдоль разных кривых. Мы будем называть такие координаты **неголономными координатами на многообразии**.

Замечание 5.3.1. Функция $x^{(i)}$ является натуральным параметром вдоль кривой потока векторных полей $\overline{e}_{(i)}$. Пример такой функции мы рассмотрим в разделе 7.1. Собственное время определено вдоль мировой линии локальной системы отсчёта. Как мы видели в замечании 5.2.1 всё пространство пронизано мировыми линиями локальных систем. Чтобы собственное время локальных систем могло быть временем системы отсчёта, мы ожидаем, что собственное время непрерывно изменяется от точки к точке. Для синхронизации часов локальных систем отсчёта мы пользуемся классической процедурой обмена световыми сигналами.

С точки зрения математики – это проблема интегрирования дифференциальной формы. Тем не менее, изменение функции вдоль петли имеет вид

$$\begin{aligned}\Delta x^{(i)} &= \oint dx^{(i)}\\ &= \int\int c^{(i)}_{(k)(l)}dx^{(k)}\wedge dx^{(l)}\\ &= \int\int c^{(i)}_{(k)(l)}e^{(k)}_k e^{(l)}_l dx^k\wedge dx^l\end{aligned}\tag{5.3.15}$$

На первый взгляд возникает ощущение, что нельзя синхронизировать часы, чего мы не наблюдаем на практике. Мы допускаем, что синхронизация возможна до тех пор, пока мы определяем время вдоль незамкнутых кривых. Синхронизация нарушается, когда мы пытаемся синхронизировать часы вдоль замкнутой кривой.

Это означает неоднозначность определения неголономной координаты. □

Начиная с этого места, мы не будем делать различия между голономными и неголономными координатами. Мы так же будем обозначать $b^{(l)}_{(k)}$ как $a^{-1}{}^{(l)}_{(k)}$ в преобразовании Лоренца (5.2.1).

Хотя форма $dx^{(k)}$ не является точным дифференциалом, нетрудно убедиться, что форма $d^2x^{(k)}$ является внешним дифференциалом формы $dx^{(k)}$. Следовательно,

$$d^3x^{(k)}=0\tag{5.3.16}$$

Мы можем представить внешний дифференциал формы, записанной в неголономных координатах, в виде

$$\begin{aligned}&d(a_{(i_1)...(i_n)}dx^{(i_1)}\wedge...\wedge dx^{(i_n)})\\ =&a_{(i_1)...(i_n),p}dx^p\wedge dx^{(i_1)}\wedge...\wedge dx^{(i_n)}\\ -&a_{(i_1)...(i_n)}ddx^{(i_1)}\wedge...\wedge dx^{(i_n)}-...-(-1)^{n-1}a_{(i_1)...(i_n)}dx^{(i_1)}\wedge...\wedge ddx^{(i_n)}\\ =&a_{(i_1)...(i_n),(p)}e^{(p)}_p e^p_{(r)}dx^{(r)}\wedge dx^{(i_1)}\wedge...\wedge dx^{(i_n)}\\ -&a_{(i_1)...(i_n)}c^{(i_1)}_{(p)(r)}dx^{(p)}\wedge dx^{(r)}\wedge...\wedge dx^{(i_n)}-...\\ -&(-1)^{n-1}a_{(i_1)...(i_n)}dx^{(i_1)}\wedge...\wedge c^{(i_n)}_{(p)(r)}dx^{(p)}\wedge dx^{(r)}\\ =&(a_{(i_1)...(i_n),(p)}-a_{(r)...(i_n)}c^{(r)}_{(p)(i_1)}-...-a_{(i_1)...(r)}c^{(r)}_{(p)(i_n)})dx^{(p)}\wedge dx^{(i_1)}\wedge...\wedge dx^{(i_n)}\end{aligned}$$

В случае формы $d^3x^{(k)}$ мы получим равенство

$$\begin{aligned}&d(c^{(k)}_{(i)(j)}dx^{(i)}\wedge dx^{(j)})\\ &=(c^{(k)}_{(i)(j),(p)}-c^{(k)}_{(r)(j)}c^{(r)}_{(p)(i)}-c^{(k)}_{(i)(r)}c^{(r)}_{(p)(j)})dx^{(p)}\wedge dx^{(i)}\wedge dx^{(j)}\end{aligned}\tag{5.3.17}$$

Из равенств (5.3.16) и (5.3.17) следует

$$(c^{(k)}_{(i)(j),(p)}-c^{(k)}_{(r)(j)}c^{(r)}_{(p)(i)}-c^{(k)}_{(i)(r)}c^{(r)}_{(p)(j)})dx^{(p)}\wedge dx^{(i)}\wedge dx^{(j)}=0\tag{5.3.18}$$

Нетрудно убедиться, что

$$\begin{aligned}&(-c^{(k)}_{(r)(j)}c^{(r)}_{(p)(i)}-c^{(k)}_{(i)(r)}c^{(r)}_{(p)(j)})dx^{(i)}\wedge dx^{(j)}\\ &=(-c^{(k)}_{(r)(j)}c^{(r)}_{(p)(i)}+c^{(k)}_{(r)(i)}c^{(r)}_{(p)(j)})dx^{(i)}\wedge dx^{(j)}\\ &=-2c^{(k)}_{(r)(j)}c^{(r)}_{(p)(i)}dx^{(i)}\wedge dx^{(j)}\end{aligned}\tag{5.3.19}$$

Подставив (5.3.19) в (5.3.18), получим

$$(c^{(k)}_{(i)(j),(p)}-2c^{(k)}_{(r)(j)}c^{(r)}_{(p)(i)})dx^{(p)}\wedge dx^{(i)}\wedge dx^{(j)}=0 \tag{5.3.20}$$

Из (5.3.20) следует

$$\begin{aligned}&c^{(k)}_{(i)(j),(p)}+c^{(k)}_{(j)(p),(i)}+c^{(k)}_{(p)(i),(j)}\\&=2c^{(k)}_{(r)(j)}c^{(r)}_{(p)(i)}+2c^{(k)}_{(r)(p)}c^{(r)}_{(i)(j)}+2c^{(k)}_{(r)(i)}c^{(r)}_{(j)(p)}\end{aligned} \tag{5.3.21}$$

Мы определим форму кривизны для связности (5.3.1)

$$\Omega=d\omega+[\omega,\omega]$$

$$\Omega^D=d\omega^D+C^D_{AB}\omega^A\wedge\omega^B=R^D_{ij}dx^i\wedge dx^j$$

где мы определяем объект кривизны

$$R^D_{ij}=\partial_i\Gamma^D_j-\partial_j\Gamma^D_i+C^D_{AB}\Gamma^A_i\Gamma^B_j+\Gamma^D_kc^k_{ij}$$

Форма кривизны для связности (5.3.2) is

$$\Omega^a_c=d\omega^a_c+\omega^a_b\wedge\omega^b_c \tag{5.3.22}$$

где мы определим объект кривизны

$$R^D_{ij}=R^a_{bij}=\partial_i\Gamma^a_{bj}-\partial_j\Gamma^a_{bi}+\Gamma^a_{ci}\Gamma^c_{bj}-\Gamma^a_{cj}\Gamma^c_{bi}+\Gamma^a_{bk}c^k_{ij} \tag{5.3.23}$$

Мы определим тензор Ричи

$$R_{bj}=R^a_{baj}=\partial_a\Gamma^a_{bj}-\partial_j\Gamma^a_{ba}+\Gamma^a_{ca}\Gamma^c_{bj}-\Gamma^a_{cj}\Gamma^c_{ba}+\Gamma^a_{bk}c^k_{aj}$$

Глава 6

Геометрический объект

6.1. Метрико-аффинное многообразие

В случае связности (5.3.2) мы определим **форму кручение**

$$T^a = d^2x^a + \omega^a_b \wedge dx^b \tag{6.1.1}$$

Из (5.3.2) следует

$$\omega^a_b \wedge dx^b = (\Gamma^a_{bc} - \Gamma^a_{cb}) dx^c \wedge dx^b \tag{6.1.2}$$

Подставляя (6.1.2) и (5.3.14) в (6.1.1) мы получим

$$T^a = T^a_{cb} dx^c \wedge dx^b = -c^a_{cb} dx^c \wedge dx^b + (\Gamma^a_{bc} - \Gamma^a_{cb}) dx^c \wedge dx^b \tag{6.1.3}$$

где мы определили **тензор кручение**

$$T^a_{cb} = \Gamma^a_{bc} - \Gamma^a_{cb} - c^a_{cb} \tag{6.1.4}$$

Коммутатор вторых производных имеет вид

$$u^\alpha_{;kl} - u^\alpha_{;lk} = R^\alpha_{\beta lk} u^\beta - T^p_{lk} u^\alpha_{;p} \tag{6.1.5}$$

Из (6.1.5) следует, что

$$\xi^a_{;cb} - \xi^a_{;bc} = R^a_{dbc} \xi^d - T^p_{bc} \xi^a_{;p} \tag{6.1.6}$$

В римановом пространстве мы have metric tensor g_{ij} и связность Γ^k_{ij}. Одно из свойств риманова пространства - это симметрия связности и равенство нулю ковариантной производной метрики. Это порождает тесную связь между метрикой и связностью. However связность is not necessarily symmetric и ковариантная производная метрического тензора может быть отлична от 0. В последнем случае мы вводим **неметричность**

$$Q^{ij}_k = g^{ij}_{;k} = g^{ij}_{,k} + \Gamma^i_{pk} g^{pj} + \Gamma^j_{pk} g^{ip} \tag{6.1.7}$$

Так как производная метрического тензора не равна 0, мы не можем поднимать или опускать индекс тензора внутри производной как мы это делаем в обычном римановом пространстве. Теперь эта операция принимает следующий вид

$$a^i_{;k} = g^{ij} a_{j;k} + g^{ij}_{;k} a_j$$

Это равенство для метрического тензора принимает следующий вид

$$g^{ab}_{;k} = -g^{ai} g^{bj} g_{ij;k}$$

Определение 6.1.1. Мы будем называть многообразие с кручением и неметричностью **метрико-аффинным многообразием** [12]. □

Если мы изучаем подмногообразие V_n многообразия V_{n+m}, мы видим, что имерсия порождает связность $\Gamma^{\alpha}_{\beta\gamma}$, которая связана со связностью в многообразии соотношением

$$\Gamma^{\alpha}_{\beta\gamma}e^{l}_{\alpha}=\Gamma^{l}_{mk}e^{m}_{\beta}e^{k}_{\gamma}+\frac{\partial e^{l}_{\beta}}{\partial u^{\gamma}}$$

Следовательно, не существует непрерывного вложения пространства с кручением в риманово пространство.

6.2. Геометрический смысл кручения

Предположим, что a и b - неколинеарные векторы в точке A (см. фиг. 6.2.1).

Мы проведём геодезическую L_a через точку A, используя вектор a как касательный вектор к L_a в точке A. Пусть τ - канонический параметр на L_a и

$$\frac{dx^k}{d\tau}=a^k$$

Мы перенесём вектор b вдоль геодезической L_a из точки A в точку B, определённую значением параметра $\tau=\rho>0$. Мы обозначим результат b'.

Мы проведём геодезическую $L_{b'}$ через точку B, используя вектор b' как касательный вектор к $L_{b'}$ в точке B. Пусть φ' - канонический параметр на $L_{b'}$ и

$$\frac{dx^k}{d\varphi'}=b'^k$$

Мы определим точку C на геодезической $L_{b'}$ значением параметра $\varphi'=\rho$

Мы проведём геодезическую L_b через точку A, используя вектор b как касательный вектор к L_b в точке A. Пусть φ - канонический параметр на L_b и

$$\frac{dx^k}{d\varphi}=b^k$$

Мы перенесём вектор a вдоль геодезической L_b из точки A в точку D, определённую значением параметра $\varphi=\rho>0$. Мы обозначим результат a'.

Мы проведём геодезическую $L_{a'}$ через точку D, используя вектор a' как касательный вектор к $L_{a'}$ в точке D. Пусть τ' - канонический параметр на $L_{a'}$ и

$$\frac{dx^k}{d\tau'}=a'^k$$

Мы определим точку E на геодезической $L_{a'}$ значением параметра $\tau'=\rho$

Формально линии AB и DE так же, как линии AD и BC, параллельны. Длины отрезков AB и DE равны так же, как длины отрезков AD и BC равны. Мы называем такую фигуру **параллелограммом**, построенным на векторах a и b с вершиной в точке A.

Теорема 6.2.1. *Предположим $CBADE$ - параллелограм с вершиной в точке A; тогда построенная фигура не будет замкнута [17]. Величина различия координат точек C и E равна поверхностному интегралу кручения над этим параллелограммом*[6.1]

$$\Delta_{CE}x^k=\iint T^k_{mn}dx^m\wedge dx^n$$

[6.1] Доказательство этого утверждения я нашёл в [22]

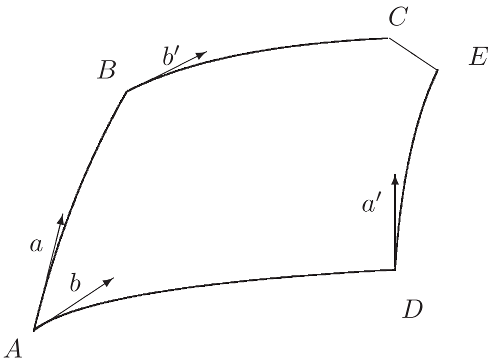

Рис. 6.2.1. Meaning of Torsion

Доказательство. Мы можем найти приращение координаты x^k вдоль геодезической в виде

$$\begin{aligned}\Delta x^k &= \frac{dx^k}{d\tau}\tau + \frac{1}{2}\frac{d^2x^k}{d\tau^2}\tau^2 + O(\tau^2) = \\ &= \frac{dx^k}{d\tau}\tau - \frac{1}{2}\Gamma^k_{mn}\frac{dx^m}{d\tau}\frac{dx^n}{d\tau}\tau^2 + O(\tau^2)\end{aligned}$$

где τ - канонический параметр и мы вычисляем производные и компоненты Γ^k_{mn} в начальной точке. В частности

$$\Delta_{AB}x^k = a^k\rho - \frac{1}{2}\Gamma^k_{mn}(A)a^m a^n\rho^2 + O(\rho^2)$$

вдоль геодезической L_a и

$$\Delta_{BC}x^k = b'^k\rho - \frac{1}{2}\Gamma^k_{mn}(B)b'^m b'^n\rho^2 + O(\rho^2) \tag{6.2.1}$$

вдоль геодезической $L_{b'}$. Здесь

$$b'^k = b^k - \Gamma^k_{mn}(A)b^m dx^n + O(dx) \tag{6.2.2}$$

результат параллельного переноса b^k из A в B и

$$dx^k = \Delta_{AB}x^k = a^k\rho \tag{6.2.3}$$

с точностью до малой первого порядка. Подставляя (6.2.3) в (6.2.2) и (6.2.2) в (6.2.1), мы получим

$$\Delta_{BC}x^k = b^k\rho - \Gamma^k_{mn}(A)b^m a^n\rho^2 - \frac{1}{2}\Gamma^k_{mn}(B)b^m b^n\rho^2 + O(\rho^2)$$

Общее приращение координаты x^K вдоль пути ABC имеет вид

$$\begin{aligned}\Delta_{ABC}x^k &= \Delta_{AB}x^k + \Delta_{BC}x^k = \\ &= (a^k + b^k)\rho - \Gamma^k_{mn}(A)b^m a^n\rho^2 - \\ &-\frac{1}{2}\Gamma^k_{mn}(B)b^m b^n\rho^2 - \frac{1}{2}\Gamma^k_{mn}(A)a^m a^n\rho^2 + O(\rho^2)\end{aligned} \tag{6.2.4}$$

Аналогично общее приращение координаты x^K вдоль пути ADE имеет вид

$$\begin{gathered}\Delta_{ADE}x^k=\Delta_{AD}x^k+\Delta_{DE}x^k=\\ =(a^k+b^k)\rho-\Gamma^k_{mn}(A)a^mb^n\rho^2-\\ -\frac{1}{2}\Gamma^k_{mn}(D)a^ma^n\rho^2-\frac{1}{2}\Gamma^k_{mn}(A)b^mb^n\rho^2+O(\rho^2)\end{gathered}\tag{6.2.5}$$

Из (6.2.4) и (6.2.5) следует, что

$$\begin{gathered}\Delta_{ADE}x^k-\Delta_{ABC}x^k=\\ =\Gamma^k_{mn}(A)b^ma^n\rho^2+\underline{\frac{1}{2}\Gamma^k_{mn}(B)b^mb^n\rho^2}_1+\underline{\frac{1}{2}\Gamma^k_{mn}(A)a^ma^n\rho^2}_2-\\ -\Gamma^k_{mn}(A)a^mb^n\rho^2-\underline{\frac{1}{2}\Gamma^k_{mn}(D)a^ma^n\rho^2}_2-\underline{\frac{1}{2}\Gamma^k_{mn}(A)b^mb^n\rho^2}_1+O(\rho^2)\end{gathered}$$

Для достаточно малого значения ρ подчёркнутые слагаемые взаимно уничтожаются и мы получаем интегральную сумму для выражения

$$\Delta_{ADE}x^k-\Delta_{ABC}x^k=\iint_\Sigma(\Gamma^k_{nm}-\Gamma^k_{mn})dx^m\wedge dx^n$$

Однако недостаточно найти разность

$$\Delta_{ADE}x^k-\Delta_{ABC}x^k$$

чтобы найти разность координат точек C и E. Координаты могут быть голономными и мы должны учесть, что координаты вдоль замкнутого пути изменяются (5.3.15)

$$\Delta x^k=\oint_{ECBADE}dx^k=-\iint_\Sigma c^k_{mn}dx^m\wedge dx^n$$

где c - объект неголономности.

Окончательно разность координат точек C и E имеет вид

$$\Delta_{CE}x^k=\Delta_{ADE}x^k-\Delta_{ABC}x^k+\Delta x^k=\iint_\Sigma(\Gamma^k_{nm}-\Gamma^k_{mn}-c^k_{mn})dx^m\wedge dx^n$$

Используя (6.1.4), мы доказали утверждение. □

6.3. Соотношение между связностью и метрикой

Сейчас мы хотим найти, как мы можем выразить связность, если известны метрика и кручение. Согласно определению

$$-Q_{kij}=g_{ij;k}=g_{ij,k}-\Gamma^p_{ik}g_{pj}-\Gamma^p_{jk}g_{pi}$$

$$-Q_{kij}=g_{ij,k}-\Gamma^p_{ik}g_{pj}-\Gamma^p_{kj}g_{pi}-S^p_{jk}g_{pi}$$

Перенесём производную g и кручение в левую часть.

$$g_{ij,k}+Q_{kij}-S^p_{jk}g_{pi}=\Gamma^p_{ik}g_{pj}+\Gamma^p_{kj}g_{pi}\tag{6.3.1}$$

Меняя порядок индексов, мы запишем ещё два уравнения

$$g_{jk,i}+Q_{ijk}-S^p_{ki}g_{pj}=\Gamma^p_{ji}g_{pk}+\Gamma^p_{ik}g_{pj}\tag{6.3.2}$$

$$g_{ki,j}+Q_{jki}-S^p_{ij}g_{pk}=\Gamma^p_{kj}g_{pi}+\Gamma^p_{ji}g_{pk}\tag{6.3.3}$$

Если мы вычтем равенство (6.3.1) из суммы равенств (6.3.2) и (6.3.1), то мы получим

$$g_{ki,j}+g_{jk,i}-g_{ij,k}+Q_{ijk}+Q_{jki}-Q_{kij}-S^p_{ij}g_{pk}-S^p_{ki}g_{pj}+S^p_{jk}g_{pi}=2\Gamma^p_{ji}g_{pk}$$

Окончательно мы получаем

$$\Gamma^p_{ji}=\frac{1}{2}g^{pk}(g_{ki,j}+g_{jk,i}-g_{ij,k}+Q_{ijk}+Q_{jki}-Q_{kij}-S^r_{ij}g_{rk}-S^r_{ki}g_{rj}+S^r_{jk}g_{ri})$$

Глава 7

Приложения в общей теории относительности

7.1. Синхронизация системы отсчёта

Так как наблюдатель пользуется ортогональным базисом для измерения в каждой точке, мы можем ожидать, что он также пользуется неголономными координатами. Мы так же видим, что координата времени вдоль локальной системы отсчёта является собственным временем наблюдателя. Так как система отсчёта состоит из локальных систем отсчёта, мы ожидаем, что их собственные времена синхронизированы.

Мы определяем **синхронизацию системы отсчёта** как неголономную координату времени.

Так как синхронизация - это неголономная координата, это порождает новые физические явления, которые мы должны иметь в виду, когда работаем с сильными гравитационными полями или выполняем точные измерения. Ниже я опишу одно из этих явлений.

7.2. Неголономные координаты в гравитационном поле центрального тела

Мы будем изучать наблюдателя, вращающегося вокруг центрального тела. Результаты оценочны и хороши, когда эксцентриситет около 0, так как мы будем изучать круговую орбиту. Тем не менее, основная цель этой оценки - показать, что мы имеем измеримое действие неголономности.

Мы пользуемся метрикой Шварцшильда для центрального тела

$$ds^2=\frac{r-r_g}{r}c^2dt^2-\frac{r}{r-r_g}dr^2-r^2d\phi^2-r^2sin^2\phi d\theta^2 \tag{7.2.1}$$

$$r_g=\frac{2Gm}{c^2}$$

G - гравитационная константа, m - масса центрального тела, c - скорость света.

Эта метрика имеет связность

$$\Gamma^0_{10}=\frac{r_g}{2r(r-r_g)}$$

$$\Gamma^1_{00}=\frac{r_g(r-r_g)}{2r^3}$$

$$\Gamma^1_{11}=-\frac{r_g}{2r(r-r_g)}$$

$$\Gamma^1_{22}=-(r-r_g)$$

$$\Gamma^1_{33}=-(r-r_g)\sin^2\phi$$

$$\Gamma^2_{12}=-\frac{1}{r}$$

$$\Gamma^2_{33} = -\sin\phi\cos\phi$$
$$\Gamma^3_{13} = -\frac{1}{r}$$
$$\Gamma^3_{23} = \cot\phi$$

Я хочу показать ещё один способ рассчёта эффекта Допплера. Эффект Допплера в гравитационном поле является хорошо изученным явлением, однако метод, который я покажу полезен, чтобы лучше понять физику гравитационного поля.

Мы можем описать движение фотона в гравитационном поле, пользуясь его волновым вектором k^i. Длина этого вектора равна 0; $\frac{k^i}{dx^i} = const$; траектория является геодезической, и следовательно, координаты этого вектора удовлетворяют дифференциальному уравнению

$$dk^i = -\Gamma^i_{kl} k^k dx^l \tag{7.2.2}$$

Мы ищем частоту ω света и k^0 пропорционально ω. Рассмотрим радиальное движение фотона. В этом случае волновой вектор имеет вид $k = (k^0, k^1, 0, 0)$. В центральном поле с метрикой (7.2.1) мы можем выбрать

$$k^0 = \frac{\omega}{c}\sqrt{\frac{r}{r - r_g}}$$
$$k^1 = \omega\sqrt{\frac{r - r_g}{r}}$$
$$dt = \frac{k^0}{k^1}dr = \frac{1}{c}\frac{r}{r - r_g}dr$$

Тогла уравнение (7.2.2) принимает вил

$$dk^0 = -\Gamma^0_{10}(k^1 dt + k^0 dr)$$
$$d\left(\frac{\omega}{c}\sqrt{\frac{r}{r - r_g}}\right) = -\frac{r_g\omega}{2r(r - r_g)}\left(\sqrt{\frac{r - r_g}{r}}\frac{r}{r - r_g} + \sqrt{\frac{r}{r - r_g}}\right)\frac{dr}{c}$$
$$d\omega\sqrt{\frac{r}{r - r_g}} - \omega\frac{1}{2}\sqrt{\frac{r - r_g}{r}}\frac{r_g dr}{(r - r_g)^2} = -\frac{r_g\omega dr}{r(r - r_g)}\sqrt{\frac{r}{r - r_g}}$$
$$\frac{d\omega}{\omega} = -\frac{r_g}{2r(r - r_g)}dr$$
$$\ln\omega = \frac{1}{2}\ln\frac{r}{r - r_g} + \ln C$$

Если мы определим $\omega = \omega_0$, когда $r = \infty$, мы получим окончательно

$$\omega = \omega_0\sqrt{\frac{r}{r - r_g}}$$

7.3. Задержка времени в гравитационном поле центрального тела

Мы изучим вращение вокруг центрального тела. Результаты являются только оценкой и хороши, когда эксцентриситет около 0, так как мы изучаем круговые орбиты. Основная задача этой оценки - показать, что мы имеем измеримый эффект неголоногомности.

Давайте сравним измерения двух наблюдателей. Первый наблюдатель зафиксировал своё положение в гравитационном поле

$$t=\frac{s}{c}\sqrt{\frac{r}{r-r_g}}$$

$$r=const, \phi=const, \theta=const$$

Второй наблюдатель вращается вокруг центра поля с постоянной скоростью

$$t=s\sqrt{\frac{r}{(r-r_g)c^2-\alpha^2r^3}}$$

$$\phi=\alpha\ s\sqrt{\frac{r}{(r-r_g)c^2-\alpha^2r^3}}$$

$$r=const, \theta=const$$

Мы выберем натуральный параметр для обоих наблюдателей.

Второй наблюдатель начинает своё путешествие, когда $s=0$, и завершает его, когда возвращается к той же точке пространства. Так как ϕ - циклическая координата, второй наблюдатель завершает своё путешествие, когда $\phi=2\pi$. В этой точке мы имеем

$$s_2=\frac{2\pi}{\alpha}\sqrt{\frac{(r-r_g)c^2-\alpha^2r^3}{r}}$$

$$t=T=\frac{2\pi}{\alpha}$$

Значение натурального параметра первого наблюдателя в этой точке

$$s_1=\frac{2\pi}{\alpha}c\sqrt{\frac{r-r_g}{r}}$$

Разница между их собственными временами

$$\Delta s=s_1-s_2=\frac{2\pi}{\alpha}\left(c\sqrt{\frac{r-r_g}{r}}-\sqrt{\frac{(r-r_g)c^2-\alpha^2r^3}{r}}\right)$$

Мы определили разницу в сантиметрах. Чтобы получить разницу в секундах, мы должны делить обе части на c.

$$\Delta t=\frac{2\pi}{\alpha}\left(\sqrt{\frac{r-r_g}{r}}-\sqrt{\frac{r-r_g}{r}-\frac{\alpha^2r^2}{c^2}}\right)$$

Перейдём к конкретным данным.

Масса Солнца равна $1.989_{10}33$ г, Земля вращается вокруг Солнца на расстоянии $1.495985_{10}13$ см от его центра напротяжение 365.257 дней. В этом случае мы получим $\Delta t=0.155750625445089$ сек. Меркурий вращается вокруг Солнца на расстоянии $5.791_{10}12$ см от его центра напротяжение 58.6462 дней. В этом случае мы получим $\Delta t=0.145358734930827$ сек.

Масса Земли равна $5.977_{10}27$ г. Космический корабль, который вращается вокруг Земли на расстоянии $6.916_{10}8$ см от его центра напротяжение 95.6 мин имеет $\Delta t = 1.8318_{10} - 6$ сек. Луна вращается вокруг Земли на расстоянии $3.84_{10}10$ см от его центра напротяжение 27.32 дней. В этом случае мы получим $\Delta t = 1.372_{10} - 5$ сек.

Для лучшего представления я поместил эти данные в таблицы 7.3.1, 7.3.2, и 7.3.3.

Так как часы первого наблюдателя в момент встречи показывают большее значение, он оценивает возраст второго наблюдателя старше реального. Так, если взять параметры орбиты S2 из [10], то мы получим, что за 10 Myr S2 будет моложе на .297 Myr по сравнению с оценкой неподвижного наблюдателя.

Таблица 7.3.1. Солнце - центральное тело, масса - $1.989_{10}33$ г

спутник	Земля	Меркурий
расстояние, см	$1.495985_{10}13$	$5.791_{10}12$
период вращения, дней	365.257	58.6462
задержка времени, сек	0.15575	0.14536

Таблица 7.3.2. Земля - центральное тело, масса - $5.977_{10}27$ г

спутник	космический корабль	Луна
расстояние, см	$6.916_{10}8$	$3.84_{10}10$
период вращения	95.6 mins	27.32 дней
задержка времени, сек	$1.8318_{10} - 6$	$1.372_{10} - 5$

Таблица 7.3.3. Sgr A - центральное тело, S2 - спутник

масса, $M_\odot$	$4.1_{10}6$	$3.7_{10}6$
расстояние, см	$1.4692_{10}16$	$1.1565_{10}16$
период вращения, лет	15.2	15.2
задержка времени, мин	164.7295	153.8326

7.4. Преобразование Лоренца в орбитальном направлении

Причина задержки времени, которую мы оценили выше, находится в преобразовании Лоренца между стационарным и вращающимся наблюдателями. Это значит, что мы имеем вращение в плоскости $(e_{(0)}, e_{(2)})$. Базисные вектора для стационарного наблюдателя - это

$$e_{(0)} = (\frac{1}{c}\sqrt{\frac{r}{r-a}}, 0, 0, 0)$$

$$e_{(2)} = (0, 0, \frac{1}{r}, 0)$$

Мы предположим, что для вращающегося наблюдателя изменение ϕ и t пропорциональны и

$$d\phi = \omega dt$$

Единичный вектор скорости в этом случае должен быть пропорционален вектору

$$(1, 0, \omega, 0) \tag{7.4.1}$$

Длина этого вектора

$$L^2 = \frac{r-a}{r}c^2 - r^2\omega^2 \tag{7.4.2}$$

Мы видим в этом выражении очень знакомый узор и ожидаем, что линейная скорость вращающегося наблюдателя $V = \omega r$.

Тем не менее, мы должны помнить, что мы выполняем измерение в гравитационном поле и координаты являются лишь ярлыками для разметки точек в пространстве времени. Это значит, что нам нужен корректный метод для измерения скорости.

Если объект движется от точки (t, ϕ) к точке $(t+dt, \phi+d\phi)$ мы должны измерить пространственные и временные интервалы между этими точками. Мы предположим, что в обеих точках имеются наблюдатели A и B. Наблюдатель A посылает одновременно световой сигнал B и мяч, который имеет угловую скорость ω. Каждый раз, когда наблюдатель B получает какую-то информацию, он посылает световой сигнал обратно A.

Когда A получает первый сигнал, он может оценить расстояние до B. Когда A получает второй сигнал, он может оценить, как долго двигался мяч до B.

Время путешествия света в обоих направлениях одно и тоже. Траектория света определена уравнением $ds^2 = 0$. В данном случае мы имеем

$$\frac{r-r_g}{r}c^2dt^2 - r^2d\phi^2 = 0$$

Когда свет возвращается к наблюдателю A, изменение t равно

$$dt = 2\sqrt{\frac{r}{r-r_g}}c^{-1}rd\phi$$

Собственное время первого наблюдателя равно

$$ds^2 = \frac{r-r_g}{r}c^2 4\frac{r}{r-r_g}c^{-2}r^2d\phi^2$$

Следовательно, пространственное расстояние

$$L = rd\phi$$

Когда объект, движущийся с угловой скорость ω, прибывает в B, изменение t равно $\frac{d\phi}{\omega}$. Собственное время в этой точке равно

$$ds^2 = \frac{r-r_g}{r}c^2d\phi^2\omega^{-2}$$

$$T = \sqrt{\frac{r-r_g}{r}}\omega^{-1}d\phi$$

Следовательно, наблюдатель A измеряет скорость

$$V = \frac{L}{T} = \sqrt{\frac{r}{r-r_g}}r\omega$$

Мы можем использовать скорость V как параметр преобразования Лоренца. Тогда длина (7.4.2) вектора (7.4.1) равна

$$L=\sqrt{\frac{r-r_g}{r}\left(c^2-\frac{r}{r-r_g}r^2\omega^2\right)}=\sqrt{\frac{r-r_g}{r}}c\sqrt{\left(1-\frac{V^2}{c^2}\right)}$$

Следовательно, временной орт движущегося наблюдателя

$$e'_{(0)}=\left(\frac{1}{L},0,\frac{\omega}{L},0\right)$$

$$e'_{(0)}=\left(\sqrt{\frac{r}{r-r_g}}c^{-1}\frac{1}{\sqrt{\left(1-\frac{V^2}{c^2}\right)}},0,\omega\sqrt{\frac{r}{r-r_g}}c^{-1}\frac{1}{\sqrt{\left(1-\frac{V^2}{c^2}\right)}},0\right)$$

Пространственный орт $e'_{(2)}=(A,0,B,0)$ ортогонален $e'_{(0)}$ и имеет длину -1. Следовательно,

$$\frac{r-r_g}{r}c^2\frac{1}{L}A-r^2\frac{\omega}{L}B=0 \tag{7.4.3}$$

$$\frac{r-r_g}{r}c^2A^2-r^2B^2=-1 \tag{7.4.4}$$

Мы можем выразить A из (7.4.3)

$$A=c^{-2}\frac{r}{r-r_g}r^2\omega B$$

и подставить в (7.4.4)

$$c^{-2}\frac{r}{r-r_g}r^4\omega^2B^2-r^2B^2=-1$$

$$\frac{V^2}{c^2}r^2B^2-r^2B^2=-1$$

Окончательно пространственный орт в направлении движения

$$e'_{(2)}=\left(c^{-2}\frac{r}{r-r_g}r\omega\frac{1}{\sqrt{1-\frac{V^2}{c^2}}},0,\frac{1}{r}\frac{1}{\sqrt{1-\frac{V^2}{c^2}}},0\right)$$

$$e'_{(2)}=\left(c^{-2}\sqrt{\frac{r}{r-r_g}}\frac{V}{\sqrt{1-\frac{V^2}{c^2}}},0,\frac{1}{r}\frac{1}{\sqrt{1-\frac{V^2}{c^2}}},0\right)$$

Следовательно, мы получим преобразование

$$\begin{aligned}
{e'}_{(0)}&=\frac{1}{\sqrt{1-\frac{V^2}{c^2}}}e_{(0)}+\frac{V}{c}\frac{1}{\sqrt{1-\frac{V^2}{c^2}}}e_{(2)}\\
{e'}_{(2)}&=\frac{V}{c}\frac{1}{\sqrt{1-\frac{V^2}{c^2}}}e_{(0)}+\frac{1}{\sqrt{1-\frac{V^2}{c^2}}}e_{(2)}
\end{aligned} \tag{7.4.5}$$

Если стационарный наблюдатель посылает свет в радиальном направлении, вращающийся наблюдатель наблюдает эффект Допплера

$$\omega'=\frac{\omega}{\sqrt{1-\frac{V^2}{c^2}}}$$

Мы должны добавить эффект Допплера для гравитационного поля, если движущийся наблюдатель получает радиальную волну, которая пришла из бесконечности. В этом случае эффект Допплера примет форму

$$\omega' = \sqrt{\frac{r}{r - r_g}} \frac{\omega}{\sqrt{1 - \frac{V^2}{c^2}}}$$

Мы приводим оценку для динамики звезды S2, которая вращается вокруг Sgr A в таблицах 7.4.1 и 7.4.2. Таблицы основаны на двух различных оценках для массы Sgr A.

Если мы возьмём массу Sgr $4.1_{10}6M_\odot$ [10], то в перицентре (расстояние $1.868_{10}15$ см) S2 имеет скорость 738767495.4 см/сек и эффект Допплера равен $\omega'/\omega = 1.000628$. В этом случае мы измеряем длину $2.16474\mu m$ для волны, излучаемой с длиной $2.1661\mu m$ (Br γ). В апоцентре (расстояние $2.769_{10}16cm$) S2 имеет скорость $49839993.28cm/s$ и эффект Допплера равен $\omega'/\omega = 1.0000232$. Мы измеряем длину $2.166049\mu m$ для той же самой волны. Разность между двумя измерениями длины волны равна $13.098\mathring{A}$.

Если мы возьмём массу Sgr $3.7_{10}6M_\odot$ [11], то в перицентре (расстояние $1.805_{10}15cm$) S2 имеет скорость $713915922.3cm/s$ и эффект Допплера равен $\omega'/\omega = 1.000587$. В этом случае мы измеряем длину $2.16483\mu m$ для волны, излучаемой с длиной $2.1661\mu m$ (Br γ). В апоцентре (расстояние $2.676_{10}16cm$) S2 имеет скорость $48163414.05cm/s$ и эффект Допплера равен $\omega'/\omega = 1.00002171$. Мы измеряем длину $2.1666052\mu m$ для той же самой волны. Разность между двумя измерениями длины волны равна $12.232\mathring{A}$.

Таблица 7.4.1. эффект Допплера на Земле для волны, излучаемой с S2; масса Sgr A равна $4.1_{10}6M_\odot$ [10]

	перицентр	апоцентр
расстояние см	$1.868_{10}15$	$2.769_{10}16$
скорость см/s	738767495.4	49839993.28
ω'/ω	1.000628	1.0000232
излучаемая волна $(Br\ \gamma)$ μm	2.1661	2.1661
наблюдаемая волна μm	2.16474	2.166049

Разность между двумя измерениями длины волны равна $13.098\mathring{A}$

Таблица 7.4.2. эффект Допплера на Земле для волны, излучаемой с S2; масса Sgr A равна $3.7_{10}6M_\odot$ [11]

	перицентр	апоцентр
расстояние см	$1.805_{10}15$	$2.676_{10}16$
скорость см/s	713915922.3	48163414.05
ω'/ω	1.000587	1.00002171
излучаемая волна $(Br\ \gamma)$ μm	2.1661	2.1661
наблюдаемая волна μm	2.16483	2.1666052

Разность между двумя измерениями длины волны равна $12.232\mathring{A}$

Разность между двумя измерениями длины волны в перицентре равна $0.9\mathring{A}$. Анализируя эти данные, мы приходим к заключению, что использование эффекта Допплера может помочь улучшить оценку массы Sgr A.

7.5. Преобразование Лоренца в радиальном направлении

Мы видим, что преобразование Лоренца в орбитальном направлении имеет знакомый вид. Очень интересно увидеть, какой вид это преобразование имеет в радиальном направлении. Мы начнём с процедуры измерения скорости и будем пользоваться координатной скоростью v

$$dr = vdt \tag{7.5.1}$$

Время путешествия света в обоих направлениях одно и тоже. Траектория света определена уравнением $ds^2 = 0$.

$$\frac{r-r_g}{r}c^2dt^2 - \frac{r}{r-r_g}dr^2 = 0$$

Когда свет возвращается к наблюдателю A, изменение t равно

$$dt = 2\frac{r}{r-r_g}c^{-1}dr$$

Собственное время наблюдателя A равно

$$\begin{aligned} ds^2 &= \frac{r-r_g}{r}c^2 4\frac{r^2}{r-{r_g}^2}c^{-2}dr^2 = \\ &= 4\frac{r}{r-r_g}dr^2 \end{aligned}$$

Следовательно, пространственное расстояние равно

$$L = \sqrt{\frac{r}{r-r_g}}dr$$

Когда объект, движущийся со скоростью (7.5.1), прибывает в B изменение t равно $\frac{dr}{v}$. Собственное время наблюдателя A в этой точке

$$ds^2 = \frac{r-r_g}{r}c^2dr^2v^{-2}$$

$$T = \sqrt{\frac{r-r_g}{r}}v^{-1}dr$$

Следовательно, наблюдатель A измеряет скорость

$$\begin{aligned} V = \frac{L}{T} &== \frac{\sqrt{\frac{r}{r-r_g}}dr}{\sqrt{\frac{r-r_g}{r}}v^{-1}dr} = \\ &= \frac{r}{r-r_g}v \end{aligned}$$

Теперь мы готовы найти преобразование Лоренца. Базисные вектора для стационарного наблюдателя - это

$$e_{(0)} = \left(\frac{1}{c}\sqrt{\frac{r}{r-r_g}}, 0, 0, 0\right)$$

$$e_{(1)}=\left(0,\sqrt{\frac{r-r_g}{r}},0,0\right)$$

Единичный вектор скорости должен быть пропорционален вектору

$$(1,v,0,0)\tag{7.5.2}$$

Длина этого вектора

$$\begin{aligned}L^2&=\frac{r-r_g}{r}c^2-\frac{r}{r-r_g}v^2=\\&=\frac{r-r_g}{r}c^2\left(1-\frac{V^2}{c^2}\right)\end{aligned}\tag{7.5.3}$$

Следовательно, временной орт движущегося наблюдателя

$$\begin{aligned}e'_{(0)}&=\left(\frac{1}{L},\frac{v}{L},0,0\right)=\\&=\left(\sqrt{\frac{r}{r-r_g}}c^{-1}\frac{1}{\sqrt{(1-\frac{V^2}{c^2})}},v\sqrt{\frac{r}{r-r_g}}c^{-1}\frac{1}{\sqrt{(1-\frac{V^2}{c^2})}},0,0\right)\\&=\left(\sqrt{\frac{r}{r-r_g}}c^{-1}\frac{1}{\sqrt{(1-\frac{V^2}{c^2})}},\frac{V}{c}\sqrt{\frac{r-r_g}{r}}\frac{1}{\sqrt{(1-\frac{V^2}{c^2})}},0,0\right)\end{aligned}$$

Пространственный орт $e'_{(1)}=(A,B,0,0)$ ортогонален $e'_{(0)}$ и имеет длину -1. Следовательно,

$$\frac{r-r_g}{r}c^2\frac{1}{L}A-\frac{r}{r-r_g}\frac{v}{L}B=0\tag{7.5.4}$$

$$\frac{r-r_g}{r}c^2A^2-\frac{r}{r-r_g}B^2=-1\tag{7.5.5}$$

Мы можем выразить A из (7.5.4)

$$A=c^{-2}\frac{r^2}{(r-r_g)^2}vB=c^{-2}\frac{r}{r-r_g}VB$$

и подставить в (7.5.5)

$$\frac{r-r_g}{r}c^2c^{-4}\frac{r^2}{(r-r_g)^2}V^2B^2-\frac{r}{r-r_g}B^2=-1$$

$$\frac{r}{r-r_g}B^2\left(1-\frac{V^2}{c^2}\right)=1$$

$$B^2=\frac{r-r_g}{r}\frac{1}{1-\frac{V^2}{c^2}}$$

$$B=\sqrt{\frac{r-r_g}{r}}\frac{1}{\sqrt{1-\frac{V^2}{c^2}}}$$

$$\begin{aligned}A&=c^{-2}\frac{r}{r-r_g}V\sqrt{\frac{r-r_g}{r}}\frac{1}{\sqrt{1-\frac{V^2}{c^2}}}\\&=c^{-2}V\sqrt{\frac{r}{r-r_g}}\frac{1}{\sqrt{1-\frac{V^2}{c^2}}}\end{aligned}$$

Окончательно пространственный орт в направлении движения

$$e'_{(1)}=\left(c^{-2}V\sqrt{\frac{r}{r-r_g}}\frac{1}{\sqrt{1-\frac{V^2}{c^2}}},\sqrt{\frac{r-r_g}{r}}\frac{1}{\sqrt{1-\frac{V^2}{c^2}}},0,0\right)$$

Следовательно, мы подучаем преобразование в знакомой форме

$$\begin{aligned}e'_{(0)}&=\frac{1}{\sqrt{1-\frac{V^2}{c^2}}}e_{(0)}+\frac{V}{c}\frac{1}{\sqrt{1-\frac{V^2}{c^2}}}e_{(1)}\\e'_{(1)}&=\frac{V}{c}\frac{1}{\sqrt{1-\frac{V^2}{c^2}}}e_{(0)}+\frac{1}{\sqrt{1-\frac{V^2}{c^2}}}e_{(1)}\end{aligned}\tag{7.5.6}$$

7.6. Эффект Допплера в пространстве Фридмана

Мы рассмотрим другой пример в пространстве Фридмана. Метрика пространства имеет вид

$$ds^2=a^2(dt^2-d\chi^2-\sin^2\chi(d\theta^2-\sin^2\theta d\phi^2))$$

для закрытой модели и

$$ds^2=a^2(dt^2-d\chi^2-\sinh^2\chi(d\theta^2-\sin^2\theta d\phi^2))$$

для открытой модели. Связность пространства (α, β принимают значения 1, 2, 3)

$$\begin{aligned}\Gamma^0_{00}&=\frac{\dot a}{a}\\\Gamma^0_{\alpha\alpha}&=-\frac{\dot a}{a^2}g_{\alpha\alpha}\\\Gamma^\alpha_{0\beta}&=\frac{\dot a}{a}\delta^\alpha_\beta\end{aligned}$$

Поскольку пространства однородно, для нас не имеет значение направление распространения света. В этом случае

$$dk^0=-\Gamma^0_{ij}k^ik^j$$

Так как k - изотропный вектор, касательный к его траектории, мы имеем

$$dx^\alpha=\frac{k^\alpha}{k^0}dt$$

Так как $k^0=\frac{\omega}{a}$, то

$$\begin{aligned}d\frac{\omega}{a}=-\frac{da}{a^2}\omega+\frac{da}{\omega a}g_{\alpha\alpha}k^\alpha k^\alpha&=-2\frac{da}{a^2}\omega\\a d\omega+\omega da&=0\\a\omega&=const\end{aligned}$$

Следовательно, когда a растёт, ω становится меньше и длина волны растёт.

a растёт, когда свет путешествует сквозь пространство время, и это приводит к красному смещению. Причиной наблюдаемого красного смещения является не разбегание галактик, а изменение геометрии.

Рассмотрим теперь как красное смещение меняется во времени, если начальная и конечная точки не движутся. Для простоты я буду изменять только χ. χ_1 - начальное значение и χ_2 - конечное значение. Так как на траектории света $dt = d\chi$, мы имеем

$$\chi = \chi_1 + t - t_1 \quad t_2 = \chi_2 - \chi_1 + t_1$$

Следовательно $a(t_1)\omega_1 = a(t_2)\omega_2$. Смещение Допплера имеет вид

$$K(t_1) = \frac{\omega_2}{\omega_1} = \frac{a(t_1)}{a(t_2)}$$

Если начальное время изменяется t'1 = t1 + dt, то K(t1 + dt) = a(t1 + dt) / a(t2 + dt) Производная K по времени имеет вид

$$\dot{K} = \frac{\dot{a}_1 a_2 - a_1 \dot{a}_2}{a_2^2}$$

Для замкнутого пространства $a = \cosh t$. Тогда $\dot{a} = \sinh t$.

$$\dot{K} = \frac{\sinh t_1 \cosh t_2 - \sinh t_2 \cosh t_1}{\cosh^2 t_2} = \frac{\sinh(t_1 - t_2)}{\cosh^2 t_2}$$

K уменьшается, когда t_1 увеличивается.

7.7. Преобразование Лоренца в пространстве Фридмана

Чтобы изучить преобразование Лоренца в пространстве Фридмана, я хочу воспользоваться метрикой в форме

$$ds^2 = c^2 dt^2 - a^2(d\chi^2 + b^2(d\theta^2 - \sin^2\theta d\phi^2))$$

У меня есть два наблюдателя. Один не движется и имеет скорость $(1, 0, 0, 0)$, а другой движется вдоль χ и его скорость имеет вид $C = (1, v, 0, 0)$, и мы положим $V = av$.

Метрика диагональна и координаты θ, ϕ не меняются. У нас возникает преобразование в плоскости t, χ.

Единичная скорость первого наблюдателя имеет вид

$$e_0 = (\frac{1}{c}, 0, 0, 0)$$

и вектор, ортогональный ей, имеет вид

$$e_1 = (0, \frac{1}{a}, 0, 0)$$

Длина вектора C имеет вид

$$L = \sqrt{c^2 - a^2 v^2} = c\sqrt{1 - \frac{V^2}{c^2}}$$

Следовательно, единичный вектор скорости второго наблюдателя имеет вид

$$e'_0 = (\frac{1}{L}, \frac{v}{L}, 0, 0)$$

Мы ищем вектор

$$e'_1 = (A, B, 0, 0)$$

который ортогонален вектору e'_0. Для этого мы имеем

$$c^2A^2-a^2B^2=-1 \tag{7.7.1}$$

$$c^2A\frac{1}{L}-a^2B\frac{v}{L}=0 \tag{7.7.2}$$

Мы получим из уравнения (7.7.2)

$$A=\frac{a^2}{c^2}vB \tag{7.7.3}$$

Мы подставим (7.7.3) в (7.7.1) и получим

$$B^2(\frac{a^4}{c^2}v^2-a^2)=-1$$

$$B=\frac{1}{a\sqrt{1-\frac{V^2}{c^2}}}$$

Следовательно базис второго наблюдателя имеет вид

$$e'_0=(\frac{1}{c\sqrt{1-\frac{V^2}{c^2}}},\frac{V}{ca\sqrt{1-\frac{V^2}{c^2}}},0,0)$$

$$e'_1=(\frac{V}{c^2\sqrt{1-\frac{V^2}{c^2}}},\frac{1}{a\sqrt{1-\frac{V^2}{c^2}}},0,0)$$

Теперь мы можем выразить e' через e

$$e'_0=\frac{1}{\sqrt{1-\frac{V^2}{c^2}}}e_0+\frac{V}{c}\frac{1}{\sqrt{1-\frac{V^2}{c^2}}}e_1$$

$$e'_1=\frac{V}{c}\frac{1}{\sqrt{1-\frac{V^2}{c^2}}}e_0+\frac{1}{\sqrt{1-\frac{V^2}{c^2}}}e_1$$

Глава 8

Геометрия метрико-аффинного многообразия

8.1. Кривая экстремальной длины

Существует два разных определения геодезической в римановом многообразии. Одно из них опирается на параллельный перенос. Мы будем называть соответствующую **кривую автопараллельной**. Другое определение опирается на длину траектории. Мы будем называть соответствующую **кривую экстремальной**. В метрико-аффинном многообразие эти линии имеют различные уравнения [17]. Уравнение автопараллельной кривой не меняе. Однако, уравнение экстремальной кривой меняется[8.1].

Теорема 8.1.1. *Пусть* $x^i = x^i(t, \alpha)$ *- кривая, зависящая от параметра* α*, с фиксированными точками при* $t = t_1$ *и* $t = t_2$*, и мы определяем её длину как*

$$s = \int_{t_1}^{t_2} \sqrt{g_{ij}\frac{dx^i}{dt}\frac{dx^j}{dt}}dt \tag{8.1.1}$$

Тогда

$$\delta s = \int_{t_1}^{t_2} \left(\frac{1}{2}\left(g_{kj;i} - g_{ik;j} - g_{ij;k}\right)\frac{dx^k}{ds}\frac{dx^j}{ds}ds - g_{ij}D\frac{dx^j}{ds}\right)\delta x^i \tag{8.1.2}$$

где δx^k *- изменение длины, когда* α *меняется.*

Доказательство. Имеем

$$\frac{ds}{dt} = \sqrt{g_{ij}\frac{dx^i}{dt}\frac{dx^j}{dt}}$$

и

$$\delta s = \int_{t_1}^{t_2} \frac{\delta\left(g_{ij}\frac{dx^i}{dt}\frac{dx^j}{dt}\right)}{2\frac{ds}{dt}}dt$$

Мы можем оценить знаменатель этой дроби

$$g_{ij,k}\delta x^k\frac{dx^i}{dt}\frac{dx^j}{dt} + 2g_{ij}\delta\frac{dx^i}{dt}\frac{dx^j}{dt} =$$

$$= g_{ij;k}\delta x^k dx^i dt\frac{dx^j}{dt} + 2g_{ij}\Gamma^i_{lk}\delta x^k\frac{dx^l}{dt}\frac{dx^j}{dt} + 2g_{ij}d\frac{\delta x^i}{dt}\frac{dx^j}{dt} =$$

$$= g_{ij;k}\delta x^k\frac{dx^i}{dt}\frac{dx^j}{dt} + 2g_{ij}\frac{D\delta x^i}{dt}\frac{dx^j}{dt}$$

и мы имеем

$$\delta s = \int_{t_1}^{t_2} \frac{g_{ij;k}\delta x^k dx^i\frac{dx^j}{dt} + 2g_{ij}D\delta x^i\frac{dx^j}{dt}}{2\frac{ds}{dt}}$$

[8.1] Чтобы вывести уравнение (8.1.3), я следую идеям, которые Рашевский [23] использовал для Риманова многообразия

$$= \int_{t_1}^{t_2} \left(\frac{1}{2} g_{ij;k}\delta x^k dx^i \frac{dx^j}{ds} + g_{ij} D\delta x^i \frac{dx^j}{ds}\right)$$

$$= \int_{t_1}^{t_2} \left(\frac{1}{2} g_{kj;i}\delta x^i \frac{dx^k}{ds} ds \frac{dx^j}{ds} + d\left(g_{ij}\delta x^i \frac{dx^j}{ds}\right) - g_{ij;k}\frac{dx^k}{ds} ds \frac{dx^j}{ds}\delta x^i - g_{ij} D\frac{dx^j}{ds}\delta x^i\right)$$

$$= \left(g_{ij}\delta x^i \frac{dx^j}{ds}\right)\Bigg|_{t_1}^{t_2} + \int_{t_1}^{t_2} \left(\frac{1}{2}\left(g_{kj;i} - g_{ij;k} - g_{ik;j}\right)\frac{dx^k}{ds}\frac{dx^j}{ds} ds - g_{ij} D\frac{dx^j}{ds}\right)\delta x^i$$

Первое слагаемое равно 0, так как точки, где $t = t_1$ и $t = t_2$, зафиксированы. Следовательно, мы доказали утверждение теоремы. □

Теорема 8.1.2. *Экстремальная кривая удовлетворяет уравнению*

$$\frac{D\frac{dx^l}{ds}}{ds} = \frac{1}{2} g^{il}\left(g_{kj;i} - g_{ik;j} - g_{ij;k}\right)\frac{dx^k}{ds}\frac{dx^j}{ds} \tag{8.1.3}$$

Доказательство. Чтобы найти линию экстремальной длины, мы воспользуемся функционалом (8.1.1). Так как $\delta s = 0$, то

$$\frac{1}{2}\left(g_{kj;i} - g_{ij;k} - g_{ik;j}\right)\frac{dx^k}{ds}\frac{dx^j}{ds} ds - g_{ij} D\frac{dx^j}{ds} = 0$$

следует из (8.1.2). □

Теорема 8.1.3. *Параллельный перенос вдоль экстремальной кривой сохраняет длину касательного вектора.*

Доказательство. Пусть

$$v^i = \frac{dx^i}{ds}$$

- касательный вектор к экстремальной кривой. Из теоремы 8.1.2 следует, что

$$\frac{Dv^l}{ds} = g^{il}\frac{1}{2}\left(g_{kj;i} - g_{ik;j} - g_{ij;k}\right) v^k v^j$$

и

$$\frac{Dg_{kl}v^k v^l}{ds} = \frac{Dg_{kl}}{ds} v^k v^l + g_{kl}\frac{Dv^k}{ds} v^l + g_{kl} v^k \frac{Dv^l}{ds} =$$

$$= g_{kl;p} v^p v^k v^l +$$

$$+ g_{kl} g^{ik}\frac{1}{2}\left(g_{rj;i} - g_{ir;j} - g_{ij;r}\right) v^r v^j v^l + g_{kl} v^k g^{il}\frac{1}{2}\left(g_{rj;i} - g_{ir;j} - g_{ij;r}\right) v^r v^j =$$

$$= g_{kl;p} v^p v^k v^l + \left(g_{rj;l} - g_{lr;j} - g_{lj;r}\right) v^r v^j v^l = 0$$

Следовательно длина вектора v^i не меняется вдоль экстремальной кривой. □

8.2. Перенос Френе

Все уравнения, которые мы выводили до сих пор, различны, однако они имеют нечто общее в своей структуре. Все эти уравнения выражают движение вдоль кривой и в их правой части мы можем видеть кривизну этой кривой.

По определению, кривизна кривой равна

$$\xi(s) = \left|\frac{D\frac{dx^l}{ds}}{ds}\right|$$

Следовательно, мы можем определить единичный вектор e_1 такой, что

$$\frac{D\frac{dx^l}{ds}}{ds}=\xi e_1^l$$

Знание переноса базиса вдоль кривой очень важно, так как это позволяет нам изучать как изменяется пространство время, когда наблюдатель совершает движение. Наша задача - найти уравнения, подобные переносу Френе в римановом пространстве. Мы строим сопутствующий базис ν_k^i таким же образом, как мы это делаем в римановом пространстве.

Векторы

$$\xi^i(t)=\frac{dx^i(t)}{dt},\quad \frac{D\xi^i}{dt},\quad ...\quad \frac{D^{n-1}\xi^i}{dt^{n-1}}$$

вообще говоря, линейно независимы. Мы называем плоскость, построенную на базе первых p векторов, p-ой соприкасающейся плоскостью R_p. Эта плоскость не зависит от выбора параметра t.

Наша следующая задача - построить ортогональный базис, который покажет нам, как кривая изменяется. Мы берём вектор $\nu_1^i\in R_1$ так, что он касателен к кривой. Мы берём вектор $\nu_p^i\in R_p$, $p>1$ так, что ν_p^i ортогонален R_{p-1}. Если исходная кривая не изотропна, то каждый ν_p^i также не изотропен и мы можем взять единичный вектор в том же направлении. Мы называем этот базис сопутствующим.

Теорема 8.2.1. **Перенос Френе** *в метрико-аффинном многообразии имеет вид*

$$\begin{aligned}\frac{D\nu_p^i}{dt}&=\frac{1}{2}g^{im}(g_{kl;m}-g_{km;l}-g_{ml;k})\nu_1^k\nu_p^l-\\&-\epsilon_p\epsilon_{p-1}\xi_{p-1}\nu_{p-1}^i+\xi_p\nu_{p+1}^i\\\epsilon_k&=sign(g_{pq}\nu_k^p\nu_k^q)\end{aligned}\tag{8.2.1}$$

Здесь ν_k^a *- вектор базиса, движущегося вдоль кривой,*

$$\epsilon_k=sign(g_{pq}\nu_k^p\nu_k^q)$$

Доказательство. Мы определяем векторы ν_k^a таким образом, что

$$\frac{D\nu_p^i}{dt}=\frac{1}{2}g^{im}(g_{kl;m}-g_{km;l}-g_{ml;k})\nu_1^k\nu_p^l+a_p^q\nu_q^i\tag{8.2.2}$$

где $a_p^q=0$, когда $q>p+1$. Теперь мы можем определить коэффициенты a_p^q. Если мы возьмём производную уравнения

$$g_{ij}\nu_p^i\nu_p^j=const$$

и подставим (8.2.2), мы получим уравнение

$$\begin{aligned}\frac{dg_{ij}\nu_a^i\nu_b^j}{ds}=\frac{Dg_{ij}}{ds}\nu_a^i\nu_b^j+g_{ij}\frac{D\nu_a^i}{ds}\nu_b^j+g_{ij}\nu_a^i\frac{D\nu_b^j}{ds}=\\=g_{ij;k}\nu_1^k\nu_a^i\nu_b^j+\\+g_{ij}(\frac{1}{2}g^{im}(g_{kl;m}-g_{km;l}-g_{ml;k})\nu_1^k\nu_a^l+a_a^q\nu_q^i)\nu_b^j+\\+g_{ij}\nu_a^i(\frac{1}{2}g^{jm}(g_{kl;m}-g_{km;l}-g_{ml;k})\nu_1^k\nu_b^l+a_b^q\nu_q^i)=\\=g_{ij;k}\nu_1^k\nu_a^i\nu_b^j+\end{aligned}$$

$$\begin{gathered}
+g_{ij}\frac{1}{2}g^{im}(g_{kl;m}-g_{km;l}-g_{ml;k})\nu_1^k\nu_a^l\nu_b^j+g_{ij}a_a^q\nu_q^i\nu_b^j+\\
+g_{ij}\nu_a^i\frac{1}{2}g^{jm}(g_{kl;m}-g_{km;l}-g_{ml;k})\nu_1^k\nu_b^l+g_{ij}\nu_a^i a_b^q\nu_q^i=\\
=\frac{1}{2}\nu_1^k\nu_a^i\nu_b^j(2g_{ij;k}+g_{ki;j}-g_{kj;i}-g_{ji;k}+g_{kj;i}-g_{ki;j}-g_{ij;k})+\\
+\epsilon_b a_a^b++\epsilon_a a_b^a=0
\end{gathered}$$

$a_p^q=0$, когда $q>p+1$ по определению. Следовательно $a_p^q=0$, когда $q<p+1$. Полагая $\xi_p=a_p^{p+1}$, мы получим

$$a_{p+1}^p=-\epsilon_p\epsilon_{p+1}\xi_p$$

Когда $q=p$, мы получим

$$a_{p,p}=0$$

Мы получим (8.2.1), когда подставим a_p^q в (8.2.2). □

8.3. Производная Ли

Векторное поле ξ^k на многообразии порождает инфинитезимальное преобразование

$$x'^k=x^k+\epsilon\xi^k \tag{8.3.1}$$

которое ведёт к **производной Ли**. Производная Ли говорит нам, как объект изменяется, когда мы движемся вдоль векторного поля.

Теорема 8.3.1. **Производная Ли метрики** *имеет вид*

$$\mathcal{L}_\xi g_{ab}=\xi^k_{;<a>}g_{kb}+\xi^k_{;<b>}g_{ka}+T^l_{ka}g_{lb}\xi^k+T^l_{kb}g_{la}\xi^k+g_{ab;<k>}\xi^k \tag{8.3.2}$$

Доказательство. Мы начнём с преобразования (8.3.1). Тогда

$$g_{ab}(x')=g_{ab}(x)+g_{ab,c}\epsilon\xi^c$$

$$\begin{aligned}
g'_{ab}(x')&=\frac{\partial x^c}{\partial x'^a}\frac{\partial x^d}{\partial x'^b}g_{cd}(x)\\
&=g_{ab}-\epsilon\xi^c_{,a}g_{cb}-\epsilon\xi^c_{,b}g_{ac}
\end{aligned}$$

Согласно определению производной Ли, мы имеем

$$\begin{aligned}
\mathcal{L}_\xi g_{ab}&=g_{ab}(x')-g'_{ab}(x')\\
&=g_{ab,c}\epsilon\xi^c+\epsilon\xi^c_{,a}g_{cb}+\epsilon\xi^c_{,b}g_{ac}\\
&=(g_{ab;<c>}+\overline{\Gamma^d_{ac}}g_{db}+\overline{\Gamma^d_{bc}}g_{ad})\epsilon\xi^c\\
&+\epsilon(\xi^c_{;<a>}-\overline{\Gamma^c_{da}}\xi^d)g_{cb}+\epsilon(\xi^c_{;<b>}-\overline{\Gamma^c_{db}}\xi^d)g_{ac}
\end{aligned}$$

$$\begin{aligned}
\mathcal{L}_\xi g_{ab}&=g_{ab;<c>}\xi^c+\overline{\Gamma^d_{ac}}g_{db}\xi^c+\overline{\Gamma^d_{bc}}g_{ad}\xi^c\\
&+\xi^c_{;<a>}g_{cb}-\overline{\Gamma^c_{da}}\xi^d g_{cb}+\xi^c_{;<b>}g_{ac}-\overline{\Gamma^c_{db}}\xi^d g_{ac}
\end{aligned} \tag{8.3.3}$$

(8.3.2) следует из (8.3.3) и (6.1.4). □

Теорема 8.3.2. **Производная Ли связности** *имеет вид*

$$\mathcal{L}_\xi\Gamma^a_{bc}=-\overline{R^a_{bcp}}\xi^p-T^a_{bp;<c>}\xi^p-T^a_{be}\xi^e_{;<c>}+\xi^a_{;<bc>} \tag{8.3.4}$$

Доказательство. Мы начнём с преобразования (8.3.1). Тогда

$$\begin{aligned}\overline{\Gamma^a_{bc}(x')}&=\Gamma^a_{bc}(x')+A^a_{bc}(x')\\&=\Gamma^a_{bc}(x)+\Gamma^a_{bc,p}\epsilon\xi^p+A^a_{bc}(x)+A^a_{bc,p}\epsilon\xi^p\\&=\overline{\Gamma^a_{bc}(x)}+\overline{\Gamma^a_{bc,p}}\epsilon\xi^p\end{aligned}\tag{8.3.5}$$

$$\begin{aligned}\overline{\Gamma'^a_{bc}}(x')&=\Gamma'^a_{bc}(x')+A'^a_{bc}(x')\\&=\frac{\partial x'^a}{\partial x^e}\frac{\partial x^f}{\partial x'^b}\frac{\partial x^g}{\partial x'^c}\Gamma^e_{fg}(x)+\frac{\partial x'^a}{\partial x^e}\frac{\partial^2x^e}{\partial x'^b\partial x'^c}+\frac{\partial x'^a}{\partial x^e}\frac{\partial x^f}{\partial x'^b}\frac{\partial x^g}{\partial x'^c}A^e_{fg}(x)\\&=\Gamma^a_{bc}+\epsilon\xi^a_{,e}\Gamma^e_{bc}-\epsilon\xi^e_{,b}\Gamma^a_{ec}-\epsilon\xi^e_{,c}\Gamma^a_{be}+(\delta^a_e+\epsilon\xi^a_{,e})(-\epsilon\xi^e_{,cb}))\\&+A^a_{bc}+\epsilon\xi^a_{,e}A^e_{bc}-\epsilon\xi^e_{,b}A^a_{ec}-\epsilon\xi^e_{,c}A^a_{be}\end{aligned}$$

$$\overline{\Gamma'^a_{bc}}(x')=\overline{\Gamma^a_{bc}}+\epsilon\xi^a_{,e}\overline{\Gamma^e_{bc}}-\epsilon\xi^e_{,b}\overline{\Gamma^a_{ec}}-\epsilon\xi^e_{,c}\overline{\Gamma^a_{be}}-\epsilon\xi^a_{,cb}\tag{8.3.6}$$

По определению

$$\xi^a_{;<e>}=\xi^a_{,e}+\overline{\Gamma^a_{pe}}\xi^p$$

$$\xi^a_{,e}=\xi^a_{;<e>}-\overline{\Gamma^a_{pe}}\xi^p\tag{8.3.7}$$

$$\begin{aligned}\xi^a_{;<ef>}&=\xi^a_{;<e>,f}+\overline{\Gamma^a_{pf}}\xi^p_{;<e>}-\overline{\Gamma^p_{ef}}\xi^a_{;<p>}\\&=\xi^a_{,ef}+\overline{\Gamma^a_{pe,f}}\xi^p+\overline{\Gamma^a_{pe}}\xi^p_{,f}+\overline{\Gamma^a_{pf}}\xi^p_{;<e>}-\overline{\Gamma^p_{ef}}\xi^a_{;<p>}\\&=\xi^a_{,ef}+\overline{\Gamma^a_{pe,f}}\xi^p+\overline{\Gamma^a_{pe}}\xi^p_{;<f>}-\overline{\Gamma^a_{pe}}\,\overline{\Gamma^p_{rf}}\xi^r+\overline{\Gamma^a_{pf}}\xi^p_{;<e>}-\overline{\Gamma^p_{ef}}\xi^a_{;<p>}\end{aligned}$$

$$\xi^a_{,ef}=\xi^a_{;<ef>}-\overline{\Gamma^a_{pe,f}}\xi^p-\overline{\Gamma^a_{pe}}\xi^p_{;<f>}+\overline{\Gamma^a_{pe}}\,\overline{\Gamma^p_{rf}}\xi^r-\overline{\Gamma^a_{pf}}\xi^p_{;<e>}+\overline{\Gamma^p_{ef}}\xi^a_{;<p>}\tag{8.3.8}$$

Мы подставим (8.3.8) и (8.3.7) в (8.3.6) и получим

$$\begin{aligned}&\overline{\Gamma'^a_{bc}}(x')\\&=\overline{\Gamma^a_{bc}}+\epsilon(\underline{\xi^a_{;<e>}}_{4:T}-\overline{\Gamma^a_{pe}}\xi^p)\overline{\Gamma^e_{bc}}-\epsilon(\underline{\xi^e_{;<b>}}_{2}-\underline{\overline{\Gamma^e_{pb}}\xi^p}_{1})\overline{\Gamma^a_{ec}}-\epsilon(\underline{\xi^e_{;<c>}}_{3:T}-\overline{\Gamma^e_{pc}}\xi^p)\overline{\Gamma^a_{be}}\\&-\epsilon(\xi^a_{;<cb>}-\overline{\Gamma^a_{pc,b}}\xi^p-\underline{\overline{\Gamma^a_{pc}}\xi^p_{;<b>}}_{2}+\underline{\overline{\Gamma^a_{pc}}\,\overline{\Gamma^p_{rb}}\xi^r}_{1}-\underline{\overline{\Gamma^a_{pb}}\xi^p_{;<c>}}_{3}+\underline{\overline{\Gamma^p_{cb}}\xi^a_{;<p>}}_{4})\end{aligned}$$

(8.3.9)

$$\overline{\Gamma'^a_{bc}}(x')=\overline{\Gamma^a_{bc}}+\epsilon(\xi^a_{;<e>}T^e_{cb}-\overline{\Gamma^a_{pe}}\xi^p\overline{\Gamma^e_{bc}}+\xi^e_{;<c>}T^a_{be}+\overline{\Gamma^e_{pc}}\xi^p\overline{\Gamma^a_{be}}-\xi^a_{;<cb>}+\overline{\Gamma^a_{pc,b}}\xi^p)$$

Согласно определению производной Ли, мы имеем, пользуясь (8.3.5) и (8.3.9),

$$\begin{aligned}\mathcal{L}_\xi\overline{\Gamma^a_{bc}}&=(\overline{\Gamma^a_{bc}}(x')-\overline{\Gamma'^a_{bc}}(x'))\epsilon^{-1}\\&=(\overline{\Gamma^a_{bc}}+\overline{\Gamma^a_{bc,p}}\epsilon\xi^p\\&-\overline{\Gamma^a_{bc}}-\epsilon(\xi^a_{;<e>}T^e_{cb}-\overline{\Gamma^a_{pe}}\xi^p\overline{\Gamma^e_{bc}}+\xi^e_{;<c>}T^a_{be}+\overline{\Gamma^e_{pc}}\xi^p\overline{\Gamma^a_{be}}-\xi^a_{;<cb>}+\overline{\Gamma^a_{pc,b}}\xi^p))\epsilon^{-1}\end{aligned}$$

(8.3.10)

$$\mathcal{L}_\xi\overline{\Gamma^a_{bc}}=\overline{\Gamma^a_{bc,p}}\xi^p-\xi^a_{;<e>}T^e_{cb}+\overline{\Gamma^a_{pe}}\xi^p\overline{\Gamma^e_{bc}}-\xi^e_{;<c>}T^a_{be}-\overline{\Gamma^e_{pc}}\xi^p\overline{\Gamma^a_{be}}+\xi^a_{;<cb>}-\overline{\Gamma^a_{pc,b}}\xi^p$$

Из (8.3.10) и (6.1.4) следует, что

$$\begin{aligned}
\mathcal{L}_\xi\overline{\Gamma^a_{bc}} = {} & \overline{\Gamma^a_{cb,p}}\xi^p-\overline{\Gamma^a_{cp,b}}\xi^p\\
&+\underline{\overline{\Gamma^a_{pe}\Gamma^e_{bc}}\xi^p}_{3:T}-\underline{\overline{\Gamma^a_{ep}\Gamma^e_{bc}}\xi^p}_{3}+\underline{\overline{\Gamma^a_{ep}\Gamma^e_{bc}}\xi^p}_{4:T}-\underline{\overline{\Gamma^a_{ep}\Gamma^e_{cb}}\xi^p}_{4}+\overline{\Gamma^a_{ep}\Gamma^e_{cb}}\xi^p\\
&-\underline{\overline{\Gamma^e_{pc}\Gamma^a_{be}}\xi^p}_{1:T}+\underline{\overline{\Gamma^e_{pc}\Gamma^a_{eb}}\xi^p}_{1}-\underline{\overline{\Gamma^a_{eb}\Gamma^e_{pc}}\xi^p}_{2:T}+\underline{\overline{\Gamma^a_{eb}\Gamma^e_{cp}}\xi^p}_{2}-\overline{\Gamma^a_{eb}\Gamma^e_{cp}}\xi^p\\
&-\xi^a_{;<e>}T^e_{cb}-\xi^e_{;<c>}T^a_{be}+\xi^a_{;<cb>}-T^a_{cp,b}\xi^p-T^a_{bc,p}\xi^p
\end{aligned}$$

$$\begin{aligned}
\mathcal{L}_\xi\overline{\Gamma^a_{bc}} = {} & \overline{\Gamma^a_{cb,p}}\xi^p-\overline{\Gamma^a_{cp,b}}\xi^p+\overline{\Gamma^a_{ep}\Gamma^e_{cb}}\xi^p-\overline{\Gamma^a_{eb}\Gamma^e_{cp}}\xi^p\\
&-\underline{T^a_{pe}\overline{\Gamma^e_{bc}}\xi^p}_{4:T}-\underline{\overline{\Gamma^a_{ep}}T^e_{bc}\xi^p}_{1}-\underline{\overline{\Gamma^e_{pc}}T^a_{eb}\xi^p}_{3:T}-\underline{\overline{\Gamma^a_{eb}}T^e_{cp}\xi^p}_{2}\\
&-\xi^a_{;<e>}T^e_{cb}-\xi^e_{;<c>}T^a_{be}+\xi^a_{;<cb>}\\
&-T^a_{cp;<b>}\xi^p+\underline{\overline{\Gamma^a_{eb}}T^e_{cp}\xi^p}_{2}-\underline{\overline{\Gamma^e_{cb}}T^a_{ep}\xi^p}_{4}-\underline{\overline{\Gamma^e_{pb}}T^a_{ce}\xi^p}_{5:T}\\
&-T^a_{bc;<p>}\xi^p+\underline{\overline{\Gamma^a_{ep}}T^e_{bc}\xi^p}_{1}-\underline{\overline{\Gamma^e_{bp}}T^a_{ec}\xi^p}_{5}-\underline{\overline{\Gamma^e_{cp}}T^a_{be}\xi^p}_{3}
\end{aligned}\tag{8.3.11}$$

из (8.3.11) и (5.3.23) следует, что

$$\begin{aligned}
\mathcal{L}_\xi\overline{\Gamma^a_{bc}} = {} & \overline{R^a_{cpb}}\xi^p\\
&-T^e_{cp}T^a_{eb}\xi^p-T^a_{pe}T^e_{cb}\xi^p-T^e_{bp}T^a_{ce}\xi^p\\
&-\xi^a_{;<e>}T^e_{cb}-\xi^e_{;<c>}T^a_{be}+\xi^a_{;<cb>}\\
&-T^a_{cp;<b>}\xi^p-T^a_{bc;<p>}\xi^p
\end{aligned}$$

$$\begin{aligned}
\mathcal{L}_\xi\overline{\Gamma^a_{bc}} = {} & -\overline{R^a_{cbp}}\xi^p\\
&-(T^a_{eb}T^e_{cp}+T^a_{ep}T^e_{bc}+T^a_{ec}T^e_{pb})\xi^p\\
&-\xi^a_{;<e>}T^e_{cb}-\xi^e_{;<c>}T^a_{be}+\xi^a_{;<cb>}\\
&-T^a_{cp;<b>}\xi^p-T^a_{bc;<p>}\xi^p
\end{aligned}\tag{8.3.12}$$

из (8.3.12) и (8.4.1) следует, что

$$\begin{aligned}
\mathcal{L}_\xi\overline{\Gamma^a_{bc}} = {} & \underline{\overline{R^a_{cpb}}\xi^p}_{1}\\
&-\overline{R^a_{bcp}}\xi^p-\overline{R^a_{pbc}}\xi^p-\underline{\overline{R^a_{cpb}}\xi^p}_{1}\\
&+\underline{T^a_{bc:<p>}\xi^p}_{3}+T^a_{pb;<c>}\xi^p+\underline{T^a_{cp;<b>}\xi^p}_{2}\\
&-\xi^a_{;<e>}T^e_{cb}-\xi^e_{;<c>}T^a_{be}+\xi^a_{;<cb>}\\
&-\underline{T^a_{cp;<b>}\xi^p}_{2}-\underline{T^a_{bc;<p>}\xi^p}_{3}
\end{aligned}$$

$$\mathcal{L}_\xi\overline{\Gamma^a_{bc}}=-\overline{R^a_{bcp}}\xi^p-\overline{R^a_{pbc}}\xi^p-T^a_{bp;<c>}\xi^p-\xi^a_{;<e>}T^e_{cb}-\xi^e_{;<c>}T^a_{be}+\xi^a_{;<cb>}\tag{8.3.13}$$

Мы подставим (6.1.6) в (8.3.13)

$$\mathcal{L}_\xi\overline{\Gamma^a_{bc}}=-\overline{R^a_{bcp}}\xi^p-T^a_{bp;<c>}\xi^p-\underline{T^e_{cb}\xi^a_{;<e>}}_{1}-T^a_{be}\xi^e_{;<c>}-\underline{T^p_{bc}\xi^a_{;<p>}}_{1}+\xi^a_{;<bc>}\tag{8.3.14}$$

(8.3.4) следует из (8.3.14). □

Следствие 8.3.3. *Производная Ли связности в римановом пространстве имеет вид*

$$\mathcal{L}_\xi\Gamma^a_{bc}=-R^a_{cbp}\xi^p+\xi^a_{;cb}\tag{8.3.15}$$

Доказательство. (8.3.15) следует из (8.3.4), когда $T^a_{bc}=0$ □

8.4. Тождество Бианки

Теорема 8.4.1. *Первое тождество Бианки для пространства с кручением имеет вид*

$$\begin{aligned}&T^k_{ij;<m>}+T^k_{mi;<j>}+T^k_{jm;<i>}+T^k_{pi}T^p_{jm}+T^k_{pm}T^p_{ij}+T^k_{pj}T^p_{mi}\\&=\overline{R^k_{jmi}}+\overline{R^k_{ijm}}+\overline{R^k_{mij}}\end{aligned}\tag{8.4.1}$$

Доказательство. Дифференциал равенства (6.1.3) имеет вид

$$T^k_{ij,m}\theta^m\wedge\theta^i\wedge\theta^j=(\overline{\Gamma^k_{ji,m}}-\overline{\Gamma^k_{ij,m}})\theta^m\wedge\theta^i\wedge\theta^j$$

Две формы равны, когда их коэффициенты равны. Следовательно

$$T^k_{ij,m}+T^k_{mi,j}+T^k_{jm,i}=\overline{\Gamma^k_{ji,m}}-\overline{\Gamma^k_{ij,m}}+\overline{\Gamma^k_{im,j}}-\overline{\Gamma^k_{mi,j}}+\overline{\Gamma^k_{mj,i}}-\overline{\Gamma^k_{jm,i}}$$

Мы выразим производные, пользуясь ковариантными производными, и изменим порядок слагаемых

$$\begin{aligned}&T^k_{ij;<m>}-\underline{\overline{\Gamma^k_{pm}}T^p_{ij}}_{4}+\underline{\overline{\Gamma^p_{im}}T^k_{pj}}_{2:T}-\underline{\overline{\Gamma^p_{jm}}T^k_{pi}}_{3:T}\\&+T^k_{mi;<j>}-\underline{\overline{\Gamma^k_{pj}}T^p_{mi}}_{5}+\underline{\overline{\Gamma^p_{mj}}T^k_{pi}}_{3}-\underline{\overline{\Gamma^p_{ij}}T^k_{pm}}_{1:T}\\&+T^k_{jm;<i>}-\underline{\overline{\Gamma^k_{pi}}T^p_{jm}}_{6}+\underline{\overline{\Gamma^p_{ji}}T^k_{pm}}_{1}-\underline{\overline{\Gamma^p_{mi}}T^k_{pj}}_{2}\\&=\overline{\Gamma^k_{ji,m}}-\overline{\Gamma^k_{jm,i}}+\overline{\Gamma^k_{pm}}\,\overline{\Gamma^p_{ji}}-\overline{\Gamma^k_{pi}}\,\overline{\Gamma^p_{jm}}-\underline{\overline{\Gamma^k_{pm}}\,\overline{\Gamma^p_{ji}}}_{4}+\underline{\overline{\Gamma^k_{pi}}\,\overline{\Gamma^p_{jm}}}_{6}\\&+\overline{\Gamma^k_{im,j}}-\overline{\Gamma^k_{ij,m}}+\overline{\Gamma^k_{pj}}\,\overline{\Gamma^p_{im}}-\overline{\Gamma^k_{pm}}\,\overline{\Gamma^p_{ij}}-\underline{\overline{\Gamma^k_{pj}}\,\overline{\Gamma^p_{im}}}_{5}+\underline{\overline{\Gamma^k_{pm}}\,\overline{\Gamma^p_{ij}}}_{4}\\&+\overline{\Gamma^k_{mj,i}}-\overline{\Gamma^k_{mi,j}}+\overline{\Gamma^k_{pi}}\,\overline{\Gamma^p_{mj}}-\overline{\Gamma^k_{pj}}\,\overline{\Gamma^p_{mi}}-\underline{\overline{\Gamma^k_{pi}}\,\overline{\Gamma^p_{mj}}}_{6}+\underline{\overline{\Gamma^k_{pj}}\,\overline{\Gamma^p_{mi}}}_{5}\end{aligned}$$

$$\begin{aligned}&T^k_{ij;<m>}+T^p_{mi}T^k_{pj}+T^p_{jm}T^k_{pi}+T^k_{mi;<j>}+T^p_{ij}T^k_{pm}+T^k_{jm;<i>}\\&=\overline{R^k_{jmi}}+\overline{R^k_{ijm}}+\overline{R^k_{mij}}\end{aligned}\tag{8.4.2}$$

(8.4.1) следует из (8.4.2). □

Если мы возьмём производную формы (5.3.22), мы увидим, что второе тождество Бианки не зависит от кручения.

8.5. Вектор Килинга

Инвариантность метрического тензора g при инфинитезимальном координатном преобразовании (8.3.1) приводит к **уравнению Килинга**.

Теорема 8.5.1. *Уравнение Килинга в метрико-аффинном многообразии имеет вид*

$$\xi^k_{;<a>}g_{kb}+\xi^k_{;<b>}g_{ka}+T^l_{ka}g_{lb}\xi^k+T^l_{kb}g_{la}\xi^k+g_{ab;<k>}\xi^k=0\tag{8.5.1}$$

Доказательство. Инвариантность метрического тензора g означает, что его производная Ли равна 0

$$\mathcal{L}_\xi g_{ab}=0\tag{8.5.2}$$

(8.5.1) folows из (8.5.2) и (8.3.2). □

Теорема 8.5.2. *Условие инвариантности связности в метрико-аффинном многообразии имеет вид*

$$\xi^a_{;<bc>}=\overline{R^a_{bcp}}\xi^p+T^a_{bp;<c>}\xi^p+T^a_{bp}\xi^p_{;<c>}\tag{8.5.3}$$

Доказательство. Так как связность инвариантна при инфинитезимальном преобразовании, мы имеем

$$\mathcal{L}_\xi \overline{\Gamma^a_{bc}} = 0 \tag{8.5.4}$$

(8.5.3) следует из (8.5.4) и (8.3.4). ☐

Мы называем уравнение (8.5.3) **уравнением Килинга второго рода** и вектор ξ^a **вектором Килинга второго рода**.

Теорема 8.5.3. *Вектором Килинга второго рода удовлетворяет уравнению*

$$\begin{aligned}0 &= \overline{R^a_{bcp}}\xi^p + \overline{R^a_{cpb}}\xi^p + \overline{R^a_{pbc}}\xi^p\\ &+ T^a_{bp;c}\xi^p + T^a_{pc;b}\xi^p + T^p_{cb}\xi^a_{;<p>} + T^a_{bp}\xi^p_{;<c>} + T^a_{pc}\xi^p_{;<b>}\end{aligned} \tag{8.5.5}$$

Доказательство. Из (8.5.3) и (6.1.6) следует, что

$$\begin{aligned}\overline{R^a_{pbc}}\xi^p - T^p_{bc}\xi^a_{;<p>} &= \overline{R^a_{cbp}}\xi^p + T^a_{cp;<b>}\xi^p + T^a_{cp}\xi^p_{;<b>}\\ &- \overline{R^a_{bcp}}\xi^p - T^a_{bp;<c>}\xi^p - T^a_{bp}\xi^p_{;<c>}\end{aligned} \tag{8.5.6}$$

(8.5.5) следует из (8.5.6). ☐

Следствие 8.5.4. *Уравнением Килинга второго рода в римановом пространстве является тождеством. Связность в римановом пространстве инвариагтна при любом инфинитезимальном преобразовании* (8.3.1)

Доказательство. Прежде всего, кручение равно 0. Остальное является следствием первого тождества Бианки. ☐

8.6. Перенос Картана

Теоремы 8.1.2 и 8.2.1 утверждают, что движение вдоль кривой порождает преобразование вектора, дополнительное к параллельному переносу. Это преобразование очень важно и мы будем называть его **переносом Картана**. Мы определим **символ Картана**

$$\Gamma(C)^i_{kl} = \frac{1}{2}g^{im}(g_{kl;m} - g_{km;l} - g_{ml;k})$$

и **связность Картана**

$$\overbrace{\Gamma^i_{kl}} = \Gamma^i_{kl} - \Gamma(C)^i_{kl} = \Gamma^i_{kl} - \frac{1}{2}g^{im}(g_{kl;m} - g_{km;l} - g_{ml;k})$$

Пользуясь связностью Картана, мы можем записать перенос Картана в виде

$$da^i = -\overbrace{\Gamma^i_{kl}}\, a^k dx^l$$

Соответственно, мы определим **производную Картана**

$$\overbrace{\nabla_l}\, a^i = a^i_{;\{l\}} = \partial_l a^i + \overbrace{\Gamma^i_{kl}}\, a^k$$

$$\overbrace{D}\, a^i = da^i + \overbrace{\Gamma^i_{kl}}\, a^k dx^l$$

Теорема 8.6.1. *Перенос Картана вдоль экстремальной кривой сохраняет длину касательного вектора.*

Доказательство. Пусть

$$v^i = \frac{dx^i}{ds}$$

- касательный вектор к экстремальной кривой. Из теоремы 8.1.2 следует, что

$$\frac{Dv^l}{ds} = \frac{1}{2} g^{il} \left(g_{kj;i} - g_{ik;j} - g_{ij;k} \right) v^k v^j$$

и

$$\begin{aligned}\frac{Dg_{kl}v^kv^l}{ds} = \frac{Dg_{kl}}{ds} v^k v^l + g_{kl} \frac{Dv^k}{ds} v^l + g_{kl} v^k \frac{Dv^l}{ds} =\\ = g_{kl;p} v^p v^k v^l +\\ + g_{kl} g^{ik} \frac{1}{2} \left(g_{rj;i} - g_{ir;j} - g_{ij;r} \right) v^r v^j v^l +\\ + g_{kl} v^k g^{il} \frac{1}{2} \left(g_{rj;i} - g_{ir;j} - g_{ij;r} \right) v^r v^j =\\ = g_{kl;p} v^p v^k v^l + \left(g_{rj;l} - g_{lr;j} - g_{lj;r} \right) v^r v^j v^l = 0\end{aligned}$$

Следовательно длина вектора v^i не меняется вдоль экстремальной кривой. □

Мы распространим перенос Картана на любой геометрический объект подобно тому, как мы это делаем для параллельного переноса.

Теорема 8.6.2.

$$g_{ij;\{l\}} = 0$$

Доказательство.

$$\begin{aligned}\overbrace{\nabla_l} g_{ij} = \partial_l g_{ij} - \overbrace{\Gamma^k_{il}} g_{kj} - \overbrace{\Gamma^k_{jl}} g_{ik} =\\ = g_{ij;l} + \frac{1}{2} g^{km} (g_{il;m} - g_{im;l} - g_{ml;i}) g_{kj} + \frac{1}{2} g^{km} (g_{jl;m} - g_{jm;l} - g_{ml;j}) g_{ik} = 0\end{aligned}$$

□

Связность Картана $\overbrace{\Gamma^i_{kl}}$ отличается от связности Γ^i_{kl} на дополнительное слагаемое, которое является симметричным тензором. Для любой связности мы определяем стандартным образом производную и кривизну. Утверждения геометрии и физики имеют одну и ту же форму, независимо от того использую ли я связность Γ^i_{kl} или связность Картана. Чтобы это показать, мы можем обобщить понятие связности Картана и изучать связность, определённую равенством

$$\overline{\Gamma^i_{kl}} = \Gamma^i_{kl} + A^i_{kl} \tag{8.6.1}$$

где A - это 0, или символ Картана или любой другой симметричный тензор. Соответственно мы определяем производную

$$\overline{\nabla_l} a^i = a^i_{;<l>} = \partial_l a^i + \overline{\Gamma^i_{kl}} a^k$$

$$\overline{D} a^i = da^i + \overline{\Gamma^i_{kl}} a^k dx^l$$

и кривизну

$$\overline{R^a_{bij}} = \partial_i \overline{\Gamma^a_{bj}} - \partial_j \overline{\Gamma^a_{bi}} + \overline{\Gamma^a_{ci}} \overline{\Gamma^c_{bj}} - \overline{\Gamma^a_{cj}} \overline{\Gamma^c_{bi}} \tag{8.6.2}$$

Эта связность имеет тоже кручение

$$T^a_{cb} = \overline{\Gamma^a_{bc}} - \overline{\Gamma^a_{cb}} \tag{8.6.3}$$

С этой точки зрения теорема 8.6.1 означает, что экстремальная кривая является геодезической для связности Картана.

Теорема 8.6.3. *Кривизна связности* (8.6.1) *имеет вид*

$$\overline{R^a_{bde}}=R^a_{bde}+A^a_{be;d}-A^a_{bd;e}+A^a_{cd}A^c_{be}-A^a_{ce}A^c_{bd}+S^p_{de}A^a_{bp} \tag{8.6.4}$$

где R^a_{bde} *- кривизна связности* Γ^i_{kl}

Доказательство.

$$\begin{aligned}
\overline{R^a_{bde}}&=\overline{\Gamma^a_{be,d}}-\overline{\Gamma^a_{bd,e}}+\overline{\Gamma^a_{cd}}\ \overline{\Gamma^c_{be}}-\overline{\Gamma^a_{ce}}\ \overline{\Gamma^c_{bd}}\\
&=\Gamma^a_{be,d}+A^a_{be,d}-\Gamma^a_{bd,e}-A^a_{bd,e}\\
&+(\Gamma^a_{cd}+A^a_{cd})(\Gamma^c_{be}+A^c_{be})-(\Gamma^a_{ce}+A^a_{ce})(\Gamma^c_{bd}+A^c_{bd})\\
&=\Gamma^a_{be,d}+A^a_{be,d}-\Gamma^a_{bd,e}-A^a_{bd,e}\\
&+\Gamma^a_{cd}\Gamma^c_{be}+\Gamma^a_{cd}A^c_{be}+A^a_{cd}\Gamma^c_{be}+A^a_{cd}A^c_{be}\\
&-\Gamma^a_{ce}\Gamma^c_{bd}-A^a_{ce}\Gamma^c_{bd}-\Gamma^a_{ce}A^c_{bd}-A^a_{ce}A^c_{bd}\\
&=R^a_{bde}+A^a_{be,d}-A^a_{bd,e}\\
&+\Gamma^a_{cd}A^c_{be}+A^a_{cd}\Gamma^c_{be}+A^a_{cd}A^c_{be}\\
&-A^a_{ce}\Gamma^c_{bd}-\Gamma^a_{ce}A^c_{bd}-A^a_{ce}A^c_{bd}\\
&=R^a_{bde}\\
&+A^a_{be;d}-\underline{\Gamma^a_{pd}A^p_{be}}_{2}+\underline{\Gamma^p_{bd}A^a_{pe}}_{4}+\underline{\Gamma^p_{ed}A^a_{bp}}_{1:S}\\
&-A^a_{bd;e}+\underline{\Gamma^a_{pe}A^p_{bd}}_{3}-\underline{\Gamma^p_{be}A^a_{pd}}_{5}-\underline{\Gamma^p_{de}A^a_{bp}}_{1}\\
&+\underline{\Gamma^a_{cd}A^c_{be}}_{2}+\underline{\Gamma^c_{be}A^a_{cd}}_{5}+A^a_{cd}A^c_{be}\\
&-\underline{\Gamma^c_{bd}A^a_{ce}}_{4}-\underline{\Gamma^a_{ce}A^c_{bd}}_{3}-A^a_{ce}A^c_{bd}
\end{aligned}$$

□

Следствие 8.6.4. **Кривизна Картана** *имеет вид*

$$\begin{aligned}
\overbrace{R^a_{bde}}&=R^a_{bde}-\Gamma(C)^a_{be;d}+\Gamma(C)^a_{bd;e}\\
&+\Gamma(C)^a_{cd}\Gamma(C)^c_{be}-\Gamma(C)^a_{ce}\Gamma(C)^c_{bd}-T^p_{de}\Gamma(C)^a_{bp}
\end{aligned} \tag{8.6.5}$$

Глава 9

Метрико-аффинная гравитация

9.1. Закон Ньютона: скалярный потенциал

Знание динамики точечной частицы важно для нас, так как мы можем изучать как частица взаимодействует с внешними полями, так же как свойства самой частицы.

Чтобы изучить движение точечной частицы, мы можем использовать потенциал определённых полей. Потенциал может быть скалярным или векторным.

В случае скалярного потенциала мы положим, что точечная частица имеет массу покоя m и мы пользуемся функцией Лагранжа в следующем виде

$$L = -mcds - Udx^0$$

о где U - **скалярный потенциал** или **потенциальная энергия**.

Теорема 9.1.1. (**Первый закон Ньютона**) *Если $U = 0$ (следовательно, мы рассматриваем свободное движение), то тело выбирает траекторию с экстремальной длиной.*

Теорема 9.1.2. (**Второй закон Ньютона**) *Траекторию точечной частицы удовлетворяет дифференциальному уравнению*

$$\frac{\overbrace{D}\ u^l}{ds} = \frac{u^0}{mc}F^l \tag{9.1.1}$$

$$u^j = \frac{dx^l}{ds}$$

где мы определяем силу

$$F^l = g^{il}\frac{\partial U}{\partial x^i} \tag{9.1.2}$$

Доказательство. Пользуясь (8.1.2), мы можем записать вариацию лагранжиана в виде

$$\frac{1}{2}mc\left(g_{kl;i} - g_{ik;l} - g_{il;k}\right)u^k u^j ds - mcg_{ij}Du^j + \frac{\partial U}{\partial x^i}dx^0 = 0$$

Отсюда следует утверждение теоремы. □

9.2. Закон Ньютона: векторный потенциал

В разделе 9.1 мы изучили динамику скалярного потенциала. Однако в электродинамике мы рассматриваем **векторный потенциал** A^k. В этом случае действие имеет вид

$$S = \int_{t_1}^{t_2}\left(-mcds - \frac{e}{c}A_l dx^l\right)$$

$$A_c=g_{cd}A^d$$

Теорема 9.2.1. *Траектория частицы, движущейся в векторном поле, удовлетворяет дифференциальному уравнению*

$$\frac{\overbrace{D}u^j}{ds}=\frac{e}{mc^2}g^{ij}F_{li}u^l$$

$$u^j=\frac{dx^l}{ds}$$

где мы определяем **тензор напряжённости поля**

$$F_{dc}=A_{d;c}-A_{c;d}+S^p_{dc}A_p=\overbrace{\nabla_c}A_d-\overbrace{\nabla_d}A_c+S^p_{dc}A_p$$

Доказательство. Пользуясь (8.1.2), мы можем записать вариацию действия в виде

$$\delta S=$$

$$=\int_{t_1}^{t_2}\left(-mc\left(\frac{1}{2}\left(g_{kj;i}-g_{ij;k}-g_{ik;j}\right)u^ku^jds-g_{ij}Du^j\right)\delta x^i-\frac{e}{c}\left(\delta A_ldx^l+A_l\delta dx^l\right)\right)$$

Мы можем оценить второе слагаемое

$$-\frac{e}{c}\left(A_{l,k}dx^l\delta x^k+A_ld\delta x^l\right)=$$

$$=-\frac{e}{c}\left(A_{l;k}dx^l\delta x^k+\Gamma^p_{lk}A_pdx^l\delta x^k+A_ld\delta x^l\right)=$$

$$=-\frac{e}{c}\left(A_{k;l}dx^l\delta x^k+\left(A_{l;k}-A_{k;l}\right)dx^l\delta x^k+S^p_{lk}A_pdx^l\delta x^k+\Gamma^p_{kl}A_pdx^l\delta x^k+A_ld\delta x^l\right)=$$

$$=-\frac{e}{c}\left(DA_k\delta x^k+A_kD\delta x^k+\left(A_{l;k}-A_{k;l}\right)dx^l\delta x^k+S^p_{lk}A_pdx^l\delta x^k\right)=$$

$$=-\frac{e}{c}\left(\underline{d\left(A_k\delta x^k\right)}+\left(A_{l;k}-A_{k;l}+S^p_{lk}A_p\right)dx^l\delta x^k\right)$$

Интеграл подчёркнутого слагаемого равен 0, так как точки, когда $t=t_1$ и $t=t_2$, фиксированы. Следовательно,

$$-mc\left(\frac{1}{2}\left(g_{kj;i}-g_{ij;k}-g_{ik;j}\right)u^ku^jds-g_{ij}Du^j\right)-\frac{e}{c}F_{li}dx^l=0$$

Отсюда следует утверждение теоремы. □

Из этой теоремы следует зависимость тензора напряжённости поля от производной метрики. Это изменяет форму уравнения Эйнштейна и импульс гравитацинного поля появляется в случае векторного поля.

Теорема 9.2.2. *Тензор напряжённости поля не изменяется, когда векторный потенциал изменяется согласно правилу*

$$A'_j=A_j+\partial_j\Lambda$$

где Λ *- произвольная функция* x.

Доказательство. Изменение в тензоре напряжённости поля имеет вид

$$(\partial_d\Lambda)_{;c}-(\partial_c\Lambda)_{;d}+S^p_{dc}\partial_p\Lambda=$$

$$\partial_{cd}\Lambda-\Gamma^p_{dc}\partial_p\Lambda-\partial_{dc}\Lambda+\Gamma^p_{cd}\partial_p\Lambda+S^p_{dc}\partial_p\Lambda=0$$

Это доказывет теорему. □

9.3. Приливное уравнение

Я рассматриваю обобщённую связность (8.6.1). Мы полагаем, что рассматриваемые тела совершают произвольное, а не геодезическое движение.

Мы предположим, что оба наблюдателя начинают своё путешествие из одной и той же точки[9.1] и их скорость удовлетворяет дифференциальным уравнениям

$$\frac{\overline{D}v^i_I}{ds_I}=a^i_I \tag{9.3.1}$$

где $I=1,2$ - номер наблюдателя и ds_I - инфинитезимальная дуга на геодезической I. Наблюдатель I следует геодезической связности (8.6.1), когда $a_I=0$. Мы положим так же, что $ds_1=ds_2=ds$.

Отклонение траекторий (9.3.1) δx^k - это вектор, соединяющий наблюдателей. Кривые бесконечно мало близки в окрестности начальной точки

$$x^i_2(s_2)=x^i_1(s_1)+\delta x^i(s_1)$$
$$v^i_2(s_2)=v^i_1(s_1)+\delta v^i(s_1)$$

Производная вектора δx^i имеет вид

$$\frac{d\delta x^i}{ds}=\frac{d(x^i_2-x^i_1)}{ds}=v^i_2-v^i_1=\delta v^i$$

Скорость отклонения δx^i - это ковариантная производная

$$\begin{aligned}\frac{\overline{D}\delta x^i}{ds}&=\frac{d\delta x^i}{ds}+\overline{\Gamma^i_{kl}}\delta x^k v^l_1\\&=\delta v^i+\overline{\Gamma^i_{kl}}\delta x^k v^l_1\end{aligned} \tag{9.3.2}$$

Из (9.3.2) следует, что

$$\delta v^i=\frac{\overline{D}\delta x^i}{ds}-\overline{\Gamma^i_{kl}}\delta x^k v^l_1 \tag{9.3.3}$$

Наконец мы готовы оценить вторую производную вектора δx^i

$$\begin{aligned}\frac{\overline{D^2}\delta x^i}{ds^2}&=\frac{d\frac{\overline{D}\delta x^i}{ds}}{ds}+\overline{\Gamma^i_{kl}}\frac{\overline{D}\delta x^k}{ds}v^l_1\\&=\frac{d(\delta v^i+\overline{\Gamma^i_{kl}}\delta x^k v^l_1)}{ds}+\overline{\Gamma^i_{kl}}\frac{\overline{D}\delta x^k}{ds}v^l_1\\&=\frac{d\delta v^i}{ds}+\frac{d\overline{\Gamma^i_{kl}}}{ds}\delta x^k v^l_1+\overline{\Gamma^i_{kl}}\frac{d\delta x^k}{ds}v^l_1+\overline{\Gamma^i_{kl}}\delta x^k\frac{dv^l_1}{ds}+\overline{\Gamma^i_{kl}}\frac{\overline{D}\delta x^k}{ds}v^l_1\end{aligned}$$

$$\frac{\overline{D^2}\delta x^i}{ds^2}=\frac{d\delta v^i}{ds}+\overline{\Gamma^i_{kl,n}}v^n_1\delta x^k v^l_1+\overline{\Gamma^i_{kl}}\delta v^k v^l_1+\overline{\Gamma^i_{kl}}\delta x^k\frac{dv^l_1}{ds}+\overline{\Gamma^i_{kl}}\frac{\overline{D}\delta x^k}{ds}v^l_1 \tag{9.3.4}$$

Теорема 9.3.1. *Приливное ускорение связности* (8.6.1) *имеет вид*

$$\begin{aligned}\frac{\overline{D^2}\delta x^i}{ds^2}=&\,T^i_{ln}\frac{\overline{D}\delta x^n}{ds}v^l_1+(\overline{R^i_{klm}}+T^i_{km;<l>})\delta x^m v^k_1 v^l_1\\&+a^i_2-a^i_1+\overline{\Gamma^i_{ml}}\delta x^m a^l_1\end{aligned} \tag{9.3.5}$$

[9.1] Я следую [20], page 33

Доказательство. Траектория наблюдателя 1 удовлетворяет уравнению

$$\frac{\overline{D}v_1^i}{ds}=\frac{dv_1^i}{ds}+\overline{\Gamma^i_{kl}}(x_1)v_1^kv_1^l=a_1^i \tag{9.3.6}$$

$$\frac{dv_1^i}{ds}=a_1^i-\overline{\Gamma^i_{kl}}v_1^kv_1^l \tag{9.3.7}$$

В тоже время траектория наблюдателя 2 удовлетворяет уравнению

$$\begin{aligned}\frac{\overline{D}v_2^i}{ds}&=\frac{dv_2^i}{ds}+\overline{\Gamma^i_{kl}}(x_2)v_2^kv_2^l\\&=\frac{d(v_1^i+\delta v^i)}{ds}+\overline{\Gamma^i_{kl}}(x_1+\delta x)(v_1^k+\delta v^k)(v_1^l+\delta v^l)\\&=\frac{dv_1^i}{ds}+\frac{d\delta v^i}{ds}+(\overline{\Gamma^i_{kl}}+\overline{\Gamma^i_{kl,m}}\delta x^m)(v_1^kv_1^l+\delta v^kv_1^l+v_1^k\delta v^l+\delta v^k\delta v^l)\\&=a_2^i\end{aligned}$$

Мы можем переписать это уравнение с точностью до порядка 1

$$\frac{dv_1^i}{ds}+\frac{d\delta v^i}{ds}+\overline{\Gamma^i_{kl}}v_1^kv_1^l+\overline{\Gamma^i_{kl}}(\delta v^kv_1^l+v_1^k\delta v^l)+\overline{\Gamma^i_{kl,m}}\delta x^mv_1^kv_1^l=a_2^i$$

Используя (9.3.6), мы получим

$$a_1^i+\frac{d\delta v^i}{ds}+\overline{\Gamma^i_{kl}}\delta v^kv_1^l+\overline{\Gamma^i_{kl}}v_1^k\delta v^l+\overline{\Gamma^i_{kl,m}}\delta x^mv_1^kv_1^l=a_2^i$$

$$\frac{d\delta v^i}{ds}=-\overline{\Gamma^i_{kl}}\delta v^kv_1^l-\overline{\Gamma^i_{lk}}\delta v^kv_1^l-\overline{\Gamma^i_{kl,m}}\delta x^mv_1^kv_1^l+a_2^i-a_1^i \tag{9.3.8}$$

Мы подставим (9.3.3), (9.3.7), и (9.3.8) в (9.3.4)

$$\begin{aligned}\frac{\overline{D^2}\delta x^i}{ds^2}=&-\underline{\overline{\Gamma^i_{kl}}\delta v^kv_1^l}_1-\overline{\Gamma^i_{ln}}\left(\frac{\overline{D}\delta x^n}{ds}-\overline{\Gamma^n_{mk}}\delta x^mv_1^k\right)v_1^l-\overline{\Gamma^i_{kl,m}}\delta x^mv_1^kv_1^l\\&+a_2^i-a_1^i\\&+\overline{\Gamma^i_{mk,l}}v_1^k\delta x^mv_1^l+\underline{\overline{\Gamma^i_{kl}}\delta v^kv_1^l}_1\\&+\overline{\Gamma^i_{mn}}\delta x^m(a_1^n-\overline{\Gamma^n_{kl}}v_1^kv_1^l)+\overline{\Gamma^i_{nl}}\frac{\overline{D}\delta x^n}{ds}v_1^l\end{aligned}$$

$$\begin{aligned}\frac{\overline{D^2}\delta x^i}{ds^2}=&(\overline{\Gamma^i_{mk,l}}-\overline{\Gamma^i_{kl,m}}+\overline{\Gamma^i_{ln}}\,\overline{\Gamma^n_{mk}}-\overline{\Gamma^i_{mn}}\,\overline{\Gamma^n_{kl}})\delta x^mv_1^kv_1^l\\&+\overline{\Gamma^i_{nl}}\frac{\overline{D}\delta x^n}{ds}v_1^l-\overline{\Gamma^i_{ln}}\frac{\overline{D}\delta x^n}{ds}v_1^l\\&+a_2^i-a_1^i+\overline{\Gamma^i_{mn}}\delta x^ma_1^n\end{aligned}$$

$$\begin{aligned}\frac{\overline{D^2}\delta x^i}{ds^2}=&(\overline{\Gamma^i_{mk,l}}-\overline{\Gamma^i_{km,l}}+\overline{\Gamma^i_{km,l}}-\overline{\Gamma^i_{kl,m}}\\&+\overline{\Gamma^i_{ln}}\,\overline{\Gamma^n_{mk}}-\overline{\Gamma^i_{nl}}\,\overline{\Gamma^n_{mk}}+\overline{\Gamma^i_{nl}}\,\overline{\Gamma^n_{mk}}-\overline{\Gamma^i_{nl}}\,\overline{\Gamma^n_{km}}+\overline{\Gamma^i_{nl}}\,\overline{\Gamma^n_{km}}\\&-\overline{\Gamma^i_{mn}}\,\overline{\Gamma^n_{kl}}+\overline{\Gamma^i_{nm}}\,\overline{\Gamma^n_{kl}}-\overline{\Gamma^i_{nm}}\,\overline{\Gamma^n_{kl}})\delta x^mv_1^kv_1^l\\&+T^i_{ln}\frac{\overline{D}\delta x^n}{ds}v_1^l+a_2^i-a_1^i+\overline{\Gamma^i_{mn}}\delta x^ma_1^n\end{aligned}$$

$$\begin{aligned}\frac{\overline{D^2}\delta x^i}{ds^2} &= T^i_{ln}\frac{\overline{D}\delta x^n}{ds}v^l_1\\ &+(\underline{T^i_{km,l}}_2+\underline{\overline{\Gamma^i_{km,l}}}_1-\underline{\overline{\Gamma^i_{kl,m}}}_1\\ &+\underline{T^i_{nl}\overline{\Gamma^n_{mk}}}_2+\underline{\overline{\Gamma^i_{nl}}T^n_{km}}_2+\underline{\overline{\Gamma^i_{nl}}\overline{\Gamma^n_{km}}}_1\\ &-\underline{T^i_{nm}\overline{\Gamma^n_{kl}}}_2-\underline{\overline{\Gamma^i_{nm}}\overline{\Gamma^n_{kl}}}_1)\delta x^m v^k_1 v^l_1\\ &+a^i_2-a^i_1+\overline{\Gamma^i_{ml}}\delta x^m a^l_1\end{aligned} \tag{9.3.9}$$

Слагаемые, подчёркнутые символом 1, представляют кривизну, и слагаемые, подчёркнутые символом 2 представляют ковариантную производную кручения. (9.3.5) следует из (9.3.9). □

Замечание 9.3.2. Тело 2 может быть удалено от тела 1. Тогда мы можем воспользоваться процедурой (так же как в [21]), основанной на параллельном переносе. С этой целью мы перенесём вектор скорости наблюдателя 2 в начальную точку наблюдателя 1 и затем оценим приливное ускорение. Эта процедура работает в случае не сильного гравитационного поля. □

Замечание 9.3.3. Если в центральном поле наблюдатель 1 имеет орбитальную скорость V_ϕ, наблюдатель 2 движется в радиальном направлении, и оба наблюдателя следуют геодезической, то приливное ускорение имеет вид

$$\begin{aligned}\frac{D^2\delta x^1}{ds^2} &= R^1_{lnk}\delta x^k v^n v^l\\ &= (R^1_{001}v^0v^0+R^1_{221}v^2v^2)\delta x^1\\ &= \left(\frac{r_g}{r^3c^2}\frac{1}{1-\frac{V_\phi^2}{c^2}}-(-1+\frac{r_g}{2r}-\frac{r-r_g}{r})V_\phi^2\right)\delta x^1\end{aligned}$$

□

Замечание 9.3.4. Если наблюдатель 2 следует геодезической в центральном поле, но наблюдатель 1 зафиксировал свою позицию на расстоянии r, то

$$a^1=\Gamma^1_{kl}v^kv^l=\frac{r_g}{2r^2c^2}$$

Ускорение следует закону обратных квадратов, как следует из (9.3.5). □

Замечание 9.3.5. У теоремы 9.3.1 есть один особый случай. Если наблюдатель 1 движется вдоль экстремальной кривой, мы можем пользоваться связностью Картана. В этом случае $a^i_1=0$. Если наблюдатель 2 движется вдоль геодезической, то

$$a^i_2=-\Gamma(C)^i_{kl}v^k_2v^k_2=-\Gamma(C)^i_{kl}(v^k_1v^k_1+2v^l_1\delta v^k) \tag{9.3.10}$$

Если мы подставим (9.3.3) в (9.3.10), то мы получим

$$a^i_2=-\Gamma(C)^i_{kl}v^k_1v^k_1-2\Gamma(C)^i_{kl}v^l_1\frac{D\delta x^k}{ds}+2\Gamma(C)^i_{ml}\Gamma^m_{kn}v^n_1v^l_1\delta x^k$$

В этом случае (9.3.5) принимает вид

$$\begin{aligned}\frac{\overbrace{D^2}\ \delta x^i}{ds^2} &= (\overbrace{R^i_{lnk}}+\overbrace{\nabla_n}\ T^i_{lk})v^l_1v^n_1\delta x^k+T^i_{lk}\frac{\overbrace{D}\ \delta x^k}{ds}v^l_1\\ &-\Gamma(C)^i_{kl}v^k_1v^k_1-2\Gamma(C)^i_{kl}v^l_1\frac{\overbrace{D}\ \delta x^k}{ds}+2\Gamma(C)^i_{ml}\Gamma^m_{kn}v^n_1v^l_1\delta x^k\end{aligned} \tag{9.3.11}$$

В случае начальных условий

$$\delta x^k = 0$$

$$\frac{D\delta x^k}{ds} = 0$$

(9.3.11) является оценкой ускорения (9.1.1). □

9.4. Приливное ускорение и производная Ли

(9.3.5) напоминает выражение производной Ли (8.3.4). Чтобы увидеть это сходство, мы должны записать уравнение (9.3.5) другим способом.

По определению

$$\begin{aligned}\frac{\overline{D}a^k}{ds} &= \frac{da^k}{ds} + \overline{\Gamma^k_{lp}}a^l\frac{dx^p}{ds}\\ &= a^k_{,p}v^p + \overline{\Gamma^k_{lp}}a^lv^p\end{aligned}$$

$$\frac{\overline{D}a^k}{ds} = a^k_{;<p>}v^p \tag{9.4.1}$$

Так как $\frac{\overline{D}a^k}{ds}$ - вектор, мы можем легко найти вторую производную

$$\begin{aligned}\frac{\overline{D^2}a^k}{ds^2} &= \frac{\overline{D}\frac{\overline{D}a^k}{ds}}{ds} = \frac{\overline{D}(a^k_{;<p>}v^p)}{ds}\\ &= a^k_{;<pr>}v^pv^r + a^k_{;<p>}v^p_{;r}v^r\end{aligned} \tag{9.4.2}$$

На последнем шаге мы используем (9.4.1), когда $a^k = v^k$. Когда v^p - касательный вектор траектории наблюдателя 1, из (9.3.1) следует, что

$$\frac{\overline{D}v^i}{ds} = v^i_{;r}v^r = a^i_1 \tag{9.4.3}$$

и из (9.4.2) и (9.4.3) следует, что

$$\frac{D^2a^k}{ds^2} = a^k_{;pr}v^pv^r + a^k_{;<p>}a^p_1 \tag{9.4.4}$$

Теорема 9.4.1. *Скорость отклонения двух траекторий* (9.3.1) *удовлетворяет уравнению*

$$\mathcal{L}_{\frac{\overline{D}\delta x^n}{ds}}\overline{\Gamma^i_{kl}}v^kv^l = a^i_2 - a^i_1 + \overline{\Gamma^i_{ml}}\delta x^m a^l_1 \tag{9.4.5}$$

Доказательство. Мы подставим (9.4.1) и (9.4.4) в (9.3.5).

$$\begin{aligned}\delta x^i_{;<kl>}v^kv^l + \delta x^k_{;<p>}a^p_1 = T^i_{ln}\delta x^n_{;<k>}v^kv^l_1 + (\overline{R^i_{klm}} + T^i_{km;<l>})\delta x^m v^k_1v^l_1\\ + a^i_2 - a^i_1 + \overline{\Gamma^i_{ml}}\delta x^m a^l_1\end{aligned}$$

$$\begin{aligned}0 = (T^i_{ln}\delta x^n_{;<k>} - \delta x^i_{;<kl>} + \overline{R^i_{klm}}\delta x^m + T^i_{km;<l>}\delta x^m)v^k_1v^l_1\\ + a^i_2 - a^i_1 - \delta x^k_{,p}a^p_1\end{aligned} \tag{9.4.6}$$

(9.4.5) следует из (9.4.6) и (8.3.4). □

На первый взгляд можно предположить, что скорость отклонения геодезической является вектором Килинга второго типа. Это возможно, хотя уравнение

$$\mathcal{L}_{\frac{\overline{D}\delta x^n}{ds}}\overline{\Gamma^i_{kl}}=0$$

не следует из уравнения

$$\mathcal{L}_{\frac{\overline{D}\delta x^n}{ds}}\overline{\Gamma^i_{kl}}v^kv^l=0 \tag{9.4.7}$$

Однако уравнение (9.4.7) показывает тесную связь между глубокой симметрией пространства времени и гравитационным полем.

Глава 10

Список литературы

[1] Альберт Эйнштейн, К электродинамике движущихся тел, 1905, Собрание научных трудов, I, 7 - 35, M., Наука, 1965

[2] Альберт Эйнштейн, Основы общей теории относительности, 1916, Собрание научных трудов, I, 452 - 504, M., Наука, 1965

[3] Альберт Эйнштейн, Геометрия и опыт, (1921) Собрание научных трудов, II, 83 - 84, M., Наука, 1966

[4] Альберт Эйнштейн, Основные идеи и проблемы теории относительности, (1923) Собрание научных трудов, II, 120 - 129, M., Наука, 1966

[5] Альберт Эйнштейн, Неэвклидова геометрия и физика, (1926) Собрание научных трудов, II, 178 - 182, M., Наука, 1966

[6] Альберт Эйнштейн, Исаак Ньютон, 1927, Собрание научных трудов, IV, 78 - 81, M., Наука, 1967

[7] Альберт Эйнштейн, О науке, 1931, Собрание научных трудов, IV, 142 - 146, M., Наука, 1967

[8] Альберт Эйнштейн, Автобиографические заметки, 1949, Собрание научных трудов, IV, 259 - 293, M., Наука, 1967

[9] Ссылка 104, Источник неизвестен

[10] Ghez et al., The First Measurement of Spectral Lines in a Short-Period Star Bound to the Galaxy's Central Black Hole: A Paradox of Youth, ApJL, 586, L127 (2003), eprint arXiv:astro-ph/0302299 (2003)

[11] R. Schödel et al., A star in a 15.2-year orbit around the supermassive black hole at the centre of the Milky Way, Nature 419, 694 (2002)

[12] Eckehard W. Mielke, Affine generalization of the Komar complex of general relativity, Phys. Rev. D 63, 044018 (2001)

[13] Yu. N. Obukhov and J. G. Pereira, Metric-affine approach to teleparallel gravity, Phys. Rev. D 67, 044016 (2003), eprint arXiv:gr-qc/0212080 (2002)

[14] Giovanni Giachetta, Gennadi Sardanashvily, Dirac Equation in Gauge and Affine-Metric Gravitation Theories, eprint arXiv:gr-qc/9511035 (1995)

[15] Frank Gronwald and Friedrich W. Hehl, On the Gauge Aspects of Gravity, eprint arXiv:gr-qc/9602013 (1996)

[16] Yuval Neeman, Friedrich W. Hehl, Test Matter in a Spacetime with Nonmetricity, eprint arXiv:gr-qc/9604047 (1996)

[17] F. W. Hehl, P. von der Heyde, G. D. Kerlick, and J. M. Nester, General relativity with spin and torsion: Foundations and prospects, Rev. Mod. Phys. 48, 393 (1976)

[18] O. Megged, Post-Riemannian Merger of Yang-Mills Interactions with Gravity, eprint arXiv:hep-th/0008135 (2001)

[19] Yu.N. Obukhov, E.J. Vlachynsky, W. Esser, R. Tresguerres and F.W. Hehl, An exact solution of the metric-affine gauge theory with dilation, shear, and spin charges, eprint arXiv:gr-qc/9604027 (1996)

[20] Ignazio Ciufolini, John Wheeler. Gravitation and Inertia. Princeton university press.

[21] J. D. Anderson, P. A. Laing, E. L. Lau, A. S. Liu, M. M. Nieto, and S. G. Turyshev, Study of the anomalous acceleration of Pioneer 10 and 11, Phys. Rev. D 65, 082004, 50 pp., (2002), eprint arXiv:gr-qc/0104064 (2001)

[22] Г. Е. Шилов, Математический анализ, Функции нескольких вещественных переменных, части 1 - 2, М., Наука, 1972

[23] П. К. Рашевский, Риманова геометрия и тензорный анализ, М., Наука, 1967

[24] Г. Корн, Т. Корн, Справочник по математике для научных работников и инженеров, М., Наука, 1974

[25] Angelo Tartaglia and Matteo Luca Ruggiero, Angular Momentum Effects in Michelson-Morley Type Experiments, Gen.Rel.Grav. 34, 1371-1382 (2002), eprint arXiv:gr-qc/0110015 (2001)

[26] Yukio Tomozawa, Speed of Light in Gravitational Fields, eprint arXiv:astro-ph/0303047 (2004)

[27] Joao Magueijo, Covariant and locally Lorentz-invariant varying speed of light theories, Phys. Rev. D 62, 103521 (2000), eprint arXiv:gr-qc/0007036 (2000)

[28] Bruce A. Bassett, Stefano Liberati, Carmen Molina-Paris, and Matt Visser, Geometrodynamics of variable-speed-of-light cosmologies, Phys. Rev. D 62, 103518 (2000), eprint arXiv:astro-ph/0001441 (2000)

[29] Lochlainn O'Raifeartaigh and Norbert Straumann, Gauge theory: Historical origins and some modern developments, Rev. Mod. Phys. 72, 1 (2000)

[30] Claus Lämmerzahl, Mark P. Haugan, On the interpretation of Michelson-Morley experiments, Phys. Lett. A282 223-229 (2001), eprint arXiv:gr-qc/0103052 (2001)

[31] Holger Muller et al., Modern Michelson-Morley Experiment using Cryogenic Optical Resonators, Phys. Rev. Lett. 91, 020401 (2003), eprint arXiv:physics/0305117 (2000)

[32] Antonio F. Ranada, Pioneer acceleration and variation of light speed: experimental situation, eprint arXiv:gr-qc/0402120 (2004)

Глава 11

Предметный указатель

G-система отсчёта 39
G-базис векторного пространства 31
G-координаты базиса 32
G-пространство 32

автопараллельная кривая 65
активное представление 32
активное преобразование на многообразии базисов 32
аффинное преобразование на многообразии базисов 33
аффинный базис 33

базис векторного пространства 31

вектор Килинга второго рода 72
вектор-столбец 29
векторный потенциал 75
вектор-строка 29
второй закон Ньютона 75

геометрический объект в векторном пространстве 35
геометрический объект в координатном представлении 35
геометрический объект типа A 36
геометрический объект типа A в векторном пространстве 36
голономные координаты вектора 41
голономные координаты связности 41
группа аффинных преобразований 33
группа симметрии 31

движение на многообразии базисов 34

квазиаффинное преобразование на многообразии базисов 33
квазидвижение на многообразии базисов 34
координатная система отсчёта 39
координатное векторное пространство 35
координатное представление группы в векторном пространстве 35
координатный изоморфизм 35
координаты геометрического объекта 35
координаты геометрического объекта в координатном представлении 35
координаты представления 31
кривизна Картана 74

левостороннее ковариантное представление группы 23
левостороннее контравариантное представление группы 23
левостороннее преобразование 23
левый сдвиг на группе 24
линейное представление группы 29
локальная система отсчёта 40

метрико-аффинное многообразие 47
многообразие базисов аффинного пространства 33
многообразие базисов векторного пространства 31
многообразие базисов евклидова пространства 34
многообразие базисов центро-аффинного пространства 33

невырожденное преобразование 23
неголономная координата 43
неголономные координаты вектора 41
неголономные координаты на многообразии 43
неголономные координаты связности 41
неметричность 47

объект неголономности 43
однородное пространство группы 26
однотранзитивное представление группы 26
орбита представления группы 25
ортонормальный базис 34
отклонение траекторий 77

параллелограмм 48
пассивное представление 32
пассивное преобразование на многообразии базисов 32
первый закон Ньютона 75
перенос Картана 72

перенос Френе 67
потенциальная энергия 75
правостороннее ковариантное представление группы 24
правостороннее контравариантное представление группы 24
правостороннее преобразование 23
правый сдвиг на группе 24
представитель геометрического объекта в векторном пространстве 36
представление группы 24
преобразование Лоренца 41
принцип инвариантности в векторном пространстве 36
произведение геометрического объекта и константы в векторном пространстве 36
производная Картана 72
производная Ли 68
производная Ли метрики 68
производная Ли связности 68
прямое произведение представлений группы 25
пфаффова производная 40

связность Картана 72
символ Картана 72
синхронизация системы отсчёта 53
система отсчёта в пространстве событий 40
скалярный потенциал 75
скорость отклонения 77
стандартные координаты базиса 32
сумма геометрических объектов в векторном пространстве 36

тензор кручения 47
тензор напряжённости поля 76
транзитивное представление группы 26

уравнение Килинга 71
уравнение Килинга второго рода 72

форма кручение 47

центро-аффинный базис 33

экстремальная кривая 65
эффективное представление группы 26

ядро неэффективности представления группы 26

Глава 12

Специальные символы и обозначения

$\mathcal{A}_n$ аффинное пространство 33

$a^i_{;<l>}$ производная 73

$a^{(i)}$ неголономные координаты вектора 41
a^i голономные координаты вектора 41

$\mathcal{B}(\mathcal{A}_n)$ многообразие базисов аффинного пространства 33
$\mathcal{B}(\mathcal{V})$ многообразие базисов векторного пространства 31
$\mathcal{B}(\mathcal{CA}_n)$ многообразие базисов центро-аффинного пространства 33
$\mathcal{B}(\mathcal{E}_n)$ многообразие базисов евклидова пространства 34

$\mathcal{CA}_n$ центро-аффинное пространство 33

$(\overline{\partial}_i, \overline{d}s^i)$ координатная система отсчёта 40

$\overbrace{D}\ a^i$ производная Картана 72
$\overline{D}a^i$ производная 73
$\partial_{(k)}$ производная вдоль векторного поля $e_{(k)}$ 42
$\dfrac{\overline{D}\delta x^i}{ds}$ скорость отклонения 77

$\overline{\overline{e}} =< O, \overline{e}_i >$ аффинный базис 33
$\overline{\overline{e}}$ базис векторного пространства 31
$\overline{\overline{e}}_{\mathcal{V}}$ базис в векторном пространстве $\mathcal{V}$ 31

$\overline{\overline{e}} =< \overline{e}_i >$ центро-аффинный базис 33
$\overline{e}^{(k)}$ форма системы отсчёта 40
$\mathcal{E}_n$ евклидово пространство 34
$\overline{\overline{e}} =< \overline{e}_i >$ ортонормальный базис 34
$\mathcal{E}_{nm}$ псевдоевклидово пространство 34

e^i_k стандартные координаты базиса 32
$e^k_{(i)}$ стандартные координаты системы отсчёта 39
$\overline{e}_{(i)}$ векторное поле системы отсчёта 39
$\overline{e}_k$ вектор базиса 32

$\overline{\overline{e}} =< \overline{e}_{(i)}, i \in I >$ система отсчёта 39
$\overline{\overline{e}} = (\overline{e}_{(k)}, \overline{e}^{(k)})$ система отсчёта, расширенное определение 40

$GL(\mathcal{A}_n)$ группа аффинных преобразований 33
$G(\mathcal{V})$ группа гомоморфизмов векторного пространства $\mathcal{V}$ 31

$L(a)b$ левый сдвиг 24
$\mathcal{L}_\xi \Gamma^a_{bc}$ производная Ли связности 68
$\mathcal{L}_\xi g_{ab}$ производная Ли метрики 68
$L(g)\overline{\overline{e}}$ пассивное преобразование 32
$l(M)$ множество левосторонних невырожденных преобразований множества M 23

$\mathcal{O}((w, \overline{\overline{e}}_{\mathcal{V}}), a \in G, (wA(a)^{-1}, L(a)\overline{\overline{e}}_{\mathcal{V}}))$ геометрический объект в координатном представлении 35
$\mathcal{O}(v, g \in G, f(g)v) = \{w = f(g)v : g \in G\}$ орбита представления группы G 25

$R(g)\overline{\overline{e}}$ активное преобразование 31
$\overbrace{R^a_{bde}}$ кривизна Картана 74
$\overline{R^a_{bij}}$ кривизна 73
$R(a)b$ правый сдвиг 24
$r(M)$ множество правосторонних невырожденных преобразований множества M 23

$\tilde{\mathcal{V}}$ координатное векторное пространство 35
(v^i) координаты в векторном пространстве 35
$\mathcal{V}$ векторное пространство 31

$\mathcal{O}((w, \overline{\overline{e}}_{\mathcal{W}}, \overline{\overline{e}}_{\mathcal{V}}), a \in G, (wA(a)^{-1}, L(a)\overline{\overline{e}}_{\mathcal{W}}, L(a)\overline{\overline{e}}_{\mathcal{V}}))$ геометрический объект в векторном пространстве 35

$x^{(k)}$ неголономная координата 43

δx^k отклонение траекторий 77
δ тождественное преобразование 23

$\overline{\delta}_k = (\delta^i_k)$ образ вектора $\overline{e}_k \in \overline{\overline{e}}$ при изоморфизме в координатное векторное пространство 35

$\Gamma^{(k)}_{(i)(j)}$ неголономные координаты связности 41
$\Gamma(C)^i_{kl}$ символ Картана 72
$\overline{\Gamma^i_{kl}}$ связность 73
Γ^k_{ij} голономные координаты связности 41
$\overbrace{\Gamma^i_{kl}}$ связность Картана 72

$c^{(i)}_{(k)(l)}$ объект неголономности 43

$\overbrace{\nabla_l}\ a^i$ производная Картана 72
$\overline{\nabla}_l a^i$ производная 73